

## C a p i t o l u l 1

### C o n c e p t e g e n e r a l e

#### 1.1 Domenii de aplicație ale graficii pe calculator

Sistemele grafice au devenit după anii 1980, obiect de lucru al inginerilor, oamenilor de știință, artiștilor plastici și arhitecților. S-au construit o serie de aplicații grafice precum biblioteci de subrutine grafice și interfețe cu utilizatorul ușor de manipulat, cu facilități de acces la diverse resurse prin intermediul rețelelor.

Domeniile actuale de aplicație ale graficii pe calculator sunt următoarele:

1. Educație și învățământ. Reprezentările grafice au o forță sugestivă deosebită. Rezultate semnificative se pot obține în domeniul predării matematicii (în special în geometrie și analiză matematică), fizicii, chimiei și altor științe.
2. Cercetare științifică. În special în faza de prezentare a rezultatelor obținute prin prelucrarea datelor experimentale, grafica pe calculator este un instrument prețios al cercetătorului în modelarea teoretică a unor fenomene, cu precădere în chimie, fizică și biologie.
3. Inginerie. În cadrul pachetelor de programe CAD (Computer Aided Design – proiectare asistată), CAM (Computer Aided Machining – fabricație asistată), CAE (Computer Aided Engineering – inginerie asistată), majoritatea firmelor propun pre- și post- procesoare grafice care furnizează imagini de o înaltă calitate. Principalii beneficiari sunt ingineria mecanică, electronica și arhitectura. Marii producători de material aeronomic, naval, auto și feroviar au angajat mari resurse în programe proprii CAE.
4. Economie, conducere: în realizarea de grafice, histograme, diagrame care facilitează procesele de prezentare a datelor, planificarea activităților și cheltuielilor, previziune, analiză.
5. Simulatoare: de exemplu, simulatoare de zbor în timp real.
6. Cartografie, meteorologie, prospectarea resurselor.

7. Artă. Calitatea imaginilor create pe calculator a permis inserarea acestora în numeroase producții cinematografice (de exemplu, "Jurasik Park"). Alte aplicații vizează realizarea de imagini artistice realiste sau abstrakte, studii pentru sculptură, facilități pentru analiza și compozitia muzicală.
8. Comerț, reclamă. Graficele sunt utilizate foarte des pentru prezentarea sintetică a unor informații cu volum mare de tip financiar, statistic, matematic, sau economic.
9. Comanda și urmărirea proceselor. Reprezentările grafice ale stărilor proceselor reale sunt ajutoare prețioase în procesul decizional, în special în situații critice și în cazul în care numărul parametrilor de supraveghet este mare. Monitorizarea centralizată a proceselor se realizează în special în industria petrochimică, în metalurgie, în energetică.
10. Recreere: jocuri video pe calculator.

Scopurile aplicațiilor grafice în domeniile mai sus menționate pot fi clasificate astfel:

- afișarea informațiilor (desen tehnic, imagini medicale, vizualizare științifică, biologie moleculară, pentru interpretarea datelor multiple);
- proiectare (o problemă principală în design este existența soluțiilor multiple. Proiectantul examinează un desen potențial pe care îl modifică în ideea obținerii soluției optime);
- simulare (inclusiv jocuri);
- interfață cu utilizatorul (de exemplu Windows).

## 1.2 Componentele unui sistem grafic

Un sistem grafic tipic conține următoarele:

- (a) procesor,
- (b) memorie,
- (c) dispozitiv de intrare,
- (d) dispozitiv de ieșire.

Acest model include stații de lucru, calculatoare personale, terminale atașate la un calculator central cu timpi distribuți.

În sistemele grafice se întâlnesc două tipuri distincte de memorie. Pentru procesarea programului utilizatorului se folosește memoria standard a calculatorului. Imaginea este formată prin procesare aritmetică standard. Procesarea imaginii pe terminal, necesită o memorie care poate fi accesată extrem de rapid. Astfel, memoria video, numită și memorie ecran sau fișier ecran, este, uzuial, diferită față de memoria utilizată de procesorul ce formează imaginea, atât în caracteristicile fizice cât și în organizare.

## 1.3 Procesorul de terminal

Crearea unei imagini pe dispozitivul de ieșire a unui sistem grafic presupune două procese:

1. Primul este procesul de formare al imaginii. În această etapă, sunt procesate comenziile utilizatorului. Imaginea este formată din elemente (puncte, linii, texte) care sunt disponibile în sistem cu anumite atribute (culoare, font). Interfața cu utilizatorul este o parte a acestui proces. Imaginea poate fi specificată printr-un număr variat de căi, de exemplu, printr-un program de desenare controlat interactiv prin meniu sau printr-un program C ce utilizează biblioteca grafică. Procesorul fizic utilizat în această etapă este de obicei procesorul calculatorului gazdă.
2. Al doilea proces este afișarea imaginii. Procesorul indicat pentru execuțarea acestei operațiuni nu este de tipul standard al procesoarelor întâlnite în mod obișnuit în majoritatea calculatoarelor. Se utilizează procesorul de terminal, hardware specializat pentru a asista convertirea primitivele grafice într-o "hartă" de biți și pentru a executa operațiuni de mutare, copiere și modificare a bițiilor.

Un procesor de terminal (controlor grafic, coprocesor de display, display processor, procesor de imagine rastru, RIP) are un set limitat de instrucțiuni. Principalul obiectiv al acestuia este reîmprospătarea ecranului cu o anumită frecvență. Entitățile grafice sunt plasate în memoria video care este accesată de unitatea de procesare a ecranului. Computerul gazdă definește primitivele grafice o singură dată. Odată ce aceste primitive sunt trimise la procesorul de terminal, gazda este liberă pentru a executa alte sarcini.

Procesoarele de terminal sunt incorporate în majoritatea sistemelor grafice performante. În sistemele grafice simple, precum calculatoarele personale, controlorul grafic este o componentă software a bibliotecii grafice.

## 1.4 Principiul tubului catodic

Principiul de construcție al unui tub cu raze catodice, prescurtat CRT (majoritatea monitoarelor video intră în această categorie) constă în emiterea luminii pe o peliculă de fosfor lovită de un electron.

Un fascicul de electroni emis de un "tun de electroni" trece printr-un sistem de focalizare și unul de deflecție care direcționează fasciculul spre punctul specificat de pe un ecran impregnat cu fosfor. Intensitatea iluminării este stabilită prin controlarea voltajului unei grile ce precede sistemul de focalizare. Elementul fosforescent emite o mică cantă de lumină în fiecare punct lovit de fasciculul de electroni. Lumina emisă dispare rapid (intensitatea descrește exponențial). Imaginea este necesar a fi actualizată permanent (cel puțin de 60 ori pe secundă). Dacă rata de reîmprospătare descrește, apare fenomenul de cliping.

Sunt utilizate diferite tipuri de elemente fosforescente. În afara culorii, o diferență majoră între acestea este persistența, adică cât timp elementul continuă să emită lumină după ce fasciculul de electroni a fost mutat.

Persistența este definită ca timpul necesar luminii pentru descreșterea cu 10% din intensitatea inițială.

Terminalul cu memorarea imaginii pe ecran (DVST) sau tuburile catodice cu

memorie permit reținerea imaginii pe terminal un timp de nivelul orelor. Din păcate un asemenea dispozitiv nu poate fi utilizat în aplicațiile în timp real, deoarece părți ale imaginii anterioare rămân până când întreaga imagine este stearsă.

## 1.5 Grafica rastru. Zona tampon cadru

Există două moduri principale de memorare a imaginii:

1. punct cu punct — în grafica rastru (raster image display);
2. ca o mulțime de segmente de dreaptă pentru care se memorează coordonatele capetelor segmentelor în sistemul propriu al ecranului (vector, calligraphic sau stroke-writing display). Această variantă este compatibilă și cu periferice de tip plotter, dar are anumite dezavantaje: este dificil de adaptat pentru sintetizarea de imagini realiste (algoritmii corespunzători fiind greoi), oferă posibilități reduse de utilizare a culorilor și a nuanțelor, iar când se depășește un număr critic de segmente, apare fenomenul nedorit de pâlpâire (flickering) a imaginii.

Display-urile tip rastru se caracterizează printr-un spațiu de afișare alcătuit dintr-o matrice rectangulară de elemente grafice indivizibile. Pentru reprezentarea unei imagini pe ecran, calculatorul sau procesorul dispozitivului de afișare trebuie să genereze o aproximare discretă cât mai fidelă pentru imaginea ideală și să selecteze în rastru punctele corespunzătoare imaginii discretizate. Definirea unei imagini se realizează printr-un set de valori de intensitate pentru fiecare punct-ecran și aceste valori sunt vizualizate pe ecran către o linie la un moment dat.

În grafica rastru, imaginea este stocată ca o matrice de elemente numite pixeli. Astfel, o imagine digitizată este o matrice în care fiecare element este o colecție de numere ce descriu atributele unui pixel al imaginii (sau o funcție de variabilă discretă: unei perechi de numere naturale i se asociază o valoare). Adesea aceste numere sunt reprezentări discrete ale unui interval de numere reale. De exemplu, întregii de la 0 la 255 pot fi utilizati pentru a reprezenta o diviziune echidistantă a intervalului  $[0,1]$  (numerele reprezentând intensități ale punctelor imaginii în scara de gri sau intensități ale unor componente ale culorilor respectivelor puncte).

Pentru o imagine colorată, valoarea asociată unui pixel este un ansamblu de trei numere reprezentând intensitățile componentelor de roșu, verde și albastru ale culorii pixelului sau trei numere reprezentând indexi în tabele de intensități de roșu, verde și albastru sau un singur număr care este un index într-o tabelă de triplete de culoare.

Dimensiunile matricii sunt numite lățime, respectiv înălțime a imaginii, iar numărul de biți asociați cu fiecare pixel al matricei este adâncimea imaginii. Rastrul este matricea de pixeli ce reprezintă întreaga arie a ecranului. Fiecare linie de pixeli este referită ca linie de baleiere sau scanare.

Pixelii sunt stocați într-o zonă de memorie specială, numită zona tampon cadru. Motivul introducerii acestei memorii speciale este următorul: dacă me-

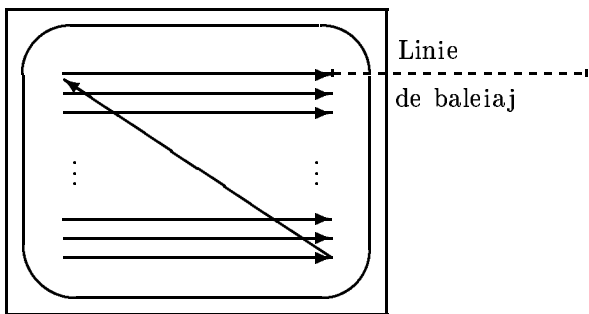


Figura 1.1: Baleierea ecranului de tip rastru

moria video poate fi citită din program, atunci imaginea poate fi construită chiar în această memorie; din păcate, nu toate terminalele oferă posibilitatea de citire prin program a stării bitului asociat cu un punct de pe ecran. Astfel, pentru a oferi posibilitatea prelucrării ulterioare a reprezentărilor simple ale imaginii, se poate crea un "écran virtual", o zonă de memorie care este identică ca mărime cu memoria video, în care se construiește imaginea. După definitivare, imaginea se transpune de aici în memoria video, deci pe ecran.

Zona tampon cadru se întâlnește și sub denumirile de zonă (buffer) de împrospătare, frame buffer, refresh buffer sau bitmap/pixmap (bitmap pentru sisteme cu 1 bit pentru reprezentarea unui pixel, pixmap sau pixel-map pentru sisteme cu mai mulți biți pentru un pixel), fiind folosită și din considerante de creștere a vitezei atunci când există mai multe plane de memorie video.

Zona tampon este scanată (baleiată) secvențial de adaptorul grafic (o linie de rastru la un moment dat) cu o rată de 50 la 70 de ori pe secundă și imaginea este împrospătată linie cu linie, în modul în care se produc imaginile de televiziune (figura 1.1). Primitivele grafice, precum segmentele de linii sau texte, sunt afișate prin excluderea sau includerea unor pixeli în zona tampon cadru. Acest proces este numit conversie de scanare, conversie de baleiere sau rasterizare.

Rata de scanare este numărul de linii scanate pe secundă. Este aproximativ egală cu produsul dintre rata de împrospătare a imaginii și numărul liniilor ecranului.

Adesea ciclul de împrospătare a imaginii-écran este segmentat: la o parcurgere a ecranului se vizualizează anumite linii, la următoarea trecere, liniile rămase (interlacing). Această tehnică este utilizată în special la terminalele rastru cu rată de împrospătare redusă.

O cale simplă pentru a construi icoane grafice și a le face să apară și să dispară repede este aceea de a le crea o singură dată în memorie și de a le copia în frame-buffer când sunt necesare. În pachetele de grafică rastru se realizează această tehnică prin generarea primitivelor în zone de memorie, numite tablouri (canvas) și copierea acestora în frame-buffer. Un asemenea tablou este o structură de date care înmagazinează o imagine, precum și informații referitoare

la dimensiunea și atributele imaginii.

În Figura 1.2 sunt prezentate cele două sisteme grafice clasice. Pachetele grafice au sarcini mai puține dacă există în sistem un procesor de terminal care tratează primitivele grafice direct (în acest caz pachetul grafic convertește numai reprezentările interne ale primitiveelor în formatele acceptate de perifericul de display).

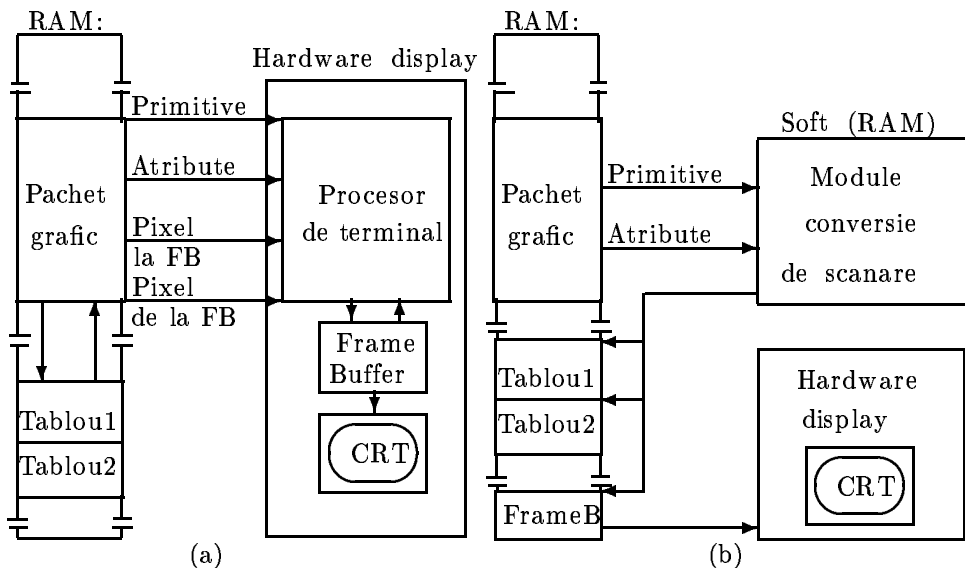


Figura 1.2: Funcționarea unui sistem grafic (a) cu procesor de terminal și frame-buffer (b) fără procesor de terminal și frame-buffer incorporat în memorie.

## 1.6 Pixel. Rezoluție. Raport aspectual. Spațiu adresabil

Calitatea imaginii afișate pe un ecran depinde de mărimea unui punct al ecranului și de numărul de puncte care pot fi create într-o unitate de lungime (număr ce desemnează adresabilitatea și care diferă pe direcțiile orizontală și verticală).

Un parametru foarte important al unui display este rezoluția. Ea se definește prin dimensiuni relative la cel mai mic detaliu ce poate fi distins pe ecran.

Elementul cel mai fin vizibil pe ecran este spotul (punct, pixel, picture-element). Dimensiunea spotului este diametrul punctului luminos pe care îl creează pe ecran fascicolul focalizat al tunului tubului de electroni. Ca ordin

de mărime, spotul are în jur de 0.02 inch = 0.508 mm (1 inch = 2.54 cm). Distanța dintre două puncte adiacente trebuie să fie mai mică decât diametrul unui punct pentru a asigura trasarea unei imagini continue.

Rezoluția unui ecran este indicată prin produsul dintre numărul de pixeli pe orizontală și pe verticală. Rezoluția poate fi definită și prin numărul maxim de puncte care pot fi afișate fără suprapunere sau numărul de linii distincte care pot fi create pe ecran într-un inch (dacă 40 de linii negre intercalate cu 40 de linii albe pot fi distinse într-un inch, rezoluția este de 80 linii/inch). Rezoluția depinde de tipul de elemente fosforescente și de sistemele de deflectie și focalizare.

O proprietate importantă a monitoarelor video este raportul aspectual (aspect ratio). Acest număr reprezintă raportul dintre numărul punctelor pe verticală, respectiv pe orizontală necesare pentru a produce linii de lungime egală în ambele direcții ale ecranului. Un raport de 3/4 indică faptul că o linie verticală compusă din trei puncte-écran are aceeași lungime ca o linie orizontală compusă din patru puncte ecran.

Spațiul vizibil este delimitat de rezoluția disponibilă. Dacă rezoluția este  $256 \times 176$ , sunt vizibile toate punctele pentru care abscisa  $x \in [0, 255]$ , iar ordonata  $y \in [0, 175]$ . Spațiul adresabil este domeniul pentru care operația de a pune un punct la coordonatele  $(x, y)$  nu conduce la o eroare. Spațiul adresabil include spațiul vizibil. Există display-uri pentru care spațiul adresabil este limitat numai de posibilitățile de reprezentare a numerelor în sistemul folosit (sisteme cu spațiu adresabil infinit). Atunci când spațiul adresabil este limitat și diferă de spațiul vizibil, lucrurile se petrec ca și când nu am putea vedea la un moment dat decât o parte din foaia pe care desenăm.

## 1.7 Cupluri grafice

În calculatoarele personale, frame-buffer-ul face parte din memoria calculatorului, iar memoria video este conținută în spațiul propriu zis de adresare al procesorului standard. Imaginea este formată în memoria video direct, fără a mai fi nevoie de o transmisie, obținându-se astfel o mare viteză de execuție. Scrierea directă în memoria ecran este numai o fază a procesorului. Pentru afișarea propriu-zisă această memorie video este citită secvențial de un bloc logic, independent de procesor, care realizează semnalele pentru monitor, conform standardului acestuia. Această funcție este realizată de adaptorul grafic, numit și cupluri grafice sau cupluri video (figura 1.3).

Primele cuploare grafice existente pe calculatoarele personale au fost MDA (Monochrome Display Adapter) și CGA (Color Graphics Adapter). Astăzi, cele mai cunoscute cuploare grafice ce echipează calculatoarele din familia IBM-PC-AT sunt EGA (Enhanced Graphics Adapter – 1984) și VGA (Video Graphics Array – 1987).

Performanțele unui cupluri grafic sunt măsurate prin viteza de execuție, rezoluția (dimensiunea în pixeli, puncte) și numărul de culori simultane. Standardele pentru cuploare grafice sunt următoarele:

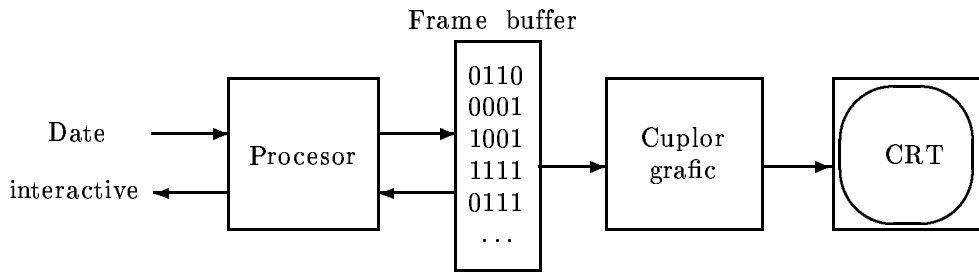


Figura 1.3: Sarcina cuplorului grafic

HGC(Hercules Graphics Card), rezoluție standard  $720 \times 348$ , 2 culori;  
 CGA(Color Graphics Adapter), rezoluție standard  $640 \times 200$ , 16 culori;  
 EGA(Enhanced Graphics Adapter), rezoluție standard  $640 \times 350$ , 16-64 culori;

VGA(Video Graphics Array), rezoluție standard  $640 \times 480$ , 16 culori;

SVGA(Super Virtual Graphics Adapter), rezoluție standard  $640 \times 480$ , 16-256 culori.

Pînă în noile realizări tehnologice se remarcă AGA (Advanced Graphics Adapter) cu o rezoluție de  $1024 \times 768$ . Cea mai bună rezoluție realizată este de  $4096 \times 4096$  pixeli.

## 1.8 Clasificarea terminalelor grafice

Terminalurile (monitoarele, ecranele, display-urile) grafice pot fi clasificate astfel:

- (i) după modul de memorare a imaginii:
  - 1. ecrane cu memorarea imaginii pe ecran (DVST – Direct View Storage Tube);
  - 2. ecrane cu memorarea imaginii într-o anumită zonă a RAM-ului (sisteme video-RAM cu baleiaj – Raster Scan Display);
- (ii) după modul cum este obținută imaginea pe ecranul tubului video:
  - 1. ecrane rastru;
  - 2. ecrane caligrafice (display-uri vectoriale);
- (iii) după cum este întreținută imaginea pe ecran:
  - 1. ecrane cu reîmprospătare periodică a imaginii (refresh display);
  - 2. ecrane care memorează imaginea (storage display);
- (iv) după numărul de culori pe care este capabil să le afișeze:
  - 1. ecrane alb-negru;
  - 2. ecrane color.

Există mai multe metode de parcursere (baleiere, scanare) a imaginii de către spot. Cele mai utilizate sunt:

- parcurgerea aleatoare folosită la display-urile caligrafice;
- parcurgerea rastru cu două variante:
  1. parcurgerea neîntrețesută, când tot ecranul este parcurs într-un singur cadru,
  2. parcurgerea întrețesută, când ecranul este parcurs în două semicădre: în primul, liniile impare, iar în cel de-al doilea, liniile pare.

Alte tipuri de terminale sunt cele care folosesc diode emitente de lumină (LED) sau cristale lichide (LCD), ecranele cu plasmă (Plasma Panel, matrice de bulbi de neon ce crează o imagine ce nu necesită împrospătare), și ecranele cu laser ce produc imagini tridimensionale pe un suport bidimensional sau într-o incintă specială (display-uri holografice).

## 1.9 Echipamente grafice interactive

Echipamentele logice de intrare într-un sistem grafic se pot clasifica astfel:

1. tastatura: pentru introducerea unui sir de caractere;
2. locatorul: identifică o poziție și/sau o orientare (joystick, trackball, mouse, digitizoare: tableta sonică, cu stilet sau cursor, tableta sensibilă la atingere, creionul luminos);
3. selectorul (întrerupător): alege o variantă din mai multe alternative posibile (taste funcționale, butoane mouse);
4. valuatorul: permite introducerea unei singure valori în spațiul numerelor reale (potențiometri rotativi montați în mod curent în grupuri);

Tastatura produce un cod digital corespunzător secvenței de taste apăsate de către utilizator. Aceste secvențe sunt interpretate în mod ușual ca și coduri de caractere. Pe de altă parte, grupuri de taste pot fi interpretate ca intrări grafice. De exemplu, tastele "săgeți" pot fi utilizate pentru deplasarea cursorului pe ecran.

Joystick-ul este o pârghie verticală (stick) montată pe o bază, ce permite mutarea cursorului în orice direcție. Consta din doi potențiometri ale căror ieșiri corespund poziției unghiulare a tijei. Majoritatea selectează poziția pe ecran prin actuala mișcare a pârghiei sau prin apăsare.

Operații similare se pot obține prin utilizarea unui trackball — acesta realizează aceleași funcții ca și joystick-ul, dar diferă constructiv, fiind prevăzut cu o bilă ce poate fi rotită, rotația fiind codificată de 4 traductoare optice și transferată unității de control care convertește codurile în deplasări ale cursorului pe axe de coordonate planare. În acest caz, mișcarea cursorului este obținută prin mutarea unei sfere în loc de pârghie.

Joystick-ul și trackball-ul au fost extinse la dispozitive ce permit mișcarea în a treia dimensiune. Mai performant, spaceball-ul, o sferă rigidă pe care utilizatorul o poate muta în orice poziție, indică o direcție sau o translație 3D.

Spre deosebire de joystick și trackball, mouse-ul poate fi utilizat în mutări relative ale cursorului pe ecran. Mouse-ul mecanic are două role care preiau deplasările pe cele două direcții,  $x$  și  $y$ , iar mouse-ul optic se bazează pe

întreruperea reflexiei unei suprafețe cu linii reflectorizante și nereflectorizante. Butoanele sunt utilizate pentru semnalarea unor operații speciale. Mouse-ul vede ecranul fizic al calculatorului ca o matrice de puncte ce reprezintă ecranul virtual și utilizează perechi de puncte virtuale pentru localizarea oricărui punct sau obiect de pe ecran. Există o corespondență de 1:1 între punctele din ecranul virtual și pixelii din ecranul fizic. Mouse-ul există sub formă de:

1. cursor grafic, care este o matrice de pixeli ( $16 \times 16$ ) ce se deplasează peste imaginile de pe ecran;
2. cursor text software, constituind un atribut de text, cursor ce poate fi deplasat de la un caracter la altul;
3. cursor text hardware, care poate fi obținut prin modificarea formei cursorului implicit dat de adaptorul grafic respectiv.

La un moment dat poate fi activ doar un singur cursor. Driver-ul de mouse (programul ce însotesc dispozitivul) realizează funcții privind selectarea tipului de cursor dorit, modificarea atributelor cursorului, salvarea și restaurarea unor porțiuni de pe ecran, controlează mișcările cursorului exprimate prin mărime, direcție și durată.

Digitizoarele sunt dispozitive de introducere în calculator a coordonatelor numerice ale unor puncte sau curbe de pe un desen deja realizat, coordonate raportate la un sistem rectangular de axe atașat suprafeței de lucru. Această acțiune are loc în scopul reproducării desenului (în urma unor modificări, complete sau alte prelucrări) pe un ploter sau o imprimantă matriceală. Se activează un cursor manual sau un stilet la pozițiile corespunzătoare de pe o suprafață plană. Performanțele acestor dispozitive sunt date de numărul de funcții predefinite oferite de către driver precum și de rezoluție. Cele mai performante digitizoare au un număr de 100-150 de funcții predefinite, iar rezoluția până la 100 de puncte distincte de digitizare per centimetru. Digitizoarele tridimensionale permit înregistrarea pozițiilor în spațiu. Un digitizor se compune din suprafață de lucru, cursor și electronica de comandă și de interfață cu calculatorul.

O tabletă grafică sensibilă la atingere (touch panel) este un digitizor de dimensiuni mari care poate fi folosit pentru selecție, o placă transparentă care poate acoperi ecranului unui CRT și care permite selectarea pozițiilor indicate prin atingerea cu un deget. Metoda de determinare a poziției este optică, electrică sau acustică.

Un creion optic (light pen) permite selectarea unei poziții pe ecran prin detectarea luminii primite de la punctele ecranului CRT. Coordonatele introduse printr-un asemenea dispozitiv sunt utilizate în aplicații grafice pentru selectarea sau pozitionarea obiectelor pe ecran.

Scanarea (baleierea) unei imaginii deja trasate este o soluție (pentru construirea pe ecran și memorarea unei imagini) mult mai rapidă decât utilizarea digitizoarelor, dar apare problema vectorizării, adică a procesului de extragere a primitivelor grafice din imaginea discretă rezultată. Scanner-urile performante actuale sunt cele foto, cu tambur și rază laser, și cele cu cristale lichide.

## 1.10 Echipamente grafice pasive

Echipamentele de trasare dintr-un sistem grafic pot fi de două tipuri: imprimante sau plotere.

Imprimantele (printer-ele) afișează informația prin metoda impactului sau nonimpact. Imprimantele cu impact realizează imprimarea unui caracter deja format. Asemenea caractere sunt montate, de exemplu, pe lanțuri. Imprimantele nonimpact utilizează adesea metoda matricei de puncte. Acestea oferă posibilități deosebite pentru grafică.

Rezoluția grafică a imprimantelor este măsurată în dpi (densitate puncte per inch), 180 dpi fiind o rezoluție bună pentru aceste dispozitive. Există mai multe tipuri de astfel de dispozitive cu performanțe din ce în ce mai mari, ajungându-se la imprimante cu laser cu rezoluții între 300 dpi și 1800 dpi (acestea putând fi comparate cu cele mai moderne echipamente de tipărit).

Imprimantele cu ace conțin capete de scriere cu 7-24 pini, fiecare putând fi acționat independent. Imprimantele color pot conține un singur cap de scriere cu bandă multicoloră sau mai multe capete de scriere, fiecare cu bandă de culoare distinctă.

Imprimantele cu jet de cerneală construiesc imagini prin puncte. Fiecare punct este rezultatul expediției unei minusculă picături de cerneală sub acțiunea unor câmpuri electrostatice.

Imprimantele termice transferă pigmenti de pe hârtia colorată pe hârtia albă specială.

Imprimantele laser baleiază o rază laser de-a lungul unui tambur rotativ încărcat pozitiv cu selenium. Ariele atinse de raza laser își pierd încărcarea. Toner-ul încărcat negativ este adăugat la aria tamburului și este transferat pe hârtie. Pentru imprimare color procesul este repetat de trei ori, o dată pentru fiecare culoare primară. Un microprocesor realizează conversia de scanare, astfel încât un mare număr de imprimante laser acceptă documente PostScript (descriere procedurală a imaginii).

Ploterele sunt destinate trasării imaginilor realizate de aplicații grafice, desenele executându-se în tuș, cerneală sau pastă, pe un suport de hârtie (plot = trasare). Au o precizie mare de execuție și pot executa orice tip de desen. Comenzile tipice pentru un ploter includ cele care ridică sau coboară capul și îl mută la o poziție specifică. Depinzând de capabilitățile ploterului, pot fi alese de la 4 la 16 direcții diferite pentru mișcare. Aceste dispozitive se clasifică astfel:

(i) funcție de principiu folosit pentru scriere:

1. plotere cu peniță: folosesc un dispozitiv mecanic la care penița are posibilitatea de mișcare pe două axe ortogonale; se utilizează una la opt penițe selectable prin program fiecare putând avea culori sau grosimi diferite ale scrisului;
2. fotoplotere: mediul de desen este un film fotografic, penița fiind înlocuită cu un cap optic ce impresionează pelicula;
3. plotere matriceale: descompun desenul în puncte elementare situate pe o grilă pătratică;

4. plotere electrostatice: folosesc același principiu de descompunere a desenului în puncte elementare, punctul fiind realizat printr-o depunere electrostatică a substanței de contrast (toner);
  5. plotere termice: impresionează, pe baza unui principiu termic, o hârtie termosenzitivă specială;
  6. plotere cu jet de cerneală: ca și la imprimantele cu jet de cerneală, fiecare punct este trasat prin expedierea unei minusculе picături de cerneală printr-un tub capilar sub acțiunea unor câmpuri electrostatice.
- (ii) după suprafață utilă a desenului (A4, A3 etc);
- (iii) după poziția și modul de fixare a hârtiei:
1. plotere plane (flatbed plotter): utilizează o bară care se poate muta de la o anumită latură a dispozitivului la cea opusă, în timp ce capul de imprimare se mișcă de-a lungul barei;
  2. plotere cu tambur (drum plotter): bara pe care se plimbă capul de imprimare este fixă, mișcându-se hârtia înainte și înapoi;
  3. plotere cu pat-bombat (beltbed plotter): bara este fixă, imprimarea se realizează pe o suprafață netedă, după care hârtia este rulată.

Proprietatea geometrică de bază a ploterelor este rezoluția. Aceasta se definește prin numărul de puncte care pot fi separat identificate și adresate pe o direcție elementară. Se exprimă fie ca număr de puncte pe unitatea de lungime (ex: 100 pct/mm), fie ca mărime a pasului elementar (ex: 0,01mm).

## 1.11 Clasificarea aplicațiilor grafice

O aplicație grafică poate fi inclusă într-una din următoarele categorii:

1. editor grafic,
2. bibliotecă grafică,
3. program grafic specializat,
4. produs de birotică (desktop publishing, worksheet graphics).

Editoarele grafice (software bazat pe selecție, turnkey software) sunt destinate prelucrării grafice în domeniul proiectării asistate de calculator și au următoarele funcții:

- salvarea imaginilor în fișiere,
- introducerea de noi elemente grafice,
- trasări de curbe, suprafețe și linii poligonale,
- selectarea culorilor și a tipurilor de linie,
- scalări și rotații ale obiectelor selectate,
- hașurări diverse ale figurilor convexe,
- facilități de trasare cu realizarea impresiei obiectelor tridimensionale,
- mărirea și micșorarea desenelor,
- utilizarea textelor cu diverse tipuri de caractere, cel puțin ale alfabetului latin și alfabetului grecesc,
- editarea de simboluri, utilizarea de simboluri matematice, astronomice, muzicale, etc.,

- trasarea în diverse sisteme de coordonate și tipuri de proiecții,
- selectarea sistemului de măsură și a dimensiunii paginii de desen,
- localizarea obiectelor prin referință la alte obiecte,
- atribută de vizibilitate, prioritate, culoare pentru obiecte și posibilitatea editării folosind aceste atribută.

Exemple de produse care înglobează editoare grafice sunt: AutoCAD, Freelance 2 Plus, Windows Paint, PC Paintbrush, Deluxe Paint, Mini CAD 2, Generic CAD.

În sistemele CAD, anumite părți ale unui desen pot fi construite în mod interactiv. După specificarea dimensiunilor obiectului, proiectantul are posibilitatea de a vizualiza orice față a obiectului în forma finală. Arhitecții pot porni de la planurile de desen standard. Se pot face schimbări experimentale. Tehnici similare sunt utilizate în proiectarea rețelelor de comunicații. Pentru proiectanții de automobile, avioane, aeronave sau vapoare o facilitate importantă este aceea că suprafetele ce constituie anumite secțiuni sau componente ale vehiculului pot fi proiectate separat și potrivite apoi pentru a construi obiectul final. Simulatoarele permit testarea performanțelor vehicolelor astfel construite.

Bibliotecile grafice (terminal-based software) sunt destinate prelucrărilor grafice prin intermediul limbajelor de programare de nivel înalt (exemple: mediile Borland). Aceste biblioteci conțin rutine (primitive) grafice care realizează funcțiile grafice necesare aplicațiilor grafice. O bibliotecă grafică trebuie să conțină:

- rutine de inițializare a sesiunii de grafică: acestea selectează modul grafic și stabilesc zonele de memorie pentru scrierea și afișarea imaginilor;
- rutine pentru stabilirea zonei coordonatelor vizibile ale desenului (spațiul utilizator) și zona activă pe ecran (spațiul disponibil);
- rutine pentru selectarea culorilor, rutine pentru stabilirea atributelor de culoare de trasare, stil de linie, grosime linie etc;
- rutine pentru trasarea liniilor, arcelor, elipselor, poliliniilor, trasarea hașurilor, afișarea textului;
- rutine pentru copierea imaginii grafice la imprimantă;
- rutine pentru gestiunea memoriei ecran.

Programele grafice specializate sunt destinate rezolvării problemelor din anumite domenii, oferind utilizatorului posibilitatea să enunțe probleme cât mai simplu și în concordanță cu limbajul utilizat în domeniul său. În general, aceste programe cuprind două părți:

1. nucleul, ce efectuează calculele sau operațiile corespunzătoare domeniului respectiv (exemple: calcule matematice, vezi Mathematica și Maple, calcule tehnico-științifice, vezi Eureka și MathCAD),
2. interfața cu utilizatorul, ce transferă informația de la utilizator la calculator și asigură prezentarea și procesarea grafică a rezultatelor.

Mathematica este un produs program care realizează calcule matematice în mod simbolic, adică operează în mod simbolic cu ecuații și formule, face reduceri și descompuneri în factori, derivează și integrează funcții (în cazul în care pentru integrală există soluția analitică; dacă integrarea simbolică nu

este posibilă, atunci programul prezintă o soluție numerică). Reprezentarea rezultatelor diverselor probleme se poate realiza în două sau trei dimensiuni în coordonate rectangulare sau sferice. Funcțiile grafice ale programului oferă posibilități pentru procesarea textelor matematice, fiind un foarte bun editor de texte matematice. În MathCAD și Eureka, introducerea datelor se face folosind limbajul matematic ușual. Problema ce trebuie rezolvată se prezintă prin ecuații, sisteme, relații etc, care se declară prin notații matematice obișnuite. Calculele sunt realizate prin metode numerice.

Produsele de birotică de tipul desktop publishing sunt destinate realizării de publicații (ziare, reviste, reclame, etc), parcurgând toate etapele dintr-o tipografie clasică. Principalele funcții ale acestor produse sunt:

- redactarea documentului cu ajutorul unui procesor de texte,
- editarea și corectarea documentului,
- includerea textului în pagină,
- inserarea în text a desenelor realizate automat sau preluate prin intermediul unui scanner,
- realizarea design-ului paginii,
- machetarea paginilor și tipărirea conform machetei.

Cele mai des utilizate produse de acest tip sunt: Xerox Ventura Publisher, WordStar, WordPerfect, MultiMate, TeX, LaTeX, PageMaker, XPress, Super Paint, Publish IT, SciWord, multe dintre acestea fiind compatibile cu editoare grafice precum AutoCAD, PaintBrush, Windows Paint.

Produsele de birotică de tipul worksheet graphics sunt destinate aplicațiilor de evidență din domeniul finanțier-contabil și pot realiza: analiza vânzărilor, balanțe comerciale, salarii, date personale ale salariaților etc. Datele sunt introduse în celule care se află în cadrul unor tabele. Grafica este folosită la prezentarea ieșirilor sub formă de diagrame, grafice, tabele, etc. Cele mai cunoscute produse cu aceste funcții sunt Lotus și QuattroPro.

Un interes considerabil s-a acordat elaborării unui standard al aplicațiilor grafice. În 1985, Organizația Internațională a Standardelor (ISO) a aprobat în acest sens Graphical Kernel System (GKS). Standardul GKS definește un set de funcții ce realizează sarcini grafice într-un mod independent de limbaj. Prima versiune a fost elaborată pentru grafica bidimensională. În 1988, este aprobată o extensie 3D a GKS-ului, dar sistemul grafic PHIGS (Programmer's Hierarchical Interactive Graphics System) mai sofisticat câștigă teren datorită gradului mai înalt de complexitate. GKS suportă gruparea primitelor relaționate logic — precum linile, poligoanele sau sirurile de caractere — și atributelor lor în colecții numite segmente; aceste segmente nu pot fi însă compuse. PHIGS suportă gruparea primitelor tridimensionale pe bază de compunere în ierarhii, numite structuri.; toate primitivele, precum și invocarea substructurilor, sunt subiectul transformărilor geometrice (scalare, rotație, translație).

## C a p i t o l u l 2

### T r a n s f o r m ă r i g e o m e t r i c e

## 2.1 Transformări bidimensionale

Se consideră un reper cartezian, un obiect bidimensional descris în respectivul sistem și  $P(x, y)$  un punct oarecare al obiectului.

### 2.1.1 Translație

Prin translație se deplasează toate punctele unui obiect cu un anumit deplasament. Operația este definită relativ la cele două axe de coordonate carteziene prin deplasamentele specifice pe fiecare axă. Punctul  $P(x, y)$  este translatat în punctul  $P'(x', y')$  dacă

$$\begin{cases} x' = x + \Delta x, \\ y' = y + \Delta y. \end{cases}$$

unde  $\Delta x, \Delta y$  sunt deplasamentele specifice. Vectorial, operația poate fi scrisă

$$P' = P + T$$

unde

$$P = \begin{pmatrix} x \\ y \end{pmatrix}, \quad P' = \begin{pmatrix} x' \\ y' \end{pmatrix}, \quad T = \begin{pmatrix} \Delta x \\ \Delta y \end{pmatrix}.$$

### 2.1.2 Scalare

Scalarea poate fi descrisă prin ecuațiile

$$\begin{cases} x' = s_x x, \\ y' = s_y y, \end{cases}$$

unde  $s_x$  și  $s_y$  sunt constantele de scalare,  $P(x, y)$ , punctul inițial, iar  $P'(x', y')$  punctul transformat. Un factor de scalare negativ produce ca efect secundar

reflecția față de axa corespunzătoare. Ecuația vectorială este

$$P' = SP$$

unde

$$S = \begin{pmatrix} s_x & 0 \\ 0 & s_y \end{pmatrix}.$$

### 2.1.3 Rotație

Prin rotația cu un unghi  $\theta$  față de origine, punctele unui obiect rămân la aceeași distanță față de originea sistemului. Un unghi pozitiv respectă sensul de rotație trigonometric (contrar fusului orar). Utilizând coordonatele polare și considerând că

$$\begin{cases} x = r \cos \phi, \\ y = r \sin \phi, \end{cases}$$

după rotație

$$\begin{cases} x' = r \cos(\phi + \theta), \\ y' = r \sin(\phi + \theta), \end{cases}$$

Prin dezvoltarea funcțiilor cos și sin din expresia anterioară se obțin ecuațiile transformării în coordonate carteziene:

$$\begin{cases} x' = x \cos \theta - y \sin \theta, \\ y' = x \sin \theta + y \cos \theta. \end{cases}$$

Vectorial, operația poate fi exprimată prin

$$P' = RP,$$

unde

$$R = \begin{pmatrix} \cos \theta & -\sin \theta \\ \sin \theta & \cos \theta \end{pmatrix}.$$

### 2.1.4 Coordonate omogene

Pentru transformările bidimensionale amintite mai sus, ecuațiile vectoriale sunt următoarele:

$$P' = T + P, \quad P' = SP, \quad P' = RP.$$

Se observă că translația este tratată în mod distinct, printr-o adunare.

Reprezentarea punctelor în coordonate omogene permite tratarea tuturor transformărilor prin multiplicări matriceale. Pe lângă cele două coordonate carteziene standard apare o a treia: un punct  $(x, y)$  în coordonate carteziene este reprezentat prin tripletul  $(x, y, w)$  în coordonate omogene. Reprezentarea unui punct nu este unică. De exemplu,  $(2, 4, 8)$  și  $(1, 2, 4)$  reprezintă același punct din plan. Dacă  $w \neq 0$ , atunci  $(x, y, w)$  reprezintă același punct ca și

$(x/w, y/w, 1)$ , iar coordonatele  $x/w, y/w$  sunt coordonatele carteziene asociate punctului omogen. Punctele cu  $w = 0$  se numesc puncte la infinit.

Matricile transformărilor mai sus amintite, se rescriu în coordonate omogene astfel:

$$T(\Delta x, \Delta y) = \begin{pmatrix} 1 & 0 & \Delta x \\ 0 & 1 & \Delta y \\ 0 & 0 & 1 \end{pmatrix}, \quad S(s_x, s_y) = \begin{pmatrix} s_x & 0 & 0 \\ 0 & s_y & 0 \\ 0 & 0 & 1 \end{pmatrix}$$

$$R(\theta) = \begin{pmatrix} \cos \theta & -\sin \theta & 0 \\ \sin \theta & \cos \theta & 0 \\ 0 & 0 & 1 \end{pmatrix},$$

iar noile relații vectoriale sunt:

$$P' = T(\Delta x, \Delta y)P, \text{ sau } P' = S(s_x, s_y)P, \text{ sau } P' = R(\theta)P.$$

### 2.1.5 Transformări affine

Majoritatea transformărilor efectuate în lumea reală păstrează liniile drepte. Asemenea transformări includ rotația, reflectia, scalarea și translația și definesc clasa de transformări numite transformări affine. Deoarece transformările affine asupra unor segmente de linii conduc tot la segmente de linii, oricare două transformări affine sunt echivalente cu o singură transformare afină. Acest fapt ne permite construirea unor transformări complexe prin combinarea unor secvențe de transformări simple (rotația în jurul originii, translația și scalarea). Procesul de aplicare succesivă a mai multor transformări affine este numit concatenare.

O secvență de transformări affine poate fi reprezentată printr-o matrice unică. De exemplu, rotația în jurul unui punct  $(x_0, y_0)$  poate fi descrisă prin produsul matriceal  $CBA$ , unde

$$A = T(-x_0, -y_0), \quad B = R(\theta), \quad C = T(x_0, y_0).$$

O clasă importantă de operații o constituie transformările inverse. Dacă transformarea  $A$  produce  $P' = AP$ , transformarea inversă produce  $P = A^{-1}P'$ .

Transformările affine păstrează paralelismul dintre linii dar nu și lungimile și unghiurile. Un exemplu concluziv este înclinarea față de o anumită axă. Corespunzător axei  $x$  și unghiului de înclinare  $\phi$ , ecuațiile transformării sunt

$$\begin{cases} x' = x + y \operatorname{ctg} \phi, \\ y' = y, \end{cases}$$

ecuații care conduc la matricea de transformare

$$H_x = \begin{pmatrix} 1 & \operatorname{ctg} \phi \\ 0 & 1 \end{pmatrix}.$$

Operația poate fi obținută prin concatenarea a trei transformări elementare.

## 2.2 Sisteme carteziene de referință

În aplicațiile grafice se disting următoarele trei sisteme carteziene de referință:

- (1) sistemul de coordonate ale lumii reale (înconjurătoare) în care observatorul este centrul acestuia (WCS – World Coordinate System);
- (2) sistemul de coordonate ale unui dispozitiv (DCS – Device Coordinate System);
- (3) sistemul de coordonate normalize ale unui dispozitiv (NDCS – Normalized Device Coordinate System).

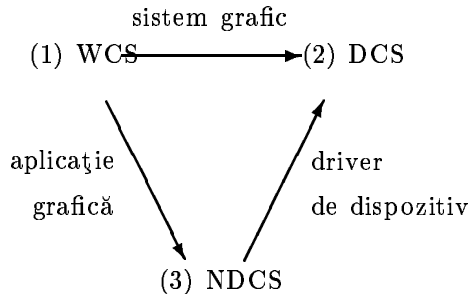


Figura 2.1: Transformarea unei imagini din lumea reală în imagine pe dispozitivul de ieșire al unui sistem grafic

Transformarea coordonatelor din sistemul (1) în sistemul (2) este sarcina sistemelor grafice (figura 2.1). În general, un sistem real are o varietate de intrări și ieșiri, astfel încât pachetul grafic ar trebui să gestioneze mai multe sisteme (2). În majoritatea aplicațiilor se utilizează un sistem de coordonate intermediar, desemnat prin (3). Se consideră astfel un dispozitiv virtual în termenii căruia se scrie soft-ul necesar. Dispozitivul virtual uzual este pătratul unitate din sistemul (3), care are colțul din stânga jos în originea sistemului. Valorile exprimate în unități de pe dispozitivul virtual sunt transformate în valori în sistemul (2) ca ultimă etapă de procesare. Această transformare este realizată de driver-urile de dispozitiv ( componente software ale sistemelor grafice). Se permite astfel adăugarea unui nou dispozitiv în sistemul grafic, dacă este însoțit de un anumit driver, fără a fi necesară alterarea pachetelor grafice.

## 2.3 Ferestre și zone de lucru

Anumite aplicații grafice permit specificarea primitivelor grafice în sistemul de coordonate ale lumii reale (WCS) utilizând unități de lungime. Pachetul de subrute grafice trebuie să efectueze transformarea din coordonatele lumii reale în coordonatele ecranului (DCS).

Termenul de fereastră (window) a fost introdus spre a desemna o zonă dreptunghiulară a unui plan situat în spațiul coordonatelor obiectului de obser-

vat, perpendiculară pe direcția de observare, pe care se proiectează pe ecran informația dorită la un moment dat. Unei asemenea ferestre i se asociază o regiune dreptunghiulară în coordonatele normalizate de terminal (NDCS), numită zonă de lucru (viewport), în care imaginea din fereastră este transformată (digitizată).

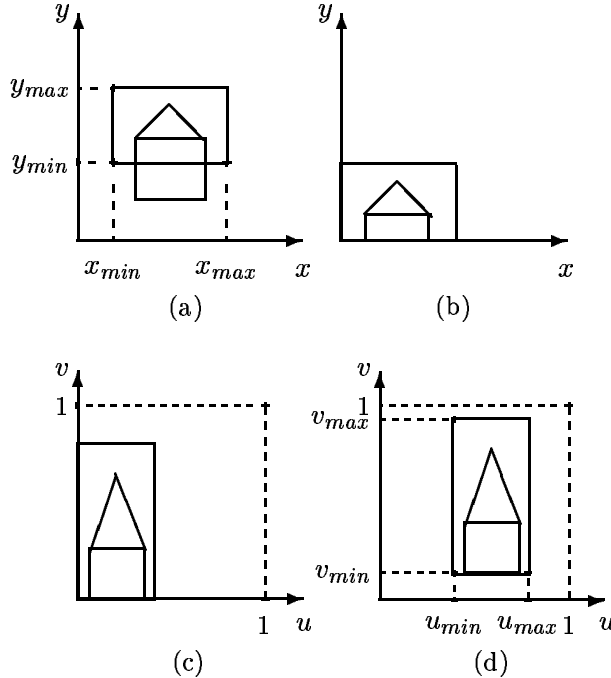


Figura 2.2: Transformarea unei ferestre într-o zonă de lucru (a) Fereastra în coordonatele lumii reale (b) Fereastra translată în originea sistemului (c) Fereastra scalată la dimensiunea zonei de lucru (d) Translatarea imaginii în zona de lucru

Fie fereastra specificată prin  $(x_{min}, y_{min}), (x_{max}, y_{max})$ , coordonatele a două vârfuri extreme ale zonei dreptunghiulare din WCS, iar zona de lucru, prin  $(u_{min}, v_{min}), (u_{max}, v_{max})$ , unde  $0 \leq u_{min} < u_{max} \leq 1$ ,  $0 \leq v_{min} < v_{max} \leq 1$ , coordonatele vârfurilor corespunzătoare ale zonei dreptunghiulare din NDCS. Matricea transformării fereastră – zonă de lucru poate fi construită prin concatenarea celor trei transformări sugerate în figura 2.2:

$$P' = MP,$$

unde

$$M = T(u_{min}, v_{min})S\left(\frac{u_{max} - u_{min}}{x_{max} - x_{min}}, \frac{v_{max} - v_{min}}{y_{max} - y_{min}}\right)T(-x_{min}, -y_{min}).$$

Astfel, ecuațiile de transformare a unei ferestre într-o zonă de lucru sunt următoarele:

$$\begin{cases} u = u_{min} + \frac{u_{max} - u_{min}}{x_{max} - x_{min}}(x - x_{min}), \\ v = v_{min} + \frac{v_{max} - v_{min}}{y_{max} - y_{min}}(y - y_{min}). \end{cases}$$

O pereche similară de transformări se aplică pentru trecerea de la NDCS la DCS.

Transformările efectuate asupra unui viewport se efectuează fie asupra conținutului memoriei video (sau al refresh-buffer-ului), fie asupra coordonatelor proiecțiilor punctelor obiectului din lumea reală. În primul caz, la scalare imaginea se modifică prin înlocuirea unui pixel cu un dreptunghi având laturile (exprimate în pixeli) egale cu factorii de scară. Procedeul este utilizat pentru factori de scară întregi și supraunitari. Rotația unei zone de lucru poate fi realizată ca o transformare multipas, de exemplu ca produs a trei înclinări față de axe:

$$\begin{pmatrix} \cos \theta & -\sin \theta \\ \sin \theta & \cos \theta \end{pmatrix} = \begin{pmatrix} 1 & -\operatorname{tg}(\theta/2) \\ 0 & 1 \end{pmatrix} \begin{pmatrix} 1 & 0 \\ \sin \theta & 1 \end{pmatrix} \begin{pmatrix} 1 & -\operatorname{tg}(\theta/2) \\ 0 & 1 \end{pmatrix}.$$

În cazul construirii unei imagini sub limitele spațiului vizibil, pot apărea o serie de primitive care vor intersecta frontiera ferestrei (figura 2.2.a). Este necesară eliminarea din aceste primitive a portiunilor care ies din zona observabilă (din fereastră). Această operație este cunoscută sub numele de clipping (decupare, retezare, tăiere).

## 2.4 Transformări tridimensionale

Așa cum unei transformări bidimensionale exprimate în coordinate omogene îi corespunde o matrice  $3 \times 3$ , o transformare tridimensională este reprezentată printr-o matrice  $4 \times 4$ .

Prin transformarea de omogenizare, se asociază unui punct  $(x, y, z)$  în coordinate carteziene, un punct  $(x, y, z, w)$  în coordinate omogene, cu proprietatea că două cvadruple reprezintă același punct dacă coordonatele lor sunt proporționale. Reprezentarea standard a unui punct omogen  $(x, y, z, w)$  cu  $w \neq 0$  este  $(x/w, y/w, z/w, 1)$ .

Translația tridimensională este o simplă extensie a celei bidimensionale. Matricea transformării este

$$T(dx, dy, dz) = \begin{pmatrix} 1 & 0 & 0 & \Delta x \\ 0 & 1 & 0 & \Delta y \\ 0 & 0 & 1 & \Delta z \\ 0 & 0 & 0 & 1 \end{pmatrix}.$$

Rotația oarecare a unui sistem de puncte se descompune în cel mult trei rotații, maxim câte una după fiecare axă a unui reper triortogonal. Pen-

tru rotațiile în jurul axelor de coordonate s-au convenit anumite direcții ale rotațiilor pozitive (figura 2.3).

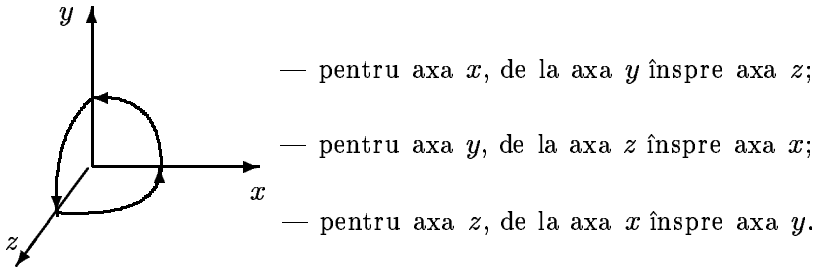


Figura 2.3: Sensul rotațiilor de unghi pozitiv

Astfel rotațiile în jurul axelor sunt reprezentate prin matricele de transformare următoare:

$$R_z(\theta) = \begin{pmatrix} \cos \theta & -\sin \theta & 0 & 0 \\ \sin \theta & \cos \theta & 0 & 0 \\ 0 & 0 & 1 & 0 \\ 0 & 0 & 0 & 1 \end{pmatrix}, \quad R_y(\theta) = \begin{pmatrix} \cos \theta & 0 & \sin \theta & 0 \\ 0 & 1 & 0 & 0 \\ -\sin \theta & 0 & \cos \theta & 0 \\ 0 & 0 & 0 & 1 \end{pmatrix},$$

$$R_x(\theta) = \begin{pmatrix} 1 & 0 & 0 & 0 \\ 0 & \cos \theta & -\sin \theta & 0 \\ 0 & \sin \theta & \cos \theta & 0 \\ 0 & 0 & 0 & 1 \end{pmatrix}.$$

Rotația unui obiect în jurul unei drepte arbitrară, dar paralelă cu o anumită axă de coordonate presupune:

1. translatarea obiectului astfel încât axa de rotație să coincidă cu axa paralelă de coordonate;
2. efectuarea rotației;
3. translatarea obiectului astfel încât axa de rotație să fie mutată în poziția originală.

Dacă axa de rotație nu este paralelă cu nici una din axe de coordonate este necesară rotația în prealabil a acestei axe astfel încât să fie paralelă cu una din axe de coordonate. În final se aplică transformarea inversă pentru a aduce axa de rotație la orientarea inițială.

Spre deosebire de rotație și translație, înmulțirea cu factori de scală afectează distanțele dintre puncte. Cea mai simplă transformare de acest gen este asemănarea, care folosește un factor de scală global,  $s$ , cu care se înmulțesc coordonatele corpului. Sistemul de puncte poate fi modificat diferit după fiecare din cele trei axe ale sistemului de referință, caz în care se definesc factorii de scară direcționali  $s_x$ ,  $s_y$ ,  $s_z$ . Astfel scalarea tridimensională este descrisă prin

matricea

$$S(s_x, s_y, s_z) = \begin{pmatrix} s_x & 0 & 0 & 0 \\ 0 & s_y & 0 & 0 \\ 0 & 0 & s_z & 0 \\ 0 & 0 & 0 & 1 \end{pmatrix}.$$

Alte cazuri particulare de scalări sunt simetriile pentru care  $s_x, s_y, s_z$  sunt  $-1$  sau  $1$ . Astfel, de exemplu, pentru

- simetria față de planul  $xOy$ :  $s_x = s_y = 1, s_z = -1$ ;
- simetria față de axa  $y$ :  $s_x = s_z = -1, s_y = 1$ ;
- simetria față de origine:  $s_x = s_y = s_z = -1$ .

Simetria față de un plan oarecare se poate rezolva aplicând sistemului de referință o translație și o rotație astfel încât un plan de coordonate să se suprapună peste planul dat și apoi se efectuează simetria față de acel plan de coordonate. După aceasta se face rototranslația inversă. Analog se procedează în cazul unei drepte oarecare. În cazul unui punct este suficientă o translație aplicată sistemului de coordonate astfel încât originea să ajungă în punctul dat, apoi se aplică relațiile de simetrie față de origine; după calcularea coordonatelor punctului simetric, se aplică translația inversă.

Simetriile se pot exprima ca produs de simetrii față de planele de coordonate. Simetria față de o axă se obține prin concatenarea simetriilor față de cele două plane a căror intersecție este axa, iar simetria față de origine rezultă prin aplicarea succesivă a celor trei simetrii față de planele de coordonate. La rândul lor, aceste simetrii față de planele de coordonate se pot obține folosind simetria față de un singur plan de coordonate și rotațiile care suprapun planele de coordonate unul peste celălalt.

Înclinarea față de planul  $xOy$  este descrisă prin matricea

$$H_{xy}(h_x, h_y) = \begin{pmatrix} 1 & 0 & h_x & 0 \\ 0 & 1 & h_y & 0 \\ 0 & 0 & 1 & 0 \\ 0 & 0 & 0 & 1 \end{pmatrix}.$$

## 2.5 Proiecții

Complexitatea vizualizării obiectelor tridimensionale este cauzată de a treia dimensiune și de faptul că terminalele prezintă imagini bidimensionale. Soluția este utilizarea proiecțiilor care transformă obiectele tridimensionale în proiecții plane bidimensionale.

### 2.5.1 Clasificare

Proiecția unui obiect tridimensional este definită astfel: dreptele (razele) de proiecție, numite și projectorii, trec printr-un punct dat al spațiului, numit centru de proiecție (punct de vedere), și prin fiecare punct al corpului, intersectând planul de proiecție pentru a forma proiecția.

Deoarece suprafața ecranului este plană, ne rezumăm la proiecțiile geometrice plane. Acestea pot fi împărțite în două clase:

1. proiecții paralele,
2. proiecții perspective.

Distinctia se face funcție de distanța dintre centrul de proiecție și planul de proiecție. Dacă această distanță este finită, proiecția este perspectivă; dacă distanța este infinită, proiecția este paralelă (figura 2.4).

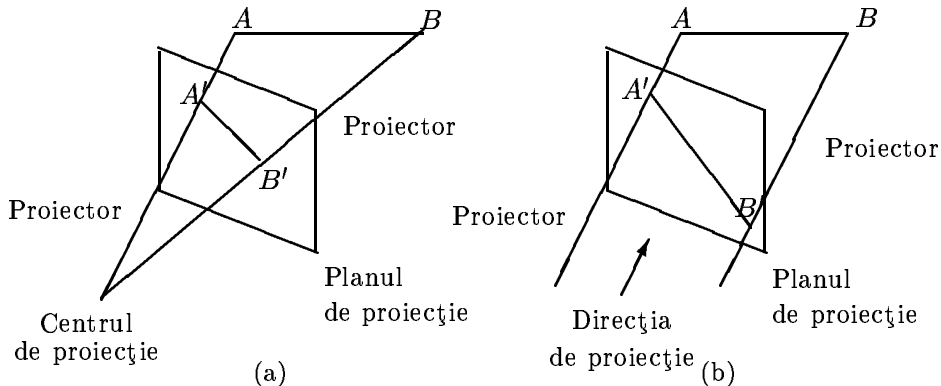


Figura 2.4: Proiecții unui segment de dreaptă (a)  $A'B'$  este proiecția perspectivă a lui  $AB$  (b)  $A'B'$  este proiecția paralelă a lui  $AB$ .

În cazul proiecției paralele, centrul de proiecție se află la infinit, ceea ce face ca dreptele de proiecție să fie paralele (în figura 2.4.b proiectorii  $AA'$  și  $BB'$  sunt paraleli). Pentru a defini o proiecție paralelă se precizează direcția de proiecție (un vector paralel cu proiectorii).

În proiecția perspectivă se precizează poziția centrului de proiecție și planul de proiecție.

Există o serie de cazuri particulare atât pentru proiecțiile paralele cât și pentru cele perspective:

Proiecție geometrică plană	perspectivă paralelă oblică	cu un punct de fugă cu două puncte de fugă cu trei puncte de fugă		
				elevație
				plan
				profil
			axonometrică	izometrică
			cabinet	altele
			cavalieră	
			altele	

**Observații:**

- (a) Proiecția paralelă păstrează paralelismul liniilor, dar nu păstrează unghiurile (mai puțin cele aflate în planuri paralele cu planul de proiecție).
- (b) Efectul vizual al proiecției perspective este asemănător cu cel realizat de tehnica fotografică și de sistemul vizual uman. Principala caracteristică este aceea că dimensiunea proiecției perspective a unui obiect variază invers proporțional cu distanța de la obiect la centrul de proiecție. Distanțele nu sunt cele reale, unghiurile se păstrează numai dacă aparțin unor fețe ale obiectului paralele cu planul de proiecție, iar liniile paralele nu sunt proiectate, în general, în linii paralele. Lungimile unor segmente egale în spațiu pot apărea în imagine diferite, depinzând de apropierea de centrul de proiecție.

### 2.5.2 Proiecția perspectivă

În proiecția perspectivă, liniile paralele între ele și neparalele cu planul de proiecție converg spre un anumit punct numit punct de fugă. Dacă liniile sunt paralele cu una dintre axele principale, punctul de fugă este numit punct de fugă axial (al axei). Există cel mult trei asemenea puncte într-o imagine, câte unul pentru fiecare axă. De exemplu, dacă planul de proiecție taie doar axa  $z$ , numai axa  $z$  are punct de fugă deoarece liniile paralele cu axele  $y$  și  $x$  sunt paralele și în planul de proiecție și nu au puncte de fugă (nu se intersectează în proiecție).

Proiecțiile perspective sunt clasificate funcție de numărul punctelor de fugă axiale. În figura 2.5 se prezintă trei proiecții perspective, cu un punct de fugă, ale unui cub.

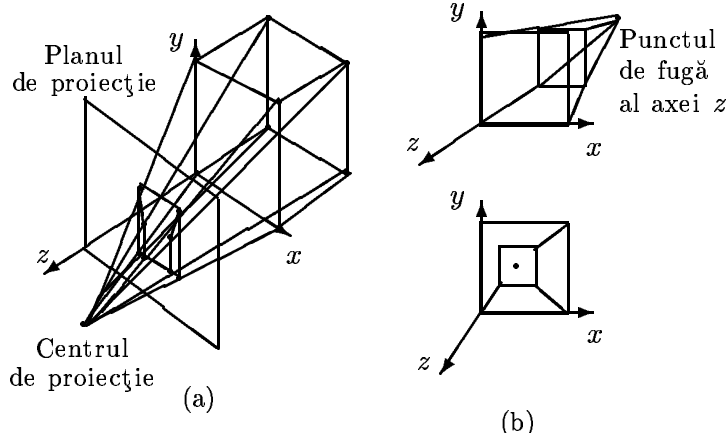


Figura 2.5: Proiecția perspectivă a unui cub pe un plan care taie numai axa  $z$   
(a) Construcția proiecției (b) Două perspective cu un punct de fugă

Proiecțiile perspective cu două puncte de fugă sunt utilizate des în arhitectură și design industrial. În figura 2.6 se prezintă modul de construcție al

proiecției perspective a unui cub cu două puncte de fugă.

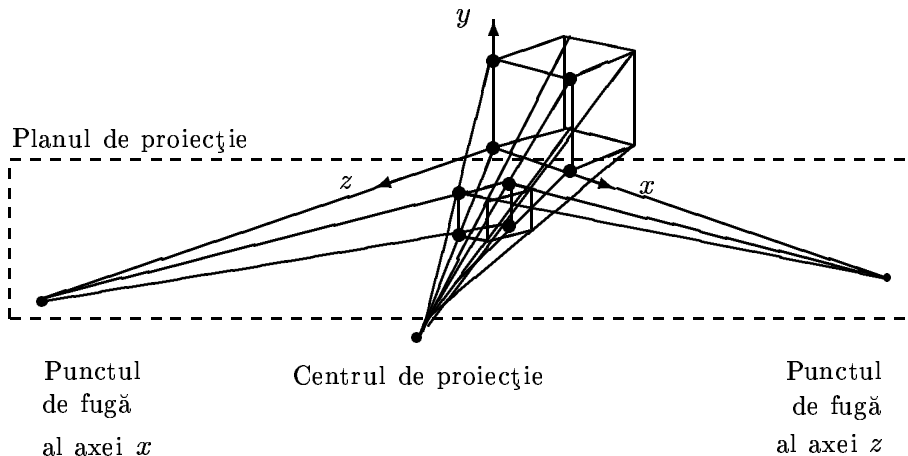


Figura 2.6: Proiecția perspectivă a unui cub pe un plan paralel cu axa  $y$

Funcție de înclinarea planului de proiecție față de centrul de proiecție și obiect se deosebesc:

1. perspectiva ascendentă (cu punctul de fugă al verticalelor situat deasupra obiectului)
2. perspectiva descendenta (cu punctul de fugă al verticalelor situat sub obiect).

Perspectiva ascendentă a unui obiect apare în situația în care observatorul privește obiectul de jos și destul de aproape. Perspectiva descendenta a unui obiect apare în situația în care observatorul privește obiectul de sus și de aproape.

**Observație.** În general, pentru a găsi coordonatele în proiecția perspectivă a unui punct material se rezolvă sistemul format din ecuația planului de proiecție și ecuația razei vizuale. Reprezentarea perspectivei pe planul de proiecție prin această modalitate este greoală. De aceea este util să fie exprimate coordonatele perspective relativ la triunghiul tridimensional care transpune reperul cartezian ale lumii reale (în care este descris obiectul) în reperul cartezian asociat planului de proiecție și normalei pe acest plan dusă din centrul de proiecție. Se determină, în primul rând, transformarea tridimensională care transpune reperul cartezian ale lumii reale (în care este descris obiectul) în reperul cartezian asociat planului de proiecție și normalei la acesta, dusă prin centrul de proiecție. Se aplică această transformare obiectului, apoi se proiecteză.

### 2.5.3 Proiecția paralelă

Funcție de unghiul dintre direcția de proiecție și normala la planul de proiecție, proiecția paralelă poate fi:

1. proiecție ortografică (ortogonală), în cazul în care direcția de proiecție coincide cu normala la planul de proiecție, adică direcția de proiecție este perpendiculară pe planul de proiecție;
2. proiecție oblică, în cazul în care direcția de proiecție diferă de normala la planul de proiecție.

### Proiecția ortografică

Cele mai comune proiecții ortogonale sunt proiecțiile care utilizează, ca plane de proiecție, anumite plane perpendiculare pe axele de coordonate. Denumirea dată în desenul tehnic unor asemenea proiecții ale obiectelor sunt plan (vedere de sus), profil (vedere laterală) și elevație (vedere frontală). În figura 2.7 se prezintă cele trei asemenea proiecții ale unei case (originea sistemului de coordonate se află la intersecția celor trei plane de proiecție). Aceste proiecții au proprietatea de a păstra distanțele și unghiurile, astfel încât sunt des utilizate în inginerie și construcții. Natura tridimensională a obiectului este însă greu de înțeles, chiar dacă se studiază simultan cele trei proiecții ale respectivului obiect.

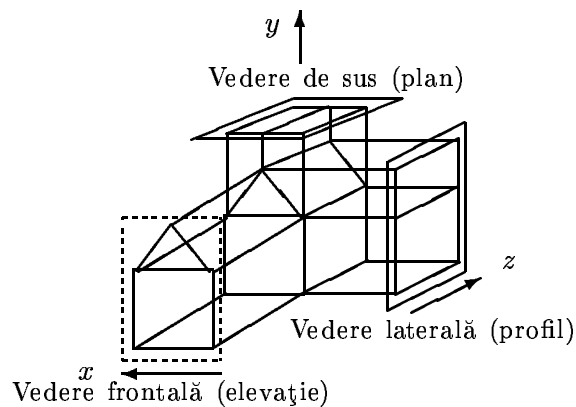


Figura 2.7: Planul, profilul și elevația unei case

Fie punctul de coordonate omogene  $(x, y, z, 1)$ . Vederea frontală (proiecția pe planul  $xOy$ ) are matricea caracteristică

$$\begin{pmatrix} 1 & 0 & 0 & 0 \\ 0 & 1 & 0 & 0 \\ 0 & 0 & 0 & 0 \\ 0 & 0 & 0 & 1 \end{pmatrix},$$

astfel încât ecuațiile transformării sunt  $x' = x$ ,  $y' = y$ ,  $z' = 0$ . Pentru vederea de sus (proiecția pe planul  $xOz$ ) se efectuează rotația de unghi  $-90^\circ$  în jurul

axei  $x$  și proiecția pe planul  $xOy$ :

$$\begin{pmatrix} 1 & 0 & 0 & 0 \\ 0 & 1 & 0 & 0 \\ 0 & 0 & 0 & 0 \\ 0 & 0 & 0 & 1 \end{pmatrix} \begin{pmatrix} 1 & 0 & 0 & 0 \\ 0 & 0 & 1 & 0 \\ 0 & -1 & 0 & 0 \\ 0 & 0 & 0 & 1 \end{pmatrix},$$

astfel încât  $x' = x$ ,  $y' = z$ ,  $z' = 0$ . Pentru vederea laterală (proiecția pe planul  $yOz$ ) se efectuează rotația de unghi  $90^\circ$  în jurul axei  $y$  și proiecția pe planul  $xOy$ :

$$\begin{pmatrix} 1 & 0 & 0 & 0 \\ 0 & 1 & 0 & 0 \\ 0 & 0 & 0 & 0 \\ 0 & 0 & 0 & 1 \end{pmatrix} \begin{pmatrix} 0 & 0 & 1 & 0 \\ 0 & 1 & 0 & 0 \\ -1 & 0 & 0 & 0 \\ 0 & 0 & 0 & 1 \end{pmatrix},$$

astfel încât  $x' = z$ ,  $y' = y$ ,  $z' = 0$ .

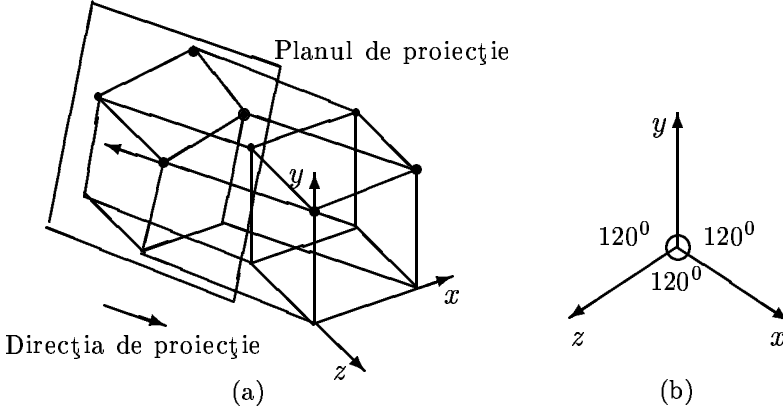


Figura 2.8: Proiecții izometrice (a) Construirea proiecției unui cub în direcția  $(1, -1, -1)$  (b) Proiecția izometrică a vesorilor în direcția  $(1, 1, 1)$

Alte tipuri de proiecții ortogonale particulare sunt proiecțiile axonometrice, pentru care planul de proiecție nu mai este perpendicular pe nici o axă a sistemului de referință. Păstrează paralelismul liniilor, dar nu și unghiiurile. Distanțele se măsoară de-a lungul fiecărei axe de coordonate, în general, cu factori de scală diferiți.

Cea mai utilizată proiecție ortografică axonometrică este proiecția izometrică, pentru care direcția de proiecție (care coincide cu normala la planul de proiecție) face unghiuri egale cu cele trei axe ale sistemului de referință. În cazul acestei proiecții cei trei factori de scară pentru măsurarea lungimilor sunt egali, iar axele principale se proiectează pe plan în trei drepte care fac unghiuri egale (figura 2.8.b). Există doar opt direcții de proiecție care permit proiecții izometrice. În figura 2.8 (a) este prezentată o astfel de proiecție a unui cub.

### Proiecția oblică

Este obținută prin proiectarea unui obiect de-a lungul unor linii paralele care nu sunt perpendiculare pe planul de proiecție. Proiecția unei fețe a obiectului, paralelă cu planul de proiecție, permite măsurarea corectă a unghiurilor și distanțelor, celelalte proiecții ale fețelor permitând doar măsurarea distanțelor.

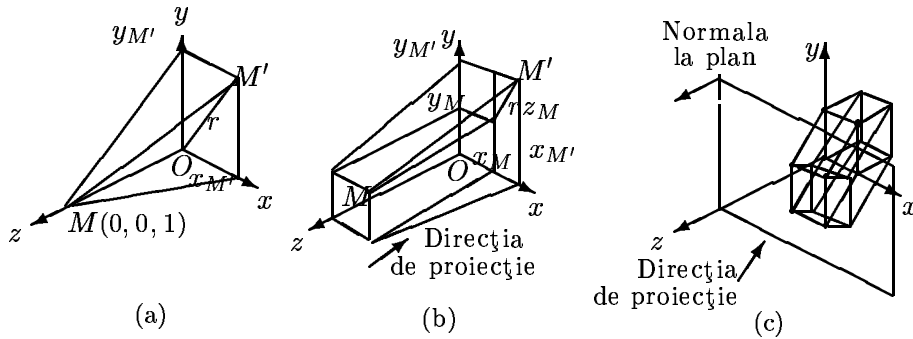


Figura 2.9: Proiecția oblică (a) Construirea proiecției punctului  $M(0,0,1)$  pe planul  $xOy$  (b) Proiecția unui punct oarecare pe planul  $xOy$  (c) Proiecția unui cub pe un plan paralel cu axa  $y$

Se convine ca o proiecție oblică pe planul  $xOy$  să fie caracterizată prin punctul în care este proiectat  $M(0,0,1)$  pe planul  $xOy$ , distanța  $r$  de la origine a noului punct și unghiul  $\alpha$  dintre raza  $r$  și  $Ox$  (figura 2.9.a). Funcție de aceste valori se pot exprima noile coordonate  $(x', y', z')$  ale proiecției oblice pe planul  $xOy$  a unui punct oarecare  $(x, y, z)$  (vezi figura 2.9.b):

$$\begin{cases} x' = x + zr \cos \alpha, \\ y' = y + zr \sin \alpha, \\ z' = 0, \end{cases}$$

adică în coordonate omogene,

$$\begin{pmatrix} x' \\ y' \\ z' \\ 1 \end{pmatrix} = \begin{pmatrix} 1 & 0 & r \cos \alpha & 0 \\ 0 & 1 & r \sin \alpha & 0 \\ 0 & 0 & 0 & 0 \\ 0 & 0 & 0 & 1 \end{pmatrix} \begin{pmatrix} x \\ y \\ z \\ 1 \end{pmatrix}.$$

Proiecția ortogonală se obține când  $r = 0$ .

Cele mai frecvente proiecții oblice sunt:

- (a) proiecția cavalieră, pentru care  $r = 1$ ;
- (b) proiecția cabinet, pentru care  $r = 1/2$ .

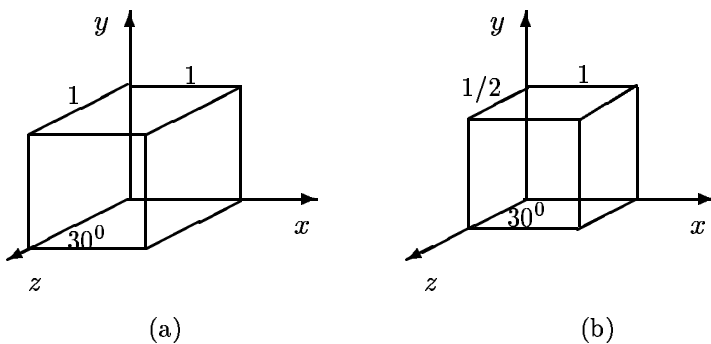


Figura 2.10: Proiecții oblice ale cubului unitate (a) Proiecția cavalieră cu direcția de proiecție  $(\sqrt{3}/2, 1/2, -1)$  (b) Proiecția cabinet cu direcția de proiecție  $(\sqrt{3}/4, 1/4, -1)$

În proiecția cavalieră direcția de proiecție face un unghi de  $45^0$  cu planul de proiecție, astfel încât proiecția unui segment de dreaptă perpendicular pe planul de proiecție are aceeași lungime ca și segmentul însuși (figura 2.10.a).

În proiecția cabinet direcția de proiecție face un unghi de  $\text{arctg}(2) \approx 63.4^0$  cu planul de proiecție, astfel încât segmentele perpendiculare pe planul de proiecție se proiectează la  $1/2$  din lungimea lor reală (figura 2.10.b).

Dintre proiecțiile oblice, proiecția cabinet oferă imaginile cele mai realiste.

#### 2.5.4 Transformări proiective

Se determină în cele ce urmează matricea  $4 \times 4$  caracteristică unei transformări proiective oarecare. Presupunem că în proiecția perspectivă planul de proiecție este perpendicular pe axa  $z$ , iar în proiecția paralelă, planul de proiecție este  $z = 0$  (planul  $xOy$ ). Fie  $P(x, y, z)$  un punct oarecare al spațiului și  $P'(x', y', z')$  proiecția acestuia.

Se consideră următoarele trei cazuri:

1. Centrul de proiecție perspectivă se află în originea sistemului, iar planul de proiecție este  $z = d$ .

Din asemănarea triunghiurilor din figura 2.11 (b) și (c) rezultă

$$\frac{x'}{d} = \frac{x}{z}, \quad \frac{y'}{d} = \frac{y}{z},$$

adică  $x' = xd/z$ ,  $y' = yd/z$ ,  $z' = d$ . Astfel, divizarea cu  $z$  a coordonatelor în proiecția perspectivă explică faptul că obiectele mai îndepărtate apar mai mici decât obiectele mai apropiate de centrul de proiecție. Matricea transformării

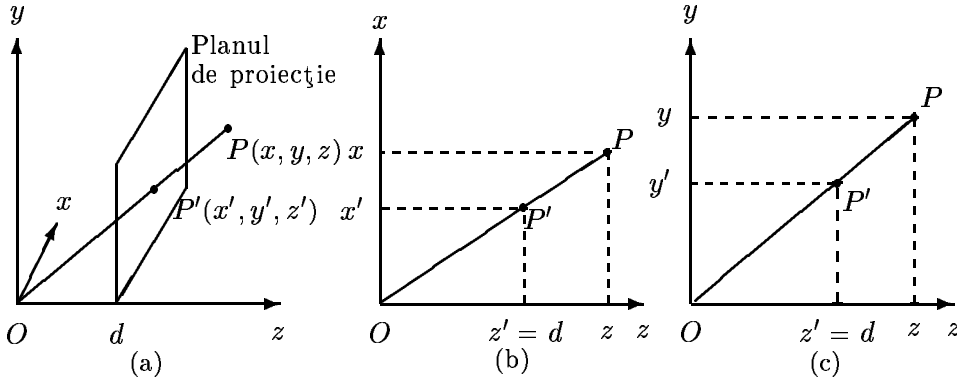


Figura 2.11: Cazul centrului de proiecție în originea sistemului și al planului de proiecție  $z = d$  (a) Construcția proiecției (b) Proiecție pe planul  $xOz$  (c) Proiecție pe planul  $yOz$

este

$$M_{pers} = \begin{pmatrix} 1 & 0 & 0 & 0 \\ 0 & 1 & 0 & 0 \\ 0 & 0 & 1 & 0 \\ 0 & 0 & 1/d & 0 \end{pmatrix}.$$

Multiplicând  $(x, y, z, 1)^T$  cu  $M_{pers}$  se obține punctul omogen  $(X, Y, Z, W)^T = (x, y, z, z/d)^T$ . Coordonatele carteziene asociate punctului omogen se obțin prin diviziune cu  $W$ , adică  $(x', y', z') = (X/W, Y/W, Z/W) = (xd/z, yd/z, d)$ .

2. Centrul de proiecție se află la  $z = -d$ , iar planul de proiecție este  $z = 0$ .

Din asemănarea triunghiurilor din figura 2.12 se obține

$$\frac{x'}{d} = \frac{x}{z+d}, \quad \frac{y'}{d} = \frac{y}{z+d},$$

adică  $x' = xd/(z+d)$ ,  $y' = yd/(z+d)$ ,  $z' = 0$ . Matricea transformării este

$$M_{pers}' = \begin{pmatrix} 1 & 0 & 0 & 0 \\ 0 & 1 & 0 & 0 \\ 0 & 0 & 0 & 0 \\ 0 & 0 & 1/d & 1 \end{pmatrix}.$$

Spre deosebire de cazul anterior, această formulare permite includerea proiecțiilor paralele: dacă  $1/d \rightarrow 0$ , se obține proiecția ortografică pe planul  $z = 0$ , de ecuații  $x' = x$ ,  $y' = y$ ,  $z' = 0$ .

3. Planul de proiecție este  $z = z_p$ , iar centrul de proiecție se află la distanța  $Q$  de punctul  $(0, 0, z_p)$  în direcția vectorului normalizat  $(dx, dy, dz)$  (figura 2.13).

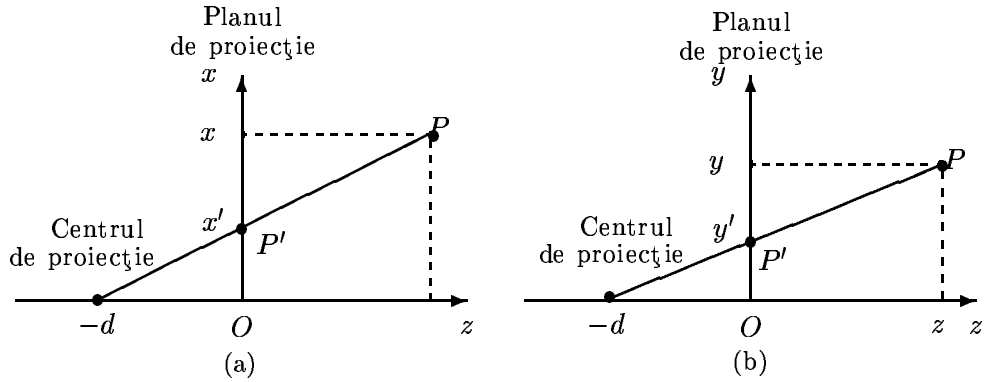


Figura 2.12: Cazul centrului de proiecție la  $z = -d$  și al planului de proiecție  $z = 0$  (a) Proiecție pe planul  $xOz$  (c) Proiecție pe planul  $yOz$

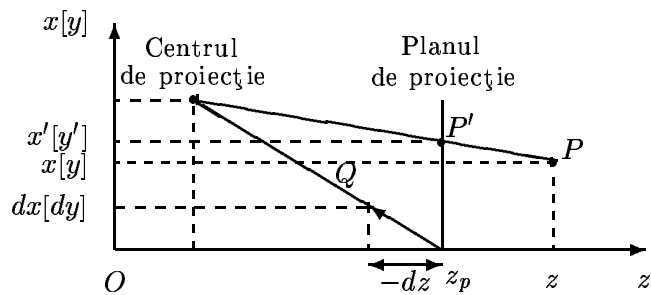


Figura 2.13: Cazul centrului de proiecție la distanța  $Q$  de  $(0, 0, z_p)$  în direcția  $(dx, dy, dz)$  și planul de proiecție  $z = z_p$

Dreapta care unește centrul de proiecție  $C_p$  și punctul  $P$  poate fi descrisă parametric:  $C_p + t(P - C_p)$ ,  $t \in \mathbb{R}$ . Punctul  $P'$  se află pe această dreaptă. Cum  $C_p = (0, 0, z_p) + Q(dx, dy, dz)$ ,

$$\begin{cases} x' = Qdx + t(x - Qdx), \\ y' = Qdy + t(y - Qdy), \\ z' = (z_p + Qdz) + t[z - (z_p + Qdz)]. \end{cases}$$

Cum  $P'$  se află în planul  $z' = z_p$ , se obține  $t$ :

$$t = \frac{z_p - (z_p + Qdz)}{z - (z_p + Qdz)}.$$

Astfel

$$x' = \frac{x - z \frac{dx}{dz} + z_p \frac{dx}{dz}}{\frac{z_p - z}{Qz_p} + 1}, \quad y' = \frac{y - z \frac{dy}{dz} + z_p \frac{dy}{dz}}{\frac{z_p - z}{Qz_p} + 1},$$

$$z' = z_p \frac{\frac{z_p - z}{Qdz} + 1}{\frac{z_p - z}{Qdz} + 1} = \frac{-z \frac{z_p}{Qdz} + \frac{z_p^2 + z_p Qdz}{Qdz}}{\frac{z_p - z}{Qdz} + 1}.$$

Matricea transformării este constituită astfel încât ultima linie înmulțită cu  $(x, y, z, 1)^T$  să producă coordonata omogenă  $W$  egală cu numitorul comun al fracțiilor de mai sus:

$$M_{general} = \begin{pmatrix} 1 & 0 & -\frac{dx}{dz} & z_p \frac{dx}{dz} \\ 0 & 1 & -\frac{dy}{dz} & z_p \frac{dy}{dz} \\ 0 & 0 & -\frac{z_p}{Qdz} & \frac{z_p^2 + z_p Qdz}{Qdz} \\ 0 & 0 & -\frac{1}{Qdz} & \frac{z_p}{Qdz} + 1 \end{pmatrix}.$$

Matricele cazurilor anterioare se pot regăsi în această reprezentare. Astfel,

- pentru  $M_{pers}$ ,  $z_p = d$ ,  $Q = d$ ,  $(dx, dy, dz) = (0, 0, -1)$ ;
- pentru  $M'_{pers}$ ,  $z_p = 0$ ,  $Q = d$ ,  $(dx, dy, dz) = (0, 0, -1)$ ;
- pentru proiecția ortogonală pe  $z = 0$ ,  $z_p = 0$ ,  $Q = \infty$ ,  $(dx, dy, dz) = (0, 0, -1)$ ;
- pentru proiecția cavalieră pe  $z = 0$ ,  $z_p = 0$ ,  $Q = \infty$ ,  $(dx, dy, dz) = (\cos \alpha, \sin \alpha, -1)$ ;
- pentru proiecția cabinet pe  $z = 0$ ,  $z_p = 0$ ,  $Q = \infty$ ,  $(dx, dy, dz) = (1/2 \cos \alpha, 1/2 \sin \alpha, -1)$ .

Când  $Q \neq \infty$ ,  $M_{general}$  definește o proiecție perspectivă cu un punct de fugă. Punctul de fugă se obține multiplicând punctul de la infinit de pe axa  $z$ , reprezentat în coordonate omogene prin  $(0, 0, 1, 0)^T$ , cu  $M_{general}$ . Se obține  $x' = Qdx$ ,  $y' = Qdy$ ,  $z' = z_p$ .

### 2.5.5 Exemple

Pentru definirea unei proiecții s-au convenit o serie de notări, specificate în cele ce urmează.

Planul de proiecție este definit printr-un punct de referință al planului  $P_r$  și normala la plan, vectorul  $n$ .

Se construiește sistemul de vedere de referință (asociat planului de proiecție și normalei la acesta) astfel:

- originea sistemului este  $P_r$ ;
- una din axe este  $n$ ;
- o altă axă este vectorul  $v$ , care este proiecția pe planul de proiecție a verticalei imaginii (proiecția axei  $y$  din sistemul lumii reale);

(d) a treia axă,  $u$ , este determinată astfel încât  $u \times v = n$ .

Planul de proiecție este astfel  $uP_rv$ .

Fereastra dreptunghiulară din planul de proiecție este definită relativ la axele de coordonate  $u$  și  $v$ , nu neapărat simetric față de  $P_r$ . Se notează centrul ferestrei cu  $C_f$ .

Centrul de proiecție  $C_p$  și direcția de proiecție  $D_p$  sunt definite printr-un punct de referință al proiecției  $P_d$  și un indicator al tipului de proiecție. Dacă proiecția este perspectivă,  $C_p = P_d$ . Dacă proiecția este paralelă,  $D_p$  este definită de vectorul cu originea în  $P_d$  și capătul în  $C_f$ .

Specificările clasice ale proiecțiilor în notațiile de mai sus sunt următoarele:

1.  $P_r$  = originea sistemului de coordonate ale lumii reale,  $xyz$ ;
2.  $n$  = axa  $z$ ;
3.  $v$  = axa  $y$ ;
4. fereastra:  $[0, 1] \times [0, 1]$  în planul  $uP_rv$ ;
5.  $P_d = (0.5, 0.5, 1)$  în sistemul  $uvn$ .

De exemplu, parametrii proiecției paralele corespunzătoare (proiecție pe  $xOy$ ) sunt

$$P_r = (0, 0, 0) \text{ (xyz)}, \quad n = (0, 0, 1) \text{ (xyz)}, \quad v = (0, 1, 0) \text{ (xyz)},$$

$$P_d = (0.5, 0.5, 1) \text{ (uvn)}, \quad \text{Fereastra} = (0, 1, 0, 1) \text{ (uvn)}, \quad \text{Proiecție: paralelă}$$

Se consideră exemplul casei din figura 2.14.

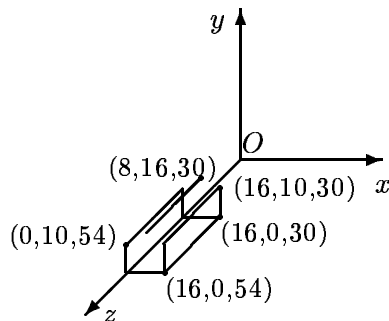


Figura 2.14: Coordonatele definitorii ale unui schelet de casă ce urmează a fi proiectat

O proiecție perspectivă pe un plan ce taie axa  $z$  este prezentată în figura 2.15.

Proiecția paralelă pe planul  $z = 0$  produce imaginea din figura 2.16.

În figura 2.17 sunt traseate alte trei proiecții ale casei.

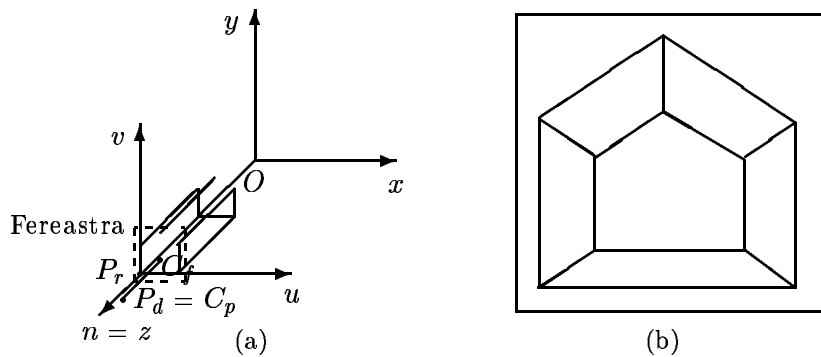


Figura 2.15: Proiecția perspectivă a casei cu parametrii:  $P_r = (0,0,54)$ ,  $n = (0,0,1)$ ,  $v = (0,1,0)$ ,  $P_d = (8,6,30)$ , Fereastră $=(-1,17,-1,17)$ , Proiecție: perspectivă (a) Elementele caracteristice proiecției (b) Imaginea rezultată

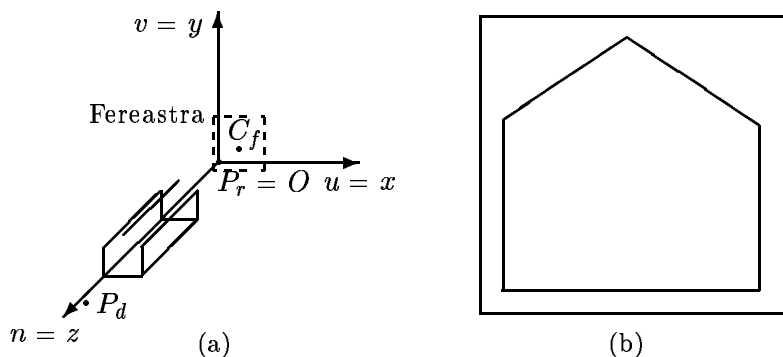


Figura 2.16: Proiecția paralelă a casei cu parametrii:  $P_r = (0,0,0)$ ,  $n = (0,0,1)$ ,  $v = (0,1,0)$ ,  $P_d = (8,8,100)$ , Fereastră $=(-1,17,-1,17)$ , Proiecție: paralelă (a) Elementele caracteristice proiecției (b) Imaginea rezultată

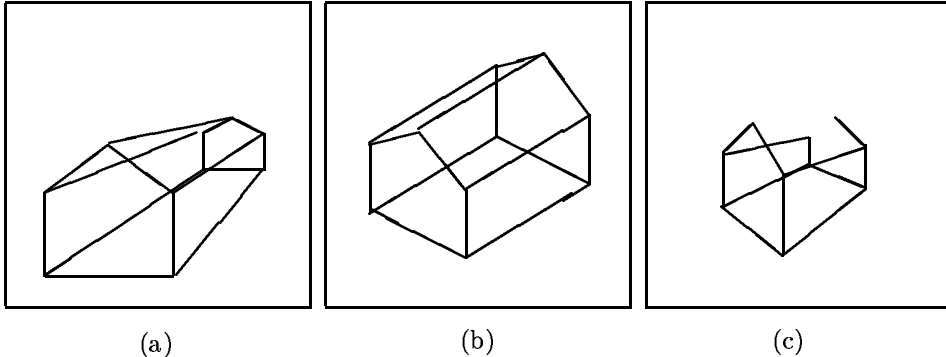


Figura 2.17: Proiecții cu parametrii (a)  $P_r = (16, 0, 54)$ ,  $n = (0, 0, 1)$ ,  $v = (0, 1, 0)$ ,  $P_d = (20, 25, 20)$ , Fereastra= $(-20, 20, -5, 35)$ , Proiecție: perspectivă (cu un punct de fugă) (b)  $P_r = (8, 8, 42)$ ,  $n = (1, 1, 1)$ ,  $v = (0, 1, 0)$ ,  $P_d = (0, 0, 10)$ , Fereastra= $(-20, 20, -20, 20)$ , Proiecție: paralelă (izometrică) (c)  $P_r = (16, 0, 54)$ ,  $n = (1, 0, 1)$ ,  $v = (0, 1, 0)$ ,  $P_d = (0, 25, 20\sqrt{2})$ , Fereastra= $(-20, 20, -5, 35)$ , Proiecție: perspectivă (cu două puncte de fugă)

## 2.6 Volumul de vedere

Ochiul uman poate observa toate obiectele situate în interiorul unui con de vedere. Directoarea acestui con situată într-un plan normal pe direcția de observare este eliptică. În aplicațiile grafice se înlocuiește conul de vedere cu o piramidă de vedere. Astfel, se poate imagina că observatorul privește lumea printr-o fereastră dreptunghiulară decupată într-un plan opac, situată la o anumită distanță de observator.

Dacă pentru construirea unei imagini în două dimensiuni sunt necesare specificarea unei ferestre și a unei zone de lucru, în trei dimensiuni sunt indicate un volum de vedere, un tip de proiecție pe un plan, o fereastră în acel plan și o zonă de lucru pe suprafața de vizualizare. Conținutul volumului de vedere este proiectat în fereastra din planul de proiecție și apoi este transferat în zona de lucru.

Volumul de vedere mărginește acea porțiune din spațiul lumii reale care va fi proiectat pe planul de proiecție. Este definit astfel:

1. în proiecția perspectivă, ca o piramidă semi-infinită cu vârful în centrul de proiecție și cu laturile trecând prin colțurile ferestrei din planul de proiecție;
2. în proiecția paralelă, ca un paralelipiped infinit cu laturile paralele cu direcția de proiecție.

Pentru a limita numărul de primitive grafice proiectate în planul de proiecție, aceste volume sunt transformate în corpuși "finite" prin introducerea a două

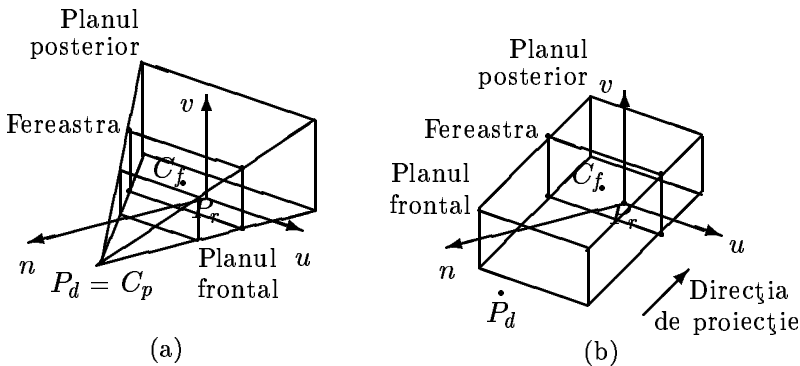


Figura 2.18: Volumul de vedere (a) Cazul proiecției perspective (b) Cazul proiecției paralele

plane de limitare, paralele cu planul de proiecție, în fața și în spatele acestuia, aflate la distanțe bine definite de-a lungul normalei la planul de proiecție (figura 2.18). Se obține un trunchi de piramidă, respectiv un paralelipiped.

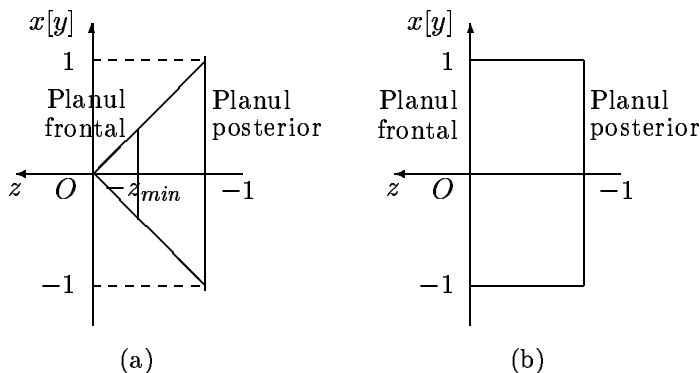


Figura 2.19: Proiecții ale volumului de vedere canonic (a) Cazul proiecției perspective (b) Cazul proiecției paralele

În urma transformării de normalizare a volumului de vedere, planele ce definesc frontieră noului volum, numit volum de vedere canonic, sunt:

1. pentru proiecția paralelă,  $x = -1, x = 1, y = -1, y = 1, z = 0, z = -z_{min}$  (figura 2.19.a);
2. pentru proiecția perspectivă,  $x = z, x = -z, y = z, y = -z, z = -z_{min}, z = -1$  (figura 2.19.b).

Volumul de vedere canonic din proiecția perspectivă poate fi transformat în volumul de vedere canonic din proiecția paralelă astfel: unui punct  $(x, y, z)$  din interiorul trunchiului de piramidă îi corespunde un punct  $(x', y', z')$  din

interiorul paralelipipedului prin relațiile

$$x' = -\frac{x}{z}, \quad y' = -\frac{y}{z}, \quad z' = \frac{z_{min} - z}{z_{min} + 1}.$$

Matricea corespunzătoare indică o transformare perspectivă. Astfel, pentru construirea imaginii prin proiecție perspectivă a unui corp 3D se poate proceda în două moduri:

- (a) se proiectează fiecare punct component, noile componente fiind stocate separat;
- (b) se aplică corpului transformarea perspectivă care îl deformează astfel încât proiecția paralelă a corpului obținut să coincidă cu proiecția perspectivă a obiectului inițial. În acest fel imaginea va fi stocată în memorie prin chiar coordonatele  $x$  și  $y$  ale punctelor implicate. Se proiectează ortogonal corpul obținut.

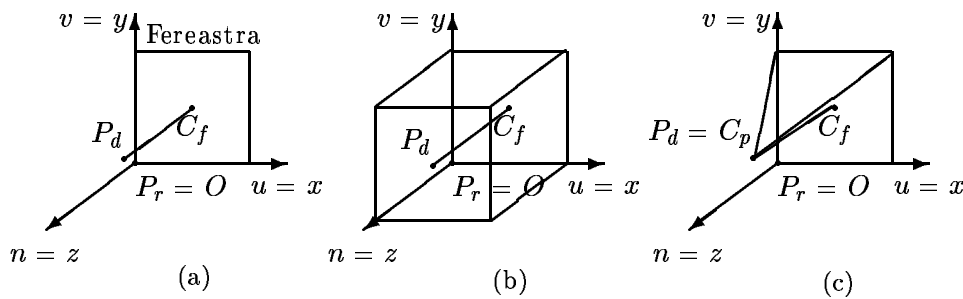


Figura 2.20: (a) Elementele caracteristice ale proiecției în specificarea clasică  
(b) Volumul de vedere în proiecția paralelă (c) Volumul de vedere în proiecția perspectivă

Volumele de vedere asociate specificării clasice sunt prezentate în figura 2.20.



## C a p i t o l u l 3

R e p r e z e n t ā r i s i m p l e a l e i m a g i n i i

### 3.1 Primitive grafice

Se numesc primitive grafice acele elemente de bază pe care programatorul le poate folosi pentru a realiza desenele necesare unei anumite aplicații. Primitivele grafice pot fi puncte, segmente de dreaptă, caractere, dreptunghiuri, conice, curbe de tip spline, simboluri speciale, etc.

Se consideră un dispozitiv de afișare grafică cu tub catodic cu rastru dreptunghiular, cu originea  $(0,0)$  în punctul din stânga jos al ecranului, cu valorile absciselor crescând la dreapta și valorile ordonatelor crescând în sus. Unitățile axelor  $u, v$  sunt egale cu distanțele dintre doi pixeli alăturați pe orizontală, respectiv verticală. Se presupune de asemenea că fiecare pixel de pe ecran are două stări posibile: aprins sau stins (imagine monocromă). Se neglijeză, în acest capitol, celelalte atrbute posibile pentru reprezentarea unei imagini pe ecran, cum sunt culoarea, nuanța, intensitatea, etc.

### 3.2 Punctul

Pentru generarea efectivă a unui punct pe ecran se consideră disponibilă operația

$$\text{plot } (u, v),$$

unde  $\text{plot}$  este o subrutină care depinde de configurația hardware a dispozitivului de afișare, iar  $u, v$  sunt coordonatele întregi în spațiul de afișare grafică ale punctului care trebuie generat. Pentru aceste coordonate se utilizează denumirea de variabile de adresare fizică.

Dacă nu se dispune de o funcție de tip  $\text{plot}$ , se poate obține efectul dorit folosind adresarea directă a memoriei. Se consideră un display monocrom de rezoluție  $m \times n$  (coloane  $\times$  linii) a cărui origine are asociat primul bit al octetului de la adresa  $a$  ( $m$  este în general divizibil cu 8). Se presupune că memoria video este liniară, deci biții corespunzători punctelor se află în ordinea citirii acestora din urmă pe linii. Pentru aprinderea pixelului  $P(u, v)$  se realizează următoarele:

1. test inițial care ne asigură încadrarea în spațiul adresabil (de forma  $m_a \times n_a$ ):  $0 \leq u \leq m_a - 1, 0 \leq v \leq n_a - 1$ .
2. se calculează adresa relativă  $a_r$  a octetului în care se află bitul corespunzător pixelului  $P$ , apoi adresa absolută a acestuia,  $a_a$ :  $a_r = v \cdot m/8 + [u/8], a_a = a + a_r$ .
3. se calculează poziția bitului în octet:  $b_r = u - 8[u/8] + 1$  (biți unui octet sunt numerotați de la 1 la 8);
4. se setează bitul pe 1.

Dacă se dorește afișarea simultană a unor puncte dintr-o gamă variată de culori, atunci sunt necesari mai mulți biți pentru reprezentarea unui punct al ecranului.

### 3.3 Trasarea incrementală

O atenție deosebită s-a acordat optimizării algoritmilor de trasare a primitiveelor în ceea ce privește eficiența de execuție (viteza de generare a unei primitive). În acest scop se urmărește reducerea numărului de operații în virgulă mobilă, în favoarea celor cu numere întregi și minimizarea numărului de înmulțiri și împărțiri (microprocesoarele actuale nu conțin instrucțiuni pentru aritmetică în virgulă mobilă, astfel încât instrucțiunile de înmulțire și împărțire sunt mai lente decât operațiile de adunare și scădere).

Metodele de trasare incrementală se bazează pe scheme cu diferențe între mărimi asociate punctelor succesive, care conduc la relații liniare de transformare iterativă a unor variabile. Aceste relații liniare pot fi implementate în general prin operații simple de adunare și scădere de numere întregi. Metodele incrementale își dovedesc eficiența în special la trasarea curbelor de grad unu (linii drepte) și doi (cercuri, elipse, hiperbole, parabole).

Algoritmi de trasare incrementală a curbelor de grad cel mult doi pornesc de la anumiți parametri care caracterizează analitic curba și construiesc cea mai bună reprezentare discretizată a curbei respective. Se efectuează deplasări elementare între două puncte vecine pe orizontală, verticală sau diagonală, care se traduc prin operații simple de incrementare sau decrementare a variabilelor de adresare fizică. Algoritmul de trasare incrementală păstrează în permanență informații cu privire la starea curentă a procesului iterativ, prin intermediul uneia sau mai multor variabile de stare. Acestea permit realizarea cât mai simplă a funcțiilor algoritmului și sunt ușor actualizabile în vederea trecerii la următorul pas iterativ.

Tinând seama de faptul că modelul reprezentării este o curbă continuă pentru care tangentă variază continuu, pe când spațiul de afișare este discret, în dezvoltarea algoritmilor s-au adoptat următoarele convenții metodologice de reprezentare:

1. pentru fiecare punct generat la un capăt al curbei, sau la o margine a feșestrei de vizualizare, există exact un punct vecin pe orizontală, verticală sau diagonală, generat pe curbă.
2. orice alt punct generat pe curbă are exact două puncte vecine pe orizontală, verticală sau diagonală, generate pe curbă, cu care formează un

unghi de  $180^0$  sau  $135^0$  (se evită unghiurile ascuțite în reprezentările discrete ale curbelor) pentru un raport aspectual unitar.

Aceste reguli sunt referite sub numele de reguli de conexiune discretă.

### 3.4 Trasarea liniilor

Pentru a trasa un segment de dreaptă trebuie cunoscute coordonatele capetelor acestuia. Deoarece un segment se trasează în timp, cele două puncte pot fi denumite extremitatea de început și extremitatea de sfârșit a segmentului.

Coordonatele punctului de început, fie  $A(x_A, y_A)$ , pot fi transmise în două moduri:

- (a) specificarea coordonatelor;
- (b) identificare cu coordonatele poziției cursorului grafic curent (ultimul punct desenat).

Coordonatele punctului de sfârșit  $B(x_B, y_B)$  pot fi specificate în mod:

- (a) absolut: se specifică  $x_B, y_B$ ,
- (b) relativ: se specifică valorile  $x_B - x_A, y_B - y_A$ .

Pentru trasarea segmentului pe ecran, numită conversie prin baleaj (baleiere, scanare) sau conversie scan, se determină care sunt pixelii rastrului cei mai apropiati de imaginea ideală a segmentului (care vor fi aprinși). Segmentul obținut va arăta ca o scăriță (figura 3.1). Un pixel este reprezentat printr-un disc centrat în punctul de coordonate întregi  $(u, v)$  (în sistemele actuale diametrul unui pixel circular este mai mare decât spațiul interpixeli, deci reprezentarea din figură este exagerată). Segmentul de linie trasat are "lățimea" de un pixel.

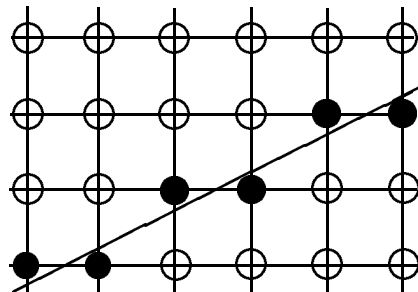


Figura 3.1: Un segment de dreaptă convertit prin baleaj, pentru care pixelii aprinși sunt reprezentați prin cercuri negre

#### 3.4.1 Algoritmul incremental de bază

Algoritmul incremental de bază sau algoritmul DDA (Digital Differential Analyzer) determină poziția pixelilor cei mai apropiati de un segment de linie,

parcurgând pași unitari pe o axă de coordonate și calculând valorile corespunzătoare pe cealaltă axă. Fie  $xOy$  sistemul de coordonate ale dispozitivului de afișare.

În planul ecranului, ecuația dreptei care trece prin  $A$  și  $B$  este

$$y = y_A + m(x - x_A), \quad m = \frac{y_B - y_A}{x_B - x_A},$$

unde  $m$  reprezintă panta dreptei. Se presupune că coordonatele punctelor extreme,  $x_i, y_i, i = A, B$ , sunt numere întregi. Altfel, se rotunjesc la cel mai apropiat întreg.

Dacă  $x_B > x_A$ , atunci pornind din  $x_A$  și crescând pe  $x$  cu câte o unitate (incrementând cu un pixel pe orizontală), se calculează  $y$  pentru fiecare  $x$ , se rotunjește la cel mai apropiat întreg ( $\text{Round}(a)=[a + 0.5]$ ) și se apelează de fiecare dată funcția  $\text{plot}(x, \text{Round}(y))$  (figura 3.2.a). Se trece la următoarea valoare a lui  $x$ , până când  $x$  depășește pe  $x_B$ .

Dacă la un moment dat intersecția cu o verticală a grilei este  $(x_i, y_i)$  și se aprinde pixelul  $(x_i, \text{Round}(y_i))$ , atunci la pasul următor intersecția cu următoarea verticală va fi  $(x_{i+1}, y_{i+1})$ , unde  $x_{i+1} = x_i + 1$ , iar

$$y_{i+1} = \text{Round}(y_A + m(x_{i+1} - x_A)) = \text{Round}(y_A + m(x_i + 1 - x_A)) = \text{Round}(y_i + m).$$

Se aprinde pixelul  $(x_{i+1}, y_{i+1})$ .

Pentru a proceda uniform indiferent de relația de ordine dintre  $x_A$  și  $x_B$ , se calculează  $s = \text{sgn}(x_B - x_A)$  și formula de calcul a lui  $y$  rămâne neschimbată, doar că  $x$  se incrementează cu  $s$  în loc de 1.

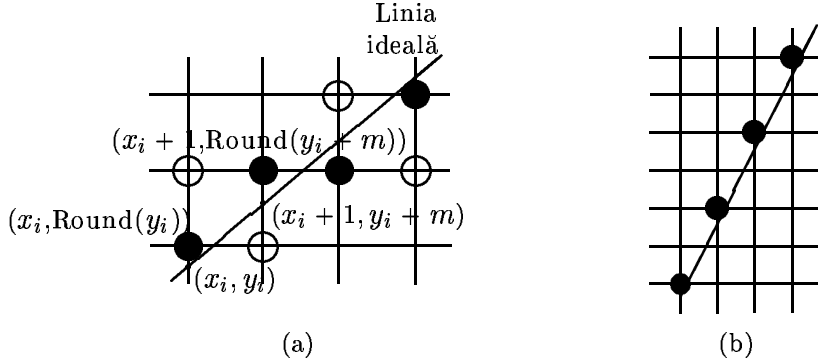


Figura 3.2: Algoritmul DDA (a) Calculul incremental pentru o pantă subunitară  
(b) Cazul incrementării unitare pe axa  $x$  cu  $|m| > 1$

Folosind acest raționament, segmentele mai apropiate de verticală decât de orizontală, ar apărea punctate (figura 3.2.b), deoarece panta  $|m| > 1$ , iar segmentele verticale nu ar putea fi reprezentate deoarece  $x_B - x_A = 0$ . Astfel se face distincție în algoritm între segmentele apropiate de orizontală și cele apropiate de verticală, pentru acestea din urmă calculându-se  $x$  în funcție de  $y$  și realizând incrementarea după  $y$  cu  $s = \text{sgn}(y_B - y_A)$  între  $y_A$  și  $y_B$ .

### 3.4.2 Algoritmul punctului de mijloc

În algoritm DDA ponderea cea mai mare o ocupă în timp calculele în virgulă flotantă (funcția Round). Din punct de vedere al timpului, mai eficienți sunt algoritmii care elimină operațiile în virgulă mobilă. Un exemplu tipic de algoritm în aritmetică numerelor întregi pentru trasarea segmentelor de dreaptă este algoritmul Bresenham (algoritmul punctului mijlociu).

Pentru exemplificare, se consideră cazul unui segment al cărui înclinare este cuprinsă între  $0^0$  și  $45^0$  (panta  $m \in (0, 1)$ ). Conform regulilor de conexiune discretă, cunoscând poziția curentă a unui punct oarecare de pe segment, există două puncte posibile pentru următoarea poziție (figura 3.3).

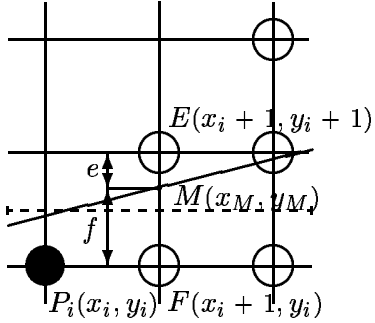


Figura 3.3: Algoritmul Bresenham

Se consideră că la pasul  $i$  s-a determinat pixelul care trebuie aprins ca fiind  $P(x_i, y_i)$ . La pasul  $i+1$  este necesară alegerea unui punct dintre  $E(x_i+1, y_i+1)$  și  $F(x_i+1, y_i)$ . Criteriul de decizie pentru algoritm este apropierea punctului față de segmentul real. Practic se compară distanțele  $e$  și  $f$  din figura 3.3. Dacă  $f < e$ , se alege  $F$ , altfel se alege  $E$ .

Pentru stabilirea criteriului decizional se parcurg următoarele etape:

Pas 0: Se compară  $x_A$  cu  $x_B$  și eventual se face o schimbare între capetele segmentului astfel încât  $x_A < x_B$ . Se realizează o translație cu deplasamentul  $(-x_A, -y_A)$  astfel încât ecuația dreptei modificate să fie  $y = (dy/dx)x$ , unde  $dx := x_B - x_A$ ,  $dy := y_B - y_A$ . Se consideră  $x_0 = 0$ ,  $y_0 = 0$ .

Pasul  $i$ : Punctul  $M$  de intersecție al dreptei  $x = x_i + 1$  cu dreapta ce se trasează are coordonatele  $x_M = x_i + 1$ ,  $y_M = (dy/dx)x_M$ . Se determină distanțele la punctele din rastru cele mai apropiate pe verticala  $x = x_i + 1$ :  $f = y_M - y_i$ ,  $e = y_i + 1 - y_M$ . Se determină cantitatea  $dx(f - e)$ :

$$dx(f - e) = dx(2y_M - 2y_i - 1) =$$

$$= dx \left[ 2 \frac{dy}{dx} (x_i + 1) - 2y_i - 1 \right] = 2dy(x_i + 1) - 2y_i dx - dx.$$

Deoarece  $dx > 0$  (din pasul 0) cantitatea  $f - e$  are același semn ca  $dx(f - e)$ . Se notează  $d_{i+1} = dx(f - e)$  și se caută o relație recursivă pentru acest factor de decizie. Cum

$$d_{i+1} = 2(x_i dy - y_i dx) + 2dy - dx, \quad d_i = 2(x_{i-1} dy - y_{i-1} dx) + 2dy - dx,$$

rezultă

$$d_{i+1} - d_i = 2[dy(x_i - x_{i-1}) - dx(y_i - y_{i-1})]$$

și fiindcă  $x_i - x_{i-1} = 1$  se obține relația recursivă

$$d_{i+1} = d_i + 2dy - 2dx(y_i - y_{i-1}),$$

cu valoarea de start

$$d_1 = 2(x_0 dy - y_0 dx) + 2dy - dx = 2dy - dx.$$

În concluzie, criteriul decizional este următorul: dacă  $d_{i+1} \geq 0$  se alege  $E(x_i + 1, y_i + 1)$  și  $d_{i+2} = d_{i+1} + 2(dy - dx)$ , iar dacă  $d_{i+1} < 0$ , atunci se alege  $F(x_i + 1, y_i)$  și  $d_{i+2} = d_{i+1} + 2dy$ .

Algoritmul general presupune mai multe cazuri, funcție de înclinarea dreptei care trebuie trasată.

**Observație.** Algoritmul poartă numele de algoritmul punctului mijlociu deoarece variabila decizională poate fi exprimată liniar funcție de ecuația dreptei evaluată în punctul de mijloc al segmentului  $EF$ . Fie  $D(x, y) = ax + by + c$ ,  $a > 0$  ecuația dreptei. Variabila de decizie este  $d_{i+1} = 2D(x_i + 1, y_i + \frac{1}{2})$ . Cum  $D(x, y)$  este negativ pentru un punct de deasupra liniei și pozitiv pentru un punct sub linie, se alege  $E$  dacă  $d_{i+1} \geq 0$  și  $F$  dacă  $d_{i+1} < 0$ . Dacă este ales  $F$ , atunci

$$d_{i+2} = 2D(x_i + 2, y_i + 1/2) = 2[a(x_i + 2) + b(y_i + 1/2) + c] = d_{i+1} + 2a = d_{i+1} + 2dy,$$

iar dacă se alege  $E$ , atunci

$$d_{i+2} = 2D(x_i + 2, y_i + 3/2) = d_{i+1} + 2(a + b) = d_{i+1} + 2(dy - dx).$$

Valoarea de start este

$$d_1 = 2D(x_A + 1, y_A + 1/2) = 2D(x_A, y_A) + 2a + b = 2a + b = 2dy - dx,$$

deoarece se presupune că  $(x_A, y_A)$  se află pe dreaptă.

### 3.4.3 Intersecția segmentelor de linii în rastru

Intersecția a două drepte neconfundate și neparalele în plan este un punct. Pe un display rastru, acest principiu matematic nu este valabil. Datorită aproximățiilor introduse la trasarea segmentelor este perfect posibil ca intersecția a două segmente să fie ea însăși un segment, adică o mulțime de pixeli care pe ecran aparțin ambelor segmente.

Sunt posibile următoarele situații:

- (a) dacă ambele segmente sunt mai apropiate de orizontală decât de verticală, atunci segmentul de intersecție are direcția orizontală;
- (b) dacă ambele segmente sunt mai apropiate de verticală decât de orizontală, atunci segmentul de intersecție are direcția verticală;
- (c) dacă un segment este mai apropiat de verticală, celălalt de orizontală, sau cel puțin un segment la  $45^0$  sau  $135^0$  față de orizontală, atunci intersecția constă dintr-un singur punct.

O tehnică des utilizată în prelucrarea reprezentărilor simple este transpunerea segmentelor pe ecran prin baleiere cu linii orizontale. Aceasta presupune reconstituirea liniilor orizontale de pixeli de pe ecran, pe rând, redând elementele din desen conținute în fiecare linie. Pentru o rezoluție  $m \times n$ , o linie de baleaj este privită ca un segment orizontal situat la cota  $y_{bal}$  între  $(0, y_{bal})$  și  $(m - 1, y_{bal})$ . Un segment oarecare se transpune pe linia de baleaj în pixelii care alcătuiesc intersecția dintre acesta și segmentul de baleaj. Transpunerea segmentelor se face astfel: se determină mulțimea pixelilor care formează intersecția dintre segmentul de baleaj și segmentul de transpus, apoi, pe linia respectivă, se aprind pixelii atunci când baleajul ajunge "în" intersecție. Intersecția segmentului cu linia de baleiere se poate determina (pentru segmente scurte) și prin reconstituirea algoritmului de desenare a segmentului și marcarea momentelor de "intrare" și "ieșire" din intersecție, determinate pe baza verificării cotei.

#### 3.4.4 Atenuarea efectelor datorate discretizării imaginii

Se consideră disponibil un display care are cel puțin două nivele de intensitate. Liniile apar în rastru ca niște scărițe. Acest fenomen este rezultatul conversiei scan de tipul tot sau nimic (un pixel este aprins sau stins). Aplicarea tehnicii care reduc sau elimină fenomenul sunt referite ca antialiasing.

O primă metodă este creșterea rezoluției, respectiv utilizarea unui display cu o rezoluție superioară. O altă tehnică este cea a pixelilor în diferite stadii. Salturile în liniile de pe ecran sunt ajustate prin mutarea cu o micropozitie a unor pixeli. Sistemele care permit o asemenea tehnică sunt construite astfel încât poziții individuale de pixeli pot fi deplasate cu o fracțiune din latura pixelului, de obicei  $1/4$ ,  $1/2$  sau  $3/4$ . Aceste două metode diminuează efectul de scăriță, dar nu îl elimină.

O metodă des utilizată pe display-urile care permit mai multe nivele de intensitate este metoda arilor. Ideea de bază este aceea că punctele și liniile de pe un ecran au dimensiuni finite. Se consideră că un pixel este aproximativ un pătrat, iar o linie are grosimea cel puțin egală cu latura pătratului-pixel (figura 3.4a). În loc de a trasa linia cu un singur pixel corespunzător fiecărei poziții pe axa  $Ox$ , toți pixelii peste care se suprapune o parte din "aria" liniei, sunt aprinși cu o intensitate proporțională cu aria de suprapunere (metoda arilor fără greutate). Această tehnică are trei proprietăți:

1. intensitatea unui pixel care intersectează o latură descrește proporțional cu creșterea distanței dintre centrul pixelului și segmentul de linie;

2. primitiva de trasare a segmentului nu influențează intensitatea unui pixel dacă nu intersectează aria acestuia;
3. arii egale contribuie egal la intensitate.

Metoda ariilor cu greutate păstrează primele două proprietăți, dar nu și a treia: arii egale pot contribui inegal la intensitate, deoarece o arie mică apropiată de centrul pixelului are o mai mare influență decât o arie egală aflată la o distanță mai mare. Aria de influență a unui pixel corespunde cercului determinat de centrele celor patru pixeli vecini mai apropiati.

Corectarea intensității pixelilor se utilizează pentru anularea mai multor efecte a trasării liniilor pe rastru. Astfel, o linie orizontală de aceeași lungime cu una înclinată va apărea mai luminată decât cea din urmă, chiar dacă numărul de pixeli este identic. Explicația constă în faptul că intensitatea per unitate de lungime (geometrică) este mai redusă în cazul segmentului înclinat. În figura 3.4 (b) segmentul  $CB$  are pantă 1 și este de  $\sqrt{2}$  ori mai lung decât segmentul orizontal  $CA$ , deși au același număr de pixeli în reprezentarea discretă. Dacă intensitatea per pixel este  $I$ , intensitatea per unitatea de lungime a segmentului  $CA$  este  $I$ , iar a segmentului  $CB$  este  $I/\sqrt{2}$ . Pentru compensarea acestui efect nedorit, se ajustează intensitatea de trasare a fiecărei linii în funcție de pantă acesteia. Liniile verticale și orizontale sunt trasate cu intensitate redusă, în timp ce liniile înclinate la  $45^0$ , cu intensitate maximă.

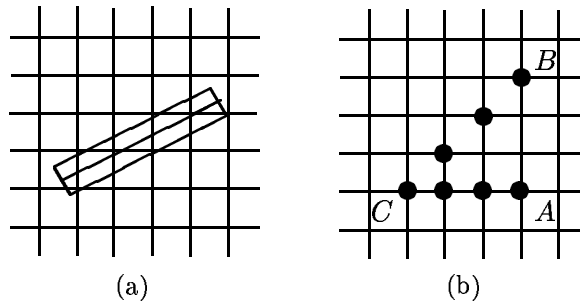


Figura 3.4: (a) Metoda ariilor (b) Variația intensității funcție de pantă

Tehnica antialiasing este utilizată pentru obținerea unor imagini de calitate. Datorită efortului de calcul implicat, tehnica este utilizată de obicei doar în ultimul pas al creării unei imagini.

### 3.5 Trasarea poligoanelor

Fiind dat un poligon prin coordonatele extremităților segmentelor care îl alcătuesc (deci coordonatele vârfurilor), la convertirea scan a acestuia trebuie determinate, pentru fiecare linie de baleiaj care taie poligonul, intersecțiile liniei de baleiaj cu laturile poligonului.

Algoritmul de conversie scan a unui poligon constă în următoarele etape:

- se determină valoarea maximă a ordonatelor  $y_{max}$  și valoarea minimă a ordonatelor  $y_{min}$ ;
- se baleiază poligonul cu  $y_{bal}$  de la  $y_{min}$  la  $y_{max}$ . Pentru fiecare linie de baleiază se parcurg toate laturile poligonului. Dacă linia de baleiază taie latura curentă:
  - (a) se calculează intersecția dintre latură și linia de baleiază, reținând începutul  $x_{min}$  și sfârșitul acesteia  $x_{max}$ ;
  - (b) pentru  $x$  de la  $x_{min}$  la  $x_{max}$  se aprinde pixelul de coordonate  $(x, y_{bal})$ ;  
Se trece la următoarea latură.

O serie de alți algoritmi au fost construși pentru trasări mai rapide. Unii dintre aceștia sunt menționați în secțiunea referitoare la umplerea poligoanelor din capitolul următor.

### 3.6 Trasarea cercurilor și a elipselor

Se consideră un cerc centrat în origine, de ecuație

$$x^2 + y^2 = R^2,$$

unde raza  $R$  este un număr întreg de unități de rastru. Cercurile care nu sunt centrate în origine se translatează înspre origine, iar la convertirea scan se ține seama de deplasament.

Există o serie de variante pentru conversia scan a cercurilor. Rezolvând ecuația implicită se obține  $y = \pm\sqrt{R^2 - x^2}$ . Pentru a trasa un sfert de cerc (celelalte trasându-se prin simetrie, vezi figura 3.5.a) se poate incrementa  $x$  de la 0 la  $R$  cu pași unitari, rezolvând ecuația  $y = \sqrt{R^2 - x^2}$  pentru fiecare pas. Viteza de conversie a cercului în acest caz este extrem de scăzută datorită numeroaselor operații de multiplicare și extragere a rădăcinii pătrate. O altă variantă este afișarea punctelor apropriate de  $(R \cos \theta, R \sin \theta)$ , cu  $\theta$  parcurgând pas cu pas intervalul  $[0^\circ, 45^\circ]$  (calculele sunt de asemenea numeroase).

Ca și în algoritmul de generare a liniilor în rastru, determinarea pozițiilor de coordonate întregi ce formează o imagine circulară pot fi obținute printr-un algoritm incremental ce determină, la fiecare pas, pixelul cel mai apropiat de cerc.

Algoritmul de generare incrementală se bazează în mod esențial pe ipoteza de echidistanță orizontală și verticală a punctelor rastrului. Dacă această condiție nu este îndeplinită, algoritmul următor va trasa elipse în loc de cercuri.

Problema este examinată separat pentru fiecare octant. În interiorul unui octant sunt posibile numai două deplasări elementare între două puncte generate consecutiv: o deplasare perpendiculară pe axa mai apropiată, sau o deplasare diagonală. De exemplu, în octantul 1, deplasările elementare sunt în sus sau spre stânga-sus, iar în octantul 2, la stânga sau spre stânga-sus.

Se consideră, de exemplu, cazul primului octant și a unui cerc de ecuație  $C(x, y) = 0$  cu  $C(x, y) = x^2 + y^2 - R^2$ . Se consideră generate la un moment dat (la un pas anterior) coordonatele  $(x_i, y_i)$  relative la centrul cercului. Se pot

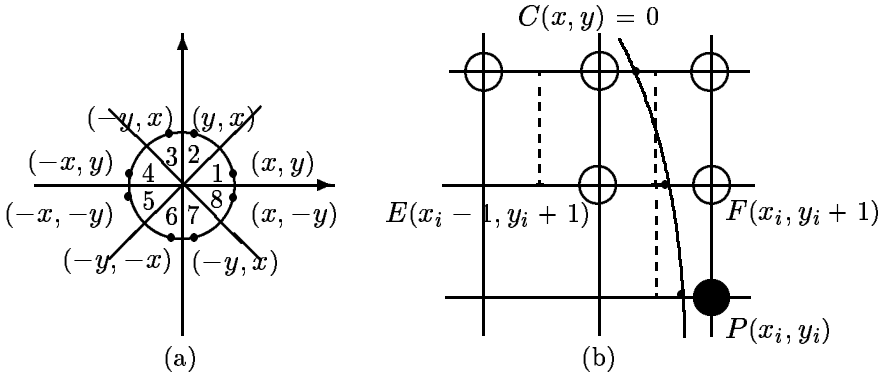


Figura 3.5: (a) Construirea arcelor de cerc prin simetrie (b) Algoritmul incremental în octantul unu

alege două posibilități la pasul următor:  $(x_i, y_i + 1)$  sau  $(x_i - 1, y_i + 1)$  (figura 3.5.b). Va fi generat punctul care este cel mai apropiat de cercul ideal. Primul se află în exteriorul cercului, deci  $C(x_i, y_i + 1) > 0$ , iar celălat în interior, deci  $C(x_i - 1, y_i + 1) < 0$ . Punctul corespunzător valorii celei mai mici în modul este cel selectat. Astfel se consideră factorul de decizie

$$\Delta_i = C(x_i, y_i + 1) + C(x_i - 1, y_i + 1) = x_i^2 + (x_i - 1)^2 + 2(y_i + 1)^2 - 2R^2.$$

Dacă  $\Delta_i < 0$ , adică  $|C(x_i, y_i + 1)| < |C(x_i - 1, y_i + 1)|$ , atunci se aprinde primul punct, altfel al doilea. Pentru evitarea multiplelor operații de adunare, scădere și înmulțire, factorul de decizie se poate obține printr-o formulă recursivă. Astfel, dacă  $\Delta_i < 0$ , atunci

$$\Delta_{i+1} = \Delta_i + 4y_{i+1} + 2,$$

altfel

$$\Delta_{i+1} = \Delta_i - 4x_{i+1} + 4y_{i+1} + 2.$$

Cele trei puncte  $(x_i, y_i, \Delta_i)$  definesc starea curentă a algoritmului pentru fiecare punct generat. Pentru aceste numere vor fi alocate variabile de stare. Valorile inițiale pentru cele trei variabile de stare sunt

$$x_0 = R, \quad y_0 = 0, \quad \Delta_0 = 3 - 2R^2.$$

Odată rezolvată problema generării cercului în primul octant, pentru trasarea în ceilalți octanți se poate proceda prin simetrie. Există însă situații când ordinea generării punctelor cercului are importanță, de exemplu, dacă trasarea trebuie să se efectueze nu cu linie continuă, ci cu linie întreruptă. Atunci se continuă generarea incrementală și în ceilalți octanți.

În octantul 2, după generarea punctului  $(x_i, y_i)$ , următorul punct generat trebuie ales între  $(x_i - 1, y_i + 1)$  și  $(x_i - 1, y_i)$ . Factorul de decizie este

$$\Delta_i = y_i^2 + (y_i + 1)^2 + 2(x_i - 1)^2 - 2R^2,$$

cu relația recursivă

$$\Delta_{i+1} = \begin{cases} \Delta_i - 4x_{i+1} + 2, & \Delta_i < 0 \\ \Delta_i - 4x_{i+1} - 4y_{i+1} + 2, & \text{altfel} \end{cases}.$$

Prin calcule simple se pot stabili formulele de trecere de la octantul 1 la octantul 2 pentru factorul decizional, funcție de ultimele valori alese și ultima direcție de deplasare, respectând regulile de conexiune discretă.

Observații:

- (a) Pentru simplificarea calculelor factorului decizional, deplasamentul față de valoarea anterioară poate fi de asemenea calculat recursiv.
- (b) Algoritmul punctului mijlociu pentru trasarea dreptelor poate fi extins la cazul trasării cercurilor. Variabila de decizie se exprimă funcție de valoarea lui  $C$  în punctul situat la mijlocul segmentului format de cele două puncte în discuție. În cazul primului octant valoarea în discuție este  $C(x_i - \frac{1}{2}, y_i + 1)$ . Factorul de decizie este astfel ales încât să se eliminate în evaluarea lui  $C$  împărțirile, iar valoarea de start a procesului iterativ al factorului de decizie să fie întreagă.
- (c) Algoritmul punctului mijlociu a fost extins și la cazul conversiei scan a elipselor (algoritmul Da Silva). Pentru simplificarea calculelor se trasează arcul de elipsă care se află în primul cuadrant, iar celelalte trei, prin simetrie. Se divide primul cuadrant în două regiuni (figura 3.6.a), în urma determinării punctului în care tangenta la elipsă are panta  $-1$  (punctul satisface ecuația elipsei  $E(x, y) = b^2x^2 + a^2y^2 - a^2b^2 = 0$  și componentele vectorului gradient trebuie să fie egale,  $2b^2x = 2a^2y$ ). Ca și în algoritmul punctului mijlociu pentru drepte, se evaluează funcția  $E$  în punctul de mijloc dintre cei doi pixeli în discuție în regiunea curentă pentru a determina poziția punctului de mijloc față de elipsă și, deci, cel mai apropiat pixel. Variabila de decizie este aleasă proporțional cu această valoare, multiplicată cu un factor ce elimină împărțirile prin constante, și care poate fi evaluată prin diferențe.

Octant	1	2	3	4	5	6	7	8
$\Delta x$	1	0,1	0,-1	-1	-1	0,-1	0,1	1
$\Delta y$	0,1	1	1	0,1	0,-1	-1	-1	0,-1

Tabelul 3.1: Mutări în octanți

Algoritmul descris în observația anterioară poate fi extins pentru cazul unei elipse oarecare descrisă prin ecuația  $G(x, y) := ax^2 + bxy + cy^2 + dx + ey + f = 0$  (se include astfel și cazul cercului). Planul se divide în opt octanți, funcție de direcțiile de trasare incrementală (figura 3.6.b și tabelul 3.1). Astfel, în octantul 1 se poate alege între mutarea la dreapta sau pe diagonală sus-dreapta. Se consideră aprins pixelul  $(x_i, y_i)$  din octantul 1. Variabila de decizie este  $d_i = G(x_i + 1, y_i + \frac{1}{2})$ . Următoarea valoare poate fi  $d_{i+1} = G(x_i + 2, y_i + \frac{1}{2})$

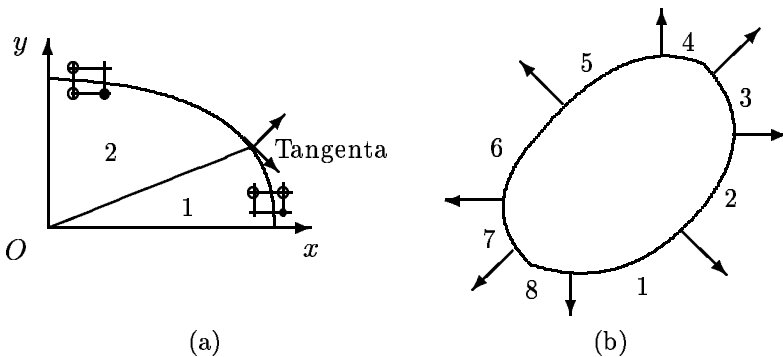


Figura 3.6: (a) Primul cuadrant în trasarea incrementală a elipsei centrate în origine și cu semiaxele paralele cu axele de coordonate (b) Octanții în cazul unei elipse oarecare

sau  $d_{i+1} = G(x_i + 2, y_i + \frac{3}{2})$ . În primul caz,  $d_{i+1} = d_i + u_{i+1}$ , iar în al doilea,  $d_{i+1} = d_i + v_{i+1}$ , unde

$$u_i = a(2x_i + 1) + b(y_i + 1/2) + d, \quad v_i = (2a + b)x_i + (b + 2c)y_i + a + b/2 + d + e.$$

Pentru  $u_i$  și  $v_i$  se pot stabili relații recursive ce depind de direcția de mișcare. Pentru mișcarea orizontală,

$$u_{i+1} = u_i + 2a, \quad v_{i+1} = v_i + 2a + b,$$

iar pentru mișcarea diagonală,

$$u_{i+1} = u_i + 2a + b, \quad v_{i+1} = v_i + 2a + 2b + 2c.$$

Trecerea din octantul 1 în octantul 2 se realizează când expresia următoare își schimbă semnul:

$$\left( \frac{\partial G}{\partial x} + \frac{\partial G}{\partial y} \right) (x_i, y_i) = (2ax_i + by_i + d) + (bx_i + 3cy_i + e) = v_i - \left( a + \frac{b}{2} \right)$$

iar trecerea din octantul 2 în octantul 3, când expresia următoare își schimbă semnul:

$$\frac{\partial G}{\partial x} (x_i, y_i) = 2ax_i + by_i + d = u_i - \left( a + \frac{b}{2} \right).$$

Algoritmul constă din mai mulți pași (un pas pentru un pixel), la un pas efectuându-se următoarele etape:

1. trasare pixel;
2. alegere pixel nou pe baza valorii  $d_i$ ;
3. calculare  $u_{i+1}$  și  $v_{i+1}$  funcție de alegerea efectuată în etapa anterioară;
4. calculare  $d_{i+1}$  prin adăugare  $u_{i+1}$  sau  $v_{i+1}$  funcție de alegerea efectuată în etapa a doua;
5. verificarea schimbării octantului.

### 3.7 Trasarea curbelor de grad doi

Fie o curbă de grad doi în forma generală

$$f(x, y) = a_1x^2 + a_2xy + a_3y^2 + a_4x + a_5y + a_6 = 0,$$

unde coeficienții  $a_1, a_2, \dots, a_6$  sunt în general numere reale, cu  $a_1 > 0$ . Curba reprezentată de această ecuație este o conică. Se consideră cantitățile

$$\delta = a_2^2 - 4a_1a_3, \quad \Delta = a_1a_5^2 + a_3a_4^2 - a_2a_4a_5 + (a_2^2 - 4a_1a_3)a_6$$

(dacă determinăm pe  $x$  funcție de  $y$  din ecuația  $f(x, y) = 0$ , discriminantul ecuației de grad doi,  $\Delta_1(y)$ , polinom de grad doi în  $y$ , are la rândul său ca discriminant pe  $4a_1\Delta$ ).

Ecuția conicei reprezintă o curbă degenerată dacă funcția de grad doi  $f(x, y)$  se poate scrie sub forma

$$f(x, y) = (b_1x + b_2y + b_3)(c_1x + c_2y + c_3),$$

unde coeficienții  $b_i, c_i$  sunt în general numere complexe. Dacă aceștia sunt numere reale, conica degenerază în două drepte. Condiția de degenerare este

$$\Delta = 0.$$

Dacă curba este nedegenerată, ecuația conicei reprezintă o curbă propriu-zisă, reală sau imaginară. Tipul conicei depinde de semnul discriminantului  $\delta$ :

$$\delta \begin{cases} < 0 : & \text{elipsă (sau cerc),} \\ = 0 : & \text{parabolă,} \\ > 0 : & \text{hiperbolă.} \end{cases}$$

Dacă curba este reală, atunci funcția  $f(x, y)$  ia valori negative în interiorul concavităților curbei  $f(x, y) = 0$  și valori pozitive în exteriorul acestora.

Se presupune că  $a_i$  sunt numere întregi fără divizori comuni. Se utilizează ipoteza de echidistanță orizontală și verticală a punctelor rastrului. Dacă dimensiunile celulei elementare de rastru sunt în raportul  $p/q \neq 1$ , cu  $p, q$  întregi, pentru o trasare corectă se poate proceda în modul următor: se înlocuiește ecuația curbei  $f(x, y) = 0$  cu

$$g(x, y) = p^2 f\left(x, \frac{q}{p}y\right) = 0,$$

care are toti coeficienții întregi și permite redarea corectă a proporțiilor.

Rezolvarea exactă a problemei plasării punctelor în toate cazurile implică, în general, rezolvarea unor ecuații de grad doi pentru fiecare punct generat. Aceste operații sunt prea complicate pentru un algoritm eficient. De aceea se caută o procedură incrementală de trasare a curbei, care să funcționeze prin

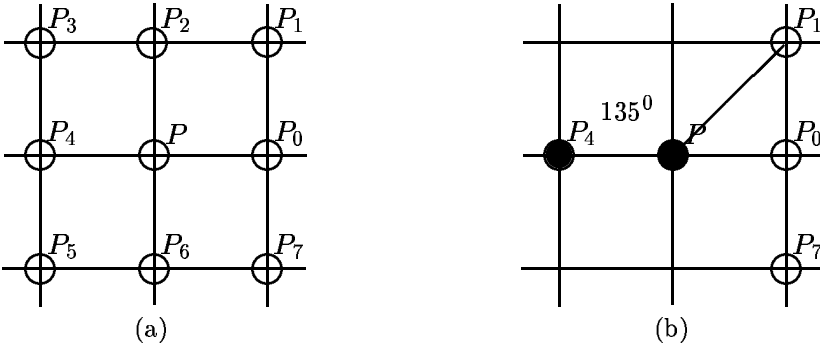


Figura 3.7: (a) Direcțiile posibile de deplasare în algoritmul incremental (b) Aplicarea regulii conexiunii discrete

deplasări elementare pe orizontală, verticală sau în diagonală între punctele succesiv generate (8 direcții de deplasare).

Se numerotează de la 0 la 7 direcțiile posibile de deplasare de la un punct la cele 8 puncte vecine din rastru, numerotarea făcându-se în sens trigonometric direct. Punctele vecine lui  $P$  se notează cu  $P_i$ ,  $i = 0, \dots, 7$  (figura 3.7.a).

**Observații:**

- (a) pentru două puncte  $(x_1, y_1)$  și  $(x_2, y_2)$  relativ apropiate de curba ideală, se poate decide care dintre ele este cel mai apropiat prin compararea cantităților  $|f(x_1, y_1)|$  și  $|f(x_2, y_2)|$ . Punctul cel mai apropiat de curbă este acela în care funcția  $f(x, y)$  este minimă în valoare absolută.
- (b) dacă algoritmul de generare a efectuat o deplasare în direcția  $i$  între două puncte succeseive, atunci pentru următorul punct generat trebuie să se efectueze o deplasare elementară în una din direcțiile  $i - 1$ ,  $i$  sau  $i + 1$  (considerate modulo 8). Această regulă este o altă exprimare pentru regula de conexiune discretă (figura 3.7.b). Cercurile minime care îndeplinesc această condiție au diametrul de cel puțin 3 unități de rastru.

Ideeală algoritmului este următoarea. Se alege sensul de parcurs al curbei astfel încât  $f(x, y) < 0$  ( $> 0$ ) la stânga (respectiv dreapta) direcției de înaintare. Dacă punctul  $P$  a fost generat în urma deplasării elementare în direcția  $i$ , atunci punctele candidat sunt  $P_{i-1}$ ,  $P_i$ ,  $P_{i+1}$  (considerate modulo 8). Conform presupunerii anterioare  $P_{i+1}$  se află în interior ( $f(P_{i+1}) < 0$ ), iar  $P_{i-1}$  în exterior ( $f(P_{i-1}) > 0$ ). Despre punctul  $P_i$  nu se poate afirma dacă este în exterior sau interior. Pentru alegerea uneia dintre cele trei puncte sunt necesare următoarele comparații:

$$\begin{cases} f(P_{i-1}) + f(P_i) < 0 : & \text{se alege punctul } P_{i-1} \\ f(P_{i-1}) + f(P_i) \geq 0 \text{ și } f(P_i) + f(P_{i+1}) \leq 0 : & \text{se alege punctul } P_i \\ f(P_i) + f(P_{i+1}) > 0 : & \text{se alege punctul } P_{i+1} \end{cases}$$

**Observație.** Aplicând acest criteriu decizional pentru ecuația unei drepte, se obțin relațiile ce stau la baza algoritmului Bresenham. De asemenea, acest criteriu general este particularizat de relațiile care guvernează trasarea incrementală a cercurilor.

Dacă se exprimă toate valorile funcției  $f$  în punctele din imediata apropiere a lui  $P$ , de coordonate  $(x, y)$ , rezultă:

$$\begin{aligned} f(P_0) &= f(x+1, y) = f(P) + (2a_1 x + a_2 y + a_4) + a_1; \\ f(P_1) &= f(P) + (2a_1 x + a_2 y + a_4) + (a_2 x + 2a_3 y + a_5) + a_1 + a_2 + a_3; \\ &\dots \end{aligned}$$

și se poate dezvolta algoritmul de trasare incrementală pe baza criteriului de decizie și a acestor relații de recurență. Sunt efectuate doar operații de adunare, scădere și înmulțire între numere întregi pentru fiecare punct generat. Operațiile de înmulțire pot fi evitate în cazul unei alegeri adecvate a variabilelor de stare. Relațiile de recurență pot fi exprimate simplu în funcție de derivatele parțiale  $f'_x$  și  $f'_y$  ale lui  $f$  în punctul  $P$ , notate cu  $fx$  și  $fy$ :

$$fx(x, y) = f'_x(x, y) = (2a_1 x + a_2 y + a_4), \quad fy(x, y) = f'_y(x, y) = (a_2 x + 2a_3 y + a_5).$$

Funcțiile  $fx, fy$  fiind liniare, actualizările lor incrementale se exprimă numai prin operații de adunare și scădere. În cazul unei deplasări elementare între două puncte vecine:

$$\begin{aligned} fx(P_0) &= fx(P) + 2a_1, \quad fy(P_0) = fy(P) + a_2, \\ fx(P_1) &= fx(P) + 2a_1 + a_2, \quad fy(P_1) = fy(P) + a_2 + 2a_3, \\ &\dots \end{aligned}$$

Variabilele de stare sunt valorile funcțiilor  $f, fx, fy$  în punctul curent generat.

### 3.8 Trasarea curbelor plane

În raport cu un reper cartezian ortogonal, curbele plane pot fi descrise prin:

1. ecuații explicite: un punct oarecare  $(x, y)$  de pe curbă este descris în forma explicită  $y = f(x)$ ;
2. ecuații polare: un punct oarecare  $(x, y)$  de pe curbă este descris în coordinate polare prin cuplul  $(r, t)$ , unde  $t$  parcurge un interval  $[a, b]$  și  $r = f(t)$ , corespondența dintre cele două sisteme de coordonate, carteziene și polare, presupunând ecuații de tipul  $x = r \cos t$ ,  $y = r \sin t$ .
3. ecuații parametrice: un punct oarecare  $(x, y)$  de pe curbă este descris prin  $x = f(t)$ ,  $y = g(t)$ , unde  $t$  parcurge un interval  $[a, b]$  din  $\mathbb{R}$ , adică  $F(t) = (f(t), g(t))$  reprezintă un drum în planul  $\mathbb{R} \times \mathbb{R}$ ;
4. ecuații implice: un punct oarecare  $(x, y)$  de pe curbă este descris de ecuația  $F(x, y) = 0$ . Folosind teorema funcțiilor implice din calculul diferențial, se ajunge la studiul curbelor descrise prin ecuații explicite. În secțiunea anterioară a fost descris un algoritm incremental pentru cazul în care  $F(x, y)$  este funcție polinomială de grad maxim doi în  $x$  și  $y$ .

Pentru trasarea curbelor definite explicit trebuie să se țină seama de dispozitivul de afișare grafică de care se dispune. Este necesară scrierea unui proceduri care operează cu coordonate (în mod grafic) ce reprezintă numere întregi și care ține seama de scara la care se execută desenul. Scalarea care trebuie efectuată se obține în urma analizei valorilor extreme ale funcției pe domeniul pe care se reprezintă.

Pentru reprezentarea grafică a unei curbe descrisă prin ecuații polare este necesară o transformare în coordonate carteziene. Această transformare este  $x = f(t) \cos t$ ,  $y = f(t) \sin t$  (curbă plană descrisă prin ecuații parametrice).

Se abordează problema trasării curbei cu reprezentarea parametrică

$$x = x(t), \quad y = y(t), \quad t \in [0, 1],$$

unde  $x(\cdot)$  și  $y(\cdot)$  sunt funcții continue.

O primă idee pentru dezvoltarea unui algoritm de trasare constă în alegerea unei rate constante  $\Delta$  de creștere a variabilei independente  $t$  și selectarea, în mediul de afișare, a punctelor care corespund cel mai bine adreselor calculate  $(x(k\Delta), y(k\Delta))$ , unde  $k = 0, 1, \dots, [1/\Delta]$ . Principala dificultate constă în alegerea parametrului  $\Delta$ , deoarece nu se știe de la început câte puncte vor fi efectiv generate. Pe de altă parte, însăși reprezentarea parametrică dată, care nu este unică, poate fi defavorabilă, astfel încât orice alegere a unui constantă de creștere  $\Delta$  este total nepotrivită: pe unele porțiuni ale curbei, parametrul  $\Delta$  poate fi prea mic, ceea ce are ca rezultat selectarea de mai multe ori a aceluiași punct; pe alte porțiuni ale curbei, același parametru  $\Delta$  poate fi prea mare, generând puncte consecutive neadiacente în mediu de afișare, care, dacă sunt unite prin linii drepte, nu mai aproximează suficient de exact curba dată. Astfel, orice metodă bazată pe creșterea constantă a variabilei independente nu poate produce algoritmi eficienți în toate cazurile. Este necesar să se găsească o metodă bazată pe variația neconstantă a variabilei  $t$ , care să urmărească pe cât posibil variația curbei.

Principiul metodei trasării prin înjumătățirea intervalului este următorul: se calculează mai întâi adresele punctelor de la capetele curbei, corespunzând extremităților intervalului de variație a parametrului  $t$ . Dacă aceste două puncte sunt suficient de apropiate în raport cu rezoluția mediului de afișare, problema este rezolvată prin aprinderea acestor puncte. În caz contrar, intervalul curent de variație a lui  $t$  se împarte în două subintervale de lungimi egale, subintervalul din dreapta se memorează într-o structură de date de tip stivă pentru necesități ulterioare și se reia problema cu subintervalul din stânga. Înjumătățirea intervalului continuă până când lungimea acestuia este suficient de mică pentru ca punctele de pe curbă corespunzătoare extremităților intervalului să fie adiacente în mediu de afișare. În acest caz se descarcă stiva și se reia procedura cu cel mai recent subinterval memorat în stivă. Trasarea curbei se termină când stiva se golește complet.

Metoda de trasare prin înjumătățirea intervalului poate fi concretizată și într-o formă mai concisă cu ajutorul unei proceduri recursive, care să nu facă apel în mod explicit la o structură de date de tip stivă.

Corectitudinea procedurii de principiu se bazează implicit pe faptul că funcțiile de parametrizare sunt continue. În caz contrar, nu este neapărat necesar ca, între două puncte corespunzătoare valorilor  $t_1 < t_2$  ale parametrului, toate punctele intermediare (în sensul valorilor absciselor și ordonatelor) să corespundă la valori ale lui  $t$  din intervalul  $[t_1, t_2]$ .

Există situații când ordinea generării punctelor curbei are importanță. De exemplu, dacă trasarea curbei trebuie să se efectueze nu cu linie continuă, ci cu linie întreruptă corespunzând unui anumit şablon (configurație liniară de biți, pattern) predefinit, atunci algoritmul de trasare trebuie să permită calcularea punctelor succesive ale curbei în paralel cu parcurgerea configurației binare a şablonului, care se repetă în mod circular. Punctul curent de pe curbă este efectiv selectat în mediu de afișare numai dacă bitul corespunzător din şablon este 1. Trasarea cu şablon nu este pe deplin reușită dacă algoritmul de trasare generează de două ori același punct pe curbă. Este necesară inhibarea generării efective a unui punct dacă coordonatele acestuia coincid cu cele ale unui punct generat anterior.

## 3.9 Trasarea curbelor spațiale

### 3.9.1 Descrierea curbelor spațiale

Curbele spațiale pot fi descrise:

1. explicit prin ecuații de tipul  $y = f(x)$ ,  $z = g(x)$ ;
2. implicit printr-o ecuație de tipul  $F(x, y, z) = 0$ ;
3. parametric prin ecuații de tipul  $x = x(t)$ ,  $y = y(t)$ ,  $z = z(t)$ .

Prima descriere nu este valabilă pentru toate curbele. De exemplu, un cerc într-un plan cu  $z$  constant are două valori pentru un  $x$ . A doua descriere oferă mai multe soluții, dar, de exemplu, semicercul  $x^2 + y^2 = 1$ ,  $x \geq 0$  nu poate fi descris printr-o ecuație de tipul cerut. De aceea, reprezentarea parametrică este des utilizată.

Curbele parametrice polinomiale definesc un punct de pe o curbă spațială utilizând trei polinoame de un parametru  $t$ . Curbele cubice folosesc polinoame cubice în  $t$ . Curbele polinomiale de grad mai mare ca patru sunt rar utilizate deoarece prezintă o multitudine de ondulații.

### 3.9.2 Curbe parametrice cubice

Cubica parametrică spațială poate fi exprimată parametric prin trei funcții cubice și este definită prin 12 coeficienți:

$$\begin{cases} x(t) = a_x t^3 + b_x t^2 + c_x t + d_x \\ y(t) = a_y t^3 + b_y t^2 + c_y t + d_y, \\ z(t) = a_z t^3 + b_z t^2 + c_z t + d_z, \end{cases}$$

unde  $t \in [0, 1]$ . Dacă se notează

$$Q(t) = (x(t), y(t), z(t)), \quad T = (t^3, t^2, t, 1), \quad C = \begin{pmatrix} a_x & a_y & a_z \\ b_x & b_y & b_z \\ c_x & c_y & c_z \\ d_x & d_y & d_z \end{pmatrix}$$

atunci  $Q(t) = TC$ . Vectorul tangent la curbă în punctul corespunzător unui anumit  $t$  este

$$Q'(t) = (3t^2, 2t, 1, 0)C$$

Fiecare polinom cubic are 4 coeficienți și deci sunt necesare 12 condiții pentru determinarea necunoscutelor.

Un segment de curbă este definit prin constrângeri privind:

- (a) punctele de capăt;
- (b) vectorii tangenți;
- (c) continuitatea între mai multe segmente de curbă.

În cazul general, matricea  $C$  este rescrisă sub forma  $C = MG$ , unde  $M$  este o matrice  $4 \times 4$ , numită matrice de bază, iar  $G$  o matrice  $4 \times 3$ , numită vectorul geometric (care definește constrângările geometrice). Se notează  $G_x$  prima coloană a lui  $G$ . Atunci  $x(t) = TMG_x$ , adică

$$x(t) = b_1(t)g_{1x} + b_2(t)g_{2x} + b_3(t)g_{3x} + b_4(t)g_{4x},$$

unde polinoamele blending (amestec, combinare)  $b_i$  sunt polinoamele cubice obținute din ecuația matriceală  $B = TM$  (de exemplu,  $b_1(t) = t^3m_{11} + t^2m_{21} + tm_{31} + m_{41}$ ).

### Curbe Hermite

Curbele Hermite sunt descrise prin funcțiile parametrice cubice ce au gradul minim necesar pentru a îndeplini patru condiții: (figura 3.8.a):

- (a) să treacă prin două puncte date ( $P_1, P_4$ );
- (b) să aibă tangente date în aceste puncte ( $R_1, R_4$ ).

Se definește vectorul de geometrie

$$G_H = \begin{pmatrix} P_1 \\ P_4 \\ R_1 \\ R_4 \end{pmatrix}$$

unde cele trei elemente ale unei linii reprezentă coordonatele punctelor, respectiv lungimile tangentelor descompuse pe axe de coordonate. Fie  $G_{Hx}$  prima coloană a acestei matrici și  $M_H$  matricea de bază. Atunci  $x(t) = TM_H G_{Hx}$ . Pentru determinarea matricei de bază  $M_H$  se utilizează condițiile din ipoteză. Se știe că

$$\begin{aligned} x(0) &= x_{P_1} = (0, 0, 0, 1)M_H G_{Hx}, \\ x(1) &= x_{P_4} = (1, 1, 1, 1)M_H G_{Hx}, \\ x'(0) &= x_{R_1} = (0, 0, 1, 0)M_H G_{Hx}, \\ x'(1) &= x_{R_4} = (3, 2, 1, 0)M_H G_{Hx} \end{aligned}$$

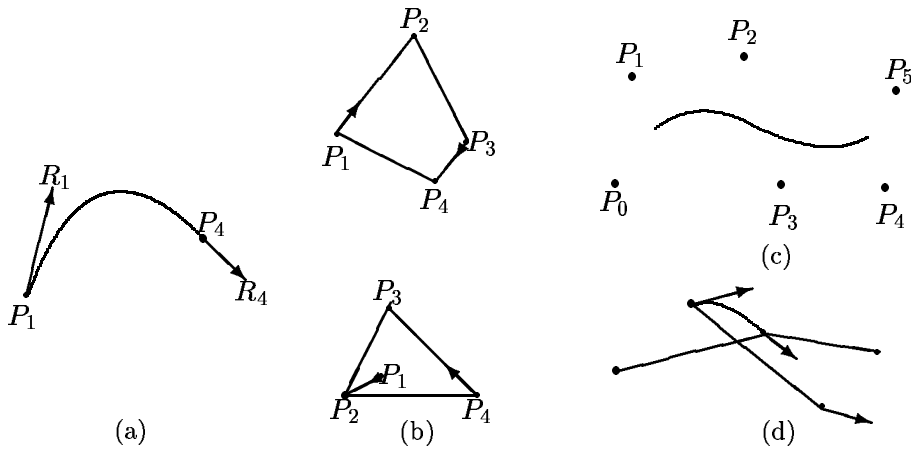


Figura 3.8: Definirea curbelor cubice (a) Curbă Hermite (b) Curbe Bézier (c) Curba B-spline uniformă (d) Curba spline Catmull-Rom

adică

$$G_{Hx} = \begin{pmatrix} 0 & 0 & 0 & 1 \\ 1 & 1 & 1 & 1 \\ 0 & 0 & 1 & 0 \\ 3 & 2 & 1 & 0 \end{pmatrix} M_H G_{Hx}.$$

Astfel

$$M_H = \begin{pmatrix} 0 & 0 & 0 & 1 \\ 1 & 1 & 1 & 1 \\ 0 & 0 & 1 & 0 \\ 3 & 2 & 1 & 0 \end{pmatrix}^{-1} = \begin{pmatrix} 2 & -2 & 1 & 1 \\ -3 & 3 & -2 & -1 \\ 0 & 0 & 1 & 0 \\ 1 & 0 & 0 & 0 \end{pmatrix}$$

Aceeași matrice se obține utilizând condițiile în coordonata  $y$  sau  $z$ . Generic,

$$Q(t) = TM_H G_H.$$

Polinoamele Hermite  $B_H$  se obțin din  $B_H = TM_H$ . Funcție de acestea, curba Hermite este descrisă astfel:

$$Q(t) = B_H G_H = (2t^3 - 3t^2 + 1)P_1 + (-2t^3 + 3t^2)P_4 + (t^3 - 2t^2 + t)R_1 + (t^3 - t^2)R_4.$$

Pentru continuitatea geometrică a două segmente de curbă Hermite este necesar ca vectorii de geometrie să fie de tipul  $(P_1, P_4, R_1, R_4)^T$  și  $(P_4, P_7, kR_4, R_7)^T$ , unde  $k \geq 0$ . Pentru continuitatea de clasă  $C^1$  a segmentului rezultat este necesar ca  $k = 1$ .

**Observație.** Curbele Hermite pot fi ușor transformate modificând doar vectorul de geometrie (matricea de bază este invariantă la rotații, scalări sau translații).

### Curbe Bézier

Se obțin cu ajutorul a patru puncte de control. Primul și ultimul servesc la precizarea capetelor intervalului (în figura 3.8.b,  $P_1$  și  $P_4$ ), iar punctele suplimentare determină, împreună cu capetele, direcția tangentelor ( $P_1P_2$ ,  $P_3P_4$ ). Dacă  $R_1$  și  $R_4$  sunt tangentele în punctele  $P_1$ , respectiv  $P_4$ , atunci

$$R_1 = Q'(0) = m(P_2 - P_1), \quad R_4 = Q'(1) = m(P_4 - P_3).$$

Parametrul  $m$  se numește factor de formă. Din considerentul includerii curbei în închiderea convexă a punctelor  $P_1$ ,  $P_2$ ,  $P_3$ ,  $P_4$  se consideră  $m = 3$ . Vectorul de geometrie Bézier este

$$G_B = \begin{pmatrix} P_1 \\ P_2 \\ P_3 \\ P_4 \end{pmatrix}.$$

Atunci

$$G_H = \begin{pmatrix} P_1 \\ P_4 \\ R_1 \\ R_4 \end{pmatrix} = \begin{pmatrix} 1 & 0 & 0 & 0 \\ 0 & 0 & 0 & 1 \\ -m & m & 0 & 0 \\ 0 & 0 & -m & m \end{pmatrix} \begin{pmatrix} P_1 \\ P_2 \\ P_3 \\ P_4 \end{pmatrix} = M_{HB} G_B.$$

Cum  $Q(t) = TM_H G_H = TM_B G_B$  se obține matricea de bază Bézier pentru  $m = 3$

$$M_B = M_H M_{HB} = \begin{pmatrix} -1 & 3 & -3 & 1 \\ 3 & -6 & 3 & 0 \\ -3 & 3 & 0 & 0 \\ 1 & 0 & 0 & 0 \end{pmatrix}.$$

Polinoamele  $B_B = TM_B$  sunt polinoamele Bernstein. Funcție de acestea curba Bézier este descrisă prin

$$Q(t) = (1-t)^3 P_1 + 3t(1-t)^2 P_2 + 3t^2(1-t) P_3 + t^3 P_4.$$

Pentru continuitatea geometrică a două segmente de curbă Bézier este necesar ca vectorii de geometrie să fie de tipul  $(P_1, P_2, P_3, P_4)^T$  și  $(P_4, P_5, P_6, P_7)$ , cu  $P_3 - P_4 = k(P_4 - P_5)$  unde  $k \geq 0$ . Pentru continuitatea de clasă  $C^1$  a segmentului rezultat este necesar ca  $k = 1$ .

**Observație.** Deoarece suma ponderilor polinoamelor Bernstein este unu, segmentul de curbă se află în interiorul închiderii convexe a celor patru puncte de control.

### Curbe spline

Sunt constituite din mai multe segmente ce prezintă continuitate de clasă  $C^1$  sau  $C^2$  în punctele de cuplare. Există mai multe tipuri de curbe de acest tip,

cele mai utilizate fiind curbele B-spline uniforme sau neuniforme și curbele  $\beta$ -spline.

În cazul concatenării unor segmente de curbe de tip Hermite sau Bézier, schimbarea unui punct de control afectează întreaga curbă.

Curbele B-spline consistă din mai multe segmente de curbă a căror coeficienți polinomiali depind de un număr mic de puncte de control (control local), astfel încât modificarea unui punct afectează numai o mică parte a curbei.

O curbă cubică B-spline presupune precizarea a  $m + 1$  puncte de control notate  $P_0, P_1, \dots, P_m$ , unde  $m \geq 3$ , și constă din  $m - 2$  segmente de curbă cubică, notate  $Q_3, Q_4, \dots, Q_m$ . Fiecare segment de curbă este definit doar pe propriul interval  $0 \leq t < 1$ . Parametrul  $t$  este ajustat astfel încât  $Q_i$  să fie definit de  $t_i \leq t \leq t_{i+1}$ , pentru  $3 \leq i \leq m$ . Dacă  $m = 3$ , există un singur segment de curbă,  $Q_3$ , definit pe intervalul  $t_3 \leq t < t_4$  prin punctele de control  $P_0, \dots, P_3$ . Pentru  $m \geq i \geq 4$ , există un punct comun (nod) între segmentele  $Q_{i-1}$  și  $Q_i$ .

O curbă B-spline uniformă presupune ca nodurile să fie spațiate la intervale egale ale parametrului  $t$ . Se presupune astfel că  $t_3 = 0$ ,  $t_{i+1} - t_i = 1$ ,  $i \geq 3$ . Termenul "B" provine de la "bază", deoarece acest tip de curbe pot fi reprezentate ca sume ponderate ale unor funcții polinomiale de bază (funcții blending).

Segmentul de curbă  $Q_i$  este definit de punctele  $P_{i-3}, P_{i-2}, P_{i-1}, P_i$  astfel încât vectorul de geometrie B-spline pentru segmentul  $Q_i$  este  $G_{Bs_i} = (P_{i-3}, P_{i-2}, P_{i-1}, P_i)$ ,  $3 \leq i \leq m$ . Fiecare punct de control influențează patru segmente de curbă. Dacă  $T_i = ((t - t_i)^3, (t - t_i)^2, (t - t_i), 1)$ , atunci  $Q_i(t) = T_i M_{Bs} G_{Bs_i}$ ,  $t_i \leq t < t_{i+1}$ ,  $3 \leq i \leq m$ . Pentru determinarea matricei de bază se exprimă segmentele de curbă funcție de polinoamele blending:

$$Q_i(t - t_i) = b_1(t)P_{i-3} + b_2(t)P_{i-2} + b_3(t)P_{i-1} + b_4(t)P_i, \quad 0 \leq t < 1.$$

Dacă se impune condiția de continuitate de clasă  $C^2$  a segmentelor de dreaptă ( $Q_i$  și  $Q_{i+1}$  să se cupleze în  $t_{i+1}$  prin continuitate de clasă  $C^2$ , pentru oricare puncte de control), și condiția ca ponderile polinomiale să aibă suma 1 (curba se află în închiderea convexă a mulțimii punctelor de control, vezi figura 3.8.c),

$$\begin{cases} Q_i(t_{i+1} - t_i) = Q_{i+1}(t_{i+1} - t_{i+1}), & i = 3, \dots, m \\ Q'_i(t_{i+1} - t_i) = Q'_{i+1}(t_{i+1} - t_{i+1}), & i = 3, \dots, m \\ Q''_i(t_{i+1} - t_i) = Q''_{i+1}(t_{i+1} - t_{i+1}), & i = 3, \dots, m \\ b_1(t) + b_2(t) + b_3(t) + b_4(t) = 1, & \forall t \in [0, 1], \end{cases}$$

se obțin polinoamele blending astfel încât

$$Q_i(t - t_i) = \frac{(1-t)^3}{6}P_{i-3} + \frac{3t^3 - 6t^2 + 4}{6}P_{i-2} + \frac{-3t^3 + 3t^2 + 3t + 1}{6}P_{i-1} + \frac{t^3}{6}P_i,$$

iar matricea de bază B-spline este

$$M_{Bs} = \frac{1}{6} \begin{pmatrix} -1 & 3 & -3 & 1 \\ 3 & -6 & 3 & 0 \\ -3 & 0 & 3 & 0 \\ 1 & 4 & 1 & 0 \end{pmatrix}.$$

Un alt exemplu de curbă spline este cea din figura 3.8 (d), numită curba Catmull-Rom. Considerând patru puncte succesive din set,  $P_0, P_1, P_2, P_3$ , se determină  $x(t), y(t), z(t)$  care interpolează  $P_1$  și  $P_2$  cu derivatele aproximative la capete  $(P_2 - P_0)/2$  și  $(P_3 - P_1)/2$ . Se obține continuitatea  $C^1$  a segmentelor și o altă matrice de bază decât  $M_{Bs}$ . Curba nu posedă proprietatea închiderii convexe.

### 3.9.3 Trasarea curbelor parametrice cubice

Există două metode principale de trasare a curbelor parametrice:

- evaluarea polinoamelor  $x(t), y(t), z(t)$  pentru o diviziune a intervalului  $[0,1]$  parcurs de  $t$ , în variantele:
  - (a) evaluare directă (eventual utilizând schema Horner pentru determinarea valorilor polinoamelor);
  - (b) evaluare iterativă;
- subdivizarea recursivă.

Metoda evaluării directe presupune următoarele etape:

1. se citesc coordonatele punctelor de control;
2. pentru fiecare pereche de puncte de control succesive:
  - se parcurge intervalul  $[0,1]$  cu un pas constant  $\delta = 1/n$ ,  $n > 1$ ;
  - pentru fiecare  $t_i = i\delta$ ,  $i = 1, \dots, n$  se calculează
    - (a) coordonatele punctului de pe curbă  $x(t_i), y(t_i), z(t_i)$ ;
    - (b) coordonatele proiecției acestui punct intermedian;
3. se trasează pe ecran o linie poligonală care trece prin proiecțiile punctelor intermediiare.

Se observă că pentru evaluarea polinoamelor cubice sunt necesare 11 multiplicări și 10 adunări pentru un punct. Utilizând schema Horner pentru evaluarea polinoamelor sunt necesare doar 9 multiplicări și 10 adunări.

Multiplicările pot fi evitate prin evaluarea iterativă. Fie  $f(t) := at^3 + bt^2 + ct + d$ ,  $t_n := n\delta$ ,  $f_n := f(t_n)$ ,  $\Delta f(t) := f(t + \delta) - f(t)$ ,  $\Delta^2 f(t) := \Delta(\Delta f(t))$  (diferențe finite). Se observă că

$$\begin{aligned} \Delta f(t) &= f(t + \delta) - f(t) = 3at^2\delta + t(3a\delta^2 + 2b\delta) + a\delta^3 + b\delta^2 + c\delta, \\ \Delta^2 f(t) &= \Delta f(t + \delta) - \Delta f(t) = 6a\delta^2t + 6a\delta^3 + 2b\delta^2, \\ \Delta^3 f(t) &= \Delta^2 f(t + \delta) - \Delta^2 f(t) = 6a\delta^3 \end{aligned}$$

și

$$f_{n+1} = f_n + \Delta f_n, \quad \Delta f_n = \Delta f_{n-1} + \Delta^2 f_{n-1}, \quad \Delta^2 f_{n-1} = \Delta^2 f_{n-2} + \Delta^3 f_{n-2}.$$

Astfel, pornind de la valorile de start

$$f_0 = d, \quad \Delta f_0 = a\delta^3 + b\delta^2 + c\delta, \quad \Delta^2 f_0 = 6a\delta^3 + 2b\delta^2, \quad \Delta^3 f_0 = 6a\delta^3,$$

se pot calcula recursiv valorile  $f_n$ . În această variantă, algoritmul pentru trasarea unei curbe parametrice cubice presupune efectuarea unor multiplicări doar în faza de inițializare a valorilor recursive. Pasul  $n$  al algoritmului presupune următoarele calcule:

$$\begin{cases} x_{n+1} = x_n + \Delta x_n, & \Delta x_{n+1} = \Delta x_n + \Delta^2 x_n, & \Delta^2 x_{n+1} = \Delta^2 x_n + \Delta^3 x_n; \\ y_{n+1} = y_n + \Delta y_n, & \Delta y_{n+1} = \Delta y_n + \Delta^2 y_n, & \Delta^2 y_{n+1} = \Delta^2 y_n + \Delta^3 y_n; \\ z_{n+1} = z_n + \Delta z_n, & \Delta z_{n+1} = \Delta z_n + \Delta^2 z_n, & \Delta^2 z_{n+1} = \Delta^2 z_n + \Delta^3 z_n; \end{cases}$$

precum și trasarea dreptei ce unește proiecția punctului  $(x_n, y_n, z_n)$  cu proiecția punctului  $(x_{n+1}, y_{n+1}, z_{n+1})$ . Algoritmul presupune 9 adunări per pas și nici o multiplicare. Dezavantajul utilizării acestui algoritm constă în faptul că pentru valori mari ale numărului de pași  $n$  rezultatele pot fi afectate de cumularea erorilor de trunchiere.

Trasarea unei curbe 3D cu pas constant nu conduce întotdeauna la imaginile dorite (vezi trasarea curbelor plane). Există două modalități de eliminare a acestui efect nedorit:

1. creșterea gradului funcțiilor parametrice (se produc o serie de inflexiuni adiționale);
2. creșterea numărului punctelor de control cu divizarea segmentelor de curbă în mai multe segmente.

Se consideră exemplul unui segment de curbă Bézier determinat prin patru puncte de control. Acesta poate fi subdivizat în două segmente având în total șapte puncte de control (cele două segmente noi au un punct comun și se suprapun pe segmentul original). Datează curba  $Q(t)$  definită de punctele  $P_1, P_2, P_3, P_4$ , se caută punctele  $L_1, L_2, L_3, L_4$  care definesc un segment de curbă ce coincide cu  $Q(t)$  pentru  $0 \leq t \leq 1/2$  (analog  $R_1, R_2, R_3, R_4$  pentru  $1/2 \leq t \leq 1$ ). Punctul de pe curba Bézier care corespunde unui parametru  $t$  se poate obține astfel (figura 3.9.a): se determină punctele  $L_2 \in P_1P_2$ ,  $H \in P_2P_3$ ,  $R_3 \in P_3P_4$  care împart segmentele  $P_1P_2$ ,  $P_2P_3$  și  $P_3P_4$  în raportul  $t/(1-t)$ ; analog se determină  $L_3 \in L_2H$  și  $R_2 \in HR_3$  care împart segmentele menționate în același raport și  $L_4 \in L_3R_2$  tot în același raport. Punctul  $L_4$  este punctul căutat. În cazul  $t = 1/2$  noile puncte de control pot fi ușor calculate:  $L_2 = (P_1 + P_2)/2$ ,  $H = (P_2 + P_3)/2$ ,  $L_3 = (L_2 + H)/2$ ,  $R_3 = (P_3 + P_4)/2$ ,  $R_2 = (H + R_3)/2$ ,  $L_4 = R_1 = (L_3 + R_2)/2$ .

Curbele B-spline neuniforme permit de asemenea subdivizarea segmentelor componente.

Algoritmul bazat pe subdivizarea recursivă este indicat, în special, în cazul curbelor Bézier, deoarece subdivizarea este ușor de realizat și testul de oprire a recursivității este simplu: dacă  $P_1$  și  $P_4$  sunt punctele prin care trece segmentul de curbă, iar  $P_2, P_3$  punctele de control pentru determinarea derivatei, iar distanța de la  $P_2$  la  $P_1P_4$  și distanța de la  $P_3$  la  $P_1P_4$  sunt sub un anumit nivel  $\varepsilon$  (figura 3.9b), atunci segmentul de curbă  $P_1P_4$  este suficient de plat

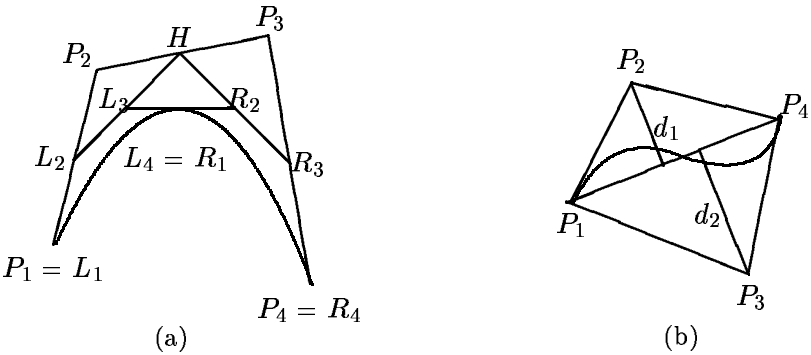


Figura 3.9: Subdivizarea recursivă (a) Subdivizarea unui segment de curbă Bézier (b) Testul de liniaritate a segmentului de curbă Bézier

(din proprietatea de incluziune în închiderea convexă a mulțimii punctelor de control) pentru a fi aproimat cu o dreaptă (altfel se continuă subdivizarea).

## 3.10 Trasarea suprafețelor curbe

### 3.10.1 Descrierea suprafețelor curbe

Suprafețele curbe pot fi descrise:

1. explicit, prin ecuații de tipul  $z = f(x, y)$ ;
2. implicit, printr-o ecuație de tipul  $F(x, y, z) = 0$ ;
3. parametric, prin ecuații de tipul  $x = x(s, t)$ ,  $y = y(s, t)$ ,  $z = z(s, t)$ .

În grafica pe calculator sunt mult utilizate suprafețele determinate polinomial prin funcția de două variabile  $x$  și  $y$ :

$$z = \sum_{j=0}^n \sum_{i=0}^m a_{ij} x^i y^j.$$

Suprafața se notează  $P_{m,n}$ . Matricea  $A$  poartă numele de amprentă a suprafeței. Se disting următoarele cazuri speciale:

- $P_{0,0}$ ,  $P_{0,1}$ ,  $P_{1,0}$  sunt plane;
- $P_{1,1}$  este paraboloidul hiperbolic;
- $P_{0,n}$ ,  $P_{m,0}$  pentru  $m, n \geq 2$  sunt suprafețe cilindrice cu generatoarele paralele cu axa  $Ox$  respectiv  $Oy$ , iar curbele directoare ale suprafețelor cilindrice sunt conținute în planele  $yOz$ , respectiv  $xOz$ ;
- $P_{1,n}$ ,  $P_{m,1}$  pentru  $m, n \geq 1$  sunt suprafețele riglate, ale căror generatoare sunt conținute în planele  $y = const$ , respectiv  $x = const$ .

- $P_{2,2}$  sunt suprafetele cuadrice (hiperboloidul, paraboloidul, elipsoidul, cilindrul, conul);
- $P_{3,3}$  sunt suprafetele bicubice.

Un exemplu concluzie de suprafete determinate prin polinoame sunt suprafetele de interpolare, definite prin puncte și prin curbe marginale. Suprafața de interpolare definită de patru puncte de colț este un patrulater strâmb, numit cuadratică riglată.

Suprafetele cuadrice sunt definite implicit printr-o ecuație  $F(x, y, z) = 0$  cu  $F$  polinom cuadratic în  $x$ ,  $y$  și  $z$ :

$$F(x, y, z) = a_{11}x^2 + a_{22}y^2 + a_{33}z^2 + \\ + 2a_{21}xy + 2a_{23}yz + 2a_{13}xz + 2a_{14}x + 2a_{24}y + 2a_{34}z + a_{44}.$$

Această reprezentare este familiară pentru sferă, elipsoid sau cilindru. De exemplu, dacă  $a_{11} = a_{22} = a_{33} = -a_{44} = 1$  și ceilalți coeficienți sunt nuli, se definește sferă unitate centrată în origine. Reprezentarea matricială este

$$P^T AP = 0$$

unde  $A$  este matricea simetrică a coeficienților, iar  $P = (x, y, z, 1)^T$ .

Suprafetele parametrice polinomiale bivariate definesc coordonatele unui punct de pe o suprafață utilizând trei polinoame bivariate, câte unul pentru fiecare dimensiune.

O problemă importantă este cuplarea suprafetelor. Aceasta poate fi:

- de tip alipire, când se cere identitatea anumitor curbe marginale;
- cuplare netedă, ce impune suplimentar identitatea tangentelor (derivate parțiale de ordinul întâi) și a curburilor (derivate mixte) de-a lungul curbelor marginale.

### 3.10.2 Suprafete parametrice bicubice

Folosind două familii de curbe cubice 3D se poate defini o suprafață curbă în spațiu. O familie de curbe cubice 3D se poate obține introducând, în ecuațiile parametrice ale unei curbe 3D, un parametru nou care variază de asemenea în intervalul  $[0, 1]$ . Fie curba  $Q(s) = SMG$ . Dacă  $G$  variază funcție de un parametru  $t$  se obține o familie de curbe cubice:

$$Q(s, t) = SMG(t) = SM \begin{pmatrix} G_1(t) \\ G_2(t) \\ G_3(t) \\ G_4(t) \end{pmatrix}.$$

Dacă  $G_i(t)$  sunt polinoame cubice de același tip ca și cele în  $s$ , adică  $G_i(t) = TMG_i$ , unde  $G_i$  este vectorul de geometrie caracteristic,  $G_i =$

$(g_{i1}, g_{i2}, g_{i3}, g_{i4})^T$ , atunci

$$Q(s, t) = SM \begin{pmatrix} g_{11} & g_{12} & g_{13} & g_{14} \\ g_{21} & g_{22} & g_{23} & g_{24} \\ g_{31} & g_{32} & g_{33} & g_{34} \\ g_{41} & g_{42} & g_{43} & g_{44} \end{pmatrix} M^T T^T = SMGM^T T^T, \quad 0 \leq s, t \leq 1$$

unde  $M$  este matricea de bază, iar  $G$  este matricea geometrică. Notând  $G_x$ ,  $G_y$ ,  $G_z$  matricile  $4 \times 4$  ce conțin coordonatele carteziene ale elementelor de geometrie  $g_{ij}$ , se obțin expresiile parametrice

$$\begin{cases} x(s, t) = SMG_x M^T T^T, \\ y(s, t) = SMG_y M^T T^T, \\ z(s, t) = SMG_z M^T T^T. \end{cases}$$

### Suprafațe Hermite

O suprafață bicubică Hermite se definește pe baza a patru puncte în spațiu corespunzătoare valorilor extreme 0 și 1 pentru  $s$  și  $t$ , precum și prin câte trei tangente la suprafață în fiecare dintre aceste puncte. Fiecare vector tangent are componente determinate de derivatele de ordin 1 și 2 ale funcțiilor  $x(t, s)$ ,  $y(s, t)$ ,  $z(t, s)$ .

Matricea de geometrie poate fi construită pornind de la familia de curbe Hermite:

$$x(s, t) = SM_H G_{Hx}(t) = SM_H \begin{pmatrix} P_1(t) \\ P_4(t) \\ R_1(t) \\ R_4(t) \end{pmatrix}_x$$

În figura 3.10 (a) sunt trasate cubicele în  $s$  definite la  $t = 0, 0.2, 0.4, 0.6, 0.8, 1$ .

Fiecare element al vectorului de geometrie poate fi reprezentat drept o curbă Hermite:

$$(P_1(t), P_4(t), R_1(t), R_4(t)) = TM_H \begin{pmatrix} g_{11} & g_{21} & g_{31} & g_{41} \\ g_{12} & g_{22} & g_{32} & g_{42} \\ g_{13} & g_{23} & g_{33} & g_{43} \\ g_{14} & g_{24} & g_{34} & g_{44} \end{pmatrix},$$

unde  $g_{ij}$  rezultă din forma Hermite pentru curbe. De exemplu,  $g_{33x} = (\partial^2 x)/(\partial s \partial t)(0, 0)$ , deoarece este vectorul tangent la curba  $R_{1x}(t)$  în  $t = 0$ , care este la rândul său vectorul tangent la curba  $x(s, 0)$  în  $s = 0$ . Astfel

$$G_{Hx} = \begin{pmatrix} x(0, 0) & x(0, 1) & \frac{\partial}{\partial t} x(0, 0) & \frac{\partial}{\partial t} x(0, 1) \\ x(1, 0) & x(1, 1) & \frac{\partial}{\partial t} x(1, 0) & \frac{\partial}{\partial t} x(1, 1) \\ \frac{\partial}{\partial s} x(0, 0) & \frac{\partial}{\partial s} x(0, 1) & \frac{\partial^2}{\partial s \partial t} x(0, 0) & \frac{\partial^2}{\partial s \partial t} x(0, 1) \\ \frac{\partial}{\partial s} x(1, 0) & \frac{\partial}{\partial s} x(1, 1) & \frac{\partial^2}{\partial s \partial t} x(1, 0) & \frac{\partial^2}{\partial s \partial t} x(1, 1) \end{pmatrix}$$

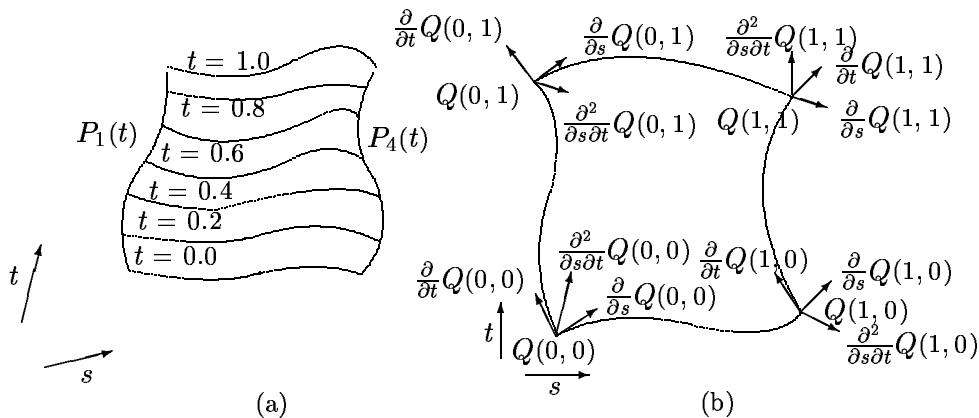


Figura 3.10: Suprafețe Hermite (a) Interpolarea cubică între  $P_1(t)$  și  $P_4(t)$  (b) Tangentele la suprafață

Elementele matricei geometrice sunt reprezentate în figura 3.10 (b).

Condițiile de joncțiune a două suprafețe Hermite se pun relativ simplu: capetele curbei de margine trebuie să coincidă, iar tangentele la suprafețe în aceste capete trebuie să fie proporționale. Astfel matricele de geometrie ale suprafețelor trebuie să concorde: linia a doua a primei matrice să coincidă cu prima linia a celei de a doua, iar linia a patra a primei matrice să fie proporțională, cu un factor unitar pozitiv, față de linia a treia a celei de a doua matrice.

#### Suprafețe Bézier

Pentru a defini o suprafață Bézier se folosesc cele 4 puncte de control corespunzătoare valorilor  $(0,0)$ ,  $(0,1)$ ,  $(1,0)$ ,  $(1,1)$  ale parametrilor  $s$  și  $t$  și în plus alte 12 puncte de control prin intermediul cărora se precizează tangentele la suprafață. Astfel geometria unei suprafețe Bézier este caracterizată prin coordonatele a 16 puncte de control (figura 3.11). Proprietățile cele mai importante ale acestei suprafețe sunt includerea în închiderea convexă a punctelor de control și posibilitatea simplă de subdivizare (se divizează suprafața de-a lungul unui parametru, apoi cele două noi suprafețe de-a lungul celuilalt parametru).

#### 3.10.3 Trasarea suprafețelor parametrice bicubice

Pentru generarea imaginii unei suprafețe bicubice parametrice prin evaluare directă, se procedează în modul următor:

1. se parcurg valorile  $s$  între 0 și 1 cu anumit pas  $\delta_s = 1/m$ ;
2. pentru fiecare valoare  $s_i = i\delta_s$ ,  $i = 1, \dots, m$ 
  - se parcurg valorile lui  $t$  între 0 și 1 cu anumit pas  $\delta_t = 1/n$ ;
  - pentru fiecare valoare  $t_j = j\delta_t$ ,  $j = 1, \dots, n$  se calculează

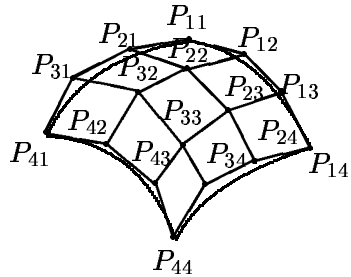


Figura 3.11: Suprafață Bézier

- (a) coordonatele punctului  $x(s_i, t_j)$ ,  $y(s_i, t_j)$ ,  $z(s_i, t_j)$ ;
  - (b) proiecția punctului calculat anterior;
3. se trasează curbele din cele două familii (pentru fiecare  $s$ , respectiv pentru fiecare  $t$ ) prin punctele calculate, ca linii poligonale.

Acuratețea redării suprafeței depinde de alegerea pașilor incrementalni.

Valorile funcțiilor polinomiale se pot calcula iterativ, folosind diferențe finite și urmărind algoritmul propus la trasarea curbelor spațiale.

Pentru algoritmul subdivizării recursive testul de suprafață plată pentru o suprafață Bézier este realizat prin determinarea planurilor, care trec prin câte trei puncte de control ce aparțin suprafeței, și determinarea distanțelor de la celelalte 13 puncte de control la aceste plane: distanța maximă trebuie să fie sub anumit nivel  $\epsilon$  pentru ca subdivizarea în patru noi suprafețe să nu fie necesară. O suprafață aproape plată, specificată, de exemplu, prin colțurile A, B, C, D, poate fi trasată fie prin muchiile quadrilaterului ABCD, fie prin cele patru triunghiuri determinate de muchii și punctul interior P, definit ca medie a punctelor de colț.

### 3.11 Atributele primitive

Imaginea unui primitive poate fi controlată prin atributele sale. Fiecarei primitive îi sunt specifice anumite atrbute.

Atributul punctului este culoarea.

Atributele unei linii (drepte sau poligonale) sunt:

- (a) stilul liniei (continuă sau solidă, întreruptă, punctată sau corespunzătoare unui şablon)
- (b) grosimea liniei;
- (c) culoarea;
- (d) stilul penișei (pentru liniile groase, umplerea cu texturi a zonelor dreptunghiuare asociate)

Un şablon (model, pattern) este desemnat printr-o matrice. Inhibarea aprinderii sau aprinderea, conform unei anumite culori, a unui pixel  $(x, y)$  de pe o primitivă se realizează în urma testării valorii inscrise în matricea şablon

$m \times n$  la poziția  $(x \bmod m, y \bmod n)$ .

Aplicarea unui şablon nu este recomandată în cazul liniile intrerupte, deoarece lungimea segmentelor de linii din linia punctată sunt mai mici pentru o linie înclinată decât pentru o linie verticală sau orizontală. Pentru rezolvarea acestei probleme, liniile intrerupte sunt privite ca secvențe de dreptunghiuri ale căror vârfuri sunt calculate exact, ca funcție de stilul liniei selectate.

Grosimea unei primitive este distanța dintre marginile primitivei perpendiculare pe tangentă sa. Îngroșarea unei linii se poate efectua prin următoarele procedee:

1. duplicarea pixelilor pe coloane pentru pante subunitare și pe linii, în caz contrar. Această tehnică are mai multe dezavantaje:
  - (a) liniile se termină întotdeauna vertical sau orizontal;
  - (b) grosimea liniilor depinde de înclinare: dacă pentru o linie orizontală grosimea este  $t$ , la același număr de pixeli, o linie cu panta unu are grosimea  $t/\sqrt{2}$ , obținându-se un efect negativ asupra strălucirii;
2. alegerea unei penițe dreptunghiuale al cărui centru străbate primitiva trasată la un pixel. Grosimea este mai mare la segmentele cu panta 1;
3. umplerea ariei dintre margini: se trasează primitiva la distanțele  $t/2$  de ambele părți ale primitivei ideale și se utilizează o tehnică de umplere.

Datorită rotunjirilor este posibil ca linia ideală să nu fie centrată.

Când un sistem permite trasarea în culori, parametrii care furnizează culoarea actuală corespund cu cei din lista de valori-atribute ale sistemului. Indexul de culoare este stocat în frame buffer în locația corespunzătoare pixelului. Într-un sistem cu rastru în mai multe culori, numărul de biți necesari pentru reprezentarea unui pixel în frame buffer depinde de numărul de culori disponibile și de metoda de stocare a valorilor-culoare.

Atributele poligoanelor, cercurilor și elipselor sunt cele ale liniei de frontieră plus stilul de umplere (textura interiorului).

Atributele textului sunt multiple:

- (a) stil sau font (Roman, Helvica etc);
- (b) mod de tipărire (drept, îngroșat, înclinat);
- (c) dimensiune (măsurată în puncte tipografice - un punct aproximativ 1/72 inch);
- (d) lățime;
- (e) spațiu între caractere;
- (f) spațiu între linii consecutive;
- (g) direcția de scriere (orizontal, vertical sau sub un anumit unghi).

## 3.12 Decuparea

În cazul construirii unei imagini ce depășește limitele zonei de lucru de pe ecran sau al spațiului vizibil, vor apărea o serie de primitive care vor intersecta frontieră (ecranului sau spațiului vizibil). Este necesară eliminarea din aceste primitive a porțiunilor care ies din zona observabilă. Această operație este cunoscută sub numele de decupare (clipping, retezare, tăiere).

Procesul de decupare 2D decide care parte, dacă există, a unei primitive se află în interiorul unei ferestre sau a unei zone de lucru.

Sarcina procesului clasic este eliminarea acelor părți ale primitiveelor care sunt în afara ferestrei din WCS (sistemul coordonatelor lumii reale) și nu din NDCS (sistemul coordonatelor terminalului normalizate). Se evită, în acest caz, costul transformării de normalizare pentru orice primitivă care nu apare pe ecran. Primitivele care se află într-o fereastră sunt transformate și transferate într-o zonă de lucru, iar celor care sunt parțial sau complet în afara ferestrei li se aplică un algoritm de decupare.

Algoritmii de decupare sunt aplicați și în cazul selectării unor părți a primitiveelor dintr-o zonă de lucru în vederea copierii, mutării sau ștergerii.

Dificultatea procesului depinde de tipul primitivei căreia îi se aplică (deoarece o curbă generală satisfacă o ecuație neliniară, calcularea punctelor de intersecție cu marginea ferestrei necesită utilizarea unor metode numerice).

Decuparea 3D este efectuată asupra corpurilor 3D pentru încadrarea în volumul de vedere. Se elimină prin acest procedeu proiectarea unor primitive care nu se încadrează în fereastră (și ulterior în zona de lucru).

Se consideră în cele ce urmează problema decupării bidimensionale a unei primitive plane față de o fereastră convexă.

### 3.12.1 Decuparea unui punct

Se presupune că fereastra este dreptunghiulară și are limitele: superioară  $y = y_{max}$ , inferioară  $y = y_{min}$ , laterală stângă  $x = x_{min}$ , laterală dreaptă  $x = x_{max}$ . Dacă fereastra corespunde 1:1 cu spațiul vizibil al ecranului ( $m \times n$  coloane-linii), atunci  $y_{min} = 0$ ,  $y_{max} = n - 1$ ,  $x_{min} = 0$ ,  $x_{max} = m - 1$ .

Pentru ca un punct  $P(x, y)$  să fie vizibil în fereastră trebuie satisfăcute relațiile

$$x_{min} \leq x \leq x_{max}, \quad y_{min} \leq y \leq y_{max}.$$

### 3.12.2 Decuparea segmentelor de linii

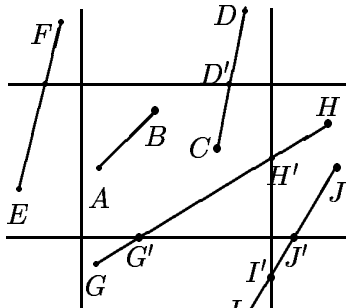
În cazul segmentelor, problema se complică. O soluție pentru cazul când desenăm pe întreg ecranul și spațiul adresabil coincide cu cel vizibil o reprezintă folosirea instrucțiunii eroare imediat după apelarea instrucțiunii de trasare a segmentului în afara spațiului vizibil. Această soluție nu rezolvă problema în cazul desenării într-o fereastră mai mică decât ecranul.

O altă variantă este utilizarea unei subrutine de trasare a segmentelor de dreaptă care testează înainte de aprinderea unui pixel, vizibilitatea acestuia față de fereastră.

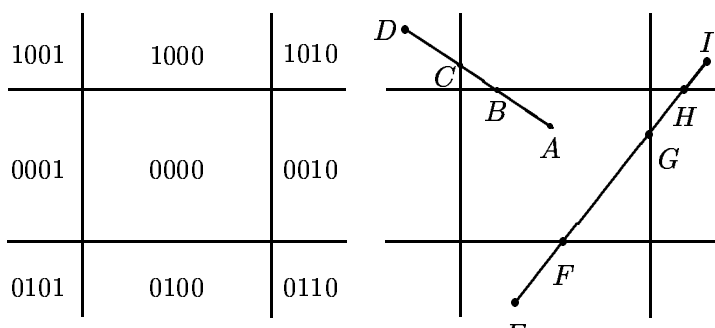
Un segment de dreaptă se află față de o fereastră într-o din următoarele patru situații (figura 3.12.a):

1. complet în interior (segmentul  $AB$ ),
2. complet în exterior (segmentele  $EF$  și  $IJ$ ),
3. un capăt în interior, celălalt în exterior (segmentul  $CD$ ),

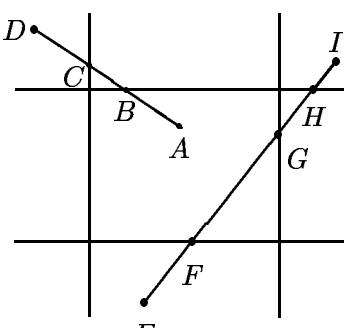
4. ambele capete în exterior și o parte a segmentului, în interior (segmentul  $GH$ ).



(a)



(b)



(c)

Figura 3.12: (a) Diferite segmente de dreptă poziționate distinct față de fereastră (b) Cele nouă regiuni din algoritmul Cohen-Sutherland (c) Exemplu pentru algoritmul Cohen-Sutherland

Un algoritm simplu este următorul:

- dacă capetele segmentului sunt în interior, trasează segmentul;
- dacă numai un capăt este în interior, determină punctul de intersecție cu marginea ferestrei și trasează subsegmentul de interior;
- altfel, calculează intersecțiile cu liniile ce definesc marginea ferestrei și dacă punctele de intersecție sunt pe segmentele de dreaptă ale marginii ferestrei, trasează subsegmentul dintre acestea.

Teste de acceptare/respingere

Se consideră cazul unei ferestre dreptunghiulare. Algoritmul de mai sus poate fi perfecționat prin efectuarea unor teste simple asupra capetelor segmentului. Segmentul care are ambele capete vizibile, este vizibil în întregime (fereastra

este o mulțime convexă). Testul care verifică dacă ambele capete ale segmentului sunt în fereastră, poartă numele de test de acceptare. Orice segment care are ambele capete de aceeași parte a ferestrei (sus, jos, stânga, dreapta), este complet invizibil. Testul care verifică această condiție se numește test de respingere. Prin adăugarea testelor de acceptare și respingere la algoritmul de trasare a unui segment de dreaptă se obține un algoritm a cărui eficiență se manifestă cu precădere în 2 situații:

- (a) dacă majoritatea segmentelor de reprezentat se află în interiorul ferestrei;
- (b) dacă majoritatea segmentelor de reprezentat se află în afara ferestrei.

#### Algoritmul Cohen-Sutherland

Dacă o linie nu este nici respinsă, nici acceptată, atunci se calculează într-o ordine prestabilită intersecțiile cu dreptele:  $y = y_{max}$ ,  $x = x_{max}$ ,  $y = y_{min}$ ,  $x = x_{min}$  îndepărând porțiunile de segment care se situează în afara ferestrei (drep-tunghiulare). Rezultă astfel un nou segment, iar procedura se buclează asupra ei însăși până când un segment rezultat este acceptat sau respins.

Se divide WCS în nouă regiuni determinate de marginile ferestrei (figura 3.12.b). În prezentarea clasică, algoritmul Cohen-Sutherland asociază fiecărui capăt al unui segment un cod de 4 cifre:

- (a) prima cifră este 1 dacă punctul este deasupra ferestrei, 0 altfel;
- (b) a doua cifră este 1 dacă punctul este sub fereastră, 0 altfel;
- (c) a treia cifră este 1 dacă punctul este în dreapta ferestrei, 0 altfel;
- (d) a patra cifră este 1 dacă punctul este în stânga ferestrei, 0 altfel.

Puterea algoritmului constă în faptul că odată determinate codurile asociate capetelor segmentului, testelete de acceptare sau respingere se realizează prin operații logice rapide (de exemplu, în limbajul C: testul de acceptare are succes dacă  $cod_1|cod_2$  este zero, iar testul de respingere, dacă  $cod_1 \& cod_2$  nu este zero). Astfel, segmentul  $AB$  din figura 3.12 (a) este acceptat, iar  $EF$  respins. Rămân de analizat cazurile în care capetele segmentului sunt în regiuni diferite.

Se consideră că primul capăt al segmentului  $(x_1, y_1)$  este în afara ferestrei (eventual printr-o inversare). Atunci codul asociat este nenul. Se determină primul bit nenul, aflând astfel de care parte a ferestrei se află primul capăt. Presupunem că primul bit este nenul, deci  $y_1 > y_{max}$ . Se elimină porțiunea din segment ce se află deasupra liniei  $y = y_{max}$ . Fie  $(x_1', y_1')$  punctul de intersecție cu  $y = y_{max}$ . Se determină codul punctului nou, necesar următorului pas. Analog se procedează pentru partea de jos, stânga și dreapta ferestrei.

Se consideră cele două segmente din figura 3.12 (c). Punctul  $A$  are codul 0000, iar punctul  $D$ , 1001. Segmentul nu poate fi acceptat sau respins. Codul lui  $D$  indică faptul că segmentul trece peste latura de sus și peste latura stângă a ferestrei. Urmărind ordinea biților din codul lui  $D$  se determină, prima dată, intersecția segmentului cu latura de sus. Codul punctului  $B$  de intersecție este 0000, astfel încât segmentul  $AB$  este acceptat. Segmentul  $EI$  necesită iterări multiple. Cum  $E$  are codul 0100<1010, codul lui  $I$ , se consideră primul punct exterior. Testând codul lui  $E$ , se determină intersecția  $F$  a lui  $EI$  cu dreapta suport a laturii de jos. Deoarece codul lui  $F$  este 0000, iar al lui  $I$  este 1010,

testul de acceptare/respingere nu are succes. Punctul exterior este  $I$ . Testând codul lui  $I$  de la stânga la dreapta se determină laturile ferestrei pe care  $FI$  le poate intersecta. Prima este latura de sus. Se determină  $H$ , punctul de intersecție. Codul lui  $H$  este 0010. Se face o diviziune a segmentului obținând  $FG$  care este acceptat.

Algoritmul, în această variantă comună, nu este eficient: deoarece testele și decuparea se efectuează într-o anumită ordine, se fac adesea operații suplimentare (de exemplu, determinarea punctului  $H$  de pe  $EI$ ). Algoritmul Nicholl-Lee-Nicholl ocolește calculul intersecțiilor externe ferestrei.

#### Algoritmul bisecției

Algoritmul elimină calculele necesare pentru determinarea intersecțiilor. La început se folosesc teste de respingere și acceptare trivială. Dacă un segment nu verifică nici unul din aceste teste, el este împărțit în două jumătăți egale. Cele două jumătăți sunt analizate din nou și procesul continuă până la acceptare sau respingere. De obicei, la fiecare iterație se poate accepta sau respinge jumătate din segmentul analizat. Acest algoritm ajunge la un rezultat după maximum  $\log_2 N$  pași, unde  $N$  este dimensiunea maximă a segmentului (pe orizontală sau verticală), măsurată în pixeli.

#### Algoritmul Cyrus-Beck de decupare a liniilor parametrice

Metoda este utilizată pentru a tăia o linie bidimensională printr-un dreptunghi sau un poligon convex, sau o linie tridimensională printr-un poliedru. Algoritmul Cohen-Sutherland determină intersecțiile segmentului de linie cu liniile suport ale laturilor poligonului-fereastră substituind valorile coordonatelor astfel obținute în ecuația segmentului de dreaptă. Algoritmul liniei parametrice determină valoarea parametrului  $t$  din reprezentarea parametrică a segmentului de linie pentru punctele în care segmentul intersecează liniile infinite pe care se află laturile ferestrei. Dacă poligonul este un dreptunghi, se calculează patru valori ale parametrului  $t$ , care apoi sunt comparate pentru a determina acele care reprezintă puncte interioare segmentului. Se reduce timpul făță de algoritmul Cohen-Sutherland deoarece se evită saltul repetitiv necesar pentru a tăia segmentul prin laturile multiple ale dreptunghiului.

Se definește un sens de parcurgere a laturilor poligonului. Semiplanul interior asociat unei laturi este semiplanul determinat de aceasta și care conține fereastra. Normala la o latură se consideră, în acest caz, orientată spre exteriorul ferestrei.

În figura 3.13 (a) s-au notat cu  $P_0$ ,  $P_1$  capetele segmentului și  $E_i$  o latură a ferestrei. Linia suport a segmentului este reprezentată parametric

$$P(t) = P_0 + (P_1 - P_0)t.$$

Se presupune că  $x_0 < x_1$ . Dacă  $P_{E_i}$  este un punct de pe latura  $E_i$ , iar  $N_i$  este vectorul normal la latură, atunci, valoarea  $t$ , corespunzătoare punctului de

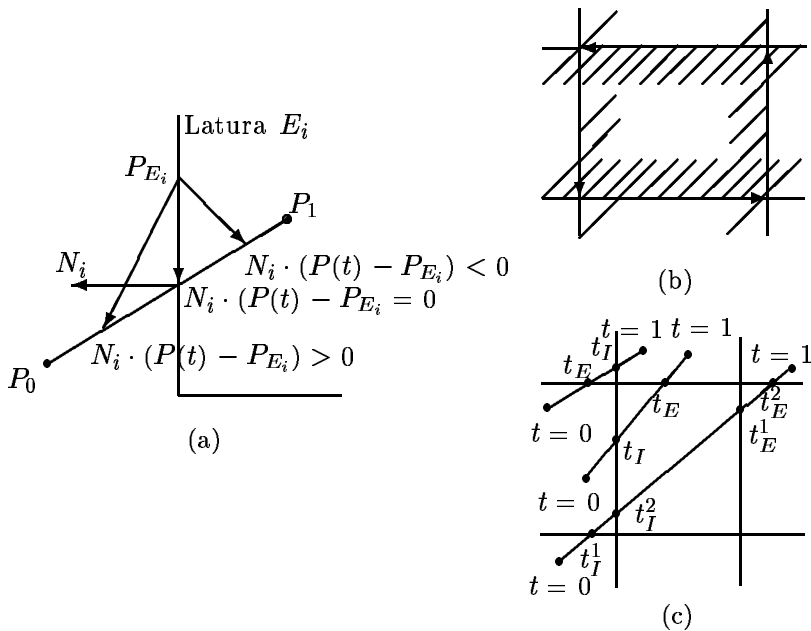


Figura 3.13: Algoritmul Cyrus-Beck (a) O latură și segmentul ce se decupează  
(b) Semiplanele interioare definite de laturi (c) Exemplu

intersectie notata  $t_i$ , satisface

$$N_i \cdot [P(t_i) - P_{E_i}] = 0$$

unde reprezintă produsul scalar. Atunci

$$N_i \cdot [P_0 + (P_1 - P_0)t_i - P_{E_i}] = N_i \cdot (P_0 - P_{E_i}) + N_i \cdot (P_1 - P_0)t_i = 0,$$

deci

$$t_i = \frac{N_i \cdot (P_0 - P_{E_i})}{-N_i \cdot (P_1 - P_0)}.$$

Pentru fiecare segment se determină cele patru valori  $t_i$  corespunzătoare liniilor suport ale laturilor ferestrei,  $E_i$ . Pasul următor constă în determinarea valorilor ce corespund intersecțiilor cu laturile. Se adaugă la listă  $t = 0$  și  $t = 1$ . Valorile  $t \notin [0, 1]$  sunt eliminate deoarece nu conduc la puncte din interiorul segmentului  $P_0P_1$ . Valorile  $t$  rămase sunt sortate (maxim șase puncte). Se determină punctele,  $t_I$ , în care segmentul "intră" în interiorul unui semiplan, prin  $N_i \cdot (P_1 - P_0) < 0$  (unghi mai mare decât  $\pi/2$ ) și punctele  $t_E$  unde segmentuliese în exterior, prin  $N_i \cdot (P_1 - P_0) > 0$  (unghi mai mic decât  $\pi/2$ ). Se consideră  $t = 0$  cel mai mic  $t_I$ , iar  $t = 1$  cel mai mare  $t_E$ . Segmentul interior ferestrei este definit de cel mai mare  $t_I$  și cel mai mic  $t_E$ . În cazul primei linii din figura 3.13 (c), cel mai mic  $t_I$  este mai mare decât cel mai mare  $t_E$ , astfel încât nici o porțiune din segment nu se află în interiorul dreptunghiului.

### Algoritmul Nicholl-Lee-Nicholl

Se dă un segment de dreaptă  $PQ$  și un dreptunghi de decupare, ca în figura 3.14. Determinând poziția relativă a lui  $Q$  față de liniile ce trec prin  $P$  și colțurile ferestrei, se află care laturi ale ferestrei intersectează  $PQ$ .

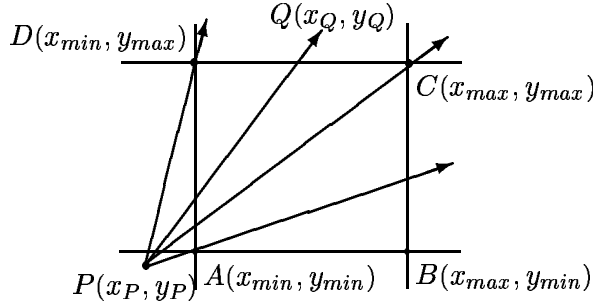


Figura 3.14: Algoritmul Nicholl-Lee-Nicholl

Se studiază poziția lui  $P$ , determinând sectorul (din cele nouă posibile) în care se află. Funcție de această poziție se efectuează diferite teste asupra lui  $Q$ . Presupunem că  $P$  se află în regiunea de stânga-jos (figura 3.14). Dacă  $Q$  se află sub  $y_{min}$  sau la stânga lui  $x_{min}$ , atunci  $PQ$  nu poate intersecta fereastra. Același lucru se poate afirma și dacă  $Q$  se află la stânga liniei de la  $P$  la colțul de stânga sus sau dacă  $Q$  se află la dreapta liniei de la  $P$  la colțul din dreapta jos. Se verifică de asemenea poziția lui  $Q$  relativ la vectorul de la  $P$  la colțul din stânga-jos. Fie cazul în care  $Q$  este deasupra. Dacă  $Q$  se află sub  $y_{max}$ ,  $Q$  este în interiorul dreptunghiului sau la stânga:  $PQ$  intersectează latura  $x = x_{min}$  sau/și latura  $x = x_{max}$ . Dacă  $Q$  se află peste  $y_{max}$ ,  $Q$  este în regiunea de sus sau stânga-sus. Dacă  $Q$  este deasupra liniei dintre  $P$  și colțul dreapta-sus,  $PQ$  intersectează  $x = x_{min}$  și  $y = y_{max}$ , altfel  $x = x_{min}$  și  $x = x_{max}$ .

De exemplu, pentru a testa dacă  $Q$  este în stânga segmentului de la  $P$  la colțul de dreapta-sus,  $(x_{max}, y_{max})$ , se verifică dacă

$$(y_Q - y_P)(x_{max} - x_P) > (y_{max} - y_P)(x_Q - x_P).$$

Dacă rezultatul este pozitiv, se calculează intersecția cu latura de sus a ferestrei. În caz contrar, se determină intersecția cu latura din dreapta: ordonata  $y$  a intersecției este

$$y_P + (y_Q - y_P) \frac{x_{max} - x_P}{x_Q - x_P}$$

Calcule similare se efectuează pentru celelalte colțuri. Valorile  $y_Q - y_P$ ,  $x_Q - x_P$  se repetă și pot fi calculate o singură dată.

Algoritmul presupune mai puține împărțiri și doar o treime din numărul de comparații necesare algoritmului Cohen-Sutherland.

### 3.12.3 Decuparea poligoanelor

Rezultatul decupării față de o fereastră poligonală convexă este: niciunul, unul (cazul poligon decupat convex) sau mai multe poligoane (cazul poligon decupat concav).

Teste de acceptare/respingere

Considerăm o linie poligonală cu un număr mare de segmente. Abordarea clasică a clippingului presupune aplicarea algoritmului la fiecare segment de dreaptă în parte. Efortul de calcul este mare, mai ales dacă linia poligonală se află în exteriorul ferestrei. Metoda ariei mărginite (bounding boxes) determină în prealabil cel mai mic dreptunghi care încadrează linia poligonală – se determină colțurile acestuia ca valori minime și maxime ale vârfurilor liniei poligonale. Dacă dreptunghiul este în afara ferestrei, linia poligonală nu este trasată. Dacă este complet în interior, linia poligonală este trasată în întregime. Dacă dreptunghiul și fereastra au doar o porțiune comună se trece la decupare pe fiecare segment de dreaptă în parte.

Algoritmul Sutherland-Hodgman

Algoritmul utilizează o strategie divide-et-impera (divide-and-conquer) pentru a decupa un poligon convex sau concav relativ la un poligon convex care definește fereastra. Intrarea în algoritm este o listă a vârfurilor, iar ieșirea are o structură similară. Algoritmul comportă un număr de etape egal cu numărul laturilor poligonului-fereastră (patru în cazul unui dreptunghi). Într-o etapă, poligonului curent i se aplică tehnica de tăiere relativă la una din laturile poligonului-fereastră, rezultând o listă modificată de vârfuri (figura 3.15.a). La fiecare etapă se parcurg un număr de pași egali cu numărul laturilor poligonului care se taie. În fiecare pas se adaugă la lista de vârfuri 0, 1 sau 2 vârfuri noi ce aparțin laturii curente a poligonului-fereastră.

Se consideră latura poligonului de decupat ce pornește de la vârful  $S$  la vârful  $P$  (figura 3.15.b). În primul caz, când latura poligonului este complet în interiorul ferestrei, se adaugă  $P$  la lista de ieșire. În al doilea caz, punctul de intersecție  $I$  este introdus ca nou vârf. În cazul al treilea, ambele vârfuri sunt în afara ferestrei, astfel încât nu se produc modificări în lista de ieșire. În cazul al patrulea, atât punctul de intersecție  $I$ , cât și  $P$  sunt adăugate la lista de ieșire.

Algoritmul Liang-Barsky

Algoritmul presupune decuparea față de o fereastră dreptunghiulară. Se consideră poligonul care va fi tăiat reprezentat prin secvența vârfurilor  $P_1, P_2, \dots, P_n$ , parcuse într-un anumit sens (trigonometric sau conform fusului orar). Fiecare latură este considerată ca un vector (pornind, de exemplu, de

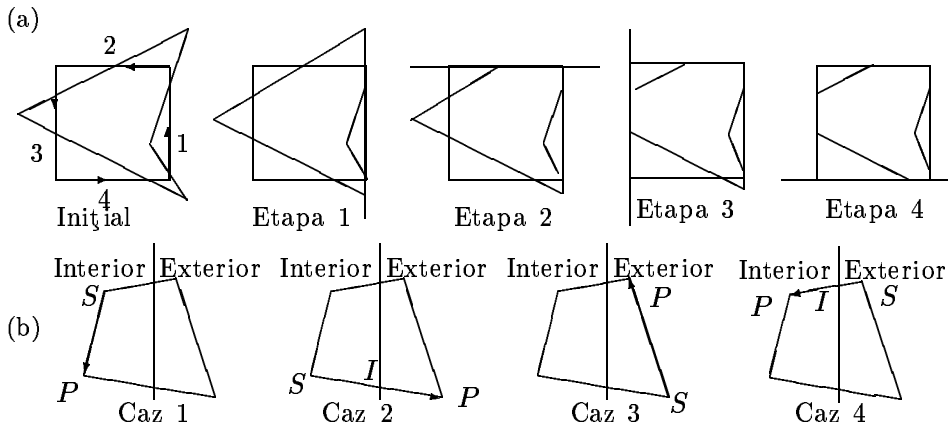


Figura 3.15: Algoritmul Sutherland-Hodgman (a) Etapele algoritmului (b) Modificarea listei vârfurilor

la un  $P_i$  la  $P_{i+1}$ ). Planul este divizat în nouă regiuni determinate de laturile ferestrei. Fiecare latură a ferestrei împarte planul în două semiplane. Semiplanul care conține fereastra este semiplan de interior. Cele nouă regiuni se identifică funcție de numărul de semiplane interioare care sunt incluse în interiorul lor (figura 3.16.a). Regiunile notate "interior 2" se numesc regiuni de colț, iar cele notate "interior 3", regiuni de latură.

Dacă ultima latură ce intersectează fereastra generează un vîrf la marginea de sus a ferestrei și următoarea latură ce intersectează fereastra va crea un vîrf la dreapta ferestrei, poligonul de ieșire va trebui să conțină colțul din dreapta sus a ferestrei (figura 3.16.b). În general, o latură care intră într-o regiune de colț adaugă un colț de fereastră ca vîrf de ieșire. Un asemenea vîrf este numit vîrf turnant.

Se determină valorile parametrului  $t$  ale intersecțiilor liniei ce conține  $P_iP_{i+1}$  cu laturile ferestrei. Două intersecții sunt potențial de intrare,  $t_{in_1}$ ,  $t_{in_2}$ , două de ieșire  $t_{out_1}$ ,  $t_{out_2}$ . Valoarea  $t_{in_1}$  este cea mai mică, iar  $t_{out_2}$  este cea mai mare deoarece orice linie neorizontală și neverticală pornește dintr-o regiune de colț și sfârșește într-o altă regiune de colț. Celelalte valori se află între ele și pot fi în orice ordine. Dacă  $t_{in_2} < t_{out_1}$ , linia intersectează fereastra, altfel linia trece printr-o regiune de colț (figura 3.16.c).

Relațiile dintre valorile  $t = 0$ ,  $t = 1$  și  $t_{in_1}$ ,  $t_{in_2}$ ,  $t_{out_1}$ ,  $t_{out_2}$  caracterizează contribuțiile laturii la poligonul de ieșire. Dacă  $0 \leq t_{in_2} < t_{out_1} \leq 1$ , segmentul de dreapta determinat de valorile  $t_{in_2}$  și  $t_{out_1}$  este latură a poligonului decupat. În caz contrar, linia nu intersectează fereastra, ci pornește dintr-o regiune de colț, trece prin alta și se termină în a treia. Intrarea segmentului în regiunea de colț intermediară (ce necesită adăugarea unui colț al ferestrei în lista vârfurilor poligonului decupat) este caracterizată prin  $0 \leq t_{out_1} < t_{in_2} \leq 1$ .

interior 2	interior 3	interior 2
interior 3	interior 4	interior 3
interior 2	interior 3	interior 2

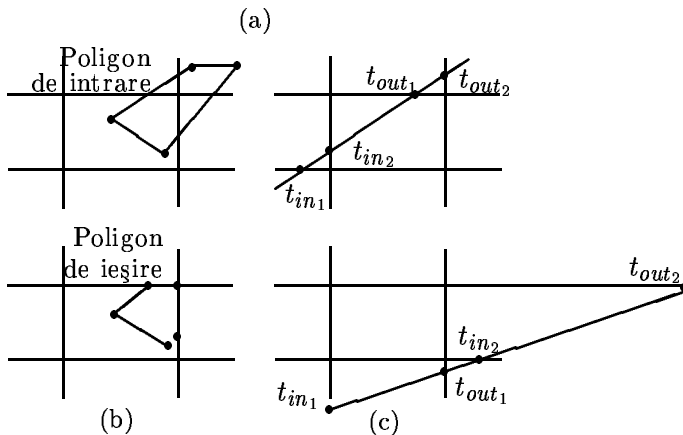


Figura 3.16: Algoritmul Liang-Barsky (a) Definirea regiunilor (b) Vârf turnant (c) Intersecțiile cu laturile ferestrei

### 3.12.4 Decuparea curbelor plane

Cercurile și elipsele pot fi aproximăte cu secvențe de linii scurte, astfel încât pot fi tratate ca linii poligonale cu număr mare de segmente.

Conicele, în general, sunt construite prin metode incrementale care permit includerea testelor de vizibilitate în fereastră.

În cazul cercurilor sau elipselor se poate efectua un test preliminar de acceptare/respingere asupra dreptunghiului minim ce încadrează respectiva conică.

Structura algoritmului incremental de trasare a curbei generale de grad doi  $f(x, y) = 0$  cuprinde trei faze:

1. se calculează  $\delta$ ,  $\Delta$  și se separă cazul trasării conicelor degenerate;
2. se calculează toate intersecțiile curbei cu laturile ferestrei de vizualizare.

În total pot exista maximum 8 puncte de intersecție. Pentru fiecare punct de intersecție se cercetează semnul funcției  $f$  la dreapta arcului de curbă care pornește din acest punct și este orientat spre interiorul ferestrei. Dacă  $f < 0$  la dreapta curbei, atunci punctul de intersecție este neglijat, deoarece arcul de curbă trebuie trasat începând de la celălalt capăt, care corespunde altui punct de intersecție (algoritmul incremental pornește de

la presupunerea că  $f < 0$  la stânga direcției de înaintare). În caz contrar se trasează arcul. Pentru calculul intersecției cu laturile ferestrei, de exemplu cu  $y = y_{min}$ , se recomandă modificarea ecuației  $f(x, y_{min}) = 0$ . Se observă că  $f(x, y_{min}) + f(x, y_{min} - 1) < 0$  (respectiv  $> 0$ ) pentru toate punctele  $(x, y_{min})$  mai apropiate (respectiv mai depărtate) de curbă decât  $(x, y_{min} - 1)$ . În cazul limită, de egalitate cu 0, punctele menționate sunt egal depărtate de curba ideală. Astfel pentru determinarea intersecției cu  $y = y_{min}$  se recomandă rezolvarea ecuației (analog factorului de decizie de la trasarea cercurilor)

$$f(x, y) + f(x, y - 1) = 0,$$

cu  $y = y_{min}$ .

3. se trasează curbele care nu intersectează marginile ferestrei de vizualizare (cercuri sau elipse complet incluse în fereastră): se calculează centrul curbei  $(x_c, y_c)$  și se apelează procedura de trasare incrementală începând cu punctul din dreapta de intersecție cu orizontală  $y = y_c$ .

### 3.12.5 Decuparea 3D

Pentru corpurile descrise prin mai multe puncte, dintre care doar o parte se află în volumul de observare, se preferă rețeza segmentelor în spațiu, păstrând numai porțiunile interioare volumului observabil, și abia după aceea proiecția în 2D. Procesul este cunoscut sub denumirea de decupare 3D (3D clipping).

Pot fi generalizați atât algoritmul Cohen-Sutherland cât și cel al bisecției.

În algoritmul Cohen-Sutherland 3D, spațiul este împărțit în 27 de zone, pentru care se alcătuiește câte un cod de 6 cifre. Primele patru sunt aceleași ca și în plan; a 5-a valoare este 1 dacă punctul se află în fața volumului de observare și 0 altfel, a 6-a valoare este 1 dacă punctul se află în spatele volumului de observare (figura 3.17).

Pentru calculul intersecțiilor cu planele limitatoare, în cazul algoritmului Cohen-Sutherland 3D, este comod să se transforme mai întâi volumul de observare în volum de observare canonic. În acest caz calculele și comparațiile se simplifică deoarece planele limitatoare inclinate au panta 1 sau -1.

Coordonatele intersecției se pot calcula folosind forma parametrică a ecuației unei drepte ce trece prin două puncte. Fie segmentul  $P_1P_2$  cu extremitățile  $P_1(x_1, y_1, z_1)$ ,  $P_2(x_2, y_2, z_2)$ . Se calculează intersecția cu planul  $y = z$ . Forma parametrică a dreptei este

$$\begin{cases} x = (x_2 - x_1)t + x_1, \\ y = (y_2 - y_1)t + y_1, \\ z = (z_2 - z_1)t + z_1, \end{cases} \quad 0 \leq t \leq 1.$$

Deoarece  $y = z$ , are loc  $(y_2 - y_1)t + y_1 = (z_2 - z_1)t + z_1$ , de unde se obține  $t$  corespunzător punctului de intersecție:

$$t_{plan(y=z)} = \frac{z_1 - y_1}{(y_2 - y_1) - (z_2 - z_1)}.$$

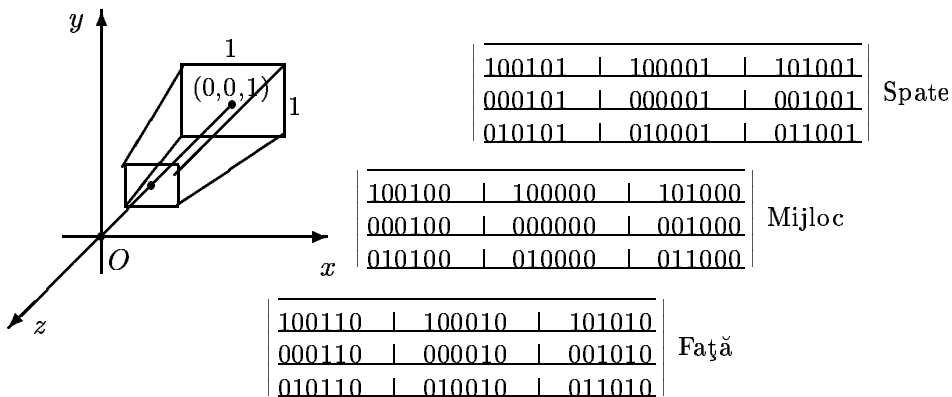


Figura 3.17: Algoritmul Cohen-Sutherland pentru decupare 3D

Segmentul  $P_1P_2$  intersectează planul  $y = z$ , dacă  $0 \leq t_{\text{plan}(y=z)} \leq 1$ .

### 3.13 Reprezentarea corpurilor tridimensionale

#### 3.13.1 Scheme de reprezentare ale solidelor rigide

Atunci când dorim reprezentarea pe un ecran a unui solid din spațiul 3D apar o serie de probleme a căror soluție trebuie găsită:

- (a) cum modelăm corpul în spațiul 3D;
- (b) cum construim o reprezentare a modelului;
- (c) cum transpunem reprezentarea 3D în 2D.

Reprezentările simple care permit recunoașterea unor suprafețe și efectuarea de calcule relative la aceste suprafețe se obțin într-unul din următoarele procedee de modelare a corpurilor:

- modelarea suprafețelor;
- modelarea solidului.

În primul caz, un corp este modelat prin precizarea frontierei sale, deci prin modelarea unui suprafață. Aceasta din urmă poate fi obținută ca suprafață strâmbă în spațiu, compusă din porțiuni de suprafețe curbe. În cazul modelării solidului, corpul este construit prin alăturarea unor volume elementare, cuburi, piramide, tetraedre, sfere, cilindri care să aproximeze cât mai bine forma dorită. Ambele procedee se încadrează în clasa mai generală a modelării geometrice (numită și modelare a formelor).

În literatura de specialitate sunt considerate următoarele scheme de reprezentare a solidelor rigide:

1. Instantierea primitivelor pure. Se definesc familii de entități, numite primitive generice sau pure, ai căror membre se numesc instanțe (exemplare) ale primitivelor. O primitivă generică poate fi privită ca un prototip

parametrizat al unei piese mecanice. Schema se pretează la tehnologiile de grup când se modelează familii de obiecte, în care membrii au aceeași structură, dar diferă prin parametrii, un set dat de parametrii identificând în mod unic un membru al familiei. Schema promovează standardizarea prototipurilor și este cel mai des utilizată în industrie. Dezavantajul este imposibilitatea de combinare a primitivelor generice pentru a crea o nouă primitivă mai complexă.

2. Enumerarea ocupării spațiale. Spațiul este împărțit într-o rețea fină de celule tridimensionale, de obicei cuburi, numite voxel (volume element) prin analogie cu pixel (picture element). Un solid este reprezentat prin lista celulelor pe care le ocupă, adică a celulelor care conțin material.
3. Descompunerea în celule. Un solid este descompus în celule solide elementare, fără găuri, ale căror interioare sunt două căte două disjuncte. Un solid este rezultatul lipirii celulelor componente care satisfac anumite condiții de potrivire a frontierelor. Schema constituie o generalizare a celei de a doua scheme, eliminând restricțiile referitoare la amplasarea celulelor în poziții fixe și la dimensiune și forme fixe pentru celule. Se bazează pe teoria triangulației.
4. Geometrie solidă constructivă. O schemă CSG (Constructive Solid Geometry) definește un solid ca o combinație de blocuri constructive solide, combinație realizată prin intermediul operațiilor de tip adunare sau scădere volumetrică. Este o generalizare a celei de a treia scheme, înlocuind operatorul de lipire cu operatori care nu necesită satisfacerea unor condiții de frontieră. Schema se bazează pe teoria mulțimilor regulate.
5. Măturare. Un solid sau o suprafață mărginită care se deplasează de-a lungul unei traectorii "mătură" un volum. În această schemă un solid poate fi reprezentat printr-un cuplu: (corp în mișcare, traectorie). Metoda folosește noțiunile matematice de produs de mulțimi sau operații cu mulțimi asupra unui număr infinit de mulțimi.
6. Interpolare. Un solid poate fi definit ca reuniunea tuturor segmentelor de dreapta  $PQ$  pentru care  $P$  și  $Q$  aparțin unei mulțimi  $A$  și respectiv  $B$  din spațiul bidimensional. Deci un solid se poate reprezenta prin cuplul  $(A, B)$ .
7. Reprezentarea prin frontiere. În timp ce toate metodele anterioare reprezintă solidele direct, reprezentările prin frontiere sunt indirecte prin aceea că ele reprezintă direct (explicit) frontierele topologice ale solidului și nu solidul însuși. Această metodă înlocuiește problema reprezentării unei anumite mulțimi prin reprezentarea unei mulțimi de dimensionalitate redusă.

### 3.13.2 Metode de construcție a reprezentărilor

Există trei metode de a construi modele geometrice ale solidelor rigide:

- Descrierea procedurală. Această metodă constă în reprezentarea unui obiect printr-un program a cărui execuție produce un exemplar din res-

pectivul obiect. O procedură obiect poate avea parametrii, devenind un obiect generic. Descrierea procedurală este convertită într-un model prin compilarea și executarea procedurilor obiect în contextul în care aceste proceduri sunt activate. Practic, limbajele de descriere oferă facilități de apelare ale unor proceduri standard de descriere: pentru linie, cerc, curbe spline, cilindri. Procedurile se pot apela unele pe altele, permisând descrierea unor obiecte complexe. Metoda este anevoieasă deoarece utilizatorii trebuie să aibă cunoștințe de programare. Se pretează în cazul instantierii primitivelor pure.

- Conversia bazei de date. Consta în construirea modelului unui obiect prin vârfuri și muchii – tip cadru de sârmă (wire frame) – pornind de la mai multe proiecții în 2D ale obiectului. Proiecțiile obiectului în 2D se obțin fie prin metoda descrierii procedurale, fie prin grafică interactivă.
- Grafică interactivă. Se bazează pe organizarea tuturor comenzilor necesare realizării și manipulării desenelor în grupuri relaționate logic, numite liste de meniu. Utilizatorul transmite comanda dorită sistemului prin selectarea acesteia din lista de meniu cu ajutorul unui dispozitiv de interacțiune. Această modalitate de a dirija un sistem grafic se numește tehnica meniului. Listele de meniuri sunt organizate ierarhic într-o structură de arbore. Componența listelor de meniuri și structura ierarhică se obțin în urma unui proces de generare.

### 3.13.3 Reprezentarea corpurilor prin frontiere

Variantele cele mai des utilizate sunt:

- (a) reprezentarea prin puncte (reprezentarea prin secțiuni transversale);
- (b) reprezentarea tip wire-frame (cadru de sârmă);
- (c) reprezentarea prin rețea de poligoane (reprezentarea poliedrală).

Reprezentarea prin puncte și secțiuni transversale

Dacă obiectul de modelat are o suprafață compusă din fațete poligonale, se poate obține un model exact al acestuia înmagazinând în memorie coordonatele vârfurilor acestor fațete.

Deoarece corpurile reale au de obicei suprafete curbe, modelele sunt, în majoritatea cazurilor, aproximative. Pentru mulțimea punctelor care modeleză un corp (în general suprafața acestuia) se pot pune două tipuri de condiții:

- i) suprafața corpului să treacă efectiv prin punctele date;
- ii) distanța dintre suprafața reală și punctele care definesc modelul să fie mică.

Reprezentarea prin puncte se utilizează în domeniul medicinei și chimiei. În medicină, corpul se reprezintă printr-o rețea de puncte dispuse după secțiuni transversale. În chimie, atomii sunt modelați prin sfere, reprezentate prin puncte situate în nodurile unui rețeau geodezice.

Elementul de bază al structurilor de date folosite pentru modelare este lista de vârfuri. Un vârf este un punct de pe suprafața unui model în care se întâlnesc

sau din care pornesc una sau mai multe linii folosite în reprezentarea corpului respectiv.

O listă completă de vârfuri conține coordonatele tuturor punctelor care descriu corpul. O listă de vârfuri trunchiată conține numai informațiile referitoare la o submulțime de puncte, precum și alte informații necesare pentru determinarea coordonatelor celorlalte puncte folosind simetrii, rotații, translații și scalări. Formele trunchiate sunt folosite pentru depozitarea informației necesare regenerării periodice a corpului.

Un corp de observat poate avea mai multe componente. Este util ca acestea să poată fi manipulate independent. Pentru aceasta, un program trebuie să permită utilizatorului alegerea unui subcorp sau a unui grup de subcorpuri asupra cărora va opera în continuare. Fiecare subcorp poate fi tratat la rândul său ca fiind compus din mai multe părți. În acest fel se stabilește o ierarhie pe mai multe nivele, a modelului creat. Fiecare element de la baza unui astfel de ierarhii este descris ca un corp independent. El este identificat printr-o pereche de indici în lista de vârfuri care indică primul și ultimul punct ce aparțin subcorpului considerat.

O metodă utilizată pentru selectarea subcorpuri este cea a atributelor activ/pasiv. Un atribut activ/pasiv poate lua de exemplu forma unei matrici  $n_t \times n_{max}$ , unde  $n_t$  este numărul nivelor ierarhice, iar  $n_{max}$  este numărul maxim se subcorpuri ce se află pe un nivel ierarhic. În interiorul acestei matrici se pot folosi trei coduri: 0-inexistent, 1-activ, 2-pasiv. Fiecare element al matricii corespunde unui subcorp.

Reprezentarea folosind listă de vârfuri, ierarhie și masive de atrbute este întâlnită în literatură sub denumirea de reprezentare prin masive de cote și atrbute pe mai multe nivele (multilevel coordinate and attribute arrays).

Reprezentările prin secțiuni transversale decurg direct din reprezentările prin puncte situate în secțiuni transversale paralele între ele. Punctele situate în aceeași secțiune se unesc între ele astfel încât să pară reprezentat conturul secțiunii respective. Uneori, pentru o mai bună precizare a formei obiectului modelat se folosesc două curbe sau linii poligonale denumite ecuator și meridian. Adăugând curbe longitudinale unei reprezentări prin secțiuni transversale se obțin reprezentările de tip wire-frame.

#### Reprezentarea prin cadru de sârmă

Într-o asemenea schemă, un corp este reprezentat ca o mulțime de segmente de dreaptă sau porțiuni de curbe.

Datele de intrare pot fi organizate astfel:

- segmente explicite: pentru fiecare segment se precizează un indice (optional) și coordonatele extremităților segmentului. Nu se utilizează lista de vârfuri.
- segmente implicate: fiecare segment este precizat printr-o pereche de indici care identifică capetele acestuia într-o listă de vârfuri (necesarul de memorie față de forma precedentă scade);

- (c) linii date prin indici: atunci când o linie poligonală poate fi descrisă prin concatenarea unui sir de segmente, este mult mai indicată utilizarea informațiilor: indice linie, număr de puncte pe linie, indici care reprezintă capetele segmentelor ce compun linia în lista de vârfuri;
- (d) secțiuni transversale și linii longitudinale: se procedează precum în cazul liniilor date prin indici, dar curbele transversale sunt în marea lor majoritate chiar reprezentările secțiunilor transversale.

Reprezentarea wire-frame a unui obiect nu permite definirea unor suprafețe și, deci, calcularea ariilor, volumelor, maselor, centrelor de greutate sau afișarea pe ecran a porțiunii vizibile a obiectului analizat.

Deși reprezentarea wire-frame este simplistă și nu furnizează informații complete asupra geometriei corpului, datorită ușurinței de utilizare și a rapidității de afișare a reprezentării pe terminal, este mult utilizată. Folosind această tehnică se pot obține viteze mari de lucru și chiar efecte interesante de animație.

#### Reprezentarea prin rețea de poligoane

O rețea de poligoane este o colecție de laturi, vârfuri și poligoane conectate astfel încât fiecare latură este partajată de cel mult două poligoane (o latură conectează exact două vârfuri, iar un poligon este o secvență închisă de laturi).

Dacă obiectul real are suprafețe curbe, modelul poligonal este aproximativ. Aproximarea poate fi îmbunătățită prin mărirea numărului de fațete poligonale plane care modelează o suprafață curbă. Dezavantajul constă în necesarul sporit de memorie, dar este de reținut faptul că algoritmii care procesează suprafețele poligonale plane sunt mult mai simpli decât cei pentru suprafețe curbe.

Elementul de bază pentru modelarea poliedrală este lista de vârfuri. Punctele ale căror coordonate sunt înscrise în listă sunt vârfurile poliedrului. Acestea împreună cu muchiile poliedrului și cu fațetele poliedrului constituie elementele definiitorii ale rețelei poligonale.

Stocarea informațiilor necesare reprezentării vârfurilor, muchiilor și fațetelor poligonale se face sub diferite forme. Criteriile de alegere a formei de stocare privesc două caracteristici ale programului: memoria necesară și viteza de lucru.

Vârfurile unui fațete sunt precizate în două moduri:

- explicit: vârfurile care determină o fațetă fie ca indici în lista de vârfuri, fie prin coordonate (parcugerea fațetelor prin citire) în ordinea descrierii poligoanelor;
- implicit: vârfurile care determină o fațetă sunt determinate prin indici în lista de vârfuri pe baza unui algoritm de parcursere a acestei liste (parcugerea fațetelor prin generare) în ordinea activării fațetelor.

Parcugerea fațetelor prin citire. Reprezentarea rețelelor poligonale se face:

- (a) explicit, prin listă de poligoane date explicit. În acest caz lista de vârfuri lipsește deoarece fiecare poligon este reprezentat de o structură de forma (indice-poligon, listă de coordonate). Lista de coordonate are structura

unei înregistrări (nr.de vârfuri, coordonatele vârfurilor). Când modelul este un poliedru, un vârf aparține simultan mai multor poligoane, ceea ce presupune reprezentarea repetată a acestuia și, deci, risipă de memorie. Identificarea muchiilor comune a două poligoane, a poligonelor care au un vârf comun și a muchiilor incidente într-un vârf este dificilă. Atunci când se face reprezentarea pe ecran, fiecare muchie este trasată de cel puțin două ori deoarece aparține la cel puțin două poligoane distincte. Dacă se folosesc poligoane de același tip se poate renunța la specificarea numărului de vârfuri.

- (b) prin pointeri la o listă de vârfuri: datele de intrare sunt lista de vârfuri și lista de poligoane dată implicit prin indici în lista de vârfuri. Se precizează o singură dată coordonatele fiecărui punct care intervine în model. Un poligon se definește prin numărul de vârfuri și indicii corespunzători ai acestor vârfuri în lista de vârfuri. Avantajul constă în stocarea o singură dată a vârfurilor. Rămâne problema retrasării laturilor.
- (c) prin pointeri la o listă de laturi: datele de intrare sunt lista de vârfuri, lista de muchii și lista de poligoane dată implicit prin indici în lista de muchii. Lista de muchii conține informații de tipul (indicele muchiei, doi indici care selectează capetele muchiei din lista de vârfuri, [numărul de poligoane la care aparține muchia,] indicii care selectează poligoanele care conțin muchia dintr-o listă de poligoane). Lista de poligoane conține informații de tipul (indicele poligonului, [numărul de muchii,] indicii care selectează muchiile poligonului din lista de muchii). De exemplu, rețeaua din figura 3.18 (a) este descrisă prin datele următoare:

$$V = \{V_1 : (x_1, y_1, z_1), V_2 : (x_2, y_2, z_2), V_3 : (x_3, y_3, z_3), V_4 : (x_4, y_4, z_4), \emptyset\},$$

$$M = \{M1 : (V_1, V_2, P_1, \emptyset), M2 : (V_2, V_3, P_2, \emptyset), M3 : (V_3, V_4, P_2, \emptyset),$$

$$M4 : (V_4, V_2, P_1, P_2, \emptyset), M5 : (V_4, V_1, P_1, \emptyset), \emptyset\},$$

$$P = \{P_1 : (M_1, M_4, M_5, \emptyset), P2 : (M_2, M_3, M_4, \emptyset)\}.$$

Atunci când se face reprezentarea pe ecran, rețeaua se transpune prin trasarea tuturor muchiilor după lista de muchii, ceea ce duce la evitarea reprezentărilor duble.

Exemplu: Fișierul care descrie casa din figura 2.14 conține următoarele informații:

```
/*nr.vârfuri nr.muchii nr.poligoane*/
10 15 7
/*lista coordonatelor celor 10 vârfuri*/
0 0 54; 16 0 54; 16 10 54; 8 16 54; 0 10 54; 0 0 30; 16 0 30; 16 10 30; 8 16
30; 0 10 30
/*lista celor 15 muchii descrise prin indicii vârfurilor din lista anterioară*/
0 1; 1 2; 2 3; 3 4; 4 0; 5 6; 6 7; 7 8; 8 9; 9 5; 0 5; 1 6; 2 7; 3 8; 4 9
/*lista celor 7 poligoane descrise prin indicii muchiilor din lista anterioară*/
0 1 2 3 4; 5 6 7 8 9; 0 11 5 10; 10 9 14 4; 11 6 12 1; 12 7 13 2; 13 8 14 3;
```

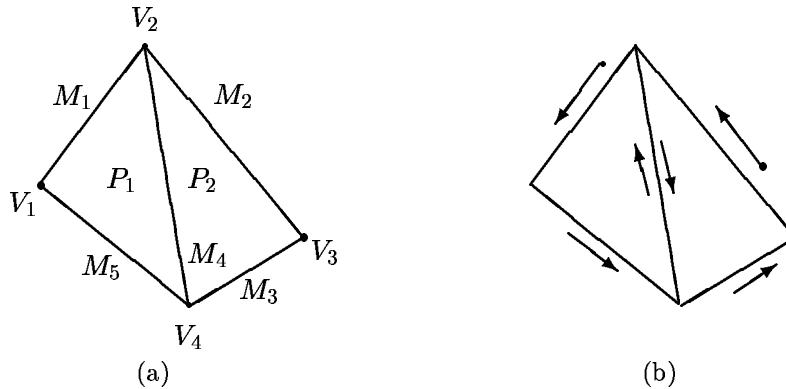


Figura 3.18: (a) Descrierea unei rețele poligonale (b) Parcugere în sens trigonometric a laturilor

**Parcugerea fațelor prin generare.** Când se dispune de o memorie redusă și se modelează corpu de complexitate relativ mare printr-un număr mare de puncte este recomandată utilizarea unui liste de vârfuri și un procedeu de parcugere a acesteia pentru a determina rând pe rând indicii corespunzătoare vârfurilor fiecarei fațete. Se consideră cazul generării unui corp prin fațete triunghiulare. Pentru a genera rețea de fațete sunt necesare:

1. o listă de vârfuri în care un punct este menționat printr-un indice și coordonatele sale;
2. o listă de distribuție a punctelor pe secțiuni în care pentru fiecare secțiune transversală se menționează numărul și indicii punctelor care o descriu;
3. o listă de ramificație în care pentru fiecare secțiune a unui corp, cu excepția ultimei secțiuni, se precizează pentru fiecare punct, în sensul creșterii indicilor, numărul de triunghiuri distințe care nu au mai fost considerate și au un vârf în acesta. Pentru primul punct dintr-o secțiune, se numără numai triunghiurile formate cu puncte de pe secțiunea următoare, în sensul creșterii indicilor, pornind de la primul punct al secțiunii următoare.

În mod curent se utilizează rețele de fațete patrulatere plane sau triunghiulare. Cele mai bune aproximări ale unor suprafețe strâmbă prin număr dat de vârfuri se obțin folosind fațete triunghiulare.

Pentru cazurile în care este necesar a deosebi la un poligon o față exterioară și una interioră se stochează vârfurile sale într-o ordine convenită în baza de date. Ordinea normală este aceea pentru care vârfurile se stochează astfel încât laturile poligonului privite din exterior să fie așezate în sens trigonometric. În acest fel, direcția normalei exterioare la poligonul dat se poate obține ca produs vectorial a două laturi consecutive neconfundate și nedegenerate pentru orice poligon convex. Această tehnică permite evitarea trasării unei laturi date de două ori, după regula: o latură nu se trasează decât atunci când este parcursă de la un vârf de indice inferior celui final (figura 3.18.b).



## C a p i t o l u l 4

P r e l u c r a r e a r e p r e z e n tă r i l o r  
s i m p l e

### 4.1 Realism vizual

Prelucrarea reprezentărilor simple este o etapă de procesare grafică de complexitate superioră transformărilor simple ale imaginii. Scopul este mărirea cantității de informație disponibilă pe ecran pentru a permite utilizatorului să înțeleagă relațiile 3D existente între mai multe corpuși sau între componentele unui corp.

Obiectele tridimensionale proiectate pe o suprafață bidimensională pierd din informația asociată, fapt ce crează ambiguități în analiza imaginilor create. Un exemplu concluziv este reprezentarea prin cadru de sărmă a unui cub. Astfel, nu putem spune dacă cubul (a) din figura 4.1 reprezintă cubul solid (b) sau (c).

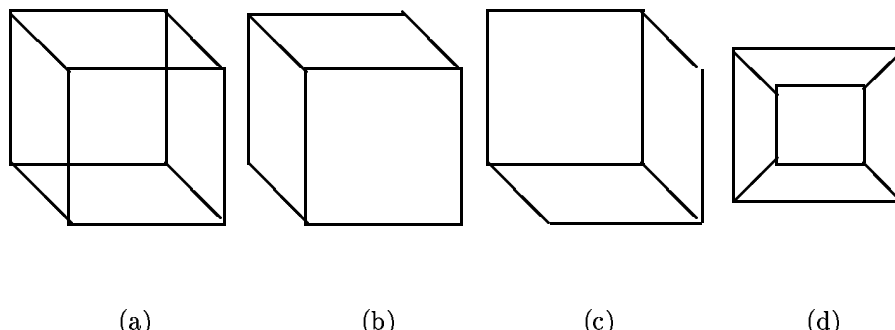


Figura 4.1: Iluzia cubului (a) Cub transparent (b) Cub privit de sus (c) Cub privit de jos (d) Cub în perspectivă

Alegerea transformării proiective este de asemenea o problemă. Cele mai simple proiecții sunt cele paralele ortografice în care planul de proiecție este perpendicular pe una din axele principale, însă imaginile create sunt dificil de înțeles. În proiecția axonometrică, oblică sau perspectivă coordonata  $z$  influențează coordonatele  $x$  și  $y$  ale proiecției, producându-se ambiguități. De exemplu, imaginea din figura 4.1 (d) poate fi o proiecție paralelă a unui trunchi de piramidă sau proiecția perspectivă a unui paralelipiped dreptunghic.

Reprezentările realiste ale corpurilor 3D se pot obține prin combinarea cel puțin a următoarelor patru metode:

1. eliminarea tuturor elementelor și părților corpului care sunt ascunse în anumite condiții de privire;
2. simularea iluminării corpului cu un sistem de surse de lumină bine precizat (punctiforme, surse distribuite, lumină paralelă, lumină ambientală);
3. reconstituirea detaliilor existente pe suprafață (a texturii materialului).
4. reconstituirea culorilor și nuanțelor în care obiectul (corpul) original ar apărea, luminat în condițiile precizate.

Aspectul texturii este purtător de informație cu privire la orientarea și adâncimea unei suprafete. Cele 4 caracteristici principale ale texturii sunt: mărimea, forma, orientarea și densitatea. Pe ecranele monocrome, metoda texturii poate fi folosită pentru simularea umbrelor prin densitate de puncte.

Metodele de asistare a procesului cognitiv prin mijloace grafice utilizate în sistemele CAD-CAM propun următoarele:

- utilizarea imaginii perspective, care încorporează informații de profunzime;
- efectul cinetic de profunzime (proiecții dinamice): această tehnică se bazează pe mișcarea obiectului relativ la poziția observatorului. O mișcare edificatoare este rotația în jurul unei axe verticale: liniile apropiate se mișcă mai rapid decât cele îndepărtate, liniile din părți opuse ale axei de rotație se mișcă în sensuri contrare.
- indicii de intensitate: această metodă implică variația intensității liniilor. Liniile îndepărtate vor apărea mai șterse decât cele mai apropiate de utilizatorul sistemului;
- secționarea în adâncime: informații referitoare la a 3-a dimensiune pot fi oferite prin deplasarea unui plan perpendicular pe axa  $Oz$  de-a lungul acesteia. Planul numit limitator posterior dezvăluie observatorului, pe măsura deplasării sale, obiectul, oferind astfel informații relative la profunzime;
- secționarea frontală: planul de secționare este frontal, iar partea eliminată de acesta este cea mai apropiată de observator. Metoda este mai utilă decât cea anterioră, deoarece poate furniza, printr-o poziționare adecvată a obiectului, orice secțiune plană prin corpul respectiv;
- umbrirea: cunoșcând direcția luminii (pentru iluminarea paralelă) sau poziția sursei (pentru iluminarea cu o sursă punctiformă), umbrele pot furniza informații utile pentru sugerarea poziției în spațiu.
- variația de culoare: de-a lungul axei  $Oz$  se poate introduce o variație spectrală de culoare, de exemplu, de la roșu (punctele apropiate) la violet

(punctele îndepărtate), care să furnizeze informații cu privire la relațiile de profunzime între elementele corpului.

## 4.2 Determinarea liniilor și suprafețelor vizibile

Date fiind un set de obiecte 3D și o specificare a vizualizării, se cere determinarea liniilor și suprafețelor obiectelor care sunt vizibile, fie din centrul de proiecție pentru proiecțiile în perspectivă, fie de-a lungul direcției de proiecție în cazul proiecțiilor paralele.

Se pot imagina următoarele două tipuri de coduri pentru rezolvarea problemei:

- pentru fiecare obiect din scenă execută următoarele:
  - (a) determină acele părți ale obiectului care nu sunt acoperite de părți ale altui obiect;
  - (b) construiește imaginea acestor părți;
- pentru fiecare pixel al imaginii execută următoarele:
  - (a) determină cel mai apropiat obiect de observator care este proiectat pe pixel;
  - (b) aprinde corespunzător pixelul.

Există, corespunzător acestor modalități de abordare a problemei, două tipuri de algoritmi:

1. algoritmi spațiu-obiect (precizie obiect): depind de precizia cu care obiectele sunt definite și determină vizibilitatea fiecărui obiect;
2. algoritmi spațiu-imagine (precizie imagine): depind de rezoluția mediului de afișare și determină vizibilitatea pe pixel.

Pentru  $n$  obiecte și  $p$  pixeli efortul de calcul este proporțional, în primul caz, cu  $n^2$  și, în al doilea caz, cu  $np$ . Deși în majoritatea situațiilor  $n^2 \ll np$ , algoritmii spațiu-imagine sunt mai rapizi deoarece subrutele de comparare individuală sunt mult mai simple decât în cazul algoritmilor spațiu-obiect și deci consumă mai puțin timp.

Algoritmii spațiu-obiect oferă o acuratețe deosebită a imaginii. Algoritmii spațiu-imagine oferă rapiditate în construcția imaginii. Calculul în spațiu-obiect se realizează cu precizie arbitrară. Imaginea finală va fi corectă chiar și mărită de mai multe ori. Soluțiile în spațiu-imagine sunt calculate cu o rezoluție mai mică, de obicei cea a dispozitivului de afișare.

### 4.2.1 Simplificarea calculelor

Pozitia observatorului

Se consideră că planul de proiecție este  $xOy$  al sistemului în care este definit obiectul, iar

- în cazul proiecției perspective, observatorul se află pe axa  $z$  la o cotă pozitivă,

- în cazul proiecției paralele, direcția de proiecție este paralelă cu axa  $z$  și în sens invers acesteia.

Dacă condițiile de vizualizare nu respectă aceste reguli, se impune o fază de preprocesare în care obiectul este rotit și translatat pentru a se încadra în condițiile standard.

#### Teste de adâncime

Se pune problema dacă două puncte se acoperă unul pe celălalt în proiecțiile pe planul  $xOy$ .

În cazul proiecției paralele, două puncte  $A(x_1, y_1, z_1)$ ,  $B(x_2, y_2, z_2)$  sunt pe aceeași linie de proiecție dacă și numai dacă  $x_1 = x_2$ ,  $y_1 = y_2$ .

În cazul proiecției perspective, pentru simplificarea calculelor, comparațiile individuale privind relațiile de profunzime se fac după aplicarea transformării care duce centrul de proiecție în origine. Relațiile de verificat pentru ca  $A$  și  $B$  să fie pe aceeași linie de proiecție sunt:  $x_1/z_1 = x_2/z_2$ ,  $y_1/z_1 = y_2/z_2$ . Pentru fiecare comparație a două puncte trebuie efectuate patru împărțiri. O soluție pentru evitarea acestor împărțiri este aplicarea unei transformări 3D obiectului real astfel încât obiectul transformat obținut să aibă o proiecție paralelă identică cu proiecția perspectivă a obiectului real. Această transformare mută centrul de proiecție la  $-\infty$  pe axa  $z$  și transpunе liniile de proiecție în linii paralele cu axa  $z$ , deci paralele între ele (vezi capitolul 2).

#### Teste de interioritate

Se pune problema interiorității unui punct față de un contur poligonal. Fie  $F = (P_1, P_2, \dots, P_n)$  un poligon în planul de proiecție cu vîrfurile  $P_i(x_i, y_i)$ ,  $i = 1, \dots, n$  și  $P_n = P_1$ . Fie  $P(x, y)$  punctul pentru care trebuie să se efectueze testul de interioritate. În geometria elementară există două proceduri bine cunoscute pentru realizarea testului de interioritate a unui punct față de un contur poligonal în planul de proiecție:

1. calcularea sumei unghiurilor. Se notează cu  $\alpha_i$  măsura unghiului făcut de segmentele  $PP_i$  și  $PP_{i+1}$ , ( $i = 1, \dots, n-1$ ). Atunci,  $P$  este în exteriorul conturului poligonal dacă  $\sum_{i=1}^{n-1} \alpha_i = 0$  și este în interiorul conturului dacă  $\sum_{i=1}^{n-1} \alpha_i = 2\pi$  (figura 4.2.a);
2. calcularea numărului de intersecții (testul par-impar). Se consideră o semidreaptă, care pornește din punctul  $P$  și nu trece prin niciunul din vîrfurile poligonului. Punctul este exterior poligonului dacă numărul de intersecții ale semidreptei cu laturile lui  $F$  este par și este interior lui  $F$  dacă acest număr este impar (figura 4.2.b).

#### Teste minimax

Testele minimax sunt utile în diverse momente ale algoritmilor: la calculul suprapunerii a două poligoane în planul de proiecție, la calculul interiorității

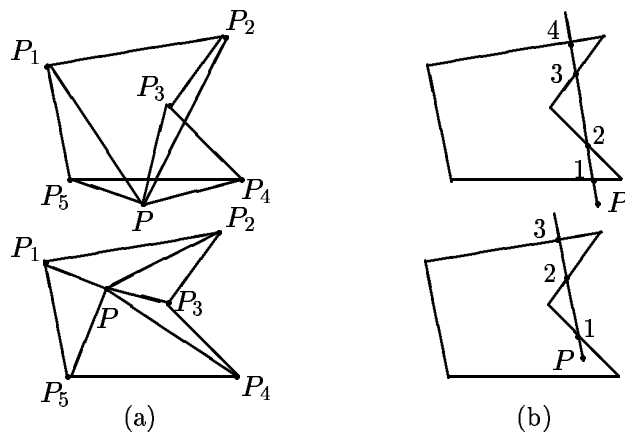


Figura 4.2: Teste de interioritate prin (a) suma unghiurilor (b) număr de intersecții

proiecției unui punct față de proiecția unui poligon, la calculul intersecției a două segmente, la calculul de adâncime a unui punct față de un poligon sau chiar a două poligoane între ele în spațiul obiect.

Aceste teste presupun doar comparații. Ele pot duce la respingerea a numeroase cazuri nefavorabile, dacă sunt utilizate înaintea calculelor propriu-zise. De exemplu, două poligoane din planul de proiecție nu au nici un punct de intersecție dacă valoarea minimă a proiecției pe axa  $x$  a celui de al doilea este mai mare decât valoarea maximă a proiecției pe aceeași axă a primului.

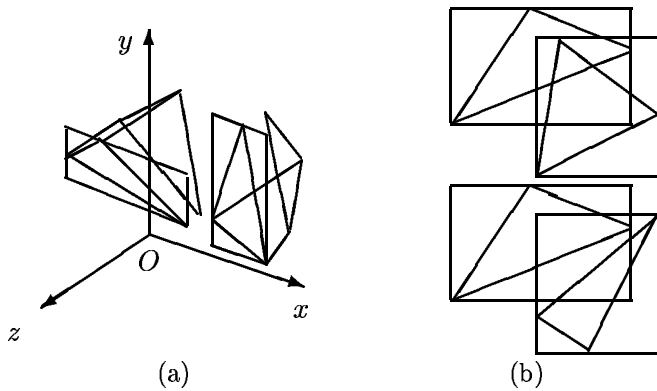


Figura 4.3: (a) Extinderile plane ale poligoanelor (b) Suprapunerea extinderilor plane

Se numește extindere plană (extindere ecran) a unui poligon dat din 3D, dreptunghiul de arie minimă circumscris proiecției poligonului și care are o

latură orizontală (figura 4.3.a). Pentru determinarea extinderii ecran se calculează maximul și minimul coordonatelor proiecțiilor pe ecran ale vârfurilor poligonului (patru valori ce definesc colțurile dreptunghiului).

Două poligoane ale căror extinderi ecran sunt disjuncte (nu se suprapun) nu se pot acoperi unul pe altul. Dacă extinderile se suprapun, cu privire la suprapunerea poligoanelor nu se poate afirma nimic. În acest caz există două situații (figura 4.3.b):

- (a) atât extinderile, cât și proiecțiile poligoanelor, se suprapun;
- (b) extinderile se suprapun, dar proiecțiile poligoanelor sunt disjuncte.

Analog se pot defini extinderile unidimensionale și spațiale.

O extindere unidimensională se definește, relativ la un plan de coordonate, ca fiind zona bandă de lățime minimă în care se înscrie proiecția poligonului în acel plan, situată între două drepte paralele și paralele cu una din axele de coordonate ale planului. Cazuri particulare sunt extinderile după  $x$ ,  $y$ ,  $z$  ale poligoanelor (figura 4.4.a).

Când extinderile după  $z$  a două poligoane nu se suprapun, atunci poligonul cu extinderea după  $z$  mai apropiată de observator va acoperi celălalt poligon (cel puțin parțial) dacă extinderile ecran se intersectează. Determinarea extinderii după  $z$  se face căutând maximul și minimul valorilor lui  $z$  pentru vârfurile poligonului considerat.

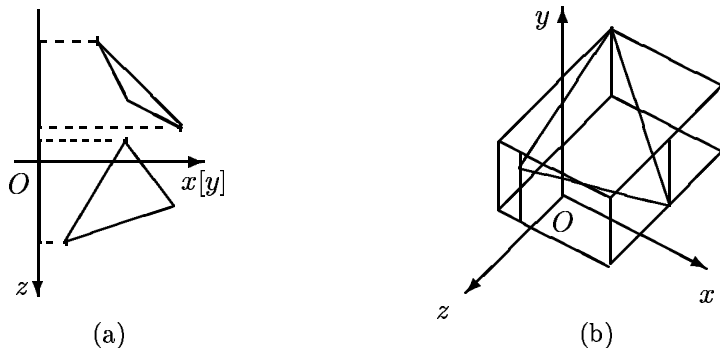


Figura 4.4: (a) Extinderea unidimensională după  $z$  (b) Extinderea spațială

Extinderile spațiale ale poligoanelor sunt paralelipipedele de volum minim în care se înscriu poligoanele respective și care au fețele paralele cu planele triedrului de referință (figura 4.4.b).

Înainte de a compara două poligoane, se compară extinderile acestora. Se elimină astfel o bună parte din calculele de intersecții, simplificând și accelerând tratarea imaginii.

#### 4.2.2 Vizualizarea suprafețelor descrise explicit

Se consideră cazul special al unui suprafață descrisă explicit printr-o ecuație de tipul

$$y = f(x, z).$$

Prin discretizarea funcției  $f$  pe o grilă regulată în  $x$  și  $z$  se obține o matrice de valori  $y$  reprezentând înălțimi față de grila în  $x$  și  $z$  aflată în planul  $y = 0$ . Indicii și valoarea elementului matriceal specifică în mod unic un punct din spațiu.

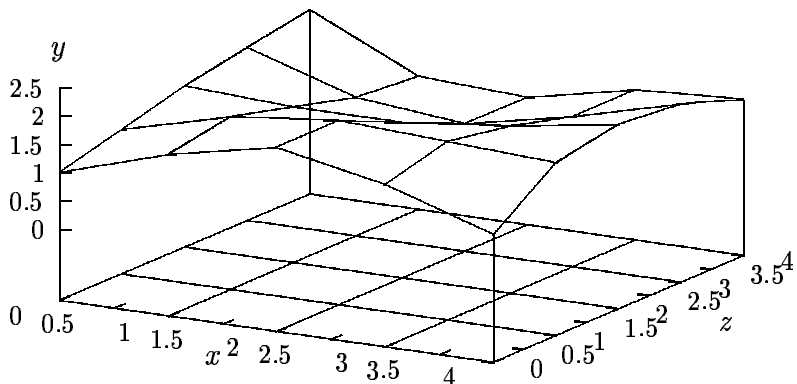


Figura 4.5: Reprezentarea prin cadru de sărmă a unei suprafețe

O trasare tip cadru de sărmă poate fi construită prin aproximarea liniară (figura 4.5). Se trasează un set de linii poligonale ce trec prin punctele definite de fiecare linie a matricii (linii poligonale de  $z$  constant) și un set de linii poligonale ortogonale care trec prin punctele definite de fiecare coloană (linii poligonale cu  $x$  constant).

Se consideră în primul rând problema trasării liniilor poligonale de  $z$  constant. Presupunem că cea mai apropiată linie poligonală este o latură a suprafeței. Liniile poligonale ce urmează a fi trasate se află în plane paralele de  $z$  constant. Se trasează liniile în ordinea crescătoare a distanței de la observator.

Se consideră liniile poligonale din planele cu  $z$  constant din figura 4.6 (a). Dacă se trasează o nouă linie poligonală, ea este vizibilă numai acolo unde proiecția sa se ridică deasupra celei mai înalte sau se află sub cea mai joasă

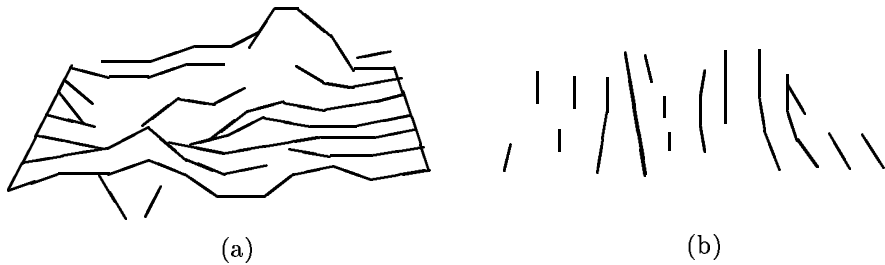


Figura 4.6: Trasarea cadrului de sărmă a unei suprafețe (a) Linii poligonale cu  $z$  constant (b) Linii poligonale cu  $x$  constant

siluetă. Deoarece noua linie poligonală se află într-un plan mai îndepărtat decât precedentele, nu poate acoperi liniile poligonale anterioare. De aceea, pentru a determina care părți ale liniei poligonale vor fi trasate, se compară valorile  $y$  ale liniei dorite cu valorile  $y$  ale siluetelor (valorile  $y$  ale proiecțiilor).

Algoritmul bazat pe aceste siluete (valorile  $y$  minime și maxime corespunzătoare  $x$  din grilă) se numește algoritmul liniei orizontului (algoritm Wright). Din punct de vedere al clasificării algoritmilor de determinare a liniilor vizibile, acesta este un exemplu de algoritm spațiu-imagine.

Pentru reprezentarea siluetelor se utilizează două tablouri unidimensionale,  $Y_{min}$  și  $Y_{max}$ , care conțin valorile minime și maxime curente ale valorilor proiectate  $y$  pentru o mulțime finită de valori  $x$  (valorile sunt actualizate după calcularea valorilor  $y$  ale fiecărei noi linii).

Dacă se trasează liniile poligonale cu  $x$  constant, linia poligonală cu  $x$  constant cea mai apropiată de observator (îngroșată în figura 4.6.b) nu formează o latură a suprafeței. Pentru a trasa suprafața corect, se trasează liniile poligonale de la dreapta celei mai apropiate în ordinea de la stânga la dreapta, iar cele la stânga celei mai apropiate, de la dreapta la stânga. În ambele cazuri, trasarea liniei poligonale se face în ordinea crescătoare a distanței de la observator.

Suprapunerea liniilor poligonale cu  $x$  constant și  $z$  constant nu permite întotdeauna o reprezentare corectă a suprafeței. Un exemplu concluziv este prezentat în figura 4.7. Soluția corectă presupune trasarea concomitentă a liniilor poligonale. Setul de liniile poligonale care sunt aproape paralele cu planul de vizualizare (în figura dată se consideră cele de  $z$  constant) sunt procesate în ordinea descrisă mai sus. După ce o linie poligonală de  $z$  constant este trasată, se construiesc segmentele de linie poligonală cu  $x$  constant dintre linia poligonală nou trasată și următoarea linie poligonală. Segmentele de linie cu  $x$  constant se trasează utilizând aceeași structură de date-siluete care a fost utilizată pentru trasarea liniei poligonale de  $z$  constant. Procesarea are loc în ordinea crescătoare a distanței față de observator.

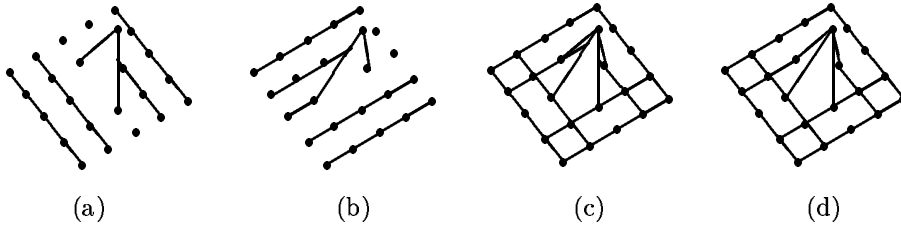


Figura 4.7: Suprapunerea reprezentărilor wire-frame  
 (a) Linii cu  $z$  constant  
 (b) Linii cu  $x$  constant (c) Suprapunere (a) Soluția corectă

#### 4.2.3 Algoritmi spațiu-obiect pentru determinarea liniilor vizibile

Algoritmul reprezentării incomplete

Se consideră o reprezentare poliedrală a unui corp convex și o mulțime de puncte care definesc această reprezentare (mulțimea include cel puțin vîrfurile fațetelor poligonale). Imaginea se reconstituie pe principiul: un segment este vizibil atunci când capetele sale sunt vizibile. Se alege ca obiectiv un anumit punct de pe suprafața corpului și se depistează eventualele obstacole ce se interpun între punct și observator.

Pentru determinarea vizibilității punctelor reprezentării poliedrale se parcurg următoarele etape:

- (a) se inițializează cu valoarea zero un vector de dimensiune egală cu numărul de puncte prin care este reprezentat corpul. Acest vector este numit zona atributelor de vizibilitate. Simbolul 0 marchează punctele vizibile. Valoarea 1 indică un punct invizibil.
- (b) pentru fiecare față poligonală se parcurg toate punctele reprezentării căutând acelea a căror proiecție pe ecran se află în interiorul sau pe frontieră proiecției fațetei, numite puncte obiectiv. Pentru fiecare punct obiectiv,
  1. se calculează intersecția dintre dreapta de la punctul obiectiv la observator și suprafața poligonală curentă, rezultând un punct numit punct mască potențial;
  2. se compară distanța de la observator la punctul obiectiv cu cea de la observator la punctul mască potențial. Dacă prima este mai mare atunci se modifică atributul corespunzător punctului din 0 în 1 (punctul este invizibil).

În final zona atributelor de vizibilitate stochează informații complete cu privire la vizibilitatea punctelor prin care corpul este aproximat.

În figura 4.8 (b) se prezintă rezultatul aplicării algoritmului la paralelipipedul (a).

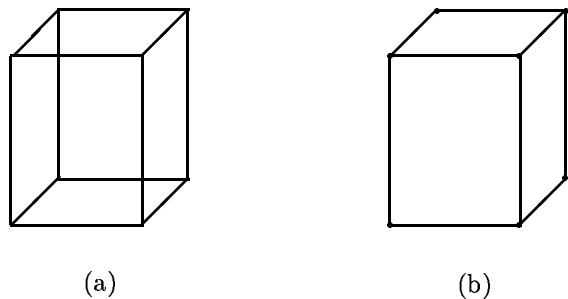


Figura 4.8: (a) Reprezentarea poliedrală a unui paralelipiped (b) Imagine prin algoritmul reprezentării incomplete

Algoritmul spațiu-obiect incomplet, ce reprezintă numai curbele sau segmentele cu ambele capete vizibile, se poate aplica cu succes dacă corpul descris este convex, are un număr mic de fațe sau dacă imaginea ocupă o zonă mare pe ecran. Pentru corpurile concave, problema se complică (figura 4.9).

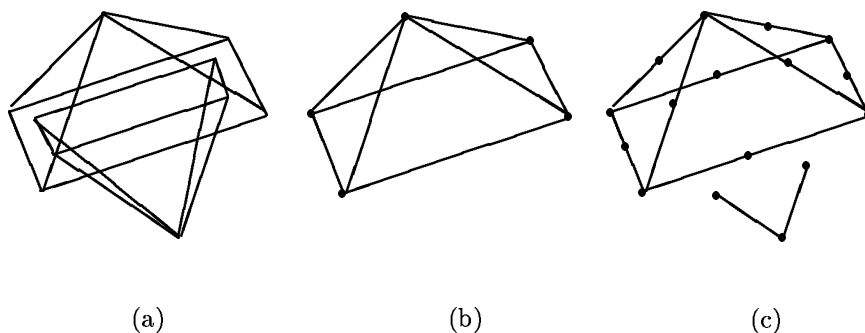


Figura 4.9: (a) Reprezentarea poliedrală a unui corp concav (b) Imagine prin algoritmul reprezentării incomplete (c) Imagine îmbunătățită prin creșterea numărului de puncte ce descriu suprafața

#### Algoritmul invizibilității cantitative

Algoritmul invizibilității cantitative (algoritmul Appel) operează asupra solidelor formate din fețe plane mărginite de poligoane. Metoda folosită este aceea de a testa vizibilitatea segmentelor din care sunt alcătuite fețele solidului.

Invizibilitatea cantitativă a unui punct al unei linii este numărul de poligoane care maschează respectivul punct. Când o linie trece în spatele unui poligon, invizibilitatea cantitativă a punctelor sale este incrementată cu 1; cândiese, este

decrementată cu 1. O linie este vizibilă numai dacă invizibilitatea punctelor sale este 0 (figura 1).

Se presupune că poligoanele din reprezentare nu se întrepătrund. Atunci o linie își schimbă invizibilitatea cantitativă dacă trece prin spatele unei linii de contur.

O linie de contur este o muchie comună unei fețe de spate și a uneia frontale. Se presupune că toate poligoanele au normală la suprafață orientată spre exteriorul corpului. Un poligon de spate este identificat printr-un produs scalar pozitiv între normală la suprafață și vectorul ce porneste din centrul proiecției la un punct oarecare al poligonului. În figura 4.10 (a)  $AB, CD, DF, KL$  sunt linii de contur, iar  $CE, EF, JK$  nu sunt linii de contur.

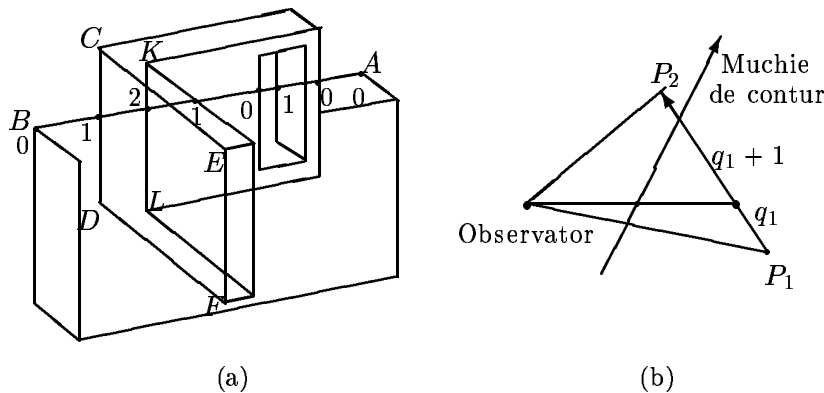


Figura 4.10: (a) Definirea liniilor de contur în algoritmul Appel (b) Schimbarea invizibilității cantitative

O linie de contur trece prin fața unei muchii dacă străpunge triunghiul format de capetele muchiei și ochiul observatorului (figura 4.10.b). Se aplică testul punct interior unui triunghi.

Într-un prim pas al algoritmului, se elimină muchiile care aparțin unor fețe total invizibile (poligoane de spate). În pasul al doilea se determină liniile de contur. Apoi se determină invizibilitatea cantitativă a vârfurilor.

Pentru determinarea vizibilității vârfurilor se consideră un vârf inițial care se proiectează pe toate fețele poligonale ale reprezentării. Se rețin doar proiecțiile interioare fețelor. Numărul proiecțiilor mai apropiate de observator decât vârful studiat indică invizibilitatea cantitativă a acestuia. Această valoare se propagă de-a lungul unei muchii, fiind modificată la trecerea prin spatele unei linii de contur. Când se atinge capătul final al unei muchii, invizibilitatea cantitativă asociată (emanată prin muchie) devine invizibilitatea cantitativă a tuturor liniilor care pornesc din respectivul punct.

În propagarea invizibilității cantitative apar probleme la vârfurile liniilor de contur care sunt comune mai multor fețe frontale (de exemplu  $JK$  are invizibilitatea cantitativă 0, iar  $KL, 1$ ). Această schimbare poate rezulta dintr-un test

suplimentar al muchiei față de laturile care împart vârful.

Aplicație. Se consideră o reprezentare poliedrală prin triunghiuri. Multimea liniilor de contur (conturul aparent) este multimea segmentelor care au ambele capete vizibile și sunt laturi ale unor fațete triunghiulare cu două vârfuri vizibile și unul invizibil. Segmentele din conturul aparent se pot depista ușor după parcursarea algoritmului spațiu-obiect incomplet pe baza consultării zonei atributelor de vizibilitate. Se observă că, în cazul când ambele capete ale unui segment oarecare au același atribut de vizibilitate, numărul intersecțiilor cu conturul aparent este par, iar atunci când atributurile sunt diferite, impar. Fiecare față este descrisă prin coordonatele celor trei vârfuri și proiecțiile lor. Pentru fiecare fațetă se parcursă laturile acesteia și pentru fiecare latură, numită latură curentă se parcurge din nou corpul, fațetă cu fațetă. Pentru fiecare fațetă parcursă, dacă are două vârfuri vizibile și unul invizibil, atunci latura fațetei cu două capete vizibile face parte din conturul aparent și este numită segment curent. Se proiectează latura curentă și segmentul curent pe planul de proiecție. Se calculează intersecția dintre dreapta suport a laturii curente proiectate și dreapta suport a segmentului curent proiectat. Dacă intersecția se află între extremitățile laturii curente proiectate cât și ale segmentului curent proiectat, atunci se stochează coordonatele intersecției. Se ordonează intersecțiile obținute, pornind de la un capăt (ales arbitrar ca origine a laturii curente) către celălalt. Se obțin astfel anumite intervale pe latura curentă. Se consideră intervalul dintre prima extremitate a laturii curente și prima intersecție. Pe acest interval latura se consideră vizibilă dacă extremitatea laturii este vizibilă și invizibilă în caz contrar. Această informație se reprezintă printr-o variabilă numită atribut de vizibilitate al intervalului (care are două valori, 0 și 1, la fel ca atributul punctului). Până la epuizarea intervalelor, se trasează sau nu intervalul după cum precizează atributul de vizibilitate al intervalului, apoi se complementează atributul de vizibilitate față de 1.

#### 4.2.4 Algoritmi spațiu-imagine

Algoritmul tamponului de adâncime

Algoritmul z-buffer sau al tamponului de adâncime (algoritmul Catmull) este destinat eliminării suprafeteelor ascunse și este unul dintre cei mai simplii algoritmi de vizibilitate. Oferă avantajul de a putea trata suprafete strâmbă (cuadrice, suprafete parametrice bicubice). Dezavantajul constă în necesarul de memorie pentru funcționarea eficientă. Pentru o rezoluție de  $512 \times 512$  și o reprezentare a valorilor  $z$  pe 4 octeți, necesarul de memorie depășește 1Mo. Numărul de elemente ale matricii-tampon (z-buffer-ului) este același cu numărul de intrări ale zonei tampon cadru (a frame-buffer-ului).

Procesul implicat este căutarea unui maxim pentru fiecare submulțime a unei mulțimi date. Mulțimea dată este cea a tuturor suprafeteelor elementare a căror reuniune descrie suprafața corpului de observat. Submulțimile sunt constituite din suprafetele elementare care au aceeași imagine pe ecran. Z-buffer-ul servește la stocarea valorilor maxime temporar depistate pentru o

submulțime, pentru ca în final să conțină maximele căutate.

Generarea  $z$ -buffer-ului se poate realiza odată cu conversia scan a obiectului. În timpul baleierii, dacă punctul primitivei care este convertită este mai apropiat de observator decât punctul a cărui culoare și adâncime sunt momentan înscrise în tampoane, atunci culoarea și adâncimea noului punct sunt înscrise peste vechile valori în frame-buffer, respectiv  $z$ -buffer. Astfel  $z$ -buffer-ul și frame-buffer-ul înregistrează informația asociată cu cel mai mare  $z$  întâlnit la un moment dat pentru fiecare  $(x, y)$ .

Etapele algoritmului  $z$ -buffer-écran pentru o reprezentare poliedrală sunt următoarele:

- (a) se creează o matrice, fiecărui pixel corespunzându-i un element din matrice, numită  $z$ -buffer-écran; se initializează  $z$ -buffer-ul la o valoare foarte mică pe care suntem siguri că  $z$ -tul punctelor corpului nu o pot atinge și se initializează ecranul la valoarea de intensitate corespunzătoare fondului.
- (b) pentru fiecare fațetă poligonală se transpune poligonul astfel: pentru fiecare punct-pixel de coordonate  $(q, w)$  din interiorul sau de pe frontieră proiecției poligonului:
  1. se reține cota  $z$  a punctului care are pe ecran proiecția în pixelul  $(q, w)$ ;
  2. se compară  $z$  cu  $z(q, w)$ , valoarea existentă în  $z$ -buffer la linia  $w$ , coloana  $q$ . Dacă este mai mare (punctul este mai apropiat de observator) scrie  $z$  în  $z$ -buffer la linia  $w$  și coloana  $q$  și aprinde pixelul  $(q, w)$  conform informației de culoare sau umplere a poligonului curent.

#### Algoritmul liniei de baleaj

Algoritmul scan-line operează în spațiul-imagine creând imaginea linie cu linie. Diferența față de algoritmul de conversie scan constă în faptul că se tratează o mulțime de primitive, nu numai una singură.

Se consideră o reprezentare poliedrală. Se ține o gestiune a intersecțiilor și a proiecțiilor muchiilor și poligoanelor pe  $xOy$  prin:

1. o listă a muchiilor ET (edge table). Intrările în tabel sunt sortate în grupuri pe baza coordonatei  $y$  cea mai mică a laturii și, intrările unui grup, pe baza coordonatelor  $x$  ale punctului de căpăt cu  $y$  minim, iar intrările cu același punct de minim, în ordinea crescătoare a  $x$ -ilor corespunzător celuilalt capăt (cu  $y$  maxim). Fiecare intrare conține:
  - (a) coordonata  $x$  a extremității cu cel mai mic  $y$ ,
  - (b) coordonata  $y$  a celuilalt capăt (maximă),
  - (c) incrementul în  $x$ , inversul pantei muchiei, utilizat în saltul de la o linie de baleaj la alta,
  - (d) codul de identificare al poligonului care conține muchia (o muchie apare de mai multe ori în listă, corespunzător fiecărui poligon);
2. o listă a poligoanelor PT (polygon table). Intrarea corespunzătoare unui poligon conține informațiile:

- (a) codul de identificare,
  - (b) coeficienții ecuației planului suport,
  - (c) informații privind culoarea sau umplerea poligonului,
  - (d) o variabilă de stare, initializată de-a lungul procesului de baleaj, care indică poziția poligonului relativă la linia de baleaj (aceasta se află în interior sau exterior poligon);
3. o listă a muchiilor active AET (active edge table) ține evidența muchiilor intersectate de linia de baleaj în ordinea crescătoare a  $x$ -ilor corespunzători intersectiilor.

Primul pas al algoritmului constă în crearea primelor două liste. Apoi se baleiază ecranul linie cu linie. Pentru fiecare linie, se crează lista muchiilor active și se ordonează intersectiile în aceasta. Se parcurge pixel cu pixel linia curentă. Pentru fiecare pixel se compară abscisa curentă cu intersectiile din al treilea tabel. Dacă abscisa corespunde unei intersecții, atunci:

1. se identifică poligonul, se modifică variabila de stare prin complementare (presupunem 1=în intersecție, 0=afară);
2. se testează variabilele de stare:
  - (a) dacă o singură variabilă are valoarea 1, linia de baleaj taie în acel punct proiecția unui singur poligon și valorile corespunzătoare umplerii poligonului se trec în frame-buffer;
  - (b) altfel, se calculează pentru fiecare poligon cota  $z$  din ecuația planului (din PT). Se aprinde pixelul conform informațiilor corespunzătoare poligonului celui mai apropiat ( $z$ -ul cel mai mare în ipoteza observatorului la  $z$  pozitiv).

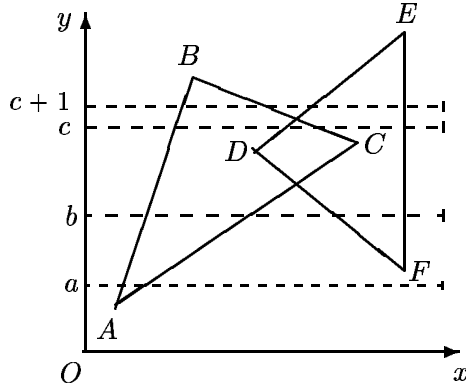


Figura 4.11: Algoritmul scan-line

Se consideră cazul celor două poligoane din figura 4.11, pentru care

$$ET = (AB, AC, FD, FE, DE, CB),$$

$$PT = (ABC, DEF).$$

Lista muchiilor active variază astfel:

$$AET = \begin{cases} (AB, AC), & y = a, \\ (AB, AC, FD, FE), & y = b, \\ (AB, DE, CB, FE), & y = c, \\ (AB, CB, DE, FE), & y = c + 1. \end{cases}$$

Când linia de baleaj cu  $y = a$  intersectează  $AB$ , variabila de stare a poligonului  $ABC$  se schimbă. Fiind o unică intersecție, intersecția dintre poligon și linia de baleaj este vizibilă. La intersecția cu  $AC$ , variabila de stare este complementată. Înainte de trecerea la noua linie de baleaj se actualizează AET. La  $y = b$  există două poligoane care se intersectează cu linia de baleaj, dar la un moment dat doar un poligon este vizibil. La  $y = c$  și intersecția cu  $DE$ , două poligoane au variabila de stare setată. Se evaluează  $z$  din ecuația planelor pentru  $y = c$  și  $x$  corespunzător intersecției. În cazul dat,  $z$ -ul poligonului  $DEF$  este mai mare, deci punctul este vizibil și determină caracteristicile pixelului. Dacă poligoanele se întrepătrund, algoritmul este modificat pentru a determina punctele de penetrație în linia de baleaj (liste noi ET, PT și AET).

#### Algoritmi de subdivizare a ariilor în arii elementare

Se consideră o reprezentare poliedrală. Se presupune că poligoanele nu se întrepătrund. O arie elementară este o zonă a imaginii în care se poate determina ușor care poligon dintr-o mulțime dată este vizibil.

Algoritmii bazăți pe subdivizarea ariilor utilizează o strategie divide-et-impera. Prin împărțirea imaginii în zone de arie din ce în ce mai mică se caută obținerea de zone în care să se situeze cel mult o muchie a unui poligon din rețea. Divizarea se oprește cel târziu în stadiul în care elementul de arie devine un pixel.

În algoritmul Warnock fiecare arie este divizată în patru arii de mărimi egale. În fiecare etapă a procesului recursiv, proiecția fiecărui poligon se află, relativ la aria de interes, în una din următoarele situații (figura 4.12.a):

- conține aria de interes;
- intersectează aria;
- este inclus în arie;
- este disjunct ariei.

În procesul recursiv, aria de interes este tratată astfel:

1. dacă aria nu conține nici un poligon, atunci este afișată culoarea de fond;
2. dacă există un singur poligon cu care se intersectează sau care este conținut în arie, atunci aria este colorată inițial cu culoarea fondului și apoi partea poligonului conținută în arie este convertită prin baleiere;
3. dacă există un singur poligon înconjurător, dar nu și poligoane intersectate sau poligoane conținute, atunci aria este umplută cu culoarea poligonului;
4. cazul contrar este cel al mai multor poligoane intersectate, conținute sau înconjurătoare. Algoritmul impune divizarea ariei până când există un poligon înconjurător care se află în fața celorlalte poligoane, întreaga arie fiind umplută cu culoarea acestuia.

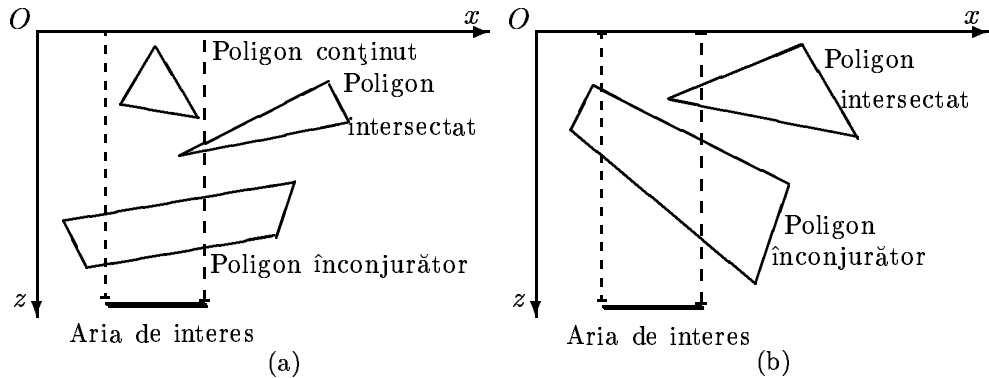


Figura 4.12: Două situații de înconjurare a ariei de interes în algoritmul Warnock

Testul de poligon frontal (cazul 4) se realizează calculând coordonatele  $z$  ale punctelor din planurile de sprijin ale poligoanelor în vârfurile  $(x, y)$  ale ariei. Dacă poligonul înconjurător are valorile  $z$  cele mai mari, se consideră poligon aflat în fața celorlalte (figura 4.12.a). În situația din figura 4.12 (b), deși poligonul intersectat se află de partea opusă planului poligonului înconjurător, algoritmul cere divizarea ariei până când poligonul înconjurător are valorile  $z$  cele mai mari sau se întâlnesc cazurile 1, 2 sau 3.

În figura 4.13 se consideră un exemplu de subdivizare (triunghiul se află în fața dreptunghiului). Numerele înscrise în pătrate se referă la cazurile mai sus menționate.

1	2	1	1
2	2	2	1
2	2	4	3
2	2	4	3
1	2	2	2
1	1	1	1

Figura 4.13: Exemplu pentru algoritmul Warnock

Algoritmul operează în spațiul obiect, cu excepția conversiei scan. Cea mai mică arie este pixelul. La o rezoluție de  $1024 \times 1024$  sunt necesare cel mult zece

nivele de subdivizare.

În algoritmul Weiler-Atherton subdivizarea ecranului este realizată de-a lungul frontierei poligoanelor (în locul dreptunghiurilor din algoritmul Warnock). Algoritmul este asociat cu o metodă de clipping. Primul pas constă în sortarea poligoanelor funcție de valoarea  $z$  cea mai mare. Poligonul cel mai apropiat de observator este utilizat în procesul de decupare al celorlalte poligoane, rezultând două liste conținând părți ale acestora situate în interiorul, respectiv exteriorul proiecției primului poligon. Poligoanele din lista de interior se află, teoretic, în spatele poligonului și, deci, trebuie sărse, fiind invizibile. Dacă un poligon din lista de interior este mai apropiat decât poligonul de decupare, sortarea inițială nu oferă o ordine corectă a priorităților. Un asemenea poligon frontal este procesat recursiv pentru decupare față de părțile aflate în lista de interior. Când divizarea recursivă este terminată, algoritmul continuă procesarea poligoanelor din lista de exterior. Decuparea este realizată cu o copie a poligonului inițial și nu cu fragmentele acestuia, procesul de decupare fiind mai puțin costisitor. Algoritmul utilizează o stivă pentru a trata cazurile de suprapunere, ca cel din figura 4.14. Stiva conține o listă a poligoanelor care sunt poligoane curente de decupare, dar a căror utilizare a fost întreruptă datorită subdiviziilor recursive. Dacă un poligon din lista de interior se află în fața poligonului de decupare, el este căutat în stivă. Dacă este găsit în stivă, nu mai sunt necesare alte recursii, deoarece toate bucățile de poligon din interiorul poligonului aflat în spate au fost deja eliminate.

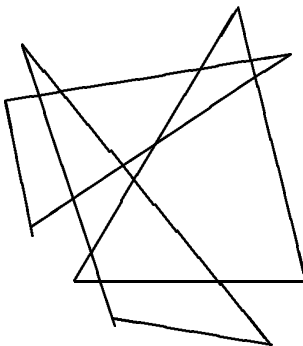


Figura 4.14: Suprapunerea a trei poligoane ce conduce la un ciclu infinit în algoritmul Weiler-Atherton fără stivă

Algoritmul Encarnacao al rețelei de explorare se aplică la suprafețele curbe care sunt definite ca rețele de linii. Fragmentele (careurile) suprafețelor curbe sunt specificate numai prin cele 4 vârfuri ale lor, iar liniile drepte sunt folosite pentru a defini muchiile lor. Numele algoritmului derivă din faptul că o rețea rectangulară bidimensională de linii, numită rețea de explorare, este suprapusă pe planul-imagine al suprafețelor. Se constituie o listă de fragmente de suprafață pentru fiecare arie a rețelei de explorare. Dacă în careu se află

prea multe elemente de suprafață se descompune careul de rastru în patru subcareuri. Testele mimimax sunt folosite pentru a stabili care arii de explorare vor fi suprapuse de un fragment specific de suprafață. Imediat ce s-a terminat preselectarea (constituirea listei), se execută algoritmul principal de vizibilitate. Un segment de linie este rupt într-un sir de puncte de test, spațiate în mod egal între vârfuri. Fiecare punct este testat pentru vizibilitate față de fragmentele de suprafață care se află în interiorul aceleiași arii de explorare cu punctul de testare. Ori nici un fragment din suprafață nu acoperă punctul de testare, în care caz punctul de test este vizibil, ori cel puțin un fragment acoperă punctul de testare, în care caz este invizibil (se compară coordonata  $z$  a punctului de test cu coordonatele  $z$  ale planurilor asociate fiecărui fragment de suprafață din lista asociată ariei curente de explorare). Dacă toate punctele care se află de-alungul muchiei fragmentului sunt vizibile, întreaga muchie se trasează. Dacă se constată că unele puncte sunt invizibile, sunt trasate numai acele secțiuni ale muchiei fragmentului care se află între punctele vizibile de test.

#### Algoritmul drumului optic

Algoritmul ray-tracing determină vizibilitatea suprafețelor trasând o rază imaginară de lumină de la ochiul observatorului la obiectele din scenă. Sunt date un centru al proiecției (ochiul observatorului) și o fereastră într-un plan arbitrar.

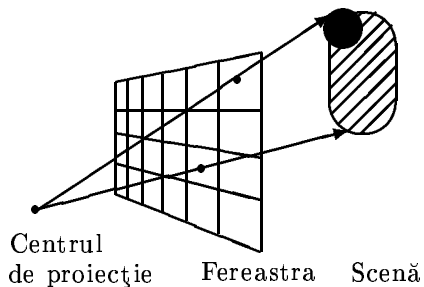


Figura 4.15: Algoritmul drumului optic

Fereastra este divizată într-o grilă dreptunghiulară ale cărei elemente corespund pixelilor din imaginea finală. Pentru fiecare element al grilei din fereastră, raza vizuală este trasată de la centrul proiecției prin centrul elementului spre scenă (figura 4.15). Pixelul corespunzător elementului se aprinde conform informațiilor obiectului care este intersectat primul (prototipul algoritmilor spațiu-imagine). Raza este definită parametric. Pentru fiecare obiect este necesară o reprezentare care permite determinarea cu usurință a intersecției cu raza.

Dacă algoritmul  $z$ -buffer calculează informația numai pentru acele obiecte care se proiectează pe pixel, algoritmul ray-tracing intersectează (teoretic) fiecare rază cu fiecare obiect al scenei. Algoritmul  $z$ -buffer aproximează obiectele ca mulțimi de valori  $z$  în lungul liniilor de proiecție ce intersectează obiectul, pe când algoritmul ray-tracing aproximează obiectele ca mulțimi de intersecții în lungul fiecărei linii de proiecție ce intersectează scena.

Problema principală asociată cu acest algoritm este timpul de calcul al intersecțiilor. Soluțiile acestei probleme sunt:

1. Optimizarea calculelor de intersecții. Pot fi utilizate volumele minime ce încadrează obiectele, poliedre convexe formate din intersecția unui set de "plăci" infinite, fiecare definită de o pereche de plane paralele care mărginesc obiectul (figura 4.16.a). Intersecția razei cu volumul este definită de intersecțiile razei cu plăcile de margine.

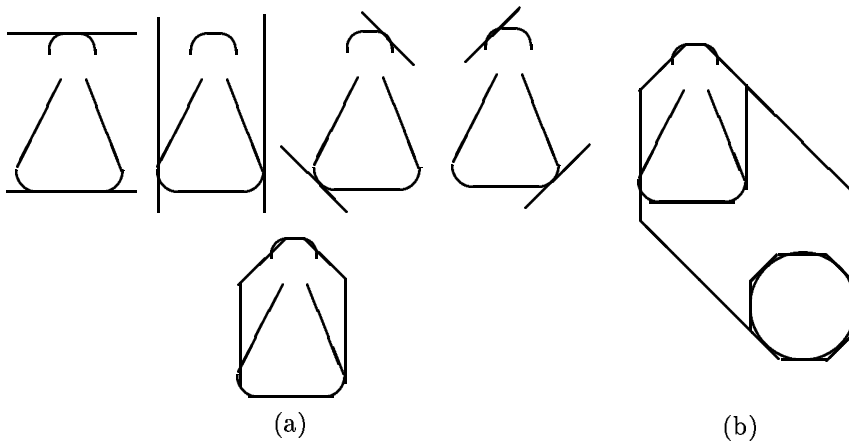


Figura 4.16: (a) Plăci infinite ce încadrează un obiect bidimensional (b) Ierarhia volumelor

2. Evitarea calculelor de intersecții. Se aplică o tehnică de preprocesare pentru partităionarea razelor și obiectelor în clase pentru a limita numărul de intersecții cerute, pe bază de:

- (a) ierarhie: volumele mărginite pot fi organizate într-o ierarhie cu obiectele scenei la nivelul inferior și volume mărginite ca noduri interne (figura 4.16.b). Un volum-fiu nu va intersecta o rază dacă volumul-tată nu o intersectează. Astfel testul de intersecție începe cu rădăcina și multe ramuri ale ierarhiei sunt respinse ușor. Procedura poate fi îmbunătățită printr-o evidență a intersecțiilor corespunzătoare unei raze.
- (b) partităionare: ierarhia volumelor mărginite organizează obiectele de jos în sus, iar partităionarea divide spațiul de sus în jos. Se determină prima dată volumul care mărginește scena. Acest volum este divizat

în subvolume egale, fiecărei partiții fiindu-i asociată o listă de obiecte pe care le conține parțial sau în întregime. Se vor căuta intersecțiile numai cu acele obiecte care se află în volumele prin care trece raza. În cazul intersecției unui corp cu raza este necesar testul de apartenență a punctului de intersecție la partitie (figura 4.17). Pentru a nu efectua intersecțiile unui corp cu raza de mai multe ori este necesară întreținerea unei liste a intersecțiilor funcție de obiect.

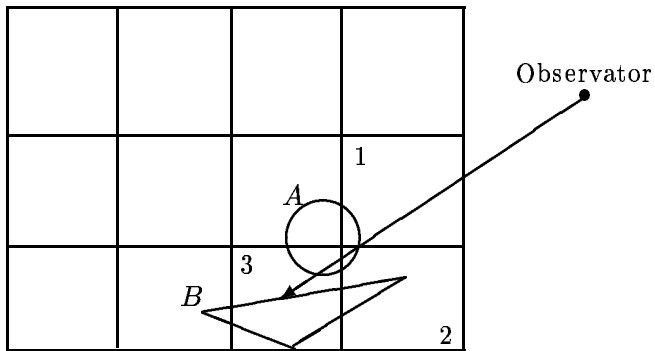


Figura 4.17: Divizarea volumului care mărginește scena

#### 4.2.5 Algoritmi hibrizi: algoritmi cu listă de prioritate

Algoritmii cu listă de prioritate determină ordinea vizibilității obiectelor. De exemplu, dacă nici un obiect nu se suprapune cu altul în extensiile după  $z$ , atunci este necesară doar o sortare a obiectului în ordinea crescătoare a lui  $z$  și trasarea lor în ordine. Poligoanele mai apropiate acoperă ulterior poligoanele mai îndepărtațe deja trasate. Dacă obiectele se suprapun în extensiile lor după axa  $z$  este necesară împărțirea lor în mai multe obiecte astfel încât ordonarea menționată să fie posibilă.

Un algoritm de acest tip este hibrid, deoarece combină operații în spațiul obiect cu operații în spațiul imagine. Comparările și împărțirea obiectelor se realizează cu precizie obiect. Conversia scan care permite rescrierea pixelilor este realizată cu precizie imagine. Deoarece lista obiectelor sortate este creată cu precizie obiect, se poate realiza o retrasare corectă la orice rezoluție.

##### Algoritmul de sortare în adâncime

Algoritmul de sortare în adâncime (depth-sort), cunoscut și sub numele de algoritmul pictural sau algoritmul Newell-Newell-Sancha, convertește poligoanele unei reprezentări poliedrale în frame-buffer în ordinea descrescătoare a distanței de la observator. Se parcurg trei etape:

- se sortează poligoanele conform ordinii crescătoare a valorii  $z$  celei mai mici a vârfurilor (sortare în spațiu-obiect);
- rezolvă orice ambiguitate cauzată de suprapunerea extensiilor  $z$  (comparare în spațiu-imagine) prin descompunerea poligoanelor la nevoie;
- se transpun prin baleaj, pe rând, poligoanele pe ecran, în ordinea crescătoare a celei mai mici coordonate  $z$ . Poligoanele îndepărtate sunt primele transpusе pe ecran. Cele mai apropiate le maschează prin suprascriere.

Compararea dintre două poligoane presupune cinci nivele de testare (eliminatorii). Dacă extinderile  $z$  a două poligoane consecutive  $P_1$  și  $P_2$  din lista sortată se suprapun, atunci:

- (1) Se compară extinderile după  $x$ . Dacă sunt disjuncte, poligoanele nu se suprapun;
- (2) Se compară extinderile după  $y$ . Dacă sunt disjuncte, poligoanele nu se suprapun;
- (3) Se testează dacă  $P_1$  este în partea opusă observatorului față de planul lui  $P_2$ . Se determină ecuația planului lui  $P_2$ . Planul împarte spațiul în 2 zone. Dacă  $P_1$  este în întregime în zona mai îndepărtată, atunci este transpus primul pe ecran;
- (4) Se testează dacă  $P_2$  este de aceeași parte cu observatorul față de planul lui  $P_1$ . Se determină ecuația planului lui  $P_1$ . Dacă  $P_2$  se află în întregime în zona mai apropiată de observator,  $P_1$  este transpus pe ecran;
- (5) Dacă primele patru teste nu au succes, se presupune că  $P_1$  îl maschează pe  $P_2$  și  $P_2$  trebuie trasat înaintea lui  $P_1$ . Se interschimbă poziția în listă și se repetă testele (3) și (4).

Dacă cele cinci teste eşuează, se compară proiecțiile celor două poligoane. Se calculează intersecțiile latură cu latură ale celor 2 proiecții. Dacă cel puțin una din intersecții este simultan inclusă în laturile ambelor poligoane, atunci poligoanele se suprapun, se determină intersecția celor două poligoane și fiecare poligon este înlocuit în listă prin poligoanele componente. În caz contrar, poligoanele nu se mashează unul pe altul și se transpun pe ecran în oricare ordine.

### 4.3 Iluminare și umbre

Pentru ca imaginea să fie cât mai realistă este utilă simularea iluminării obiectului precizând:

1. sistemul de surse luminoase cu care se face iluminarea (tipul surselor, poziția acestora în sistemul de referință adoptat),
2. caracteristicile optice ale suprafețelor. Există astfel:
  - (a) zone mate, care dispersează lumina reflectând-o în multe direcții;
  - (b) zone scliptoare, care reflectă lumina numai după anumite direcții;
  - (c) zone transparente sau translucide cu fenomene de refracție și atenuare;
3. poziția relativă a suprafețelor corpului și a sistemului de surse luminoase.

Procesele de eliminare a suprafețelor ascunse și simulare a iluminării se pot desfășura simultan.

#### 4.3.1 Surse de lumină

Sursele de lumină pot fi punctiforme (punctuale) sau distribuite. Exemple de surse punctiforme sunt becurile cu incandescență, flăcările de dimensiuni mici. Ca exemplu de sursă distribuită se poate menționa tubul fluorescent. Sursele punctiforme produc un efect realist deoarece iluminarea unei suprafețe depinde de orientarea ei, mai precis de cosinusul unghiului dintre normala la suprafață în fiecare punct considerat pe aceasta și dreapta care unește punctul respectiv cu sursa. Iluminarea este mai puternică pentru suprafețe orientate perpendicular față de razele de lumină provenite de la sursă și scade odată cu înclinarea suprafețelor față de direcția luminii.

Pe lângă aceste tipuri de surse se pot întâlni situații în care obiectele sunt scăldate într-o lumină de intensitate în general moderată și care pare să vină din toate părțile - aceasta poartă numele de lumină ambiantă (produs al reflexiilor multiple de la suprafețele aflate în scenă). Este cea mai ușor de modelat deoarece iluminarea suprafețelor este constantă și independentă de orientarea lor. Imaginea formată depinde astfel numai de intensitatea luminii ambiante și de proprietățile suprafeței corpului modelat. Acest tip de iluminare nu produce o imagine realistă (muchiile de joncțiune ale poligoanelor cu aceleași proprietăți superficiale nu se pot distinge). În realitate este puțin probabil să se întâlnească situații în care un anumit corp să se afle numai în lumina ambiantă.

Dacă sursa se află la o distanță suficient de mare de obiectul iluminat pentru ca razele incidente să fie considerate paralele între ele, iluminarea este paralelă. Prin acest procedeu poate fi modelată mai bine lumina solară. Pentru precizarea unei surse de lumină paralelă sunt suficiente intensitatea inițială, direcția și sensul de iluminare. Dacă în cazul iluminării cu surse punctiforme, distanța la sursă este o informație importantă, în cazul iluminării paralele influența ei devine nesemnificativă, intensitatea fiind practic invariantă cu distanța de la sursă.

Variatiile intensității luminoase pe suprafața unui obiect oferă informații importante cu privire la forma suprafeței respective. Informații suplimentare pot fi obținute prin analiza umbrelor pe care elemente ale corpului modelat le aruncă asupra unui fundal al imaginii sau asupra altor elemente ale acelaiași corp.

#### 4.3.2 Modele de iluminare

Ecuția iluminării variază în funcție de tipul sursei luminoase.

Lumina mediului înconjurător (lumina ambiantă) se răspândește egal pe toate suprafețele și în toate direcțiile, astfel încât ecuația iluminării este

$$I = I_a k_a$$

unde  $I$  este intensitatea rezultată,  $I_a$  este intensitatea luminii ambiante, constantă pentru fiecare obiect, iar  $k_a$  este coeficientul de reflexie ambiantă, procentul în care suprafața reflectă lumina ambiantă (între 0 și 1), caracteristică a materialului.

În cazul reflexiei difuze (reflexia lambertiană), se consideră obiectul luminat de o sursă punctuală de lumină a cărui raze emană uniform în toate direcțiile ce pornesc de la un singur punct. Suprafețele mate au proprietatea de a împrăștia lumina incidentă, prin reflexie difuză, în mod aproximativ egal după toate direcțiile posibile. Oriunde să ar afla observatorul, o aceeași placă va avea o imagine de strălucire constantă. Intensitatea luminii reflectate de o anumită fațetă din reprezentarea poliedrală a unui corp este independentă în acest caz de poziția observatorului. Ea depinde numai de unghiul  $\theta$  dintre direcția  $L$  de la sursa de lumină și normala la suprafață  $N$  (figura 4.18.a). Fațetele luate după o direcție mai apropiată de normală vor reflecta lumina cu intensitate mai mare.

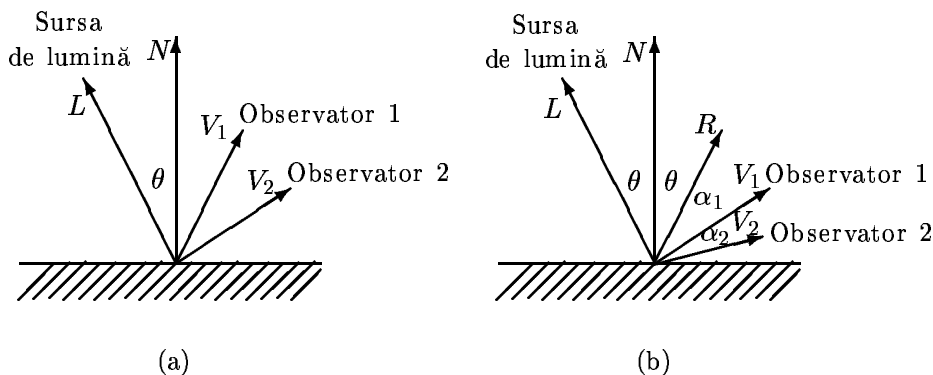


Figura 4.18: Iluminare (a) reflexie difuză (b) reflexie speculară

Intensitatea luminii reflectate se exprimă după legea reflexiei cosinus:

$$I = I_p k_d \cos \theta,$$

unde  $I$  este intensitatea luminii reflectate,  $I_p$  este intensitatea sursei de lumină punctuală, iar  $k_d$  este un coeficient care depinde de natura și proprietățile optice ale materialului ce produce reflexia difuză, numit coeficient de reflexie difuză (între 0 și 1). Dacă  $L$  și  $N$  sunt vîsorul direcției de propagare a luminii (raya incidentă) și, respectiv, vîsorul normalei la fațetă, atunci are loc egalitatea  $I = I_p k_d (L \cdot N)$ . Această relație nu ține seama de variația intensității luminoase în raport cu distanța la sursă. Astfel, proiecțiile a două suprafețe paralele de material identic se pot suprapune într-o imagine uniformă. Pentru o sursă punctiformă ideală, intensitatea luminoasă este invers proporțională cu pătratul distanței  $R$  dintre sursă și punctul în care se măsoară această intensitate. În majoritatea situațiilor reale, obiectele observate sunt scăldate și în

lumină ambiantă, astfel încât ecuația iluminării este:

$$I = I_a k_a + (1/R^2) I_p k_d \cos \theta.$$

Sunt situații în care observatorul se află față de sursă la o distanță mult mai mică decât sursa luminoasă, ceea ce face ca influența lui  $R^2$  să fie exagerată și imaginea nerealistă. Astfel, reprezentările cele mai realiste se obțin folosind formula

$$I = I_a k_a + I_p k_d \cos \theta / (d + D),$$

unde  $d$  este o cotă care dă depărtarea relativă a fațetei considerate de sursă (pentru cea mai apropiată fațetă față de sursă  $d$  se poate lua 0).  $D$  este termenul de atenuare și este un număr suficient de mare, astfel ales încât variația lui  $d$  pe domeniul său să provoace variația lui  $I$  în limitele dorite. Mai general,

$$I = I_a k_a + f_{at} I_p k_d \cos \theta,$$

unde  $f_{at}$  este factorul de atenuare. Lumina colorată este tratată scriind ecuațiile separat pentru fiecare componentă a modelului de culoare. Cele trei componente primare ale luminii  $I_{pR}$ ,  $I_{pG}$ ,  $I_{pB}$  sunt reflectate în proporțiile  $k_d O_{dR}$ ,  $k_d O_{dG}$ ,  $k_d O_{dB}$ . De exemplu, pentru componenta roșie ecuația iluminării este

$$I_R = I_{aR} k_a O_{dR} + f_{at} I_{pR} k_d O_{dR} \cos \theta.$$

Reflexia speculară (selectivă) este asociată cu suprafețele lucioase. Se consideră, de exemplu, un glob roșu metalizat din pomul de iarnă, sau un măr lustruit, iluminat cu o sursă punctiformă. Pe suprafața acestora se pot distinge zone de roșu închis, care reflectă lumina mai puțin intens, zone care reflectă lumina cu un roșu intens, precum și o mică zonă care apare albă și pare o sursă de lumină de aceeași natură cu lumina incidentă aflată pe suprafața obiectului. La schimbarea poziției observatorului pată de lumină își schimbă și ea poziția pe suprafața corpului. Această pată este produsul reflexiei selective sau speculare, în timp ce intensitățile provenind de la celelele puncte de pe suprafața corpului sunt rezultatul reflexiei difuze.

Reflexia selectivă se produce deoarece suprafețele nete de și lustruite reflectă lumina în mod egal. O suprafață perfect lucioasă (o oglindă perfectă) reflectă lumina numai după direcția din planul de incidentă pentru care unghiul de reflexie este egal cu cel de incidentă (în direcția  $R$ , simetrică lui  $L$  față de  $N$  din figura 4.18.b). Se consideră  $\alpha$  unghiul dintre direcția de observare  $V$  și direcția de reflexie speculară  $R$ .

Suprafețele pot fi și oglinzi imperfecte (de exemplu, obiectele din vinilin). Pentru astfel de suprafețe intensitatea reflexiei speculare scade brusc odată cu creșterea diferenței dintre unghiul de reflexie real și unghiul de incidentă. Modelul empiric de simulare a reflexiei speculare presupune descreșterea intensității luminoase proporțional cu  $\cos^m |\alpha|$  unde  $m$  este un număr natural nenul, care depinde de natura suprafeței iluminate, exponentul de reflexie speculară al materialului (de la 1 la ordinul sutelor). Pentru o oglindă perfectă,  $m \rightarrow \infty$ , astfel încât intensitatea reflectată este maximă pentru  $\alpha = 0$ . Se introduce noțiunea

de factor de reflexie speculară, care este o funcție de unghiul de incidentă  $\theta$ ,  $S : [0, 90^\circ] \rightarrow [0, 1]$  și care arată ce fracție din intensitatea luminoasă incidentă este reflectată specular în cazul unei incidente  $\theta$ . Ecuatia iluminării este

$$I_\lambda = I_a k_a O_{d\lambda} + f_{at} I_p [k_d O_{d\lambda} \cos \theta + S(\theta) \cos^m |\alpha|],$$

unde  $\lambda = R, G, B$ .

Pentru simularea transparentei nerefractate se utilizează două metode:

1. transparentă interpolată: dacă poligonul transparent 1 se intercalează între observator și poligonul opac 2, ecuația iluminării este

$$I_\lambda = (1 - k_{t1}) I_{\lambda 1} + k_{t1} I_{\lambda 2},$$

unde  $k_{t1}$  este coeficientul de trasparență al poligonului 1 (între 0 și 1). Dacă  $k_{t1} = 0$ , poligonul este opac și nu transmite lumină. Dacă  $k_{t1} = 1$ , poligonul este perfect transparent. Valoarea  $1 - k_{t1}$  desemnează opacitatea poligonului;

2. transparentă filtrată: poligonul 1 este un filtru transparent, astfel încât

$$I_\lambda = I_{\lambda 1} + k_{t1} O_{t\lambda} I_{\lambda 2},$$

unde  $O_{t\lambda}$  este transparenta culorii  $\lambda$  a poligonului 1.

### 4.3.3 Iluminarea reprezentărilor poliedrale

Metodele de modelare a iluminării reprezentărilor poliedrale cele mai des utilizate sunt următoarele:

1. metoda iluminării constante;
2. metoda interpolării intensității luminoase;
3. metoda interpolării normalei la suprafață.

În metoda iluminării constante intensitatea se calculează o singură dată pentru fiecare poligon, deci unui poligon îi este caracteristică în condițiile precizate de iluminare și observare o anumită intensitate, constantă pe toată suprafața sa. Există situații pentru care calculele de iluminare se pot face cu viteză foarte mare și anume cele în care direcțiile normalelor la fațetele corpului sunt în număr mic, fațetele fiind în număr relativ mare, dar grupate în clase de fațete paralele (situație des întâlnită în scene arhitecturale). Pentru fiecare direcție din scenă se calculează intensitatea corespunzătoare. Fațetele se sortează în clase după direcțiile normalelor. Dacă nu se ține cont de variația iluminării cu distanța la sursă, atunci fiecare clasă se transpune pe ecran cu intensitatea calculată pentru direcția reprezentativă clasei respective. Dacă se ține seama de variația iluminării cu distanța, atunci fațetele din fiecare clasă se sortează în subclase după distanța la sursă, intensitatea corespunzătoare fiecărei subclase calculându-se prin incrementare.

Pentru ca o situație de observare reală să dea o imagine de tip iluminare constantă, e nevoie să fie îndeplinite trei condiții:

- (a) suprafața poliedrală este chiar suprafața corpului reprezentat și nu o aproximare a acestuia;
- (b) observatorul este la infinit astfel încât  $\alpha$  să fie constant pentru fiecare suprafață poligonală;
- (c) sursa de lumină se află la infinit, ( $\theta$  constant pentru fiecare suprafață poligonală).

Datorită acestor condiții, mai ales a doua, situația este rar întâlnită în practică. Totuși, datorită simplității de calcul, metoda este cea mai folosită. Calculurile pentru fiecare poligon se fac într-un singur punct interior privilegiat al acestuia, de obicei centrul de greutate.

Principalul dezavantaj al iluminării constante este acela că muchiile fațetelor poligonale sunt accentuate artificial datorită efectului de bandă Mach. Astfel, dacă fațeta  $A$  este luminată, iar fațeta  $B$  umbrată, zona de muchie a fațetei  $A$  va apărea puternic luminată mărind contrastul cu fațeta  $B$  (deci scoțând muchia în evidență), iar zona de frontieră a fațetei  $B$  apare mai umbrată. În cazul imaginilor monocrome, când umbra și lumina sunt simulate prin densitatea de puncte, efectul este mai puțin sesizabil.

Metoda interpolării intensității luminoase dă rezultate calitativ superioare. Interpolarea vectorului de intensitate se face astfel:

- (a) se calculează normalele la fiecare poligon;
- (b) se calculează vectorii normali medii în fiecare vîrf al poliedrului, adică se calculează în fiecare vîrf media vesorilor direcțiilor normale la toate fațetele alăturate vîrfului;
- (c) se calculează în fiecare vîrf intensitățile locale, folosind normalele medii anterior calculate;
- (d) pentru fiecare linie de baleaj și pentru fiecare poligon se parcurg etapele următoare:
  - se calculează intensitățile locale în intersecțiile liniei de baleaj cu laturile poligonului (extremitățile segmentului de linie situat în poligon) prin interpolare liniară între valorile corespunzătoare vîfurilor ce mărginesc laturile respective;
  - pentru fiecare pixel de pe segmentul de linie de baleaj inclus în poligon se calculează intensitatea corespunzătoare prin interpolare liniară între valorile calculate la extremitățile segmentului, valorile obținute transpunându-se pe ecran.

De exemplu, pentru triunghiul din figura 4.19 intensitățile punctelor de pe linia de baleaj sunt:

$$I_a = I_1 - (I_1 - I_2) \frac{y_1 - y_p}{y_1 - y_2}, \quad I_b = I_1 - (I_1 - I_3) \frac{y_1 - y_p}{y_1 - y_3}, \quad I_p = I_b - (I_b - I_a) \frac{x_b - x_p}{x_b - x_a}.$$

Cele mai bune rezultate se obțin prin metoda interpolării normalei la suprafață. După ce se calculează normalele medii locale în toate punctele care modeleză corpul, se calculează, pentru fiecare segment de linie de baleaj conținut într-o fațetă, normalele în extremități prin interpolare între normalele medii locale calculate în capetele laturii pe care se află fiecare extremitate. Apoi

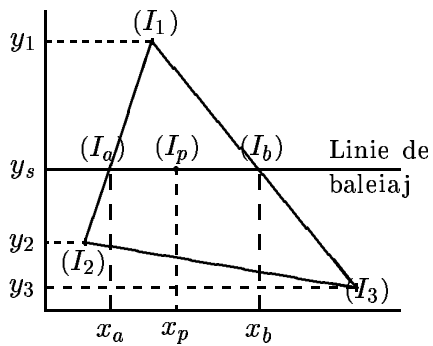


Figura 4.19: Interpolarea intensității luminoase

se interpolează normală într-un pixel de pe linia de baleiaj, între normalele calculate în extremități (relațiile sunt analoage celor din metoda descrisă anterior, intensitățile fiind înlăturate cu vectori). Calculele sunt complicate căci normalele calculate sunt mărimi vectoriale și deci interpolarea se face după cele 3 componente ale vectorului considerat în sistemul de referință  $xyz$ . Intensitatea este calculată numai după determinarea în fiecare pixel a normalei locale. Metoda nu este indicată atunci când display-ul este monocrom (când este necesară simularea intensității prin densitate de puncte).

#### 4.3.4 Umbre

Dacă iluminarea nu este frontală, atunci devin importante pozițiile surselor punctiforme și direcțiile după care se face iluminarea paralelă. Există posibilitatea ca părți vizibile ale corpului să nu fie iluminate, fiind umbrite de alte părți. Pentru reprezentarea corectă a umbrelor în cazul iluminării cu surse punctiforme, calculele de vizibilitate pentru corpul considerat se fac de două ori: din poziția observatorului și din poziția sursei. Pentru fiecare pixel se urmărește:

- dacă este văzut atât de sursă cât și de observator, atunci pixelul este vizibil și luminat de sursă;
- dacă nu se vede din poziția observatorului, atunci pixelul este invizibil;
- dacă se vede din poziția observatorului, dar nu se vede din poziția sursei, atunci este vizibil, dar umbrat.

Algoritmii pentru determinarea umbrelor, respectiv a vizibilității, sunt de fapt aceiași.

Cele mai des utilizate metode sunt următoarele:

1. Generarea scan a umbrelor. Pentru o reprezentare poliedrală, utilizând sursa de lumină drept centru al proiecției, laturile poligoanelor care potențial produc umbre sunt proiectate pe poligoanele care intersectează linia curentă de baleiaj. Când linia de baleiaj intersectează una din laturile acestor poligoane de umbră, culoarea imaginii este modificată

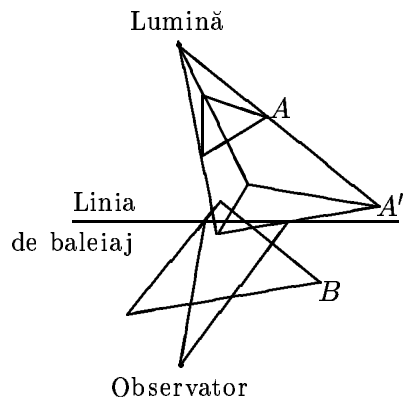


Figura 4.20: Poligonul  $A$  produce umbra  $A'$  în planul poligonului  $B$

(figura 4.20). O implementare brută a acestui algoritm presupune calculul proiecțiilor fiecărui poligon pe oricare alt poligon. Se poate introduce o fază de preprocesare în care toate poligoanele reprezentării sunt proiectate pe o sferă centrală în sursa de lumină. Perechile de proiecții ale căror extensii nu se suprapun pot fi eliminate.

2. Utilizarea algoritmilor spațiu-obiect cu două parcurgeri. Se determină în primul rând suprafetele vizibile din punctul de vedere al sursei de lumină, ieșirea fiind o listă de poligoane luminate, fiecare asociat cu numărul de identificare a poligonului din care provine. Se aplică apoi algoritmul din punctul de vedere al observatorului, utilizând o copie a bazei de date anterior create, rezultând în final o nouă listă de poligoane.
3. Utilizarea algoritmilor spațiu-imagine cu două parcurgeri (algoritmul  $z$ -buffer). În primul rând se construiește  $z$ -buffer-ul imaginii din punctul de vedere al sursei de lumină. Apoi  $z$ -buffer-ul și imaginea sunt modificate funcție de poziția observatorului. Când un pixel este determinat a fi vizibil coordonatele sale în spațiul obiect din punctul de vedere al observatorului,  $(x_o, y_o, z_o)$ , sunt transformate în coordonatele sursei de lumină  $(x'_o, y'_o, z'_o)$ . Coordonatele transformate,  $x'_o$  și  $y'_o$ , sunt utilizate pentru a selecta valoarea  $z_L$  din  $z$ -buffer-ul sursei de lumină. Dacă  $z_L$  este mai apropiat de lumină decât  $z'_o$ , atunci există ceva care blochează lumina de la sursă și pixelul este umbrit; altfel pixelul este vizibil din punctul de vedere al luminii, deci nu este umbrit.

## 4.4 Umplerea poligoanelor

Umplerea poligoanelor presupune, în primul rând, un algoritm pentru determinarea poziției unui punct relativ la un poligon (se testează dacă punct este sau nu în interiorul poligonului și în caz afirmativ, se aprinde, eventual cu o anumită culoare sau intensitate).

Fiecare algoritm de umplere poate fi logic descompus în următoarele:

1. metoda de propagare care determină următorul punct ce va fi tratat;
2. procedura de start care initializează algoritmul;
3. procedura de determinare a interiorului poligonului;
4. procedura de setare care schimbă starea pixelului.

Algoritmii de umplere se diferențiază funcție de următoarele două situații:

- umplerea se realizează odată cu trasarea poligonului;
- umplerea se realizează după ce poligonul a fost trasat.

În primul caz, problema principală este aceea de a defini interiorul și exteriorul. Problema nu este simplă dacă poligonul nu este convex.

Regula par-impar, menționată la algoritmii de determinare a liniilor și suprafețelor ascunse, este des utilizată pentru determinarea interiorului unui poligon. Se alege un punct oarecare din interiorul regiunii ce urmează a fi testat și o linie dreaptă ce pleacă din acel punct spre o direcție arbitrară și nu trece prin nici un vârf. Fie pe această dreaptă un segment delimitat de punct și altul oarecare ce nu aparține interiorului dreptunghiului ce încadrează figura. Dacă segmentul intersectează laturile poligonului de un număr impar de ori, regiunea este considerată de interior. În figura 4.21 (a) se prezintă regiunile interioare ale unui poligon concav.

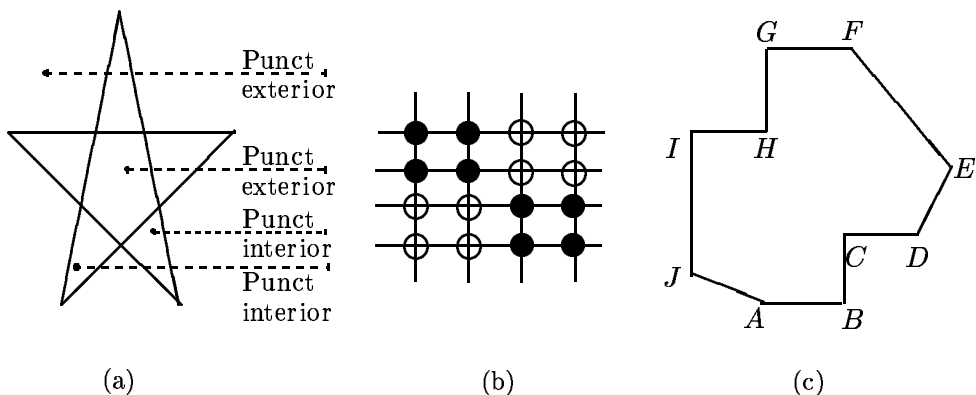


Figura 4.21: (a) Determinarea regiunilor interioare prin regula par-impar (b) Regiune 8-conexă în rastru (c) Exemplu pentru conversia scan

Tehnica par-impar este utilizată și în procesul de selectare a unui obiect cu ajutorul cursorului grafic.

În cazul umplerii unui poligon deja trasat, intervin o serie de probleme adiționale în implementarea algoritmilor. Aceste probleme sunt generate de structura discretă a frame buffer-ului. Una dintre acestea este determinarea laturilor unui poligon după ce acesta a fost deja figurat pe ecran. O altă problemă este determinarea interiorului.

O regiune din rastru este o colecție de pixeli. Există două tipuri de regiuni conexe. O regiune este 4-conexă dacă oricare doi pixeli ai regiunii pot fi uniți printr-o secvență de pixeli utilizând doar mutări în direcțiile sus, jos, stânga, dreapta. O regiune este 8-conexă dacă oricare doi pixeli ai regiunii pot fi uniți printr-o secvență de pixeli prin mișcările anterior menționate, plus cele pe diagonale. O regiune 4-conexă este 8-conexă, dar nu și reciproc (vezi colecția de pixeli aprinși din figura 4.21.b). O regiune poate fi definită în două moduri:

1. o regiune definită prin interior relativ la un pixel  $P$  este cea mai mare regiune conexă de pixeli a căror valoare din frame-buffer este aceeași cu a lui  $P$  și care conține pe  $P$ ;
2. o regiune definită prin frontieră relativ la un pixel de interior  $P$  și unul de frontieră  $Q$  este cea mai mare regiune conexă de pixeli a căror valoare nu coincide cu valoarea frontierei (valoarea lui  $Q$ ) și care conține pe  $P$  (interiorul poate conține pixeli de culori diferite).

Algoritmii care umplu regiunile definite prin interior sunt numiți algoritmi flood-fill, iar cei pentru regiunile definite prin frontieră, boundary-fill.

#### 4.4.1 Conversia scan a poligoanelor pline

Distinctia dintre interior și exterior este realizată la trecerea liniei de baleaj. Se presupune că inițial se pornește din afara oricărui poligon. Astfel după prima intersecție cu o latură, se trece de la exterior la interior. La a doua intersecție cu o latură a unui poligon se trece de la interior la exterior. Repetând acest procedeu, se observă că după un număr impar de intersecții, pixelii sunt în interior, iar după un număr par, în exterior (consecință a regulii par-impar). Prin convenție, laturile se consideră interioare poligonului.

Pentru fiecare linie de baleaj, algoritmul de umplere presupune:

1. determinarea intersecțiilor liniei de baleaj cu fiecare din laturile poligonului;
2. sortarea intersecțiilor în ordinea crescătoare a absciselor;
3. aprinderea pixelilor între perechi de intersecții care se află în interiorul poligonului pe baza parității în curs. Paritatea inițială este pară. Aprinderea pixelilor are loc numai dacă paritatea este impară. Paritatea se schimbă la intersecția laturilor poligonului.

La intersecția unui vârf ale cărui coordonate coincid cu centrul unui pixel, paritatea se schimbă, cu excepția cazului în care vârful are ordinata  $y$  maxim local.

Se consideră, de exemplu, poligonul din figura 4.21 (c). Se pornește de la latura de jos. Cum la  $A$ ,  $y$  este minim, iar  $AB$  coincide cu linia de baleaj, paritatea este impară și segmentul  $AB$  este trasat. Cum  $BC$  are  $B$  ca minim, paritatea devine, după  $B$ , pară. La vârful  $J$ , latura  $IJ$  are  $J$  ca minim pe axa  $y$ , dar nu și latura  $JA$ , astfel încât paritatea devine impară și intervalul de umplere începe cu  $J$ . Intervalul de umplere care pornește de la latura  $IJ$  și atinge  $C$  continuă, deoarece  $C$  este maxim local pe axa  $y$  (pentru  $BC$  și  $CD$ ). La  $D$ , minim local, paritatea se schimbă și intervalul de umplere este închis. La  $I$ , maxim local, paritatea rămâne și segmentul  $IH$  nu este umplut. La  $H$ ,

minim local, paritatea se schimbă și intervalul de umplere este deschis la  $H$  și închis la intersecția cu  $EF$ . În mod similar,  $GF$  nu este trasat.

Evidența mulțimii de laturi ce intersectează o linie de baleaj se realizează printr-o structură numită tabelul laturilor active (AET). Laturile din acest tabel sunt sortate după abscisele  $x$  ale intersecțiilor. La trecerea la o nouă linie de baleaj, se actualizează tabelul: se elimină laturile care nu mai intersectează linia de baleaj, se adaugă noile laturi intersectate și se calculează valorile absciselor pentru laturile care au rămas tabel, printr-un algoritm incremental. Pentru simplificarea operației de adăugare de laturi se creează un tabel al laturilor (ET) care conține toate laturile sortate după coordonatele  $y$  cele mai mici. Tabelul de laturi este constituit din mai multe subtabele corespunzătoare în număr cu numărul liniilor de baleaj. Fiecare sub tabel conține descrierea laturilor în ordinea crescătoare a absciselor  $x$  a punctelor ce se află pe linia de baleaj. Fiecare intrare a subtabelelor conține coordonata  $y$  maximă a laturii, coordonata  $x$  a capătului laturii cu  $y$  minim și incrementul lui  $x$  utilizat la trecerea de la o linie de baleaj la alta (1/pantă). În figura 4.22 se prezintă un exemplu sugestiv.

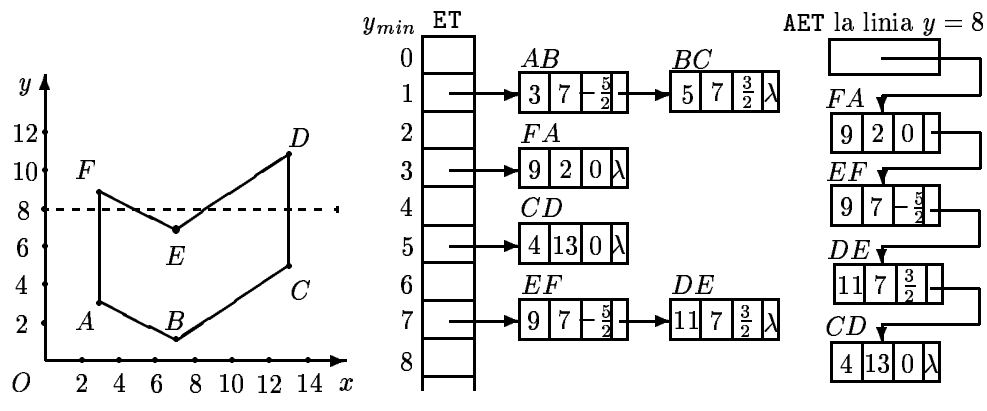


Figura 4.22: Tabele AET și ET pentru conversia scan a unei linii

#### 4.4.2 Algoritmi recursivi și pe bază de stivă

În cazul în care poligonul este deja trasat în rastru, se pot utiliza tehnicile recursive de umplere. Se presupune că se cunoaște un punct din interiorul poligonului. Dacă este aprins, atunci este pe o latură a poligonului. Se aplică tehnica par-impar pentru depistarea unui punct de interior care nu este pe nici o latură a poligonului. Dacă punctul interior considerat nu e aprins, se aprinde și se continuă algoritmul pentru cei patru (sau opt) pixeli vecini. Dacă pixelul curent este aprins, se renunță la apelul recursiv. Anumiți pixeli pot fi vizitați însă de mai multe ori. Pentru suprafețe mari, pot interveni probleme

de memorie – numărul mare de proceduri neterminate poate necesita o stivă sistem de dimensiune mare.

Un algoritm care evită problemele algoritmilor recursivi este cel care lucrează cu intervale de umplere. Aceste intervale sunt mărginite la ambele capete de pixeli de valoarea frontierei. Un interval este identificat prin pixelul său cel mai din dreapta. Se consideră un punct de interior cunoscut. Se umple intervalul continuu de pixeli ce conține punctul de start. Apoi linia de deasupra este examinată de la dreapta la stânga pentru a determina cel mai din dreapta pixel al intervalului. Adresa acestui pixel este memorată în stivă. La fel se procedează cu linia de sub cea umplută. În figura 4.23 se dă un exemplu: intervalul de umplere ce conține punctul de start este figurat în (a) (punctul de start este îngroșat). Adresele pixelilor numerotate sunt introduse în stivă. Numerele indică ordinea din stivă, 1 fiind procesat ultimul. Algoritmul se oprește când stiva este goală.

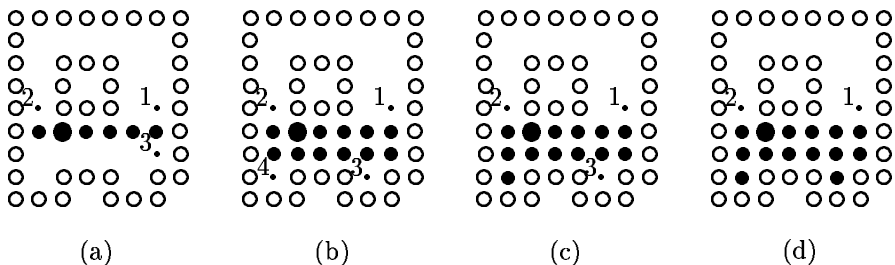


Figura 4.23: Pașii algoritmului de umplere pe bază de stivă

## 4.5 Culoare

Lumina acromatică este ceea ce se distinge pe ecranul unui televizor alb-negru. Cantitatea luminii (intensitatea, luminozitatea) este singurul atribut al luminii acromatice. Diferitelor niveluri de intensitate li se asociază anumiți scalari (0, negru, 1, alb, între 0 și 1, diferite scale de gri).

Pentru descrierea luminii cromatice se utilizează trei măsuri:

1. nuanța, care face diferenție între culorile fundamentale;
2. saturarea: culorile nesaturate includ mai multă lumină decât cele saturate.

De exemplu, roșu este saturat, roz este nesaturat relativ la roșu;

3. luminozitatea, care este intensitatea luminii percepute.

Culoarea poate fi specificată prin tente, tonuri și umbre. O tentă rezultă prin adăugarea unui pigment alb la un pigment de culoare pură, descrescând saturarea. O umbră se obține adăugând un pigment negru la culoarea pură, descrescând luminozitatea. Un ton este rezultatul adăugării atât a pigmentului

negră cât și a uneia albă la pigmentul pur. În figura 4.24 se prezintă relația dintre tente, umbre și tonuri.

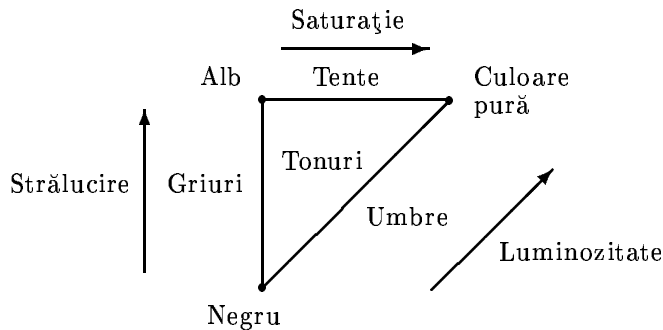


Figura 4.24: Relația dintre tente, umbre și tonuri

#### 4.5.1 Modele de culoare

Un model de culoare constă într-o specificare a unui sistem de coordonate tridimensionale și a unei multimi de coordonate, în sistemul dat, ale cărui elemente sunt culori.

Exemple:

1. Modelul RGB (Red-Green-Blue) este cubul unitate din sistemul de coordonate carteziene a cărui vârfuri au semnificațiile din figura 4.25 (a). Diagonala principală reprezintă nivelurile de gri. Acest model este utilizat la CRT color.
2. Modelul CMY (Cyan-Magenta-Yellow) este specificat printr-un cub asemănător și este utilizat la anumite imprimante color.
3. Modelul HSB (Hue-Saturation-Brightness, nuanță-saturație-strălucire) este bazat pe intuiția artistică pentru tente, umbre și tonuri (figura 4.24). Sistemul de coordonate este cilindric și subsetul din spațiu în care modelul este definit este o piramidă cu șase fețe (figura 4.25.b). Nuanța  $H$  este unghiul din jurul axei verticale, pornind de la roșu considerat  $0^{\circ}$ . Culorile complementare formează un unghi de  $180^{\circ}$ . Saturația  $S$  se măsoară de la axa verticală la laturile hexagonului. Valorile intermediare ale strălucirii  $V$  de la 0 la 1, pentru  $S = 0$ , corespund nivelurilor de gri. Adăugarea pigmentului alb corespunde descreșterii lui  $S$  fără schimbarea lui  $V$ . Umbrele sunt create păstrând  $S = 1$  și descrescând  $V$ . Tonurile sunt create descrescând atât  $S$  cât și  $V$ .
4. Modelul HLS (Hue-Lightness-Saturation, nuanță-luminozitate-saturație) este definit prin corpul din figura 4.25 (c).

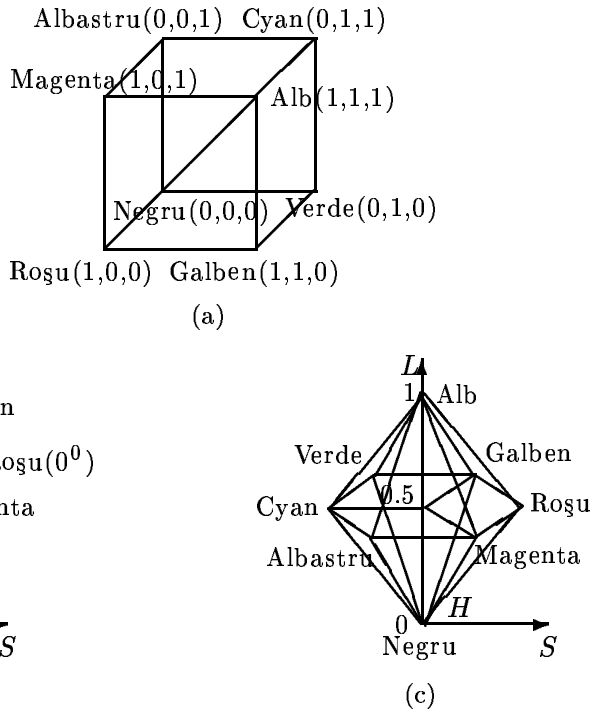


Figura 4.25: Modele de culoare (a) Modelul RGB (b) Modelul HSB (c) Modelul HLS

#### 4.5.2 Metoda tabelului de culori

Într-un sistem cu raster ce permite afișarea mai multor culori, numărul de biți necesari pentru reprezentarea unui pixel în frame buffer depinde de:

- numărul de culori disponibile,
- metoda de stocare a valorilor-culoare.

Tabelele de culoare pot fi structurate pentru a permite utilizatorului folosirea unor combinații de culori fără a cere o dimensiune mare a zonei tampon. Un exemplu concluziv este tabelul 4.1.

Când o culoare particulară este specificată într-un program aplicativ, valoarea binară corespunzătoare este stocată în frame buffer pentru fiecare pixel ce va fi afișat în acea culoare.

O altă metodă pentru stocarea codurilor de culoare a pixelilor (ce necesită o zonă tampon mai redusă ca dimensiune decât metoda anterioară) este cea a tabelului de celule-culori (color lookup table, lut). Valorile din zona tampon cadru reprezintă indici în tabelul de celule-culori. Presupunem că se rezervă câte 4 biți pentru informațiile de intensitate (adică avem 16 niveluri de intensitate) pentru fiecare dintre cele trei tunuri de electroni (roșu, verde, albastru). Spre deosebire de cazul tabelului 4.1, fiecare intrare în tabel utilizează

Cod culoare	Roșu	Verde	Albastru	Culoare afișată
0	0	0	0	Negru
1	0	0	1	Albastru
2	0	1	0	Verde
3	0	1	1	Cyan
4	1	0	0	Roșu
5	1	0	1	Magenta
6	1	1	0	Galben
7	1	1	1	Alb

Tabelul 4.1: Exemplu de tabel de culori

12 biți pentru specificarea unei culori, deci un total de  $16^3 = 4096$  culori diferite sunt disponibile. O referință de 6 biți din frame-buffer (limitare datorată dimensiunii memoriei video) permite accesarea a  $2^6 = 64$  de poziții în tabelul de celule.

Sistemele ce utilizează această tehnică permit utilizatorului să selecteze orice combinație de 64 de culori dintr-o paletă de 4096 de culori. Intrările în tabelul de celule pot fi schimbate oricând pentru a permite noi combinații de culori (schimbarea paletei de culori).

În figura 4.26 este schițată organizarea tabelului de celule pentru o referință de 8 biți. Pixelul de coordonate  $(x, y)$  ce are valoarea 67 în frame buffer este afișat pe ecran cu o culoare ce corespunde tunului roșu de electroni la 9/15 din maxim, cel verde la 10/15, iar cel albastru la 1/15.

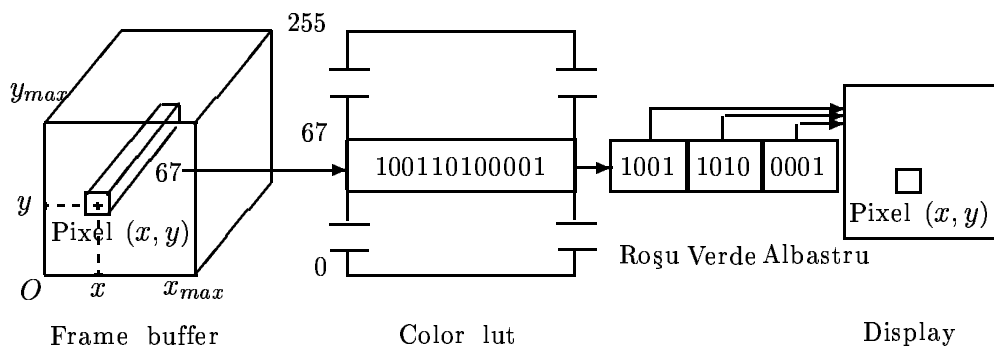


Figura 4.26: Tabelul de celule-culori pentru un sistem cu 8 biți per pixel

Utilizarea tabelului de celule poate crește puternic numărul opțiunilor de culori fără creșterea mărimii imaginii în memorie.

Sistemele cu culori de calitate înaltă utilizează 24 de biți pentru fiecare poziție în tabelul de celule și 9 biți per pixel în frame buffer. Astfel se permite se-

lectarea de către utilizator a 512 culori dintr-o gamă de aproximativ 16 milioane de culori-intrări ale tabelului de celule.

Pentru monitoarele care nu au capabilități privind culoarea, comanda de selectare a culorii poate fi utilizată în programele aplicative pentru a seta nivelul de intensitate, sau scala de gri. Numeroase aplicații utilizează valori numerice între 0 și 1 pentru a seta nivelurile scalei de gri. Un exemplu este prezentat în tabelul 4.2.

Intensitate	Valorile în frame buffer	Culoarea afișată
0.0	0 (00)	Negru
0.33	1 (01)	Gri închis
0.67	2 (10)	Gri deschis
1.0	3 (11)	Alb

Tabelul 4.2: Codificarea nivelurilor de gri

Stocarea nivelurilor de intensitate este similară cu stocarea codurilor de culori. Dacă se alocă un bit pentru un pixel, sunt posibile doar două valori din scala de gri (negru și alb). Dacă se alocă trei biți per pixel, se permit 8 nivele diferite de intensitate. Sistemele cu calitate înaltă a imaginii permit 24 sau mai mulți biți pentru stabilirea nivelului de intensitate per pixel.

## 4.6 Texturi

### 4.6.1 Clasificare

Texturile sau detaliile ce apar pe suprafețele obiectelor de modelat pot fi:

1. constante ca mărime și orientare pe suprafața obiectului;
2. de mărime și orientare variabilă, corespunzător poziției fațetelor a căror textură o reprezintă;
3. neregulate.

Texturile de primul tip sunt folosite pentru aplicațiile 2D, iar în 3D se preferă texturile de al doilea tip.

Texturile de primul tip se codifică în baza de date prin matrice. Se alege un element repetabil prin translație pe orizontală și verticală. Funcție de precizia dorită și rezoluția disponibilă se digitizează acest element printr-o partitie  $m \times n$  a ariei pe care este reprezentat. Fiecare pixel astfel obținut î se asociază un element al unei matrice  $E$  cu  $m$  linii și  $n$  coloane, ocupând poziția corespunzătoare și având valoarea 1 dacă simbolul conține pixelul și 0 dacă pixelul este neutilizat. Dacă se folosește un monitor care admite mai multe niveluri de intensitate pe pixel, atunci valoarea elementului  $E_{ij}$  poate fi chiar intensitatea corespunzătoare pixelului din poziția  $i, j$ .

Detaliile superficiale, cum sunt textele sau simbolurile marcate pe suprafața obiectelor, pot fi tratate ca texturi de categoria a doua. O metodă de a le

redă constă în a le introduce în baza de date prin puncte caracteristice, pentru ca apoi să li se aplice aceleasi transformări ca și tuturor punctelor corpului. Se marchează însă apartenența texturii la fațetele pe care apare efectiv, iar transpunerea pe ecran se face numai pentru punctele vizibile ale poligoanelor respective.

Transpunerea pe ecran a texturii se poate face și la o anumită scară. Dacă textura apare mărăită, nu se pun probleme deosebite, pur și simplu se construiește o altă matrice pe baza lui  $E$  dar având  $s \cdot m$  linii și  $s \cdot n$  coloane, unde  $s$  este factorul de scară. Dacă  $s \cdot m$  și  $s \cdot n$  nu sunt numere întregi, ele se aproximează prin adăus, iar intensitățile în pixeli se aleg din gama disponibilă ca fiind cele mai apropiate de intensitățile medii calculate.

#### 4.6.2 Simularea intensității pe monitoarele monocrome

Se consideră că alb și negru sunt cele două niveluri de intensitate de care se dispune la nivelul unui pixel pe display.

Tehnica folosită este cea a texturilor constante. În principiu, se asociază fiecărui nivel de intensitate o textură cu o densitate corespunzătoare de puncte deschise. Simularea nivelurilor de intensitate luminoasă prin texturi de tip constant se bazează pe proprietatea ochiului uman de a acționa ca integrator spațial (la distanțe mari față de obiectul privit sau atunci când zona observată are dimensiuni mici). Metoda reduce evident din rezoluție, căci un element de textură va fi reprezentat pe o arie din ecran de câțiva pixeli.

Tehnica aproximării nivelurilor de intensitate luminoasă prin densitate de puncte albe și negre pe o anumită suprafață elementară (half-toning) este folosită în tipărirea fotografilor alb-negru. Fiecare element de imagine are o finețe precizată prin numărul de niveluri de intensitate care pot fi simulate.

Cel mai simplu element de imagine este o arie de  $2 \times 2$  pixeli pe un ecran monocrom, pe care se pot produce 5 niveluri diferite de intensitate (figura 4.27.a). În general, o arie de  $n \times n$  pixeli poate reproduce  $n^2 + 1$  niveluri de intensitate. Pentru a folosi arii mai mari de  $4 \times 4$  pixeli (peste 17 niveluri de intensitate) este necesar un monitor cu o rezoluție mai mare de  $512 \times 512$  pentru a obține rezultate satisfăcătoare. Peste 32 de niveluri pe pixeli fac ca tranzițiile să fie abia perceptibile. Imaginele realizate prin discretizarea intensității luminoase în 64 de clase au practic același aspect cu originalul.

Pentru o matrice  $3 \times 3$  de pixeli se recomandă setul din figura 4.27 (b). Funcție de ordinea în care se aprind pixelii se poate construi o matrice caracteristică. În cazul dat,

$$D = \begin{pmatrix} 6 & 8 & 4 \\ 1 & 0 & 3 \\ 5 & 2 & 7 \end{pmatrix}.$$

Pentru a aprinde o porțiune de pixeli cu intensitatea  $I$  între 0 și 9 se aprind pixelii a căror valoare corespunzătoare în matrice este mai mică decât  $I$ . Dacă imaginea are dimensiunea matricii-rastru, problema aprinderii unui pixel  $(x, y)$  depinde de intensitatea dorită  $I(x, y)$  în acel punct și de matricea  $D$ . Fie  $n$

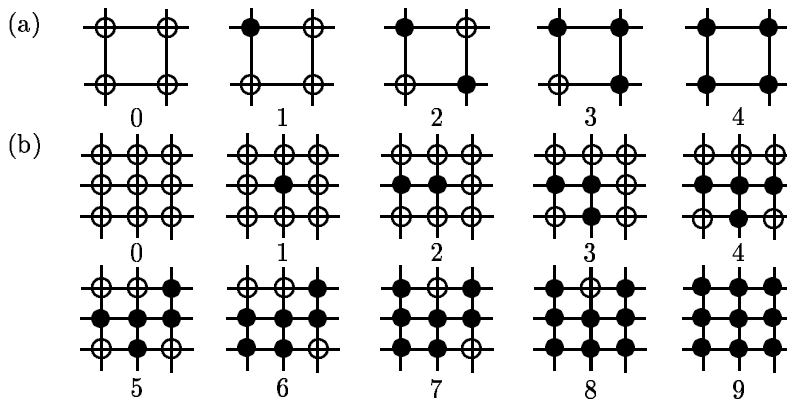


Figura 4.27: Simularea intensității – săabloane pentru tehnica half-toning cu  
(a) cinci niveluri de intensitate (b) nouă niveluri de intensitate

dimensiunea acesteia din urmă. Se calculează  $i = x \bmod n$  și  $j = y \bmod n$ . Atunci, dacă  $I(x, y) > D_{ij}$ , pixelul  $(x, y)$  se aprinde.

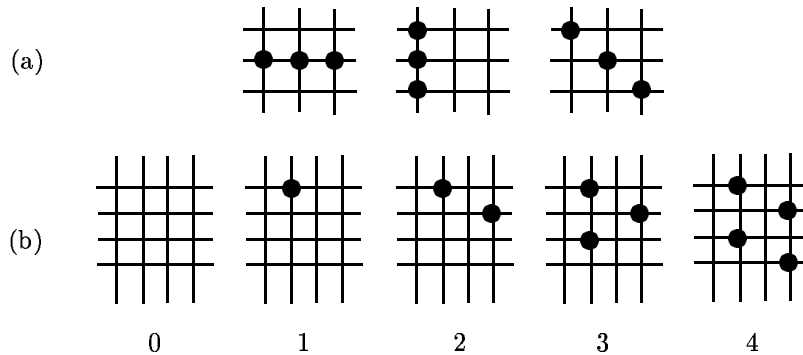


Figura 4.28: Texturi contraindicate

În construirea setului de texturi (pattern-uri) trebuie să se țină seama de anumite reguli:

1. Texturile trebuie astfel proiectate încât să nu producă efecte vizuale artificiale în arii mari de intensitate identică. De exemplu, texturile din figura 4.28 (a) pot produce senzația de hașurare.
2. Texturile trebuie să constituie o secvență crescătoare, astfel încât orice pixel aprins pentru nivelul de intensitate  $j$  să rămână aprins și pentru nivelurile de intensitate  $k > j$ . Se minimizează astfel diferențele dintre texturi succesive și efectele de contur.
3. Texturile trebuie să crească de la centru înspre exterior pentru a crea

efectul de creștere a mărimii punctului.

4. Pentru ușurarea trasării imaginilor pe imprimante, pixelii aprinși trebuie să fie asociati cu pixeli vecini aprinși. De exemplu, texturile din figura 4.28 (b) nu pot fi acceptate.

Tehnica half-toning este utilizată și la display-uri binivel. Considerând un display cu doi biți per pixel și deci patru niveluri de intensitate, prin înjumătățirea rezoluției se crește numărul nivelurilor de intensitate la 13 (se consideră texturi de dimensiune  $2 \times 2$ : avem patru pixeli la dispoziție, fiecare având posibilitatea de a lua trei valori în afara negrului, adică se obțin  $4 \times 3 + 1 = 13$  niveluri de intensitate).

Utilizând un display color cu trei biți per pixel, câte unul pentru fiecare culoare (roșu, verde, albastru) se pot utiliza texturi  $2 \times 2$  pentru a obține 125 culori diferite: fiecare textură poate afișa cinci intensități pentru roșu, verde sau albastru, rezultând  $5^3$  combinații de culori.

## 4.7 Modele fractale

Termenul de fractal din matematică a fost generalizat de comunitatea grafică pe calculator. În grafică, un fractal se referă la orice obiect care are o măsură substanțială a similarității în sine, statistică sau exactă. Astfel, numai fractalii generați prin procese recursive infinite sunt obiecte fractale adevărate. Pe de altă parte, obiectele generate prin procese finite pot conduce la schimbări nevizibile în detaliu după o anumită etapă, astfel încât sunt aproximări adecvate ale modelului ideal.

Ceea ce se înțelege prin similaritate în sine este sugerat de exemplul curbei lui Koch. Pornind de la o linie cu un salt (figura 4.29), se înlocuiește fiecare segment al liniei cu o figură identică cu cea originală, redusă cu factorul trei. Acest proces este repetat: fiecare segment al figurii (b) este înlocuit cu figura asemănătoare întregii figuri (b). Dacă procesul este repetat la infinit, rezultatul este similar în sine, adică întregul obiect este similar (prin translație, rotire, scalare) cu o porțiune a sa.

Un obiect care arată la fel dacă este scalat se spune că este substanțial similar în sine.

Asociată cu noțiunea de similaritate în sine este cea de dimensiune fractală. Pentru a defini această noțiune se consideră următoarele obiecte:

1. Un segment de linie, care este unidimensional, divizat în  $n$  părți egale. Ficare parte a sa arată precum originalul scalat cu factorul  $n = n^{1/1}$ .
2. Un pătrat (figură bidimensională) divizat în  $n$  subpătrate egale. Fiecare arată la fel precum originalul redus cu factorul  $\sqrt{n} = n^{1/2}$  (de exemplu, considerind nouă subpătrate, factorul este de reducere este 3).

Dacă divizăm imaginea rezultată prin aplicarea procedeului din figura 4.29, repetat la infinit, în patru părți (analog bucăților asociate cu cele patru segmente originale din figura 4.29.a), fiecare bucată rezultată arată ca și originalul redus cu factorul trei. Spunem că fractalul construit are dimensiunea  $d$ , dacă  $d$  verifică ecuația  $4^{1/d} = 3$ , adică  $d = \log_2 4 / \log_2 3 \approx 1.26$ .

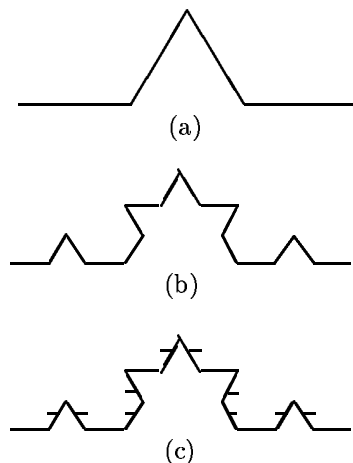


Figura 4.29: Construirea curbei lui Koch

Cele mai cunoscute obiecte fractale sunt

- mulțimea Julia-Fatou,
- mulțimea Mandelbrot.

Acstea obiecte sunt generate urmărind regula  $x \rightarrow x^2 + c$ , unde  $x$  este un număr complex.

Se reamintește faptul că dacă un număr complex are modulul subunitar, sirul recursiv al pătratelor converge la zero, iar dacă modulul este supraunitar, pătratele devin din ce în ce mai mari. Dacă modulul este unitar, sirul pătratelor are tot modulul unu. Numerele de modul unitar formează o frontieră între cele atrase spre zero și cele atrase spre infinit.

Dacă se aplică repetat regula  $x \rightarrow x^2 + c$  fiecărui număr complex, pentru o anumită valoare nenulă a lui  $c$ , anumite numere complexe vor fi atrase la infinit, altele spre numere finite. Trasând frontieră dintre cele două submulțimi se obține mulțimea Julia-Fatou, care depinde de valoarea numărului complex  $c$ . Două exemple sunt prezentate în figura 4.30.

Dacă se calculează mulțimile Julia-Fatou pentru toate valorile  $c$  complexe și se colorează cu negru punctele  $c$  pentru care mulțimea Julia-Fatou este conexă și cu alb punctele pentru care mulțimea nu este conexă, se obține mulțimea Mandelbrot din figura 4.31.

Din fericire, există o cale mai ușoară de a genera aproximării ale mulțimii Mandelbrot. Pentru fiecare valoare  $c$  se aplică regula  $x \rightarrow x^2 + c$  cu  $x = 0 + 0i$  de un număr finit de ori (de exemplu, de 1000 de ori). Dacă după acestea iterării numărul complex obținut este în afara discului centrat în zero și de rază dată (de exemplu, 100), atunci  $c$  va fi colorat alb, altfel negru. Cu cât numărul de iterări și rază discului cresc, imaginea rezultată este o aproximare mai bună a mulțimii Mandelbrot.

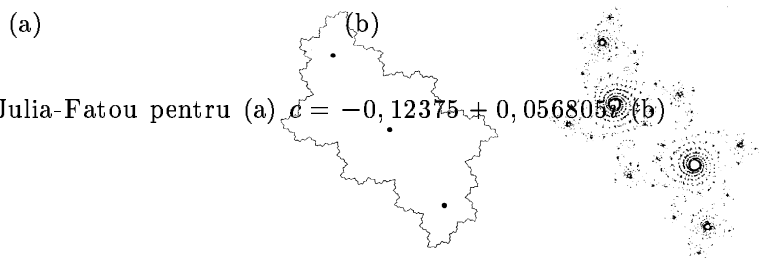


Figura 4.30: Multimea Julia-Fatou pentru (a)  $c = -0,12375 + 0,056805i$  (b)  $c = -0,012 + 0,74i$

Figura 4.31: Multimea Mandelbrot

Imaginea pe ecran poate fi generată recursiv, adăugând nulți pași astfel încât schimbările sub dimensiunile pixelului nu mai trebuie evaluate.

Rezultatele privind fractalii sunt extrem de sugestive pentru modelarea formelor naturale ca munții, arborii sau coasta mării. De exemplu, se consideră următorul algoritm de generare a unui munte fractal, algoritm bazat pe subdivizarea recursivă.

Fie cazul unidimensional. Presupunem că pornim de la un segment de linie de pe axa  $x$ . Împărțim segmentul în două bucăți și mutăm mijlocul la o

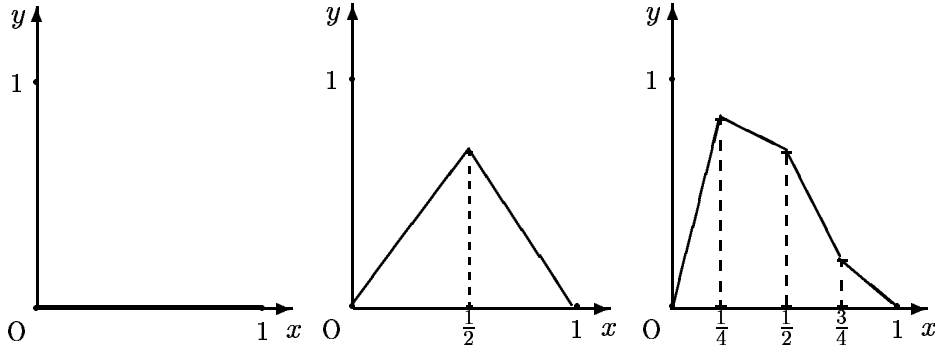


Figura 4.32: Generarea secțiunii printr-un munte fractal

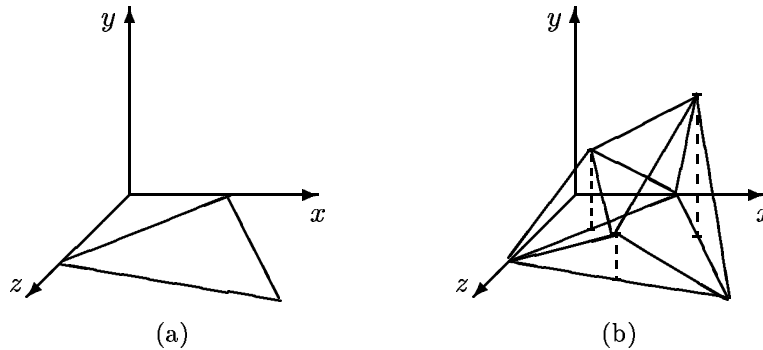


Figura 4.33: Generarea unui munte fractal

distanță arbitrară în direcția  $y$ , obținând figura 4.32 (b). Se continuă subdivizarea fiecărui segment și se calculează poziția nouă a punctului de mijloc al segmentului de la  $(x_i, y_i)$  la  $(x_{i+1}, y_{i+1})$ :

$$x_{nou} = \frac{x_i + x_{i+1}}{2}, \quad y_{nou} = \frac{y_i + y_{i+1}}{2} + P(x_{i+1} - x_i)R(x_{nou}),$$

unde  $P(\cdot)$  este o funcție ce determină extinderea perturbației în termenii dimensiunii segmentului care se perturbă și  $R(\cdot)$  este un număr aleator între 0 și 1 selectat pe baza lui  $x_{nou}$ . Dacă  $P(s) = s$ , atunci primul punct nu poate fi afișat mai sus de 1, fiecare din următoarele două puncte, nu mai sus de  $1/2$  s.a.m.d., încât toate punctele rezultante se încadrează în pătratul unitate. Dacă  $P(s) = s^a$  forma liniei frânte depinde de parametrul  $a$ . Pot fi utilizate și alte funcții, ca de exemplu  $P(s) = 2^{-s}$ .

Algoritmul poate fi ușor generalizat la două dimensiuni. Se pornește de la un triunghi precum cel din figura 4.33. Se marchează mijloacele laturilor. Coordonatele  $y$  ale fiecărui punct de mijloc sunt modificate în maniera descrisă în cazul unidimensional, astfel încât rezultatul să fie un set de mai multe triunghiuri. Cele patru triunghiuri înclinate se procesează în mod analog. Repetarea recursivă a acestei diviziuni conduce la o imagine realistă a unui munte.

## 4.8 Animație

Animația, arta de a da viață unor imagini, presupune nu numai mișcare, ci și o serie de efecte vizuale. Tehnica animației constă în variația în timp a poziției, umbre, culori, transparentă, texturi, schimbări de lumină și puncte de vedere, apropiere și îndepărțare (zoom).

Animația presupune o reprezentare a corpurilor în 4D.

Domeniile de aplicație sunt extrem de variate: industrie, educație, industrie, cercetare științifică, artă. Animația în vizualizarea științifică este realizată adesea pe baza unor seturi de date foarte largi ce reprezintă imagini 2D sau 3D ale unui anumit fenomen ce evoluează în timp.

Dacă anumite obiecte sau aspecte din imaginile animate se schimbă prea repede relativ la numărul de imagini afișate într-o secundă, apare fenomenul de cliping (temporal aliasing). Animația imaginilor video presupune o schimbare de cel puțin 30 de imagini per secundă (fps = frame per second).

### 4.8.1 Animație convențională

Se realizează pe baza standardului următor: se concepe povestea, se înregistrează sunetele, se desenează imaginile cheie (key frames), se construiesc imaginile intermediare (inbetweening). Rezultatul este filmul de test (pencil test) care ulterior este colorat. Acest model de construcție a imaginilor animate poartă denumirea de animație pe bază de imagini cheie (key-frame animation). Modelul se aplică și în animația pe calculator.

Anumite etape ale animației convenționale se pretează la asistență computerizată, în special fazele de construire a imaginilor intermediare și colorare. Înainte de aceste două faze, imaginile cheie sunt digitizate (prin scanare sau trasare cu ajutorul unor echipamente grafice specifice) și sunt postprocesate (filtrate pentru eliminarea zgometelor și netezirea contururilor). În faza de compunere a imaginilor, în care figurile principale și imaginile de fond sunt combinate pentru a genera imagini distințe, se pot utiliza de asemenea tehnici automate.

### 4.8.2 Interpolare

În procesul de creare a imaginilor intermediare apar o serie de probleme. Calculatorul primește o poziție inițială și una finală. Ochiul uman percep circumsanțele în care are loc interpolarea: de exemplu, dacă este vorba de

o aruncare la un anumit unghi a unei mingi sau o alunecare pe o suprafață. Interpolarea liniară (adecvată celei de a doua situații), care este ușor de realizat, are numeroase limitări. Date valorile  $v_i$  și  $v_f$  ale unor attribute (poziție, culoare, mărime) din imaginea inițială, respectiv cea finală, valoarea  $v_t$  a unei imagini intermediare este  $v_t = (1 - t)v_i + tv_f$ , cu variabila temporală  $t \in [0, 1]$ . Valoarea  $v_t$  variază neted de la  $v_i$  la  $v_f$ . Dându-se trei imagini-cheie în aruncarea unei mingi sub anumit unghi, respectiv poziția inițială, cea finală și cea corespunzătoare înălțimii maxime, prin interpolare liniară se creează o mișcare continuă, dar cu o schimbare bruscă a vitezei în punctul de maxim (interpolarea liniară generează discontinuități ale derivatelor). Astfel, pentru interpolarea imaginilor cheie consecutive se utilizează adesea funcțiile spline (vezi capitolul anterior, secțiunea curbe cubice).

O figură reprezentată printr-o polilinie poate fi interpolată între imaginile cheie prin interpolarea fiecărui vârf al poliliniei, de la poziția sa inițială la cea finală. Această idee este fundamentală în tehnica de animație pe bază de schelet, în care obiectelor în mișcare le sunt asociate "scheletele" (acestea sunt interpolate, și nu obiectele în totalitate). Fie exemplul mișării unui picior: scheletul poate fi constituit dintr-o linie poligonală cu patru vârfuri, respectiv vârful tălpiei, mijlocul acesteia, centrul genunchiului și un punct ce definește legătura cu corpul. Trasarea a 5-6 polilinii-schelet corespunzătoare, interpolarea cu funcții spline a pozițiilor consecutive ale vârfurilor și reconstituirea piciorului pe bază de schelet pot conduce la o imagine realistă a efectuării unui pas.

În animația unor obiecte tridimensionale trebuie interpolate atât poziția cât și orientarea acestora. Poziția poate fi interpolată ca și în cazul 2D prin specificarea poziției centrului unui obiect în fiecare din imaginile cheie. Problema principală este interpolarea orientării corporilor. De obicei, o rotație este specificată prin trei rotații după axele principale. Ordinea aplicării acestor rotații de bază nu poate fi aleatoare. Multimea tuturor rotațiilor posibile corespunde unei structuri algebrice: cuaternionii. Rotațiile sunt cuaternionii unitari, care sunt simboluri de forma  $a + b\bar{v}_1 + c\bar{v}_2 + d\bar{v}_3$ , unde  $a, b, c, d$  sunt numere reale ce satisfac relația  $a^2 + b^2 + c^2 + d^2 = 1$ ; cuaternionii se multiplică pe baza legii de distributivitate și pe baza următoarelor reguli:

$$\bar{v}_1^2 = \bar{v}_2^2 = \bar{v}_3^2 = -1,$$

$$\bar{v}_1\bar{v}_2 = \bar{v}_3 = -\bar{v}_2\bar{v}_1, \quad \bar{v}_2\bar{v}_3 = \bar{v}_1 = -\bar{v}_3\bar{v}_2, \quad \bar{v}_3\bar{v}_1 = \bar{v}_2 = -\bar{v}_1\bar{v}_3.$$

Rotația de unghi  $\varphi$  în jurul vectorului unitate  $(b, c, d)^T$  corespunde cuaternionului  $\cos(\varphi/2) + b \sin(\varphi/2)\bar{v}_1 + c \sin(\varphi/2)\bar{v}_2 + d \sin(\varphi/2)\bar{v}_3$ . Efectuarea unor rotații succesive presupune multiplicarea cuaternionilor corespunzători. Deoarece  $a^2 + b^2 + c^2 + d^2 = 1$ , cuaternionii pot fi priviți ca puncte ale unei sfere în 4D. Pentru interpolarea dintre doi cuaternioni, se poate considera cel mai scurt drum de pe sferă dintre aceștia (arc). Denumirea acestui procedeu este acela de interpolare sferică liniară.

#### **4.8.3 Efecte simple de animație**

Dacă se construiesc imagini color cu 8 biți per pixel într-un frame-buffer de  $640 \times 512$ , numai o singură imagine conține 320 Kb de informație. Transferarea unei noi imagini înspre frame buffer la fiecare 1/30 parte dintr-o secundă necesită o rată de transfer de 9Mb informație per secundă, astfel încât realizarea animației este practic imposibilă pentru majoritatea calculatoarelor mici. Pentru evitarea stocării unor asemenea cantități de informații se recurge la metoda tabelului de celule-culori (look-up tables sau lut animation) și compunerea imaginilor prin utilizarea tabelului de culori. De exemplu, scurgerea printre-o conductă poate fi simulată prin ciclarea unei secvențe de culori din lut. Schimbările bruse de culoare pot fi evitate prin schimbarea gradată a indicelui din lut în mai multe imagini intermediare, de la culoarea inițială, la cea finală.

În cazul animației unor obiecte de dimensiuni mici pe un fond fix se utilizează tehnica sprite-urilor. Un sprite este o regiune dreptunghiulară mică care este suprapusă peste frame-buffer la nivel video. Locația sprite-ului la fiecare moment în frame buffer este specificată în anumiți registrii, modificarea valorilor acestora cauzând deplasarea sprite-ului. Sprite-ul poate ascunde valori din frame-buffer sau poate fi ascuns de acestea. Se utilizează la implementarea cursoarelor în frame-buffer și generarea animației prin mutarea sprite-ului deasupra unei imagini de fond. Mai multe sprite-uri presupun definirea unei liste de priorități (cine pe cine acoperă).

O aplicație a sprite-urilor, extrem de populară, este cea a jocurilor video, în care animația constă aproape în întregime din sprite-uri care se mișcă pe un fundal fix. Deoarece locația și mărimea fiecărui sprite este stocat în registrii, este ușor de verificat coliziunea dintre sprite-uri.

Traекторiile obiectelor pot fi generate prin urmărirea unui film real. O asemenea tehnică este rotoscoping: se realizează un film în care oameni sau animale interpretează roluri din scenariul animației, apoi animatorii, pe fondul existent, înlocuiesc personajele reale cu echivalentul lor desenat. Mișcarea personajelor animate poate fi realizată urmărind mișcarea personajelor pe care le înlocuiesc. Această tehnică produce o animație cu mișcări realistice. O altă tehnică este cea care asociază o serie de indicatori punctelor cheie ale corpului unei persoane. De exemplu, mici luminile pot fi atașate punctelor cheie din arhitectura umană și pozițiile acestor lumini sunt înregistrate din direcții diferite pentru a furniza o poziție 3D pentru fiecare punct cheie în orice moment (tehnica marionetei grafice).

#### **4.8.4 Limbaje de animație**

Se clasifică în trei mari categorii:

1. limbaje bazate pe notări tip listă liniară,
2. limbaje cu scop general care înglobează și directive de animație,
3. limbaje grafice.

### Limbaje bazate pe notații tip listă liniară

Fiecare eveniment din animație este descris printr-un număr de imagine inițială și unul de imagine finală, precum și o acțiune care are loc. Acțiunile presupun anumiți parametrii. De exemplu:

20, 34, C ROTATE "CASA",1,45

se poate traduce prin "rotește obiectul CASA între imaginile 20 și 34 în jurul axei 1 cu 45 de grade, determinând creșterea rotației la fiecare imagine din tabelul C".

Scefo (SCENE FOrmat), pe lângă asemenea notații, include noțiunile de grup și ierarhie a obiectelor. Un fișier în Scefo descrie numai animația, obiectele presupunându-se a fi descrise anterior.

### Limbaje generale ce includ directive de animație

Avantajul față de limbajele mai sus-menționate este abilitatea de generare procedurală a obiectelor și a animației. Valorile variabilelor limbajului pot fi utilizate ca parametrii pentru rutinele ce generează animație, astfel încât asemenea limbaje sunt indicate pentru simulări.

ASAS este un exemplu de asemenea limbaj, construit pe baza limbajului LISP și ale cărui entități primitive includ vectori, culori, poligoane, colecții de poligoane (solide), colecții de obiecte (grupuri), puncte de vedere, lumini, volum de vedere. Obiectele pot fi transformate geometric (exemplu: deplasare sus, jos, stânga, dreapta, înainte, înapoi, mărire, micșorare). O asemenea transformare primește ca argument un obiect și returnează o copie transformată a obiectului.

### Limbaje grafice

Problema principală a limbajelor textuale este dificultatea animatorului de a-și imagina rezultatul execuției unui sir de comenzi.

În locul unor descrieri explicite ale acțiunilor, în limbajele grafice de animație, animatorul construiește o imagine a acțiunii.

Un prim pas a fost realizat prin introducerea curbelor *P*. O curbă *P* este o reprezentare parametrică a mișcării (sau a unui alt atribut) a unui obiect sau ansamblu de obiecte din interiorul unei scene. Animatorul descrie mișcarea unui obiect prin specificarea grafică a coordonatelor sale ca funcție de timp.

Limbajul de animație diagramatic DIAL presupune o descriere a acțiunilor sub formă de listă liniară și delimitarea în timp a fiecărei acțiuni. În S-Dynamics, fiecare acțiune este descrisă ca un dreptunghi a cărui lățime indică extinderea în timp. Fiecare acțiune poate fi detaliată prin "deschiderea" dreptunghiului. Fiecare acțiune poate fi astfel constituită dintr-o mulțime de alte acțiuni seriale sau paralele, fiecare putând fi la rândul ei "deschisă" pentru detalieri, inclusiv pentru indicarea grafică a dependenței de timp a unui parametru al acțiunii.

#### **4.8.5 Atenuarea efectelor datorate discretizării temporale**

Fenomenul de clipire a imaginii, ce pare în cazul unei mișcări foarte rapide temporal aliasing), poate fi parțial rezolvat prin creșterea rezoluției temporale.

Imaginiile consecutive sunt similare, așa cum în 2D o linie de scan nu diferă prea mult de următoarea. Se poate ține seama, pentru simplificare, de o anumită coerentă în construirea imaginilor. Fiecare obiect descrie o regiune din 4D. De exemplu, o sferă care nu se mișcă descrie în 4D un cilindru. În mod similar, un cerc din 2D ce se deplasează dintr-un colț al ecranului în cel opus descrie un cilindru în spațiul 2D+temp. Aplicând divizarea hiperspațiului 4D și utilizarea unor tehnici de tip ray-tracing se poate economisi timp considerabil în construirea de imagini consecutive.

O altă tehnică pentru antialiasing temporal este animația pe câmpuri. O imagine video convențională este trasată în două etape: prima dată liniile scan pare, apoi cele impare. Fiecare linie scan este retrasată, aproximativ, la fiecare  $1/30$  dintr-o secundă (presupunem că raza tubului de electroni parcurge ecranul de 60 de ori pe secundă). Dacă culorile pixelilor liniilor pare sunt calculate la timpul  $t$ , iar liniile impare la  $t+60^{-1}(s)$ , apoi imaginea este compusă într-o singură hartă de biți, iar acest proces se repetă pentru fiecare imagine, atunci animația este realizată cu un efect de 60fps, chiar dacă fiecare line scan este reactualizată la un interval de  $1/30$  dintr-o secundă. Dezavantajul acestei tehnici constă în faptul că imaginile de pe ecran constau din linii ale unor imagini construite la timp diferiți și poate apărea un fenomen de clipire.

#### **4.8.6 Metode de control a animației**

Controlul explicit este forma cea mai simplă de control al animației. Animatorul descrie tot ceea ce se realizează în animație, specificând atât schimbări simple precum scalarea, translația, rotația, cât și informațiile despre imaginile cheie și metodele de interpolare. Această interpolare poate fi dată explicit (prin descriere matematică) sau, într-un sistem interactiv, prin directa manipulare a unui mouse, joystick sau alt dispozitiv de intrare.

În cazul unui control procedural, elementele distincte ale unui model comunică în scopul determinării proprietăților lor. Acest tip de control se utilizează pentru generarea mișcărilor greu de specificat prin control explicit.

Anumite obiecte din lumea fizică se mișcă descriind liniile drepte, dar mișcările majorității obiectelor sunt determinate de alte obiecte cu care vin în contact, astfel încât mișcările rezultante nu mai sunt liniare. Mișcările acestora pot fi descrise prin constrângeri. Animația se poate realiza doar ținând seama de aceste constrângeri, prin control bazat pe constrângeri. Se generează părțile unui ansamblu (linii, cercuri, etc), apoi se definesc constrângerile de tip punct ("linia are un capăt fix"), legătură ("linii unite la un capăt"), unghiuri ("linii paralele"). Mișcarea ansamblului se realizează respectând regulile de constrângere.

Utilizarea actorilor este o formă înaltă de control procedural. Un actor, în

animație, este un program mic, invocat odată pentru o imagine, pentru determinarea caracteristicilor unui obiect (actorul este un obiect în sensul programării orientate obiect). Un actor, poate trimite mesaje altor actori pentru a controla comportarea lor.



## C a p i t o l u l 5

### M e t o d a d r u m u l u i o p t i c

Metoda drumului optic (ray-tracing) este o metodă de generare a imaginilor des utilizată în practică deoarece răspunde dezideratului creației de imagini cu un înalt grad de realism.

#### 5.1 Definiții

Ray-tracing-ul este o tehnică pentru sintetizarea de imagini, adică crearea unei imagini bidimensionale a unei scene tridimensionale.

În cele ce urmează, se va folosi termenul de pixel pentru a desemna unul din următoarele trei concepte:

1. o regiune "mică" (atomică) de pe monitor;
2. o locație adresabilă din frame-buffer;
3. o regiune "mică" din planul imaginii în lumea virtuală 3D.

#### 5.2 Principiul de bază

În optică, proiecția printr-o lentilă, presupune trasarea grafică a drumului unei raze de lumină de la sursă, prin lentilă, până la planul imaginii. Acest proces poartă denumirea de ray-tracing și a fost considerat un bun model pentru creația de imagini sintetice pe calculator (anii '80). La data abordării acestei metode posibilitățile de calcul fiind scăzute, ideea a fost abandonată, însă s-a revenit la ea în ultimii 15-20 de ani.

##### 5.2.1 Modelul camerei obscure cu orificiu punctual

Ideea metodei provine de la principiul camerei obscure cu orificiu punctual (figura 5.1.a). Un film fotografic este plasat în spatele cutiei. Există un singur orificiu pe față opusă, acoperit cu un capac opac (obturator). Pentru creația

imaginii, capacul opac este îndepărtat, iar lumina ce intră prin orificiu impregnează filmul fotografic. Orificiul permite doar unui număr mic de raze de lumină să pătrundă de la scenă la film. Teoretic, fiecare punct al filmului poate recepta lumina numai de-a lungul liniei ce unește acel punct și orificiul (figura 5.1.b). Cu cât orificiul se mărește, fiecare punct al filmului receptionează mai multe raze, astfel încât imaginea devine mai strălucitoare și mai neclară.

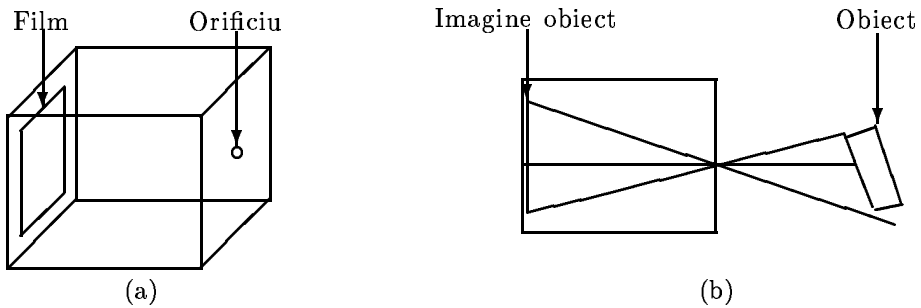


Figura 5.1: (a) Modelul camerei obscure (b) Orificiul permite numai anumitor raze să lovească filmul

### 5.2.2 Modelul modificat al camerei obscure

Din motive ce țin de comoditatea programării, modelul utilizat în grafică, mută planul filmului în fața orificiului și redenumește orificiul ochi. Singurele obiecte pe care "ochiul" le percepse direct sunt cuprinse între "pereții" determinați de liniile care unesc ochiul cu colțurile ecranului (figura 5.2.a).

Prin convenție, doar obiectele din fața ecranului pot fi "văzute". "Lumea" vizibilă este un trunchi de piramidă infinit (vezi volumul de vedere corespunzător unei proiecții perspective, capitolul 2). Fețele laterale ale trunchiului de piramidă se numesc plane de tăiere (clipping planes).

### 5.2.3 Pixeli și raze

Generarea unei imagini presupune, în esență, precizarea culorii fiecărui pixel al acesteia. Fiecare pixel al ecranului corespunde unei zone din modelul camerei obscure (figura 5.2.b).

Zona din planul imagine corespunzătoare unui "pixel" absoarbe un număr de raze de lumină, astfel încât culoarea pixelului este o combinație a culorii razelor care îl intersectează (care îl lovesc). Este posibil ca puncte diferite ale zonei care reprezintă pixelul să fie diferențiate iluminat. În acest caz problema culorii asociate pixelului nu este simplă. Soluția în general adoptată constă în determinarea unei medii a culorii razelor care lovesc anumite puncte semnificative ale zonei care reprezintă pixelul.

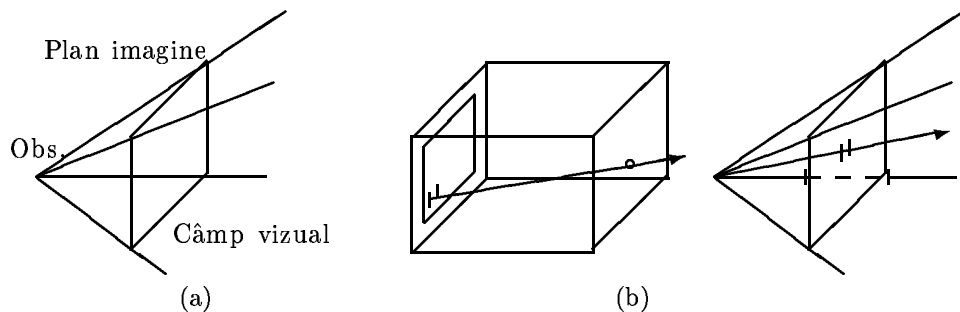


Figura 5.2: (a) Câmp vizual (b) Corespondență directă dintre un pixel de pe ecran și o regiune de pe filmul fotografic din modelul camerei obscure

## 5.3 Trasarea razelor

### 5.3.1 Trasare directă

Trasarea directă (forward ray-tracing) presupune urmărirea razelor de la o sursă, la imagine și apoi la ochi. Apar două probleme:

1. care raze lovesc un pixel?
2. ce culoare produce o asemenea rază (care este culoarea unei raze de lumină)?

Raza de lumină este calea (linie dreaptă) parcursă de o particulă luminoasă (foton) purtătoare de energie. Culoarea unui foton este dependentă de energia fotoniului (exprimată prin frecvență sau lungime de undă).

*Observație.* Lumina se poate acumula aditiv (în ochi sau pe peliculă) – exemplu: culorile modelului RGB (capitolul 4).

La colorarea unui pixel din planul imaginii contribuie acele raze (fotoni) care, pornind de la o sursă de lumină:

- (a) ajung direct în planul imaginii;
- (b) ajung în planul imaginii după ce s-au reflectat din unul sau mai multe obiecte (energia scăzând, deoarece o parte este absorbită de obiecte).

### 5.3.2 Trasare inversă

Dezavantajul trasării directe, de la sursa de lumină înspre imagine, constă în numărul mare de raze de lumină pornite din sursă (surse) care nu contribuie la formarea imaginii pentru că în direcția lor de propagare nu lovesc planul imaginii și "ochiul", sau ajung la ochi cu intensitate prea redusă pentru a fi percepute.

O soluție la această problemă este inversarea sensului de parcurgere a razelor luminoase (backward ray-tracing). În acest context, principalul

obiectiv constă în determinarea acelor fotoni care contribuie efectiv la formarea imaginii.

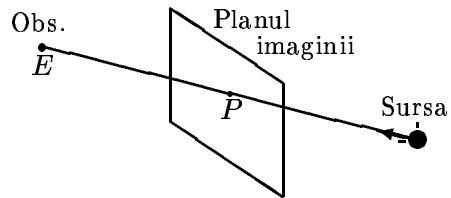


Figura 5.3: Foton ce trece printr-un punct al imaginii

Fotonii căutați sunt cei ce lovesc planul imaginii și trec prin ochi (figura 5.3). Dacă un foton a lovit punctul  $P$  din planul imaginii și a trecut prin ochiul desemnat prin punctul  $E$  al spațiului, el a ”călătorit” de-a lungul dreptei  $EP$ .

Presupunând că razele ce trec prin imagine au fost depistate, rămâne doar problema determinării culorii obiectelor sau surselor de lumină care se găsesc la celălalt capăt al razelor.

**Observație.** Când se vorbește de ray-tracing, în majoritatea cazurilor, se face referire la trasarea inversă, adică de la ochi, prin punctele imaginii, până la primele obiecte întâlnite.

### 5.3.3 Combinarea razelor

Pentru a determina culoarea unui pixel, trebuie constituită o listă a tuturor razelor de lumină care pleacă din punctul de pe primul obiect intersectat de dreapta de la ochi la pixel, culoarea pixelului fiind o combinație a culorilor acestor raze. De exemplu, o rază de lumină roșie și o rază verde care cad amândouă într-un punct al unui obiect, pot constitui împreună o singură nou rază galbenă ce pleacă din respectivul punct înspre ochi.

Razele de lumină pot fi clasificate astfel:

- raze directe, care duc lumina prin pixel la ochi;
- raze de iluminare sau umbre, care duc lumina de la sursă la un obiect;
- raze reflectate de obiecte;
- raze de transparentă, care trec printr-un obiect transparent.

Lumina radiată de un punct de pe suprafața unui obiect se poate determina cunoșcând lumina incidentă (iluminarea) și modul în care suprafața transmite lumina într-o direcție dată.

Determinarea iluminării unui punct presupune determinarea fotoniilor care călătoresc de la fiecare sursă de lumină la respectivul punct. Astfel, se trasează segmentele de dreaptă care unesc punctul cu sursele de lumină. Dacă unul dintre aceste segmente intersectează un obiect opac, sursa de lumină corespunzătoare segmentului produce o umbră a obiectului opac (figura 5.4.a).

Culoarea luminii reflectate este dependentă de culoarea obiectelor și de culoarea luminii de la sursă (figura 5.4.b).

Razele transmise printr-un obiect transparent sunt rezultatul refracției. Raza ce unește sursa de lumină și ochiul poate fi deviată (de la linia dreaptă) la trecerea printr-un asemenea obiect (figura 5.4.c).

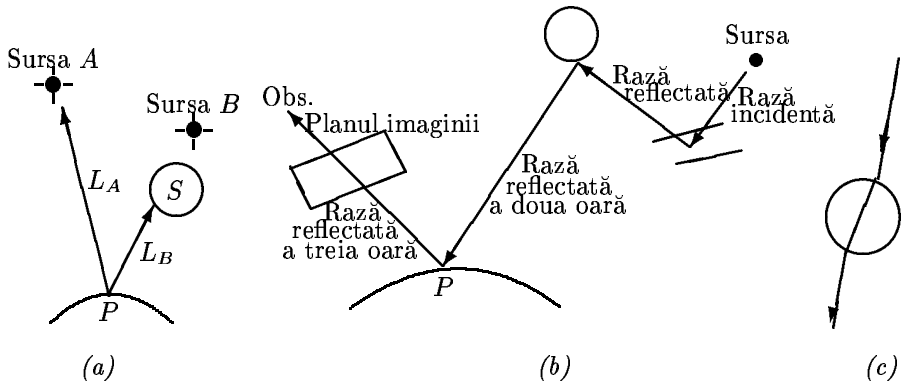


Figura 5.4: (a) Determinarea iluminării unui punct (b) Raze reflectate (c) Raze de transparentă

## 5.4 Recursivitatea vizibilității

Culoarea luminii radiate de un punct de pe suprafața unui obiect (într-o anumită direcție) este, în esență, funcție de combinația luminii ce provine de la:

- surse de lumină,
- alte obiecte ce reflectă lumina,
- lumina transmisă prin obiecte.

Pentru a afla culoarea luminii reflectate și a celei transmise trebuie determinate obiectele de la care provine această lumină. Pe de altă parte, culoarea luminii care pleacă de la oricare dintre aceste obiecte se determină în același mod, de unde rezultă caracterul recursiv al algoritmului.

Modul în care se comportă lumina pe o anumită suprafață este tratat de ceea ce se numește fizica suprafețelor. Spre exemplificare, se consideră în figura 5.5 (a), patru obiecte, notate  $O_1$ ,  $O_2$ ,  $O_3$ ,  $O_4$ : obiectele  $O_1$  și  $O_4$  sunt opace, iar  $O_1$  și  $O_3$  parțial transparente și parțial reflective.  $L_A$  și  $L_B$  sunt surse de lumină. Arborele razeelor ce contribuie la formarea razei  $E$  este dat în figura 5.5 (b).

Se observă că razele  $R_2$ ,  $R_3$  și  $T_3$  părăsesc scenă ("lovesc" lumea înconjuratorătoare) și deci nu participă la formarea culorii luminii care pleacă din  $O_2$  spre  $O_1$  respectiv din  $O_3$  spre  $O_1$ .

Urmărirea unei ramuri a arborelui este stopată atunci când:

1. raza intersectează o sursă de lumină;
2. raza părăsește scenă;

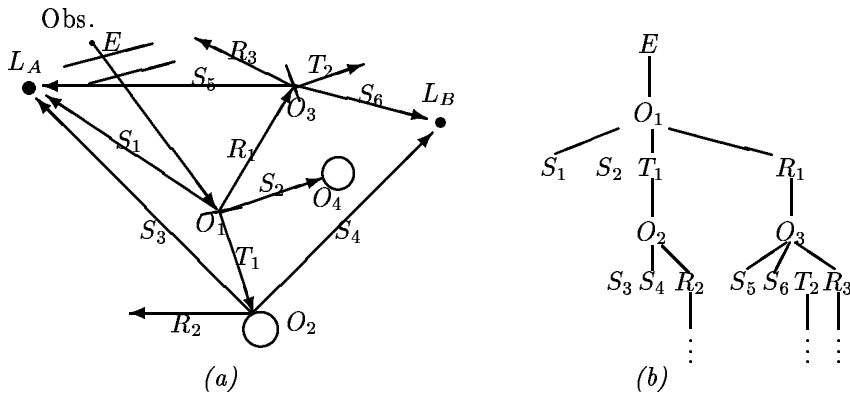


Figura 5.5: (a) Contribuția razeelor la culoarea punctului intersectat de raza  $E$   
(b) Arborele razeelor

3. contribuția razei este nesemnificativă.

Dacă  $E$  ar fi singura rază care trece prin pixelul respectiv, atunci ea ar contribui cu 100% la culoarea lui. În cazul dat, contribuția razeelor  $R_1$  și  $T_1$  este dată de gradul (procentual) de reflectivitate și de transparentă a obiectului  $O_1$ . Presupunem că  $O_1$  este 20% reflectiv și 40% transparent, iar  $O_2$ , 30% reflectiv. Atunci contribuția lui  $R_2$  la  $T_1$  este de 30%, iar contribuția lui  $R_2$  la  $E$  este de  $30\cdot 40\% = 12\%$ . Cu cât adâncimea în arborele de raze este mai mare, cu atât contribuția razeelor la formarea razei finale (rădăcină) este mai mică. În practică, se stabilește un prag de "participare" care are rolul de a opri recursivitatea. Tehnica rezultată poartă numele de controlul adaptiv al adâncimii arborelui de ray-tracing.

## 5.5 Atenuarea efectelor datorate discretizării imaginii

Imaginile sintetizate cu calculatorul (imagini discrete) diferă în mod esențial de imaginile reale (imagini continue). Imaginea preluată prin intermediul unui sistem optic și electronic (cameră de luat vederi) este transformată într-un semnal electric continuu și trebuie discretizată pentru a putea fi stocată și prelucrată în memoria calculatorului.

Această discretizare are un dublu aspect:

- eșantionarea spațială (spatial sampling);
- cuantizarea culorii (color quantization).

Problemele de eșantionare și cuantizare sunt tratate de teoria procesării semnalelor (signal processing).

Problema principală este cea a unei eșantionări și cuantizări adecvate. O eșantionare insuficientă sau o cuantizare insuficientă de precisă provoacă

fenomenul de aliasing (două semnale diferite care apar ca fiind identice). Tehnicile de eliminare a acestui fenomen poartă denumirea de anti-aliasing.

### 5.5.1 Efecte ale eșantionării spațiale

Spatial aliasing apare datorită rezoluției insuficiente a rețelei de eșantionare. Fie exemplul poligonului din figura 5.6 (a). Mărind rezoluția rețelei se poate reduce impresia de "scără" a muchiilor. Problema este rezolvabilă în acest fel doar în mod relativ: dacă se mărește dimensiunea unui ochi al rețelei, deci și a imaginii, impresia de scară reapare.

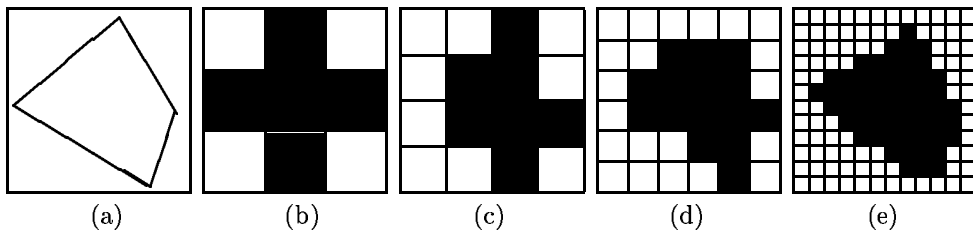


Figura 5.6: (a) Poligonul real (b) Trasare pe o rețea  $3 \times 3$  (c) Rețea  $4 \times 4$  (c) Rețea  $6 \times 6$  (d) Rețea  $12 \times 12$

Un alt aspect al problemei este acela că obiectele prea mici relative la dimensiunea unui ochi (al rețelei) "scapă" rețelei de eșantionare (figura 5.7). Oricât de multe raze (oricât de dese) de eșantionare se folosesc, ar putea exista obiecte mai mici decât distanța dintre raze. Pe de altă parte, s-ar putea afirma că, dacă un obiect este atât de mic încât nu poate fi depistat de razele de eșantionare, atunci nu are importanță dacă apare în imagine sau nu. Un contraexemplu este dat în secțiunea următoare (exemplul 2).

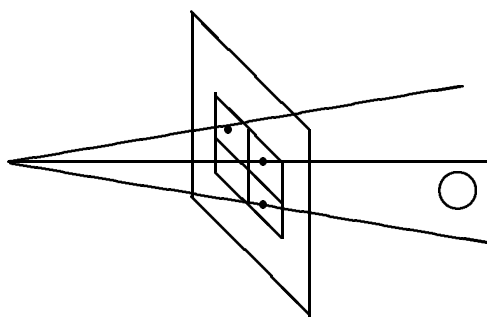


Figura 5.7: Obiect prea mic pentru a fi intersectat de razele de eșantionare

### 5.5.2 Efecte ale eşantionării temporale

Aparent, pentru a face animație pe calculator este suficientă afișarea într-o succesiune destul de rapidă a unor imagini fixe de bună calitate. Această idee este falsă datorită fenomenului de aliasing temporal.

Exemplul 1. Se urmărește rotirea spitei unei roți (figura 5.8). La o viteză de rotație mare, adică la un anumit raport cu rata "expunerii", spita pare să se învârtească în sens invers, sau chiar să stea pe loc. Fenomenul apare deoarece mișcarea este prea rapidă pentru a fi înregistrată corect.

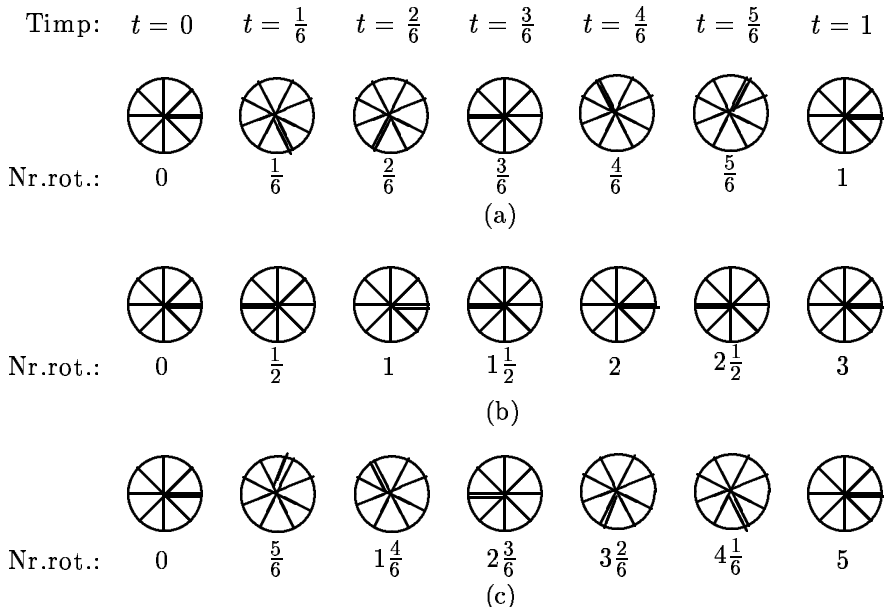


Figura 5.8: Animație: (a) Eşantionare corectă (b) Imposibilitate de precizare a direcției de înaintare (c) Eşantionare incorectă: impresia deplasării în sens invers

Exemplul 2. Presupunem că într-o scenă există un obiect prea mic (relativ la rezoluția spațială) care în secvențe succesive își schimbă poziția. Se poate întâmpla ca, în anumite secvențe, obiectul să fie "lovit" de o rază și să apară în imagine, iar în alte secvențe, să fie încadrat de raze, deci "omis", ceea ce e cu atât mai deranjant cu cât contrastul cu fondul (background) este mai mare.

Exemplul 3. O altă problemă este legată de deplasarea muchiilor. În figura 5.9 se simulează mișcarea lentă a unui poligon cu o latură paralelă cu una din axele de coordonate. Un nou rând de pixeli este aprins doar în momentul în care se acoperă centrele pixelilor. Astfel, latura discretizată a poligonului pare să facă salturi de la o linie la următoarea.

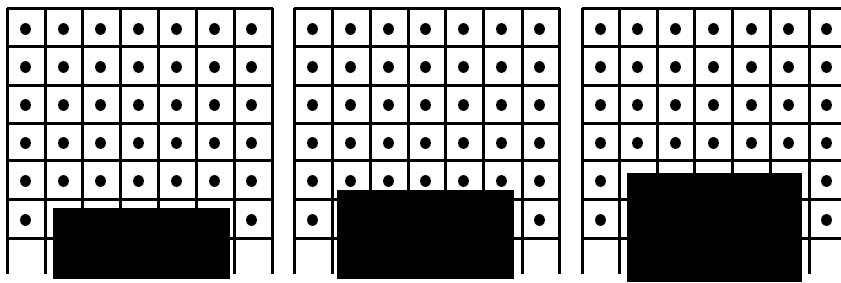


Figura 5.9: Mișcarea lentă a unei laturi a unui poligon

În esență problema aliasing-ului provine din natura discretă a reprezentării (în sistemul grafic) a unui fenomen continuu.

Tehnicile care rezolvă aliasing-ul temporal crează imagini statice neclare în zonele în care apar mișcări rapide ale obiectelor, de aceea aceste tehnici sunt considerate ca incluzând neclarități datorate mișcării (imagini "mișcate", motion blur).

### 5.5.3 Supra-eșantionarea

O soluție posibilă, simplă din punct de vedere conceptual, pentru problemele de mai sus, constă în utilizarea mai multor raze care trec prin același pixel, culoarea finală fiind o medie a colorilor acestor raze. Se aleg anumite puncte de reprezentare a pixelului prin care trec razele, de exemplu cele din figura 5.10 (a).

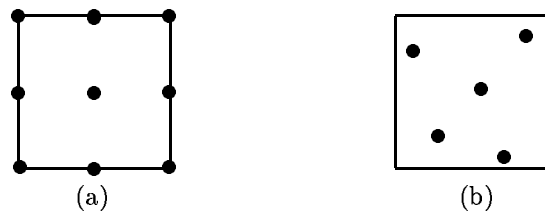


Figura 5.10: (a) Puncte fixe (b) Puncte aleatoare — desemnate pentru a reprezenta un pixel, puncte prin care trec razele vizuale

**Observații:**

1. Supra-eșantionarea (supersampling) nu rezolvă problema, ci doar reduce efectele ei.
2. Supra-eșantionarea este extrem de costisitoare: dacă factorul de multiplicare al razeelor pentru un pixel este  $n$ , atunci timpul de trasare crește de cel puțin  $n$  ori.

Pentru a evita "scăparea" unor obiecte printre razele ce trec prin poziții fixe, se poate utiliza o distribuție aleatoare a razeelor (dar uniformă) peste regiunea corespunzătoare pixelului, prin supra-eșantionare stohastică (figura 5.10.b).

#### 5.5.4 Supra-eșantionarea adaptivă

În ideea de a determina culoarea predominantă în întreaga regiune care reprezintă un pixel se utilizează un număr variabil de raze ce intersectează pixelul (în locul unui număr fix, ca în cazul din secțiunea anterioară).

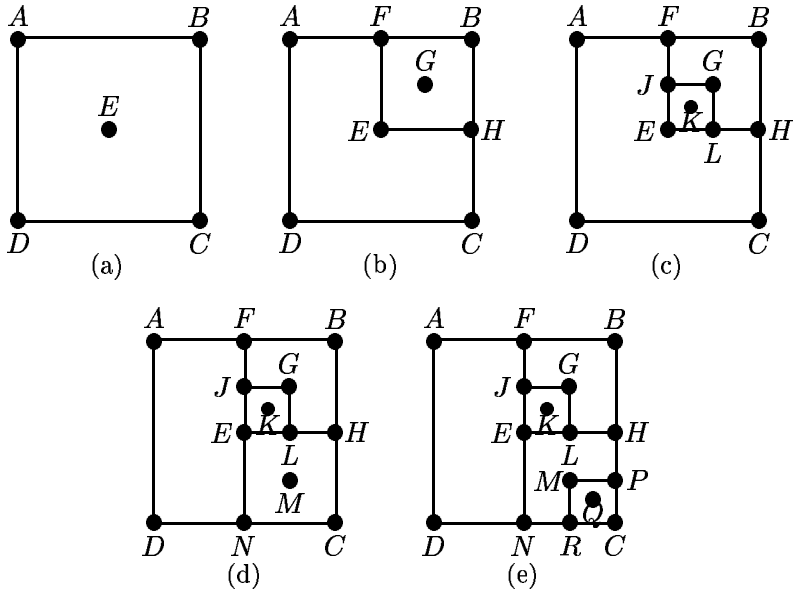


Figura 5.11: Pași într-un algoritm de supra-eșantionare adaptivă

Algoritmul de supra-eșantionare adaptivă (adaptive supersampling) pornește de la o reprezentare prin cinci raze (figura 5.11.a). Dacă fiecare din razele de start au culori apropiate, se va utiliza media lor. Dacă razele de start diferă în culoare, atunci se subdivide pixelul în regiuni mai mici și se repetă pasul pentru fiecare nouă regiune. Astfel, multiplicarea razeelor nu se face pe regiuni de culoare constantă, ci adaptiv, acolo unde apar variații. Se consideră că, în figura 5.11 (a), razele care trec prin  $A$ ,  $D$  și  $E$  au culori similare, ceea ce nu poate fi afirmat și despre  $B$ ,  $C$  și  $E$ . Regiunea mărginită de  $B$  și  $E$  este studiată mai în amănunte. Se trasează noi raze prin  $F$ ,  $G$ ,  $H$  (figura 5.11.b). Se compară cele cinci culori. Presupunem că razele ce trec prin  $F$ ,  $B$ ,  $H$  și  $G$  au culori similare, mai puțin  $E$  cu  $G$ . Regiunea mărginită de  $G$  și  $E$  este studiată mai amănuntit. Se trasează trei noi raze, prin  $J$ ,  $K$  și  $L$  din figura 5.11 (c). Presupunem că toate razele noii regiuni au culori similare. Se revine la regiunea inițială, pentru a studia în amănunte perechea de raze ce trec prin  $C$  și  $E$ . Se trasează două noi raze, prin  $M$  și  $N$  din figura 5.11 (d). Presupunem că razele

specifice noii regiuni au culori similare, mai puțin cele care trec prin  $C$  și  $M$ . Regiunea mărginită de aceste două puncte este analizată în amănunte (figura 5.11.e). Presupunem că în noua subregiune nu există variații semnificative de culoare. Culoarea finală este determinată printr-o medie ponderată:

$$\begin{aligned} & \frac{1}{4} \left( \frac{A+E}{2} + \frac{D+E}{2} + \frac{1}{4} \left[ \frac{F+G}{2} + \frac{B+G}{2} + \frac{H+G}{2} + \right. \right. \\ & \left. \left. + \frac{1}{4} \left\{ \frac{J+K}{2} + \frac{G+K}{2} + \frac{L+K}{2} + \frac{E+K}{2} \right\} \right] + \frac{1}{4} \left[ \frac{E+M}{2} + \right. \right. \\ & \left. \left. + \frac{H+M}{2} + \frac{N+M}{2} + \frac{1}{4} \left\{ \frac{M+Q}{2} + \frac{P+Q}{2} + \frac{C+Q}{2} + \frac{R+Q}{2} \right\} \right] \right) \end{aligned}$$

**Observație.** Problema obiectelor mici nu este rezolvată prin supra-esantionare. Acestea pot "scăpa" printre cele cinci raze inițiale (datorită faptului că sunt în poziții fixe).

## 5.6 Algoritmi de intersecție

Partea principală a oricărui pachet de programe pentru ray-tracing ("înima") o constituie un set de rutine de intersecție rază–obiect.

În funcție de tipul razei, diverse informații sunt semnificative:

- pentru o rază trasată de la observator, rutina de intersecție trebuie să returneze cel mai apropiat punct de intersecție și normala la suprafață în punctul respectiv;
- pentru o rază de tip senzor de umbră (shadow feeler) important este dacă punctul de intersecție e mai apropiat decât sursa de lumină (caz în care punctul respectiv este în umbră);
- pentru o rază trasată spre un volum maximal (vezi capitolul 4) este suficientă informația de intersecție/nonintersecție (astfel de raze se utilizează în tehnici de accelerare).

O altă informație utilă este poziția punctului de intersecție relativ la o "hartă" ce urmează să fie mapată pe suprafața pe care se află punctul (informație utilă în cazul suprapunerii unei texturi peste obiect).

În principiu, algoritmii de intersecție sunt dependenți de forma obiectului de intersecție. O clasă de obiecte pentru care rutinele de intersecție sunt ceva mai simple o reprezentă obiectele a căror ecuație este o cuadică. Exemple particulare de astfel de obiecte sunt sfera, planul, cilindrul, conul, etc. Pentru anumite cazuri particulare (sferă, plan) se pot proiecta rutine mai simple decât rutina generală de intersecție cu o cuadică.

Punctele de intersecție ale unei raze cu un obiect pot fi multiple, dar numărul lor poate fi redus (pot fi luate în considerare doar unele dintre ele) de la bun început. De exemplu, raza fiind o semidreaptă nu intersecează decât suprafețele care se află pe partea "activă" a razei, deci nu în "spatele" originii razei.

### 5.6.1 Intersecția cu o sferă

Soluția algebrică (brută)

Fie raza definită prin

$$\begin{aligned} \text{origine: } & R_0 \equiv (X_0, Y_0, Z_0), \\ \text{direcție: } & R_d \equiv (X_d, Y_d, Z_d), \end{aligned}$$

unde  $X_d^2 + Y_d^2 + Z_d^2 = 1$  (vector normalizat), astfel încât ecuația parametrică (explicită) a razei este

$$R(t) = R_0 + t \cdot R_d, \quad t > 0. \quad (5.1)$$

Observații:

1. Punctele pentru care  $t < 0$  se află în spatele originii.
  2. Punctul obținut pentru  $t = 0$  nu este luat în considerare din motive ce țin de precizia calculelor.
  3. Vectorul direcțional nu trebuie să fie în mod necesar normalizat, dar acest lucru este recomandat pentru ca lungimile de-a lungul razei să fie exprimate în unitățile corespunzătoare sistemului de coordonate al lumii reale).
- Sfera se definește astfel:

$$\text{centrul: } S_c \equiv (X_c, Y_c, Z_c),$$

$$\text{raza: } S_r,$$

$$\text{suprafața: } \{(X_s, Y_s, Z_s) \mid (X_s - X_c)^2 + (Y_s - Y_c)^2 + (Z_s - Z_c)^2 = S_r^2\} \quad (5.2)$$

Observație: Ecuația sferei este implicită, adică prin ecuația dată nu se pot genera direct punctele de pe suprafața sferei, dar se poate testa dacă un punct este pe sferă, în interior sau în exterior, prin înlocuirea coordonatele sale în ecuația sferei.

Pentru a rezolva problema intersecției rază-sferă se înlocuiesc în ecuația sferei (5.2) coordonatele  $X_s, Y_s, Z_s$  cu cele rezultate din ecuația parametrică a razei (5.1). Punctele de intersecție sunt notate generic cu  $(X, Y, Z)$ . Atunci

$$\begin{cases} X = X_0 + t \cdot X_d, \\ Y = Y_0 + t \cdot Y_d, \\ Z = Z_0 + t \cdot Z_d. \end{cases} \quad (5.3)$$

În plus are loc

$$(X_0 + t \cdot X_d - X_c)^2 + (Y_0 + t \cdot Y_d - Y_c)^2 + (Z_0 + t \cdot Z_d - Z_c)^2 = S_r^2. \quad (5.4)$$

Rezultă o ecuație de grad doi în  $t$ :

$$At^2 + Bt + C = 0, \quad (5.5)$$

unde

$$\begin{cases} A = X_d^2 + Y_d^2 + Z_d^2 = 1, \\ B = 2[X_d(X_0 - X_c) + Y_d(Y_0 - Y_c) + Z_d(Z_0 - Z_c)], \\ C = (X_0 - X_c)^2 + (Y_0 - Y_c)^2 + (Z_0 - Z_c)^2 - S_r^2. \end{cases}$$

Valorile  $S_r^2$  și  $C$  nu depind de direcția razei și pot fi calculate o singură dată pentru obiectul-sferă dat. Ecuatia în  $t$  are soluțiile:

$$t_0 = \frac{-B - \sqrt{B^2 - 4C}}{2}, \quad t_1 = \frac{-B + \sqrt{B^2 - 4C}}{2}. \quad (5.6)$$

Observații:

1. Dacă discriminantul este negativ (ecuația nu are soluții reale), concluzia este că raza nu intersectează sferă.
2. Întrucât condiția inițială este  $t > 0$ , se examinează  $t_0$  și  $t_1$ : rădăcina pozitivă mai mică reprezintă cel mai apropiat punct de intersecție.
3. Se pot omite anumite calcule: dacă  $t_0 > 0$  atunci nu se mai calculează  $t_1$  (pentru că este mai mare decât  $t_0$ , deci nu este punctul căutat).

Cunoscută fiind rădăcina  $t$  cea mai mică, corespunzătoare celui mai apropiat punct de intersecție, componentele acestui punct de intersecție sunt calculate din ecuația dreptei:

$$r_i \equiv (x_i, y_i, z_i) = (X_0 + t \cdot X_d, Y_0 + t \cdot Y_d, Z_0 + t \cdot Z_d), \quad (5.7)$$

iar vectorul unitate (versor) normal la suprafața sferei în respectivul punct este

$$r_n = \left( \frac{x_i - X_c}{S_r}, \frac{y_i - Y_c}{S_r}, \frac{z_i - Z_c}{S_r} \right). \quad (5.8)$$

Dacă originea razei se află în interiorul sferei, atunci normala se negativează pentru a fi îndreptată în sens contrar razei. Din punct de vedere computațional, se preferă să se calculeze o singură dată valoarea  $1/S_r$ , cantitate utilizată în trei multiplicări pentru determinarea normalei (o multiplicare este mai rapidă decât o diviziune).

**Exemplu.** Fie raza definită de  $R_0 = (1, -2, -1)$ ,  $R_d = (1, 2, 4)$  și sferă  $S_r = 3$ ,  $S_c = (3, 0, 5)$ . Punctul de intersecție este  $r - I = (1.816, -0.368, 2.269)$ , iar normala la suprafață în respectivul punct,  $r_n = (-0.395, -0.123, -0.910)$ .

Considerând că se fac toate precalculele necesare ( $S_r^2$ ,  $1/S_r$ ), algoritmul de intersecție decurge astfel:

- Pas 1: se calculează  $A$ ,  $B$ ,  $C$  (8 adunări/scăderi și 7 înmulțiri);  
 Pas 2: se calculează discriminantul ecuației în  $t$  (1 scădere, 2 înmulțiri și 1 comparație);  
 Pas 3: se calculează  $t_0$  și se decide dacă soluția căutată, adică  $t_0 > 0$  (1 scădere, 1 înmulțire, 1 radical și 1 comparație);  
 Pas 4: dacă  $t_0 < 0$ , atunci se calculează  $t_1$  și se decide dacă e soluția căutată, adică  $t_1 > 0$  (1 scădere, 1 înmulțire și 1 comparație);  
 Pas 5: se calculează componentele punctului de intersecție (3 adunări, 3 înmulțiri);

Pas 6: se calculează normală la suprafață în punctul de intersecție (3 scăderi, 3 înmulțiri).

Pentru cazul cel mai defavorabil se efectuează 17 adunări/scăderi, 17 înmulțiri, 1 radical, 3 comparații. Numărul de operații se poate reduce prin abordarea soluției geometrice.

### Soluția geometrică

O asemenea soluție este utilizată pentru a accelera rutina de intersecție.

Observații:

1. Pentru reducerea timpului de calcul trebuie evitate operațiile tip radical, împărțire, înmulțire.
2. De multe ori se pot elimina anumite calcule dacă se fac teste impuse de situația concretă.
3. Studiind aspectul geometric se poate stabili, de exemplu, că raza se îndepărtează de sferă, deci, evident, n-o intersectează.

O strategie îmbunătățită pe baza acestor observații este următoarea:

Pas 1: stabilește dacă originea razei este în afara sferei.

Pas 2: determină punctul de pe rază cel mai apropiat de centrul sferei.

Pas 3: dacă raza este exterioară și se îndepărtează de sferă, atunci nu intersectează sferă.

Pas 4: altfel, determină pătratul distanței minime de la punctele razei la suprafața sferei.

Pas 5: dacă valoarea este negativă, raza nu intersectează sferă.

Pas 6: altfel se determină distanța rază – suprafață.

Pas 7: calculează punctele de intersecție.

Pas 8: calculează normală în punctul de intersecție.

Observație. Expresiile lui  $r_i$  și  $r_n$  sunt evaluate funcție de necesități.

Se consideră că raza este dată parametric (5.1), iar sferă, implicit (5.2).

Dacă  $OC = S_c - R_0$  este vectorul care unește originea razei ( $R_0$ ) cu centrul sferei ( $S_c$ ), atunci se determină dacă originea este interioară pe baza cantității

$$L_{2oc} = L_{oc}^2 = (S_c - R_c)^2. \quad (5.9)$$

Dacă  $L_{2oc} < S_r^2$ , originea razei este în interiorul sferei, iar dacă  $L_{2oc} \geq S_r^2$ , originea este pe sferă sau exterioară sferei, astfel încât raza poate să nu intersecteze sferă (figura 5.12.a,b). O rază care are originea pe sferă se consideră că nu intersectează sferă (prin convenție).

Problema determinării distanței minime de la rază la centrul sferei este echivalentă cu a găsi intersecția razei cu planul perpendicular pe rază și care trece prin  $S_c$ . Se notează cu  $t_{ca}$  produsul scalar

$$t_{ca} = (S_c - R_0) \cdot R_d. \quad (5.10)$$

Se observă că, dacă  $t_{ca} < 0$ , atunci centrul sferei este "în spatele" lui  $R_0$  (figura 5.12.d). Distanța minimă este  $D$ , unde  $D^2 = L_{oc}^2 - t_{ca}^2$ . Se determină cantitatea

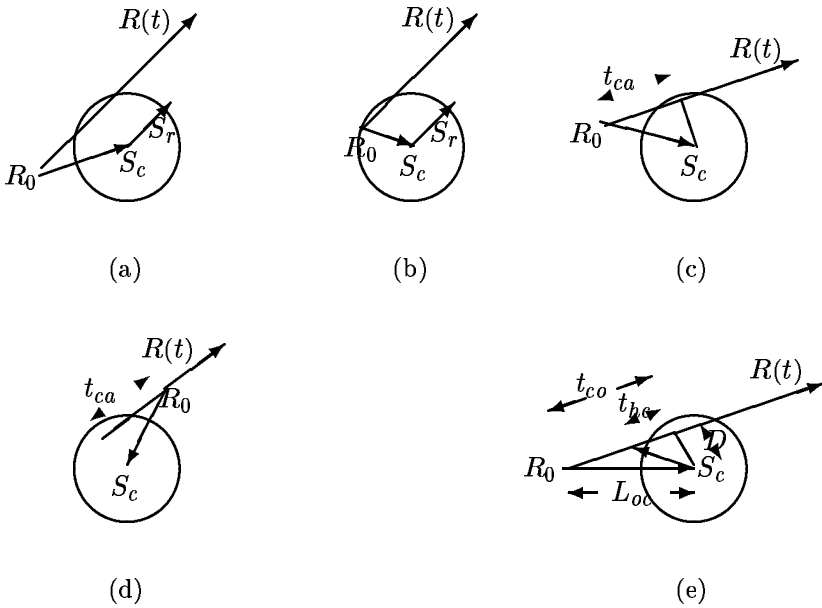


Figura 5.12: (a) Rază cu origine exterioară sferei (b) Rază cu origine interioară sferei (c) Două intersecții (d) O singură intersecție (e) Calculul distanței  $D$

$$t_{2hc} = t_{hc}^2 = S_r^2 - D^2, \text{ adică}$$

$$t_{2hc} = S_r^2 - L_{2oc} - t_{ca}^2. \quad (5.11)$$

Dacă  $t_{2hc} < 0$ , raza nu intersectează sferă (figura 5.12.e). Altfel, valoarea parametrului  $t$  corespunzător intersecției este

$$t = \begin{cases} t_{ca} - \sqrt{|t_{2hc}|}, & \text{rază cu origine exterioară sferei,} \\ t_{ca} + \sqrt{|t_{2hc}|}, & \text{rază cu originea interioară sferei.} \end{cases} \quad (5.12)$$

Acstea relații pot fi interpretate astfel: dacă raza "lovește" sferă și nu este tangentă, atunci există două puncte de intersecție. Astfel,

- când  $R_0$  este exterior sferei, se consideră punctul cel mai apropiat de origine, adică cu  $t$  cel mai mic, drept prim punct de intersecție (semn negativ în fața discriminantului);
- când  $R_0$  este interior sferei, cantitatea  $t_{ca}$  este negativă, astfel încât se alege  $t$  valoarea cea mai mare (semnul plus în fața discriminantului pentru un  $t > 0$ ).

Coordonatele punctului de intersecție și normala la suprafață se calculează ca în paragraful anterior, ecuațiile (5.7), (5.8).

Algoritmul de intersecție bazat pe aceste calcule constă în următorii pași:  
Pas 1: determină  $L_{2oc}$  (5 adunări/scăderi, 3 înmulțiri);

Pas 2: calculează  $t_{ca}$  (2 adunări, 3 înmulțiri);  
 Pas 3: test de exterioritate și îndepărțare:  $t_{ca} < 0$  și  $L_{2oc} \geq S_r^2$  (2 comparații);  
 Pas 4: determină  $t_{2hc}$  (2 adunări/scăderi, 1 înmulțire);  
 Pas 5: test dacă  $t_{2hc} < 0$  (1 comparație);  
 Pas 6: calculează  $t$  corespunzător intersecției (1 adunare/scădere, 1 radical);  
 Pas 7: calculează coordonatele punctului de intersecție (3 adunări, 3 înmulțiri);  
 Pas 8: calculează normala în punctul de intersecție (3 adunări, 3 înmulțiri).  
 În cel mai defavorabil caz se efectuează 16 adunări/scăderi, 13 înmulțiri, 1 radical, 3 comparații. Se observă reducerea numărului de operații față de soluția algebrică, fapt ce permite o procesare mai rapidă.

#### Probleme de precizie a calculelor

Efectuarea calculelor în virgulă flotantă poate fi asemuită cu mutarea unor gramezi de nisip – la fiecare mutare se pierd câteva grăunțe de nisip. În mod similar, la fiecare operație în virgulă flotantă se pierde ceva din precizia rezultatului.

În algorimul de ray-tracing se întâmplă frecvent ca originea unei raze să se afle chiar pe sferă. Pentru un asemenea punct  $t = 0$  și, deci, originea este ignorată ca punct de intersecție. Practic, în urma calculelor se găsește un punct de intersecție care urmează să fie originea unei noi raze. Datorită impreciziei calculelor (dar și datorită erorii de reprezentare) în virgulă flotantă, se poate întâmpla ca punctul de intersecție să fie "sub" suprafața sferei (figura 5.13.a). Când se trasează o rază din acest punct spre o sursă de lumină, de exemplu, ea va întâlni suprafața sferei și se poate trage concluzia, lipsită de sens, că punctul de pe sferă este umbrit chiar de sferă în cauză. Efectul practic este apariția pe suprafața sferei a unor puncte în umbră, inexistente în realitate.

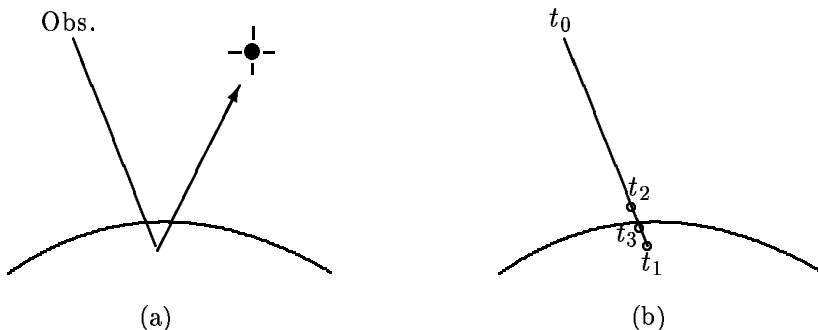


Figura 5.13: (a) Problemă la aproximarea intersecțiilor (b) Procesul iterativ de determinare a intersecțiilor

Această problemă poate interveni la intersecția cu oricare alt tip de suprafață.

Soluția 1. O soluție de tratare a problemei cauzate de imprecizia calculelor

constă în asocierea unui indicator (flag) cu originea razei, indicator care să precizeze că originea e chiar pe suprafață, lucru posibil întrucât punctul respectiv se știe că a fost obținut ca urmare a unui algoritm de intersecție, deci el trebuie să fie "pe" suprafață (chiar dacă coordonatele îl plasează doar "în apropierea" suprafeței).

Apare însă o altă problemă: dacă corpul pe a cărui suprafață se află punctul este un "transmițător" (raza pornind din acel punct trebuie să-l străbată), atunci trebuie efectuate anumite teste pentru a permite razei de refracție să lovească cealaltă parte a corpului.

Soluția 2. O soluție simplă constă în a testa dacă  $t$  corespunzător intersecției se încadrează într-o anumită toleranță: de exemplu, dacă  $\text{abs}(t) < 0.00001$ , atunci se poate considera că punctul obținut utilizând  $t$  corespunde situației în care originea este pe suprafață.

Trebuie avută însă în vedere scalarea toleranței conform situației concrete: dacă sferele reprezintă atomi, iar razele se exprimă în metri, 0.00001 metri ar fi mult mai mare decât diametrul oricărui atom!

Pe de altă parte, toleranța poate fi relativă la raza sferei intersectate.

Soluția 3. Rafinarea iterativă a soluțiilor poate fi o cale de rezolvare a problemei. De exemplu, fie  $t$  soluția ecuației de grad doi corespunzător intersecției. Este probabil ca înlocuind coordonatele punctului de intersecție în ecuația implicită a sferei, să se obțină o indicație că aceea de "punct în apropierea suprafeței". Pornind din acest punct se caută o nouă intersecție a razei ce pornește din noul punct cu sfera (aceeași direcție cu prima rază, dacă punctul de intersecție este în afara sferei, direcție inversă, altfel). Se determină noul  $t$  al intersecției. Procesul iterativ poate continua până când  $t$  se încadrează într-o toleranță prestabilită (figura 5.13.b).

Soluția 4. Se poate muta punctul de intersecție obținut din calcule, în afara sau în interiorul sferei, în funcție de necesități. Mai precis, dacă din punctul de intersecție găsit trebuie trasate noi raze, trebuie să ne asigurăm că el se află de partea "corectă" a suprafeței (în afara sferei pentru raze de sesizare a umbrei și pentru raze reflectate, respectiv în interior pentru raze refractate). Dacă punctul nu se află în partea dorită a suprafeței el poate fi mutat de-a lungul normalei până se constată (prin teste: înlocuind coordonatele punctului în ecuația sferei și testând semnul obținut) că a ajuns în partea dorită.

#### Mapare inversă pe sferă

Pentru fiecare punct de intersecție de pe suprafața sferei, textura poate varia. De exemplu, se dorește suprapunerea unei hărți peste o sferă. Culoarea fiecărui pixel (punct de intersecție cu sferă) este preluată din hartă. Problema constă în a determina care puncte din hartă corespund fiecărui pixel în parte (coordonatele punctului de intersecție se convertesc în longitudine și latitudine pe hartă).

Intrarea algoritmului de mapare inversă pe sferă (spherical inverse mapping) o constituie normala  $S_n$  la suprafața sferei în punctul de intersecție

$r_i$  și următoarea descriere a axelor sferei:

$$\begin{aligned} \text{axa polului: } & S_p \equiv (X_p, Y_p, Z_p), \\ \text{axa ecuatorului: } & S_e \equiv (X_e, Y_e, Z_e). \end{aligned} \quad (5.13)$$

Prin definiție,  $S_p \cdot S_e = 0$  ( $S_p$  este perpendicular pe  $S_e$ ,  $S_p$  și  $S_e$  sunt vectori unitari). Se consideră parametrul  $u$  ce variază de-a lungul ecuatorului, de la 0 la 1 (la polii  $u = 0$ ). Parametrul  $v$  variază între 0 și 1, de la polul sud la polul nord (de la  $-S_p$  la  $S_p$ ).

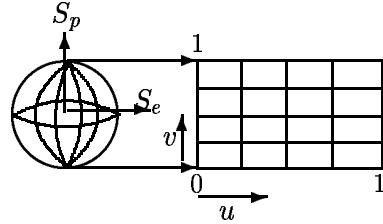


Figura 5.14: Maparea inversă pentru o sferă

Normala la suprafață  $S_n$  (versor) într-un punct de intersecție are aceeași direcție ca și vectorul unitate cu originea în centrul sferei și capătul în punctul de intersecție (figura 5.14).

Latitudinea se calculează astfel:

$$\phi = \arccos(-S_n \cdot S_p), \quad v = \phi/\pi. \quad (5.14)$$

Dacă  $v = 0$  sau  $v = 1$  longitudinea  $u = 0$ , altfel

$$\theta = \frac{\arccos((S_e \cdot S_n)/\sin(\phi))}{2\pi}, \quad u = \begin{cases} \theta, & (S_p \times S_e) \cdot S_n > 0, \\ 1 - \theta, & \text{altfel.} \end{cases} \quad (5.15)$$

Produsul vectorial  $S_p \times S_e$  poate fi precalculat. Efectul testului este acela de a determina de ce parte a lui  $S_e$  (meridianul Greenwich, în cazul hărții) se află punctul de intersecție.

### 5.6.2 Intersecția cu un plan

Fie raza definită prin

$$\begin{aligned} \text{origine: } & R_0 \equiv (X_0, Y_0, Z_0), \\ \text{direcție: } & R_d \equiv (X_d, Y_d, Z_d), \end{aligned}$$

unde  $X_d^2 + Y_d^2 + Z_d^2 = 1$  (vector normalizat), astfel încât ecuația parametrică (explicită) a razei este

$$R(t) = R_0 + t \cdot R_d, \quad t > 0.$$

Planul se definește implicit prin

$$Ax + By + Cz + D = 0, \quad (5.16)$$

unde  $A^2 + B^2 + C^2 = 1$ . Vectorul unitar normal la plan este

$$P_n = (A, B, C), \quad (5.17)$$

iar distanța de la originea sistemului de coordonate la plan este  $D$ . Semnul lui  $D$  indică de care parte a planului se află originea sistemului de coordonate.

În aceste condiții, parametrul  $t$  corespunzător intersecției se determină din

$$A(X_0 + t \cdot X_d) + B(Y_0 + t \cdot Y_d) + C(Z_0 + t \cdot Z_d) + D = 0,$$

adică

$$t = -\frac{AX_0 + BY_0 + CZ_0 + D}{AX_d + BY_d + CZ_d}, \quad (5.18)$$

sau în notație vectorială

$$t = -\frac{P_n \cdot R_0 + D}{P_n \cdot R_d}. \quad (5.19)$$

Numitorul expresiei,  $v_d = P_n \cdot R_d$ , este o valoare decisivă pentru intersecție. Dacă  $v_d = 0$ , atunci raza este paralelă cu planul (deci nu intersectează planul). Dacă  $v_d > 0$ , normală la plan se "îndepărtează" de rază și, dacă planele sunt considerate cu o singură față (exterior), atunci algoritmul se termină. Astfel, se calculează numărătorul expresiei lui  $t$ ,  $v_0 = -(P_n \cdot R_0 + D)$  și apoi  $t = v_0/v_d$ . Dacă  $t < 0$ , atunci linia definită de rază intersectează planul în spatele originii razei și, deci, nu există intersecția căutată. Astfel, se calculează punctul de intersecție cu:

$$r_i = (x_i, y_i, z_i) = (X_0 + t \cdot X_d, Y_0 + t \cdot Y_d, Z_0 + t \cdot Z_d). \quad (5.20)$$

În mod obișnuit, normală la plan de care este nevoie în algoritm este cea aflată de același parte a planului ca și raza. De aceea este necesară ajustarea semnului normalei  $P_n$  în funcție de relația sa cu vectorul de direcție  $R_d$  al razei. Astfel,  $P_n$  este înlocuit în ecuații cu  $r_n$ , unde

$$r_n = \begin{cases} P_n, & P_n \cdot R_d < 0 \ (v_d > 0), \\ -P_n, & \text{altfel.} \end{cases} \quad (5.21)$$

Algoritmul de intersecție constă în următorii pași:

Pas 1: se calculează  $v_d$  și se compară cu 0 (2 adunări, 3 înmulțiri, 1 comparare);

Pas 2: se calculează  $v_0$  și  $t$  și se compară  $t$  cu 0 (3 adunări, 3 înmulțiri, 1 comparare);

Pas 3: se calculează coordonatele punctului de intersecție (3 adunări, 3 înmulțiri);

Pas 4: se compară  $v_d$  cu 0 și se inversează normală (1 comparare).

În total, în cel mai defavorabil caz, se efectuează 8 adunări/scăderi, 9 înmulțiri, 3 comparări.

### 5.6.3 Intersecția cu un poligon

Odată stabilită intersecția cu un plan, e necesar uneori (atunci când în planul respectiv se află o față a unui obiect), să se determine dacă punctul de intersecție este interior sau exterior unui poligon. Metoda clasică constă în aplicarea testului par-impar (capitolul 4).

### 5.6.4 Intersecția cu un paralelipiped

Acest tip de intersecție este util atât în cazul obiectelor paralelipipedice, cât și în cazul când obiecte complicate (complexe) sunt încadrate într-un paralelipiped (volume de mărginire, capitolul 4) cu care se testează intersecția și, în caz afirmativ, se încearcă determinarea intersecției cu obiectul în cauză, altfel nu.

Ideea de bază constă în a considera un paralelipiped ca volumul obținut prin intersecția a trei perechi de plane paralele.

Raza intersecției fiecare pereche de plane paralele într-un punct mai apropiat și într-un punct mai îndepărtat. Dacă cea mai mare dintre valorile apropiate este mai mare decât cea mai mică dintre valorile îndepărtate, atunci raza nu intersecțiază paralelipipedul. Astfel, îl intersecțiază.

Fie un paralelipiped cu laturi paralele cu axele de coordonate, definit prin:

$$\begin{aligned} \text{punctul cel mai apropiat de origine: } & B_1 = (X_1, Y_1, Z_1), \\ \text{punctul cel mai îndepărtat de origine: } & B_h = (X_h, Y_h, Z_h). \end{aligned}$$

Raza este descrisă parametric.

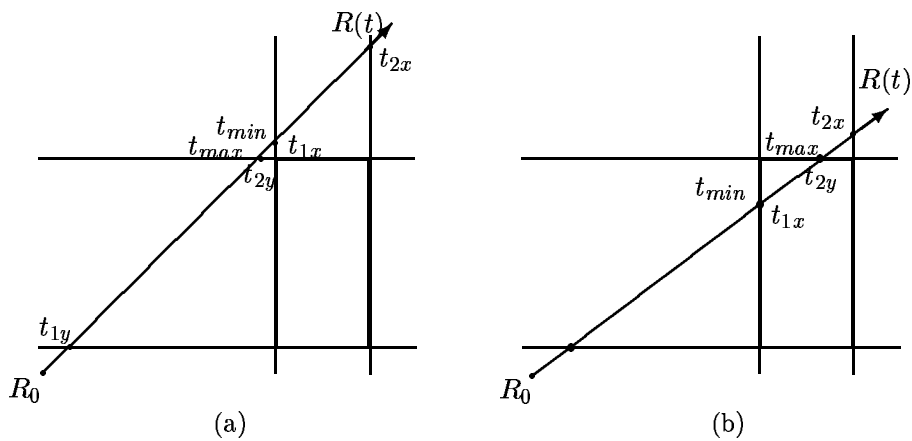


Figura 5.15: Test de intersecție paralelipiped – rază (a)  $t_{min} > t_{max}$  și raza nu intersecțiază paralelipipedul (b)  $0 < t_{min} < t_{max}$  și  $t_{min}$  caracterizează punctul de intersecție

Algoritmul de test al intersecției este următorul:

- (a) fie  $t_{min} = -\infty$ ,  $t_{max} = \infty$  (arbitrar de mari);
- (b) pentru fiecare pereche de plane paralele delimitatoare ale paralelipipedului (paralele cu axele  $x$ ,  $y$ ,  $z$ ) se efectuează următoarele (exemplificare pentru cazul planelor paralele cu axa  $x$ ):
  - dacă  $X_d = 0$ , raza este paralelă cu planele și dacă  $X_0$  nu se află între planele paralele ( $X_0 < X_1$  sau  $X_0 > X_h$ ), atunci nu există intersecție;
  - altfel, raza nu este paralelă cu planele și
    - calculează distanțele până la intersecțiile cu planele:
- (c) dacă testele de respingere de mai sus nu au succes, raza intersectează paralelipipedul în două puncte corespunzătoare lui  $t_{min}$  și  $t_{max}$  (figura 5.15.b).
  - continuă cu alte perechi de plane

$$t_1 = (X_1 - X_0)/X_d, \quad t_2 = (X_h - X_0)/X_d; \quad (5.22)$$

- dacă  $t_1 > t_2$ , interschimbă  $t_1$  cu  $t_2$ ;
- dacă  $t_1 > t_{min}$ , atunci  $t_1 = t_{min}$ ;
- dacă  $t_2 < t_{max}$ , atunci  $t_2 = t_{max}$ ;
- dacă  $t_{min} > t_{max}$ , atunci paralelipipedul nu este intersectat (figura 5.15.a);
- dacă  $t_{max} < 0$ , atunci paralelipipedul este în spatele razei;

- continuă cu alte perechi de plane

- (c) dacă testele de respingere de mai sus nu au succes, raza intersectează paralelipipedul în două puncte corespunzătoare lui  $t_{min}$  și  $t_{max}$  (figura 5.15.b).

## C a p i t o l u l 6

### I n t e r f e ț e   u t i l i z a t o r

Dacă în perioada de început a prelucrării datelor cu ajutorul calculatorului electronic, ponderea principală o aveau calculele propriu-zise, odată cu creșterea complexității aplicațiilor și datorită necesității interacțiunii dintre utilizator și program, a crescut ponderea codului destinat acestei interacțiuni.

Deși nu există o definiție unanim acceptată și general valabilă pentru interfața utilizator, se poate spune că aceasta reprezintă ansamblul dispozitivelor logice (de interacțiune între utilizator și aplicație) și a sarcinilor (task-uri) elementare de interacțiune (implementate cu diverse tehnici de interacțiune) care asigură introducerea interactivă a datelor de intrare, controlul interactiv al execuției programului și obținerea rezultatelor intermediare sau finale.

### 6.1 Elemente de bază ale interfețelor utilizator

În contextul general al graficăi interactive — și în particular, al interfețelor grafice — avantajele și dezavantajele dispozitivelor de interacțiune sunt abordate la unul dintre următoarele trei nivele:

- dispozitiv (caracteristici hard);
- task (tehnici de interacțiune comparate în implementări utilizând dispozitive diferite);
- dialog (secvențe de interacțiuni considerate sub aspectul ușurinței desfășurării unui dialog).

### 6.2 Dispozitive de intrare

Dispozitivele de intrare pot fi analizate din două puncte de vedere: fizic și logic. Dispozitivele fizice de intrare se referă la acele dispozitive hardware prin care utilizatorul introduce informații într-un sistem de calcul. Dispozitivele logice de intrare reprezintă tipurile de interacțiune posibile într-o aplicație.

Dispozitive logice de bază sunt:

1. locatorul,
2. tastatura,
3. valuatorul,
4. selectorul.

Dezvoltarea unor aplicații de avangardă a exercitat presiuni asupra proiectanților de dispozitive care au oferit noi tipuri de dispozitive. Pe de altă parte (feedback!), noile dispozitive fizice disponibile reprezintă o provocare pentru proiectanții de aplicații pentru a dezvolta noi tehnici de interacțiune.

Dispozitive specializate de intrare mai puțin comune sunt:

- (a) dispozitive pentru recunoașterea vocii;
- (b) diverse tipuri de tablete grafice, sensibile la presiune sau orientare;
- (c) dispozitive de interacțiune tridimensională.

Astfel, unele dintre dispozitivele de interacțiune 2D au fost extinse pentru a permite interacțiuni 3D (de exemplu: joystick-ul, trackball-ul, spaceball-ul, data glove, etc. Astfel de dispozitive se utilizează frecvent în aplicații din domeniul realității virtuale (Virtual Reality).

### **6.2.1 Locatorul**

Locatorul este un dispozitiv utilizat pentru a indica o poziție și/sau o orientare în spațiul de lucru.

Dispozitivele fizice de tip locator pot fi clasificate funcție de trei caracteristici independente:

1. după sistemul de coordonate propriu:
  - (a) dispozitivele absolute (de exemplu, digitizoarele) au o origine și precizează pozițiile în raport cu acea origine;
  - (b) dispozitivele relative (de exemplu mouse, trackball, joystick) nu au o origine absolută, ele precizând doar modificări față de poziția anterioară;
2. după modul de interacțiune:
  - (a) dispozitivele directe (de exemplu, lightpen sau touch screen): poziția curentă este indicată prin poziționarea dispozitivului pe ecran;
  - (b) dispozitivele indirecte (de exemplu, mouse sau joystick): mutarea cursorului (poziției curente) pe ecran cu ajutorul dispozitivului care nu atinge ecranul. Astfel de dispozitive presupun realizarea unei coordonări între ochiul și mâna utilizatorului.
3. după tipul poziționării:
  - (a) dispozitivele continue (de exemplu, joystick sau mouse) sunt dispozitive care transformă o deplasare lină și continuă a mâini într-o deplasare similară a cursorului pe ecran.
  - (b) dispozitivele discrete (de exemplu, săgețile de pe tastatură) permit deplasarea cursorului doar pe direcții prestabilite, cu incrementi de deplasare prestabilită, eventual în poziții prestabilite.

Observație. Viteza de deplasare a cursorului la dispozitivele continue este afectată de rata  $C/D$  (Control - to - Display), adică de viteza de deplasare

a mâini raportată la deplasarea cursorului.

### 6.2.2 Tastatura

Reprezintă unul dintre dispozitivele de intrare cele mai comune. În principal, este utilizat pentru introducerea sirurilor de caractere. Poate fi utilizat însă și pentru a suplini locatorul (poziționare), valuatorul (precizarea unei valori) sau selectorul (alegerea unei variante din mai multe posibile).

Cel mai des întâlnit tip de tastatură este tastatura Qwerty. Există însă și alte tipuri de tastaturi, cum ar fi tastatura Dvorak, la care literele frecvent utilizate sunt plasate în poziții de bază ale degetelor, sau tastatura pentru stenodactilografie.

### 6.2.3 Valuatorul

Valuatorul este un dispozitiv logic care permite introducerea unui număr ce reprezintă o valoare numerică a unui parametru.

Din punct de vedere fizic, valuatorile pot fi de tipul potențiometrelor de radio rotative sau liniare. Poziția potențiometrului față de origine precizează valoarea numerică.

Valuatorul poate fi cu plată fixă de valori, valorile obținute de la un asemenea dispozitiv fiind absolute (de exemplu, butoane gen potențiometru de volum), sau cu plată nemărginită de valori, valorile obținute fiind relative (potențiometrii fără poziție maximă și minimă).

### 6.2.4 Selectorul

Selectorul sau intrerupătorul este un dispozitiv logic care permite selecția unei variante din mai multe alternative posibile (listă de stări sau acțiuni posibile).

Dispozitivele fizice tipice pentru selectare sunt tastele funcționale dar și dispozitive专特化 de tip intrerupător (de exemplu, butoanele mouse-ului sau a trackball-ului).

## 6.3 Sarcini de interacțiune

O sarcină de interacțiune (tip de interacțiune, unitate de interacțiune, interaction task) reprezintă unitatea de informație semnificativă în contextul aplicației (interactive) pe care utilizatorul o poate produce cu ajutorul unui dispozitiv de interacțiune.

Observație. O sarcină de interacțiune diferă de un dispozitiv logic de intrare prin aceea că definește ce realizează utilizatorul, în timp ce dispozitivele logice precizează cum se realizează o anumită interacțiune. Sarcinile de interacțiune sunt centrate utilizator, în timp ce dispozitivele logice de intrare reprezintă un concept orientat către programator și pachetele grafice.

Se pune întrebarea: cât de mică sau cât de mare este o astfel de unitate de informație? De exemplu, deplasarea unui dispozitiv de poziționare pe o anumită distanță, determină o unitate de informație dacă noua poziție semnifică repoziționarea unui obiect sau specificarea unui capăt de segment. În schimb mutarea cursorului peste un element de meniu nu reprezintă o unitate de informație.

Sarcinile de interacțiune pot fi clasificate astfel:

1. sarcini de interacțiune de bază (Basic Interaction Task, prescurtate BIT), care sunt unități de informație indivizibile (pe baza acestei definiții și analogiei cu chimia, le putem numi atomi de interacțiune);
2. sarcini de interacțiune compuse (Composite Interaction Task, prescurtate CIT), care se obțin prin agregarea (compunerea) mai multor BIT (molecule de interacțiune).

O tehnică de interacțiune reprezintă modul în care se realizează o sarcină de interacțiune. De exemplu, o selecție poate fi realizată printr-un "clic" cu mouse-ul pe un element de meniu, prin introducerea numelui (identificatorului) elementului de selectat de la tastatură, prin apăsarea unei taste funcționale asociată cu varianta, sau utilizând un dispozitiv de recunoaștere a vocii. Un alt exemplu este cel al unui dispozitiv de intrare folosit în mai multe tipuri de interacțiune.

Un set complet de BIT-uri pentru grafica interactivă este constituit din:

- (a) poziționare,
- (b) selecție,
- (c) introducere de text,
- (d) introducere de valori numerice.

Fiecare dintre aceste sarcini de interacțiune de bază poate fi realizat prin mai multe tehnici de interacțiune.

## 6.4 Sarcini de interacțiune de bază

### 6.4.1 Poziționarea

Poziționarea necesită specificarea unui set de coordonate bidimensionale sau tridimensionale. Tehnica folosită de obicei pentru poziționare implică fie mutarea cursorului pe ecran în poziția dorită și apoi apăsarea unui buton, fie precizarea coordonatelor prin intermediul unei tastaturi reale sau virtuale.

Indiferent de tehnica utilizată, apar o serie de probleme generale pentru toate aceste tehnici:

1. sistemele de coordonate,
2. rezoluția,
3. grila,
4. feedback-ul,
5. timpul de acomodare.

## Sisteme de coordonate

Sistemul de coordonate devine o problemă importantă atunci când, în cursul poziționării, se primește reacția de la sistemul asupra căruia se acționează.

De exemplu, dacă un dispozitiv de tip locator este mutat spre dreapta pentru a "trage" un obiect, apare problema direcției de mutare a obiectului. Există cel puțin trei posibilități: obiectul se mută

- (a) în sensul pozitiv al axei  $x$  din sistemul de coordonate al ecranului (DCS);
- (b) în sensul pozitiv al axei  $x$  din sistemul de coordonate ale lumii înconjurător (WCS);

(c) în sensul pozitiv al axei  $x$  din sistemul de coordonate propriu al obiectului. Prima soluție este cea mai viabilă întrucât respectă principiul compatibilității stimul – reacție, care afirmă că răspunsul sau reacția sistemului la acțiunea utilizatorului trebuie să fie în aceeași direcție și/sau cu aceeași orientare, iar magnitudinea răspunsului trebuie să fie proporțională cu acțiunea.

## Rezoluția

Rezoluția necesară pentru poziționare poate varia de la aplicație la aplicație. Dacă poziția se introduce numeric (de la tastatură) rezoluția poate fi oricât de mare. Dacă poziționarea se face prin tehnici de mutare a cursorului (utilizând un locator) apar limitări de ordin fizic. În mod obișnuit, rezoluția dispozitivelor de tip mouse, tabletă grafică etc, este de la 500-a până la 2000-a parte din unitatea de rezoluție a dispozitivului de afișare.

Prin utilizarea transformărilor de tip window - to - viewport, de exemplu, pentru a mări o regiune din WCS, este posibil să se realizeze o corespondență între unitatea de rezoluție a ecranului și o unitate de rezoluție a sistemului de coordonate ale lumii înconjurătoare, arbitrar de mică, corespondență care, de fapt, corespund unei măriri de rezoluție.

## Grila

Un ajutor important în realizarea sarcinii de poziționare îl poate oferi o grilă (grid, rețea rectangulară) suprapusă peste aria de lucru pentru a ușura alinierea pozițiilor sau obiectelor.

De asemenea, grila poate fi utilă pentru a forța ca punctele de capăt ale primitivelor grafice să cadă pe grilă (prin rotunjirea coordonatelor locatorului la coordonatele celui mai apropiat nod al grilei).

## Feedback

Există două tipuri de poziționare: spațială și lingvistică. În poziționarea spațială, utilizatorul cunoaște poziția dorită prin raport cu elementele spațiale din apropiere. În poziționarea lingvistică, utilizatorul cunoaște valoarea numerică a coordonatelor poziției dorite. Feedback-ul reprezintă marcarea poziției curente prin cursor sau prin coordonatele numerice.

## Timpul de acomodare

Din punct de vedere al factorului uman se pune problema reducerii timpului în care se ajunge la o bună coordonare ochi – mâna în procesul de poziționare. Un caz specific de poziționare, care presupune un timp de acomodare mai lung, îl reprezintă poziționarea continuă (o succesiune de poziții care definesc o curbă).

### 6.4.2 Selecția

Selecția, ca tip de interacțiune, are scopul de a alege un element dintr-un set de alternative. În mod tipic, seturile de alternative constau din

1. comenzi
2. seturi de valori ale unor attribute
3. clase de obiecte
4. instanțe de obiecte

De exemplu meniul line style (dintr-un program de desenat) constă dintr-un set de valori pentru atributul line style, iar meniul object type (linie, cerc, dreptunghi, text, etc.) este un set de clase de obiecte. Pe de altă parte, multimea tuturor obiectelor din suprafața de desen constituie un set de instanțe de obiecte.

Anumite tehnici de interacțiune pot fi folosite pentru a selecta din oricare din aceste seturi de alternative. Alte tehnici, însă, sunt utile numai pentru selecții din anumite clase. De exemplu, prin poziționarea pe reprezentarea vizuală a unui element dintr-un set de alternative se poate face o selecție independentă de tipul setului, pe când selecția dintr-un set de instanțe de obiecte nu se poate face prin utilizarea tastelor funcționale.

Ceea ce diferențiază tehnicele de interacțiune care se pot utiliza pentru selecție este caracterul fix sau variabil al numărului de elemente ale setului de alternative.

- Din acest punct de vedere, un set de alternative poate fi clasificat ca fiind
- cu dimensiunea (relativ) fixă
  - cu dimensiunea variabilă

În prima clasă intră seturile de comenzi, attribute, clase de obiecte, care în mod obișnuit au un număr fix de elemente, fără a se exclude însă posibilitatea largirii sau reducerii acestuia (nu foarte des și nu foarte mult!). În a doua clasă, setul de alternative poate fi relativ mare și se poate schimba frecvent (la fiecare nouă actualizare).

#### Selecția din seturi de alternative cu dimensiune variabilă

Două tehnici sunt considerate ca fiind potrivite pentru acest tip de interacțiune: numirea (naming) și indicarea (pointing).

Selecția obiectelor prin numire. În cazul acestei tehnici, utilizatorul tastează numele obiectului pe care vrea să-l selecteze. Evident, există situații când această tehnică nu este eficientă (de exemplu, când utilizatorul nu cunoaște numele obiectelor din diverse motive: sunt prea multe, nu apar explicit pe

suprafață grafică, etc.). Dacă însă utilizatorul cunoaște numele obiectelor din setul de alternative, selecția prin numire poate fi mai eficientă decât selecția prin indicare (de exemplu, această tehnică permite selecții multiple prin utilizarea de wildcards).

Dacă se apelează la selecția prin numire este indicat ca după fiecare tastă apăsată să se afișeze, ca feedback, lista obiectelor al căror nume se potrivește cu numele parțial introdus. În momentul în care această listă conține un singur element, numele parțial introdus poate fi completat de către program în mod automat (auto completion).

Selecția prin indicare. Această tehnică presupune poziționarea cursorului pe obiectul dorit și apoi selecția propriu zisă, fie cu ajutorul unei taste, fie cu un clic pe un buton de mouse. Și în cazul acestei tehnici pot apărea probleme atunci când obiectele sunt dispuse pe mai multe nivele (se acoperă unele pe altele). Soluția constă de regulă în precizarea nivelului (layer) pe care se face selecția. Exemple: AutoCAD, Meniuri ierarhice, etc (figura 6.1).

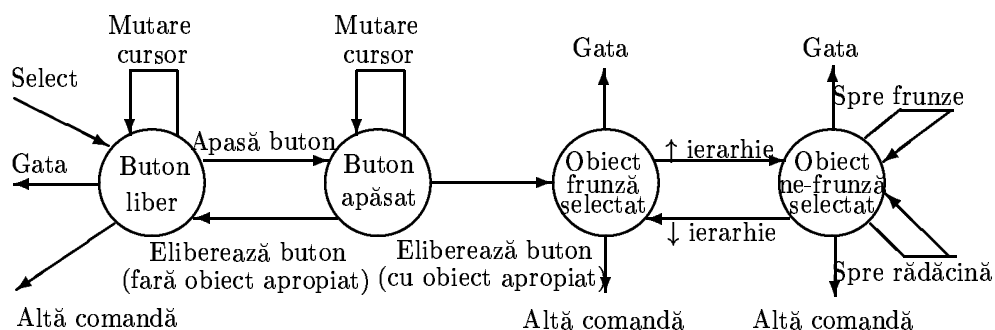


Figura 6.1: Diagrama de stare a tehnicii de selecție prin indicare a unui obiect dintr-o ierarhie de obiecte

Selecția din seturi de alternative cu dimensiune (relativ) fixă.

În cazul acestui tip de interacțiune, tehnica cea mai frecvent utilizată o constituie selecția din meniuri. Problema proiectării meniurilor include următoarele:

- ordinea elementelor dintr-un meniu;
- meniuri cu un singur nivel sau meniuri multinivel;
- plasarea meniurilor;
- reprezentare vizuală;
- dimensiunea și forma meniurilor;
- taste funcționale.

Ordinea elementelor dintr-un meniu. Elementele de meniu pot fi organizate după diverse criterii de ordonare:

1. alfabetică,
2. grupare logică după scopul funcțional,
3. după frecvența utilizării (cele mai frecvent utilizate la început),
4. în ordinea importanței (cele mai importante la început).

Modul în care se ordonează elementele meniurilor trebuie să fie consistent în toate meniurile aplicației.

Meniuri cu un singur nivel sau meniuri multinivel. În cazul în care numărul elementelor de meniu este prea mare pentru a fi afișate simultan, meniul respectiv poate fi divizat într-o ierarhie structurată logic sau într-o secvență liniară de elemente care se afișează succesiv (utilizând scroll bars).

În cazul meniurilor ierarhice utilizatorul face o selecție din setul de alternative de la nivelul cel mai de sus, ceea ce îi pune la dispoziție un alt set de alternative de pe nivelul imediat inferior. Ierarhiile de meniuri pot fi prezentate în diverse moduri:

1. cu reacoperire
2. în cascadă
3. panouri de ierarhie

Plasarea meniurilor. Meniurile pot fi statice și vizibile permanent, sau pot apărea dinamic, la cerere (pop-up, pull-down, etc.).

Pentru anumite aplicații, mai ales cele care presupun existența unui display specializat pentru "obiectul" propriu-zis, se poate plasa meniul pe un alt doilea monitor.

Meniurile statice sunt indicate în cazul utilizării unui display (fereastră) doar pentru afișarea meniurilor și precizarea comenziilor.

Meniurile pop-up apar pe ecran pentru a oferi posibilitatea unei selecții fie:

- (a) ca urmare a unei acțiuni explicate a utilizatorului (apăsarea unei taste funcționale, selecția unei icoane, etc);
- (b) automat, când desfășurarea dialogului (utilizator-aplicație) presupune o selecție.

Observații:

1. Meniul pop-up apare de obicei în poziția curentă a cursorului (spre care e focalizată atenția utilizatorului).
2. La apariția meniului poate fi prezentată ca selecție curentă (care trebuie confirmată):
  - (a) alternativa implicită (cea mai frecvent folosită, cea mai "generală", etc);
  - (b) ultima alternativă utilizată.
3. Meniurile pop-up pot fi dependente de context (sensibile la context).

Meniurile pull-down (pulled-out) sunt anorate într-o bază de meniu (care conține "titlul" meniurilor pull-down). Activarea acestor meniuri poate fi:

- explicită (selecție făcută cu cursorul pe titlu);
- implicită (meniul "apare" când cursorul ajunge deasupra titlului).

Reprezentarea vizuală. Problema principală este dacă meniul va conține nume ale elementelor din setul de alternative sau reprezentări grafice (icoane) ale acestora. Reprezentarea textuală (prin nume) a alternativelor are avantajul

claritatei dar conferă un aspect "încărcat" meniului, în timp ce reprezentarea grafică (prin icoane) poate mări randamentul utilizării meniului dacă icoanele sunt sugetive. Uneori se dublează alternativele textuale cu icoane care vor fi din ce în ce mai des folosite, pe măsură ce utilizatorul se acomodează cu ele (exemplu: meniul din MS Word).

Selectia curentă. În cele mai multe situații este de preferat ca elementul curent selectat din meniu să fie marcat pentru a se deosebi într-un fel sau altul de celelalte elemente. Selectia curentă poate fi marcată în diferite moduri:

1. afișare în video invers sau cu altă culoare,
2. marcarea cu diverse semne grafice,
3. afișare sub titlul meniului.

Dimensiunea și forma meniurilor. La proiectarea meniurilor trebuie realizat un compromis între dimensiunea mai mare a elementelor de meniu — care permite o selecție mai ușoară — și dimensiunea mai mică — care are avantajul că ocupă mai puțin spațiu din suprafața utilă a ecranului.

Taste funcționale. În cazul în care numărul elementelor de meniu este relativ mic, se pot asocia unora sau tuturor elementelor câte o tastă funcțională ceea ce permite o selecție mult mai rapidă (în cazul unui utilizator versat).

#### **6.4.3 Interacțiunea de tip text**

Sarcina de interacțiune text permite introducerea de siruri de caractere cărora aplicația nu le asociază o semnificație aparte. De exemplu introducerea numelui unei comenzi nu intră în această categorie de interacțiune, spre deosebire de etichetarea obiectelor unui desen sau introducerea de text în cadrul unui editor de texte, care sunt interacțiuni de tip text. În mod obișnuit tehnica de interacțiune pentru introducerea de text presupune utilizarea tastaturii.

O alternativă la folosirea tastaturii pentru introducerea textului o reprezintă utilizarea unui scanner. În principiu, această tehnică presupune utilizarea ulterioră (după scanarea textului) a unei componente de recunoaștere optică a caracterelor (Optical Character Recognition - OCR) care are sarcina de a transforma bitmap-ul obținut după scanare în succesiunea de coduri ASCII corespunzătoare textului din imagine. Tehnica OCR apelează intens la algoritmi de recunoaștere a formelor pentru identificarea caracterelor din imaginea cu text. Problemele care apar la utilizarea acestei tehnici de introducerea textului includ:

1. îmbunătățirea imaginii scanate;
2. eliminarea fondului;
3. decuparea unităților de recunoscut (litere);
4. scalare;
5. orientare;
6. poziționare.

O altă alternativă, relativ recent apărută, o reprezintă utilizarea dispozitivelor de recunoașterea vocii, prin intermediul cărora textul vorbit este transformat în succesiune de coduri ASCII.

#### **6.4.4 Cuantificarea**

Acest tip de interacțiune presupune specificarea unei valori numerice, de regulă între o valoare minimă și una maximă.

Tehnicile de interacțiune utilizate includ:

1. tastarea valorii;
2. poziționarea unui "potențiomетru";
3. modificarea unui contor pentru incrementare/decrementare.

#### **6.4.5 Sarcini de interacțiune compuse**

Tipurile de interacțiune compozite (CIT) sunt combinații de tipuri de interacțiune de bază. Există trei tipuri de bază de CIT:

1. celule de dialog (dialog boxes),
2. tehnici de construcție,
3. manipulare dinamică.

##### **Celule de dialog**

De multă ori este necesară o selecție multiplă dintr-un set de alternative. De exemplu, atribute de text, ca italic, bold, underline, etc. nu se exclud reciproc și utilizatorul ar dori să selecteze mai multe simultan. În plus pot să existe mai multe seturi de alternative care trebuie precizate simultan. De exemplu, tipul obiectului de desenat, grosimea liniei, aspectul liniei fac parte din seturi de alternative diferite care se pot preciza într-un pas de selecție, anterior acțiunii de desenare a obiectului respectiv.

Tipurile de meniuri din care se poate face o singură selecție la un moment dat (pull-down, pop-up) nu sunt satisfăcătoare pentru selecții multiple fiindcă dispar după o selecție făcută, fiind necesară activarea lor pentru o a doua selecție. Această problemă poate fi depășită prin utilizarea celulelor de dialog care reprezintă o formă de meniu ce rămâne vizibilă până când este părăsită în mod explicit (cu acceptarea selecțiilor făcute sau cu anularea lor). Selecțiile făcute într-o celulă de dialog pot fi corectate pe loc. De asemenea, atributele sau valorile specificate într-o celulă de dialog pot fi aplicate imediat, pentru ca utilizatorul să vadă efectul selecției făcute înainte de a părăsi celula de dialog.

##### **Tehnici de construcție**

Un mod de a desena o linie impune utilizatorului să preciseze punctul de start și punctul de sosire, după care linia este desenată. Cu această tehnică însă, utilizatorul nu are posibilitatea de a vedea rezultatul înainte ca acțiunea să rămână definitivă.

O tehnică superioară constă în utilizarea benzilor elastice (rubberband). După precizarea poziției de start, orice nouă poziție a cursorului este interpretată ca punct de sosire temporar și linia este desenată corespunzător. De

abia în momentul selectării punctului de sosire definitiv linia devine permanentă. Starea de bandă elastică este activă atât timp cât un buton al dispozitivului de poziționare și de selecție este apăsat. În această poziție deplasarea cursorului provoacă deplasarea liniei. Pornind de la această tehnică de desenare a liniilor se derivează tehnică desenării dreptunghiului elastic, cercului elastic, elipsei elastice.

O altă tehnică de construcție privește desenarea de linii frânte care presupune o succesiune de selecții (ale capetelor segmentelor care alcătuiesc linia poligonală) intercalate cu poziționări (care precizează poziția capetelor).

În oricare dintre aceste tehnici pot fi aplicate asupra poziției cursorului anumite constrângeri. De exemplu, cursorul poate fi obligat să se deplaseze pe anumite direcții sau la distanțe limitate de poziția de start.

Un alt tip de constrângere îl reprezintă utilizarea unui, aşa numit, câmp de gravitate, pentru a ușura suprapunerea a două poziții: în momentul în care cursorul intră în câmpul de gravitate al unui punct de capăt al unui obiect existent pe suprafața de desen, poziția care va fi selectată va coincide cu (va fi atrasă spre) acest punct.

#### Manipulare dinamică

În multe situații nu este suficientă desenarea de obiecte geometrice, ci este necesară și modificarea acestora. Modificările posibile includ schimbarea poziției, rotirea și scalarea.

Schimbarea poziției se realizează prin tehnică de click-and-drag, care implementează succesiunea buton apăsat-deplasare-buton eliberat, corespunzând selecției obiectului, deplasării în noua poziție și selecției noii poziții.

Tehnici similare se utilizează pentru rotirea sau scalarea unui obiect și care presupun selecția obiectului, precizarea noii orientări (prin definirea unghiului de rotație) sau a noii dimensiuni (prin definirea factorul de scală) și, apoi, selecția noii situații.

Deplasarea, rotirea sau scalarea afectează un obiect în întregime. Uneori, este de dorit însă mutarea unui punct individual dintr-un obiect. Această operație se poate realiza de asemenea prin tehnică click-and-drag.

## 6.5 Principii în proiectarea interfețelor utilizator

Pentru a asigura calitatea unei interfețe din punct de vedere utilizator trebuie avute în vedere o serie de principii de proiectare:

1. consistență,
2. asigurarea feedback-ului,
3. minimizarea posibilităților de eroare (la utilizare),
4. asigurarea posibilității de revenire din eroare,
5. posibilitatea utilizării pe nivele de îndemânare,
6. reducerea necesității de memorizare.

### **6.5.1 Consistență**

Un sistem este consistent dacă modelul conceptual, funcționalitatea, secvențialitatea și legătura cu dispozitivele hard sunt uniforme și respectă câteva reguli simple și deci nu prezintă excepții și condiții speciale.

Principalul scop urmărit prin consistență unui sistem este de a permite utilizatorului să generalizeze cunoștințe despre un aspect al sistemului la alte aspecte.

De asemenea consistența permite evitarea frustărilor care apar când un sistem nu se comportă într-un mod logic.

Metoda principală de a asigura consistența este proiectarea top-down a sistemului.

Exemple de consistență:

La ieșiri,

- (a) se vor utiliza întotdeauna aceeași codificări (de exemplu roșu → stop, verde → pornește);
- (b) mesajele despre starea sistemului apar întotdeauna într-o poziție logică fixată;
- (c) elementele de meniu își vor păstra întotdeauna aceeași poziție relativă în meniu.

La intrări,

- (a) tastele (CR, TAB, BS, etc) au întotdeauna aceeași funcționi;
- (b) comenzi globale (Help, Status, Cancel) pot fi inverseate oricând;
- (c) comenzi generice (Move, Copy, Delete) sunt disponibile și pot fi aplicate, cu rezultate previzibile, asupra oricărui tip de obiect din sistem.

### **6.5.2 Asigurarea feedbackului**

Are ca scop permanenta informare a utilizatorului asupra stării sistemului, asupra efectelor acțiunilor întreprinse și asupra acțiunilor posibile ce urmează a fi întreprinse.

Reacția sistemului se poate asigura pe trei nivele, corespunzătoare nivelelor de proiectare:

- semantic: funcțională,
- sintactic: a secvențializării,
- lexical: a legăturii cu dispozitivele (hard) fizice.

Nivelul cel mai de jos este cel hardware: fiecare acțiune a utilizatorului cu un dispozitiv de intrare ar trebui să provoace o reacție imediată și evidentă (de ex. caracterele tastate vor fi afișate pe ecran, mutarea mouse-ului este fidel urmată de mișcarea cursorului).

La nivel sintactic acceptarea/neacceptarea fiecărei unități (cuvânt) a limbajului de intrare (comandă, poziție, obiect, etc), trebuie semnalată de sistem. De exemplu, un obiect selectat sau un element de meniu selectat va fi "iluminat", astfel încât utilizatorul să știe că acțiunea sa a fost acceptată.

La nivel funcțional, o formă de feedback o constituie notificarea faptului că acțiunea comandată este în curs de efectuare (dacă durează mai mult de câteva

secunde). Altă formă de feedback la nivel funcțional presupune anunțarea terminării operației fie printr-un mesaj, fie prin afișarea rezultatelor.

Trebuie făcută o distincție între feedback-ul din domeniul problemei și respectiv cel din domeniul controlului. Feedback-ul în domeniul problemei se referă la obiectele de manipulat: existența, poziția, apariția. Feedback-ul în domeniul controlului se referă la mecanisme de control ale sistemului interactiv: stare, valori curente și implicate, meniuri, etc.

### 6.5.3 Minimizarea posibilităților de eroare

Ideea este aceea de a respecta următoarea regulă: "Nu pregăti capcane pentru utilizator!"

Exemple:

1. Nu oferi posibilitatea alegerii unui element de meniu care va genera mesaje de genul: selecție ilegală, comandă invalidă, etc.!
2. Nu lăsa utilizatorul să selecteze Move, Copy, Delete când nimic nu este selectat!
3. Nu lăsa utilizatorul să selecteze Paste dacă clipboard-ul este gol!

În general, "oferta" care se face utilizatorului pentru a selecta din ea trebuie să fie sensitivă la context: sistemul ghidează utilizatorul în funcție de contextul respectiv, făcând imposibilă selectarea comenziilor nepermise.

### 6.5.4 Asigurarea posibilității de revenire din eroare

De regulă patru tipuri de corectare a erorilor sunt avute în vedere la proiectarea interfețelor utilizator: Undo, Abort, Cancel, Correct.

Dacă s-a lansat o operație din greșală, este recomandat Undo. Aceasta se poate asigna pe un nivel sau pe mai multe nivele (caz în care se păstrează comenzi și starea sau parametri într-o stivă). În acest context (Undo multinivel) este utilă o comandă Redo.

În cursul execuției operației în cauză, dacă utilizatorul își dă seama că a comis o eroare, trebuie să i se asigure posibilitatea întreruperii operației și revenirea la starea anterioară selecției respectivei operații printr-o comandă Abort.

Undo și Abort pot fi comasate într-o singură comandă.

Dacă utilizatorul decide, în cursul specificării parametrilor pentru o operație, că a greșit, el poate renunța prin comanda Cancel la terminarea specificării și lansării operației.

De asemenea, dacă nu operația, ci doar anumiți parametri sunt eronati, utilizatorul poate dispune de facilitatea de a corecta ceea ce a greșit.

### 6.5.5 Posibilitatea operării pe mai multe nivele

Diverse aplicații trebuie proiectate astfel încât să permită utilizarea lor pe diverse nivele de complexitate: de la nivelul unui utilizator fără experiență, care de abia învață comenziile de bază și are nevoie de sprijin din partea sistemului,

până la nivelul unui utilizator cu experiență, care este dispus să renunțe la anumite informații ajutătoare în schimbul unei viteze sporite de lucru. Utilizatorul cu experiență trebuie să poată face uz de tehnici de interacțiune mai rapide.

Metodele utilizate pentru a permite utilizarea interfeței pe mai multe nivele de îndemânare sunt:

1. acceleratori (taste funcționale în loc de meniu),
2. prompteri (ghidarea acțiunii următoare),
3. help,
4. extensibilitate (posibilitatea combinării unor comenzi elementare într-o formă mai complexă),
5. ascunderea complexității (set minimal de comenzi).

#### 6.5.6 Minimizarea memorizării

Reducerea necesității de memorizare a comenziilor disponibile în sistem se realizează de obicei prin apelul la capacitatea utilizatorului de a recunoaște (intui) semnificația comenziilor reprezentate fie prin numele lor fie printr-o icoană. Pe de altă parte, necesitatea memorizării comenziilor poate fi redusă prin asigurarea unor servicii de tip Help ca cele menționate mai sus.

### 6.6 Software pentru interfețe utilizator

Software pentru interfețe (grafice) utilizator există pe diverse nivele (figura 6.6).

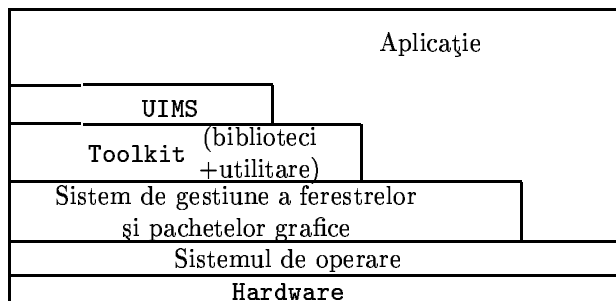


Figura 6.2: Software pentru interfețe utilizator

Dispozitivele logice de intrare (locator, valuator, pick, choice, string, stroke - GKS, PHIGS) pot opera într-unul din modurile:

1. request;
2. sample;
3. event.

Fiecare dispozitiv îi este asociată o măsură (tipul informației returnate de dispozitiv).

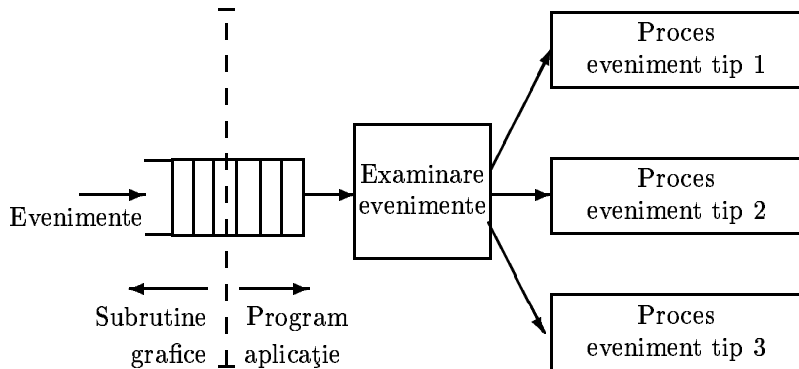
Modurile de operare indică modalitatea prin care programul de aplicație recepționează o schimbare a măsurii dispozitivelor lor.

În modul request (la cerere) programul de aplicație solicită o intrare de la dispozitiv care întoarce odată cu controlul și măsura asociată acțiunii utilizatorului (de exemplu, deplasare) asupra dispozitivului. Acțiunea se numește trigger. Dezavantajele sunt următoarele:

- (a) intrarea se face în mod sincron;
- (b) nu există posibilitatea de feedback dinamic pentru că aplicația nu recăptă controlul decât după terminarea acțiunii.

În modul sample (polling) dispozitivele sunt cercetate (baleiate) unul după altul în speranța surprinderii unei modificări a măsurii. Dezavantajul constă în faptul că, în timp ce se procesează intrarea de la un dispozitiv, se pot pierde intrările de la alte dispozitive.

În modul event intrările (acțiunările asupra dispozitivelor) sunt asincrone în sensul că orice eveniment asociat cu un dispozitiv generează o intrare într-o coadă de evenimente (figura 6.3) de regulă FIFO (se poate avea însă în vedere și asocierea de priorități diferitelor clase de dispozitive).



interacțiune și, apoi, direcționează informația de intrare de la dispozitiv către coada de evenimente a programului destinație.

Un sistem de gestiune a ferestrelor are două părți:

1. gestionarul de ferestre (window manager) cu care interacționează utilizatorul atunci când solicită crearea, redimensionarea, mutarea, deschiderea, închiderea, etc. unei ferestre;
2. sistemul de ferestre (window system), care reprezintă componenta funcțională responsabilă cu crearea, redimensionarea, mutarea, deschiderea, închiderea, etc. efectivă a unei ferestre.

Gestionarul de ferestre este construit deasupra sistemului de ferestre și utilizează serviciile pe care acesta îi le pune la dispoziție, pentru a satisface cererile utilizatorului.

Programele construite deasupra sistemului de ferestre sunt denumite uneori programe client, iar sistemul de ferestre este denumit program server.

În anumite sisteme de gestiune a ferestrelor construite pe o arhitectură client-server, precum X-Windows, gestionarul de ferestre este el însuși un client al sistemului de ferestre (figura 6.4).

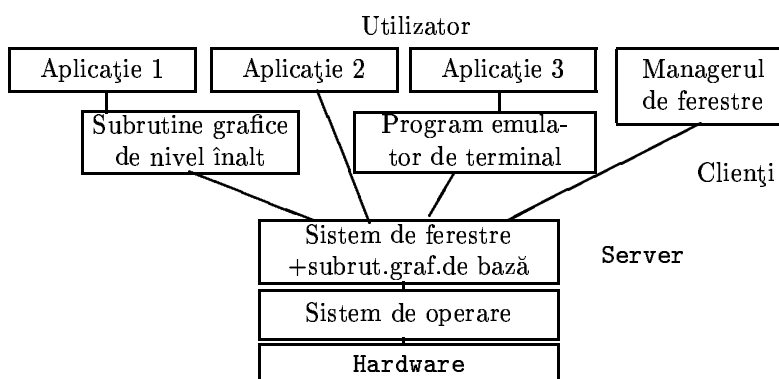


Figura 6.4: Relația dintre sistemul de ferestre, sistemul de operare și programul-aplicație

Anumite sisteme de ferestre sunt astfel proiectate încât să suporte mai mulți manageri de ferestre, fiecare cu aspect și reacție (look and feel) distințe (X-Windows).

**Observație.** Managerul de ferestre, și nu sistemul de ferestre, este cel care determină aspectul unei ferestre și modul în care utilizatorul interacționează cu aceasta.

De obicei se integrează un pachet de subrute grafice în sistemul de ferestre care asigură o parte din funcționalitatea sistemului de ferestre, dar care pot fi apelate și direct.

### 6.6.2 Tratarea ieșirilor în sistemele de ferestre

Resursa de ieșire alocată de sistemul de ferestre unui program client este spațiul ecran, care trebuie astfel gestionat încât clienții să nu interfereze unii cu alții în utilizarea spațiului ecran.

Strategiile de alocare a spațiului ecran pot să varieze în mod considerabil de la un sistem de ferestre la altul, dar, în principiu, se încadrează în trei categorii mari. Principala diferență constă în modul de afișare a zonei din fereastră devenită vizibilă în urma măririi ferestrei, în urma descoperirii ferestrei sau în timpul defilării (figura 6.5).

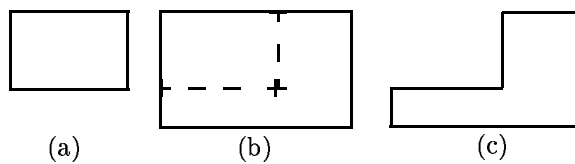


Figura 6.5: Lărgirea ferestrei (a) la dimensiunea ferestrei (b) necesită decuparea primitiveelor față de regiunea (c)

Strategii:

- Un sistem de ferestre minimal nu-și asumă nici o responsabilitate în afișarea suprafeței nou expuse a ferestrei, ci transmite un eveniment de tipul fereastră expusă clientului asociat ferestrei. Un astfel de sistem de ferestre nu salvează partea acoperită a ferestrei. Când un client afișează o informație în fereastră, primitivele de ieșire sunt decupate relativ la partea vizibilă a ferestrei. La mărirea suprafeței vizibile a ferestrei, clientul asociat ferestrei recepționează un mesaj de tip fereastră expusă și este responsabil cu afișarea primitiveelor corespunzătoare zonei proaspăt expuse a ferestrei.
- Sistemele de ferestre care dispun de mai multă memorie salvează partea acoperită a ferestrei, astfel încât clientul este degrevat de sarcina afișării porțiunii proaspăt expuse. Problema care se pune este cât din fereastra acoperită trebuie salvat. În mod tipic, se salvează dimensiunea maximă posibilă a ferestrei (egală cu dimensiunea ecranului). Anumite sisteme de ferestre salvează chiar porțiuni mai mari decât ecranul, soluție care, deși costisitoare, devine din ceea ce mai atractivă datorită tendinței de scădere a prețului memoriei calculatoarelor. Clientul este implicat în reafișare doar în cazul în care se face o defilare în fereastră, dincolo de porțiunea salvată, sau în cazul unei scalări.

O strategie puțin diferită constă în păstrarea de către managerul de ferestre a unei copii complete pentru fiecare fereastră. De câte ori o parte a unei ferestre este descoperită, porțiunea corespunzătoare din copia ferestrei este afișată pe ecran. Actualizarea ferestrei conform acestei strategii este lentă întrucât clientul asociat poate să scrie în porțiunea acoperită a ferestrei și este necesară refacerea copiei. Actualizarea unei ferestre com-

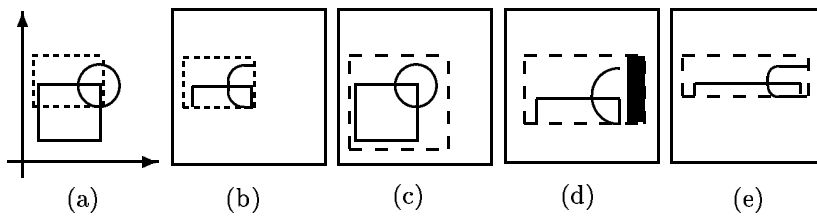


Figura 6.6: Relațiile dintre fereastra WCS și fereastra managerului (de ferestre)  
(a) Imagine în WCS (b) Imaginea printr-o fereastră (c) Lărgirea ferestrei în WCS  
(d) Lărgirea ferestrei managerului cu scalare uniformă (e) Lărgirea ferestrei managerului cu scalare neuniformă

plet descoperite se face mai rapid încât copia ei trebuie actualizată doar în momentul dinaintea acoperirii ferestrei. O alternativă a acestei strategii constă în partitōnarea fiecarei ferestre în regiuni rectangulare, doar acele care nu sunt vizibile fiind salvate.

- O strategie diferită este utilizată de sistemele de ferestre care mențin o listă a primitivelor (vizibile sau nu) afisate în fiecare fereastră. La fiecare reafisare a ferestrei, lista asociată este parcursă și se fac decupările necesare. Această strategie presupune utilizarea unui hardware pentru conversie de scanare rapidă.

O altă problemă care apare frecvent este efectul operației de redimensionare a unei ferestre asupra informației vizibile în fereastră. Există două posibilități și programul client ar trebui să fie capabil să le trateze pe amândouă.

În primul caz, în momentul redimensionării ferestrei de către utilizator, fereastra WCS își modifică dimensiunea în mod corespunzător, utilizatorul "văzând" mai mult sau mai puțin din "lume", în funcție de operația de redimensionare (mărire sau micșorare) efectuată (figura 6.6.c).

În al doilea caz (figura 6.6.d), dimensiunea ferestrei WCS rămâne fixă astfel încât prin mărirea ferestrei se vede aceeași scenă, dar la o scară mai mare. În acest caz se mai pune și problema scalării neuniforme pe cele două axe (figura 6.6.e).

Anumite sisteme de ferestre permit crearea de ferestre ierarhice, adică ferestre care conțin subferestre (figura 6.7). Acestea pot fi utilizate de exemplu la implementarea ferestrelor de dialog: întreaga fereastră de dialog este definită ca o fereastră și fiecare câmp, buton, scroll-bar, este definit ca o subfereastră și evenimentele de tipul buton - mouse apăsat sunt disponibile pentru fiecare subfereastră. Aceasta înseamnă că fiecare eveniment este însoțit de numele subferestrei în care a apărut.

În mod tipic un sistem de ferestre ar trebui să disponă de următoarele funcții:

1. crează o fereastră nouă (care devine fereastră curentă);
2. setează poziția ferestrei curente;

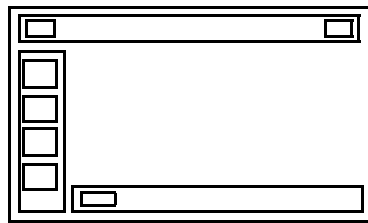


Figura 6.7: Divizarea unei ferestre în ferestre ierarhice

3. setează dimensiunea ferestrei curente;
4. selectează o fereastră (care devine fereastră curentă);
5. plasează o fereastră invizibilă deasupra tuturor celorlalte (aceasta este noua fereastră curentă);
6. ascunde fereastra curentă și expune toate ferestrele acoperite de aceasta;
7. setează titlul ferestrei curente;
8. citește poziția ferestrei curente;
9. citește dimensiunea ferestrei curente;
10. plasează fereastra curentă deasupra tuturor celorlalte;
11. plasează fereastra curentă sub toate celelalte;
12. șterge fereastra.

Pe lângă spațiul ecran, sistemul de ferestre este responsabil și de alocarea unei alte resurse: intrări ale tabelei de culori (look-up table). În principiu, două strategii de alocare a intrărilor în tabela de culori sunt utilizate:

- se partajează intrările între toți clienții, alocându-se fiecărui un număr fix. Dezavantajele metodei sunt:
  - (a) în cazul în care sunt puțini clienți, rămân intrări neutilizate în tabele;
  - (b) pot exista clienți cărora li se vor aloca mai puține intrări decât au nevoie, ceea ce implică degradarea calității modului de afișare al ferestrei (din punct de vedere al culorilor).
- se alocă toate intrările necesare clientului a cărui fereastră conține cursorul. Dezavantajul constă în faptul că aspectul coloristic al ferestrelor se poate modifica dramatic (chiar dacă pentru scurt timp!), în momentul trecerii cu cursorul dintr-o fereastră într-alta.

O altă soluție posibilă constă în alocarea de culori în loc de intrări în look-up table. Toți clienții care utilizează aceleasi culori vor lucra cu aceeași indecsi în tabela de culori. În cazul în care un client solicită o culoare pentru care nu există intrare în tabelă, și aceasta nu este plină, se creează o nouă intrare. Dacă tabela este plină, atunci se va folosi indexul culorii celei mai apropiate de cea solicitată. Dezavantajul evident este acela că cea mai apropiată culoare ar putea fi inacceptabil de departe de cea solicitată.

### **6.6.3 Tratarea intrărilor în sistemele de ferestre**

Resursa de intrare alocată și gestionată de către sistemul de ferestre pentru clientii săi reprezintă setul de dispozitive de intrare și evenimentele generate de acestea. Sistemul de ferestre trebuie să disponă de informațiile necesare pentru a dirija evenimentele spre clientul căruia îi sunt destinate.

Procesul de dirijare a evenimentelor către clientul adecvat poartă denumirea de multiplexare.

Pe lângă evenimentele generate de diverse dispozitive, un sistem de ferestre poate lua în considerare și generarea unor evenimente speciale, ca, de exemplu, intrarea într-o nouă fereastră (window enter), respectiv ieșirea din fereastra curentă (window leave), care permit evidențierea (highlighting) ferestrei care conține cursorul.

Un alt tip de eveniment special – window damage – ar putea fi utilizat pentru a preciza sistemului de ferestre că fereastra clientului căruia îi este destinat evenimentul trebuie reafişată.

În cazul în care există ferestre ierarhice, evenimentele pot fi dirigate și către subferestre.

Două modalități sunt utilizate, în principal, de către sistemele de ferestre pentru dirijarea evenimentelor către clienti:

1. evenimentul este dirijat către clientul a cărui fereastră conține cursorul (real-estate-based event routing);
2. evenimentul este dirijat către un client precizat de către un alt client, posibil, dar nu obligatoriu, același (listener event routing). De exemplu, managerul de ferestre poate avea o comandă prin care utilizatorul poate dirija intrările de la tastatură către clientul care posedă o anumită fereastră.

## **6.7 Utilitare pentru tehnici de interacțiune**

Utilitarele pentru tehnici de interacțiune (interaction-technique toolkits) sunt subrutine care implementează legătura cu hardware-ul în cadrul unei interfețe utilizator. Acestea determină caracteristica interfețelor utilizator descrisă de termenul look and feel” (aspect și reacție).

Tehnicile de interacțiune pot fi implementate direct în aplicație, dar această soluție are două dezavantaje majore:

1. este consumatoare de timp;
2. nu răspunde necesității utilizatorului de a întâlni interfețe similare la aplicații distințe.

Utilitarele pentru tehnici de interacțiune, de fapt, colecții de subrutine de bibliotecă accesibile programelor de aplicație, înălătură ambele dezavantaje menționate.

Utilizarea aceleiași colecții în toate aplicațiile și chiar în sistemul de ferestre reprezintă o metodă des folosită în scopul unificării aspectului interfețelor.

Modalitățile de implementare sunt următoarele: peste sistemul de gestiune a ferestrelor, sau, în lipsa lui, peste pachetul de subroutines grafice.

Exemple: colecția de subroutines care însățește sistemul de gestiune a ferestrelor Andrew, OSF/Motif, InterViews, implementare OpenLock.

În sistemul de gestiune a ferestrelor X-Windows tehniciile de interacțiune sunt denumite widgets (Windows gaDGETS) și o listă tipică de astfel de widgets include:

- fereastră de dialog,
- fereastră de selecție fișier,
- fereastră de avertizare,
- fereastră de ajutor (help),
- fereastră de mesaje,
- butoane radio,
- banc de butoane radio,
- butoane de selecție (marcare),
- bancuri de selecție,
- butoane basculante,
- bancuri de butoane basculante,
- meniu fix,
- meniu pop-up,
- bară de defilare,
- fereastră de introducere text,
- fereastră de aplicație.

Fiecare widget este implementat ca o fereastră care poate conține la rândul ei subferestre.

Utilitarele pentru tehnici de interacțiune dispun, în mod tipic, de notificatori (pentru intrare/iesire în/din ferestre) pentru a permite apelul de proceduri de reîntoarcere atunci când anumite evenimente se produc în subferestrele lor.

În lista de widgets de mai sus apar atât elemente de bază cât și altele compuse. De obicei, colecțiile de subroutines dispun de mijloace de compunere a widget-urilor. De exemplu, fereastra de dialog conține atât butoane radio, cât și butoane de selecție binară.

Crearea de ierarhii de ferestre este o activitate migăloasă pentru orice programator (chiar dacă se dispune de o colecție de widgets-uri). De aceea s-au realizat editoare interactive pentru proiectarea (crearea și modificarea) aspectului ferestrelor de dialog (care, de regulă, conțin celelalte tipuri de widgets). Ieșirea din astfel de editoare este o reprezentare a ferestrei compuse, fie ca structură de date care poate fi translată în cod sursă, fie sub formă de cod compilat. În toate situațiile sunt însă prevăzute mecanisme pentru editarea legăturilor cu aplicația.

O soluție alternativă pentru crearea de meniuri și ferestre de dialog o constituie utilizarea unui limbaj de nivel înalt pentru descrierea acestora.

În fine, proiectantul de interfețe poate crea un widget sau poate compune mai multe widgets în mod interactiv, prin exemple (sistemul Peridot).

### **6.7.1 Sisteme de gestiune a interfețelor utilizator**

Sistemele de gestiune a interfețelor utilizator (User-Interface Management System - UIMS) asistă utilizatorul în proiectarea și implementarea aspectului interfeței dar și, în anumite cazuri, a semanticii acesteia. Orice UIMS oferă mijloace pentru definirea secvențelor de acțiuni utilizator admisibile, pentru specificarea aspectului interfeței și a conținutului mesajelor de help și eroare. Un UIMS poate mări considerabil productivitatea programatorului, facilitând în același timp rafinarea iterativă a interfeței pe măsură ce se câștigă experiență.

Aplicațiile dezvoltate peste un UIMS constau, în mod tipic, dintr-un set de subroutines, denumite uneori rutine de acțiune sau rutine de acțiune semantică. UIMS-ul apelează rutina de acțiune adecvată ca răspuns la o intrare (input) produsă de utilizatorul aplicației. În schimb, rutina de acțiune influențează dialogul – de exemplu, modificând acțiunile utilizator posibile în continuare. Se poate spune că UIMS și rutinele de acțiune partajează controlul dialogului. Acest model este cunoscut sub denumirea de model cu control partajat (shared-control model). Prin opoziție cu acest model, există UIMS-uri în care rutinele de acțiune nu au nici o influență asupra dialogului. Aceste UIMS-uri se încadrează în modelul cu control extern (external-control model).

Serviciile specifice pe care diverse UIMS-uri le oferă proiectantului de interfețe utilizator pot varia dar componenta esențială, care nu lipsește din nici un UIMS, o reprezintă specificarea secvenței dialogului. Această componentă controlează ordinea în care tehnicele de interacțiune sunt puse la dispoziția utilizatorului aplicației.

#### **Secvențializarea dialogului**

Secvențele admisibile de acțiuni ale utilizatorului pot fi definite într-o varietate de moduri: via rețele de tranziție (numite și diagrame de stări), rețele de tranziție recursive, limbaje bazate pe evenimente sau prin exemple, (unde proiectantul demonstrează sistemului succesiunile de acțiuni permise și sistemul "învață" care secvențe sunt posibile). Comun tuturor acestor metode este conceptul unei stări a interfeței utilizator și acțiuni ale utilizatorului asociate care pot fi executate din această stare. Fiecare din metodele de specificare codifică starea interfeței utilizator într-un mod specific, care generalizează folosirea uneia sau a mai multor variabile de stare. Dacă se crează o interfață utilizator sensitivă la context, răspunsul sistemului la acțiunile utilizatorului trebuie să depindă de starea curentă a interfeței.

Cea mai simplă și cea mai puțin puternică, dar totuși utilă, metodă de specificare a succesiunii dialogului o reprezintă rețeaua de tranziție sau diagrama de stări. Rețelele de tranziție au o singură variabilă de stare, un întreg ce indică starea curentă. Acțiunile utilizatorului cauzează tranziții de la o stare la alta; fiecare tranziție are asociată cu ea zero sau mai multe rutine de acțiune care sunt apelate când tranziția se întâmplă. Pe lângă aceasta, stările pot avea rutine de acțiune asociate care sunt executate oricând se intră în această stare. Rețelele de tranziție sunt utile, în special, pentru găsirea inconsistențelor în secvențializarea

dialogului, și pot fi folosite fără probleme pentru a determina numărul necesar de pași pentru a completa o secvență de sarcini de interacțiune.

Rețelele de tranziție au totuși dezavantaje. În primul rând, starea interfeței utilizator este, în mod tipic, bazată pe un număr de variabile de stare, și necesitatea de a găsi toate combinațiile posibile de valori ale acestor variabile specifice unei stări este dificilă și non-intuitivă pentru proiectantul interfeței utilizator. Rețeaua de tranziție din figura 6.8) descrie o aplicație cu următoarele comenzi:

- selectează obiect (stabilăște obiectul curent - CSO);
- deselectează obiect (nu mai există CSO!);
- crează obiect (stabilăște un CSO);
- șterge CSO (nu mai există CSO!);
- copiază CSO în clipboard (trebuie să existe un CSO; umple clipboard-ul);
- preia (paste) din clipboard (trebuie să existe ceva în clipboard; crează un CSO);
- golește clipboard-ul (clipboard-ul trebuie să conțină ceva și va rămâne gol).

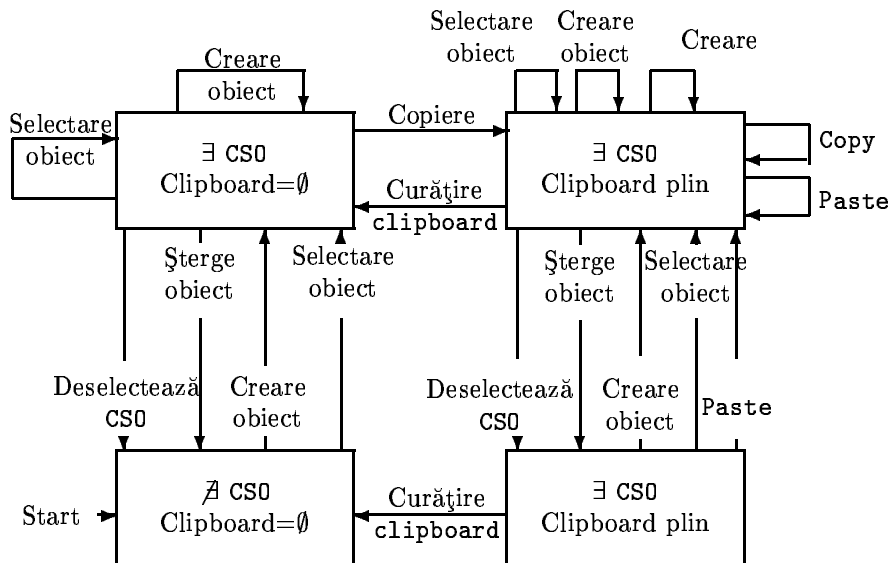


Figura 6.8: Rețea de tranziție cu patru stări

Diferite construcții specializate au fost dezvoltate pentru a simplifica rețelele de tranziție. De exemplu, putem alinia problema de help prin folosirea subrețelelor într-un mod analog subruteinelor, pentru a ascunde un detaliu repetitiv localizat. Rețelele de tranziție care pot apela recursiv subrețele sunt numite

rețele de tranziție recursive. Variabilele de stare în acest caz sunt întreaga stivă de stări salvate plus starea rețelei de tranziție curent active.

Notația Backus - Naur (BNF) poate de asemenea fi folosită pentru a defini secvențializarea, și este echivalentă ca putere de reprezentare cu rețelele de tranziție recursive (ambele sunt echivalente cu automatele push-down). Mai multe UIMS mai vechi au fost bazate pe specificații BNF.

Când rețelele de tranziție devin mai complicate, cu expresii logice la tranziții și apeluri de subrutine, se ajunge la specificații asemănătoare unor programe (program-like). În definitiv, limbajele de programare reprezintă cel mai puternic mod de a specifica secvențializările și condițiile multiple asociate, de multe ori, cu tranzițiile.

Mai multe limbaje bazate pe evenimente au fost dezvoltate special pentru specificarea interfețelor utilizator. Este de remarcat că limbajele bazate pe evenimente, spre deosebire de limbajele de programare tradiționale, nu au un flux explicit de control. În schimb, oricând o condiție if devine adevărată, acțiunile asociate sunt executate. Așadar, limbajul bazat pe evenimente este un sistem de reguli de producție. Limbajele bazate pe evenimente sunt mai puternice decât rețelele de tranziție, rețelele de tranziție recursive și gramaticile, dar prea complicate pentru cazurile simple.

Un mod diferit de a defini sintaxa (secvențializarea) dialogului este prin exemplu. În acest caz, UIMS-ul se plasează într-un mod "de învățare", și apoi se trece prin toate secvențele acceptabile de acțiuni. Proiectantul poate începe cu un meniu principal, selectează un câmp din acest meniu și merge prin-tr-un director pentru a localiza submeniul, celula de dialog sau obiecte specifice aplicației, pentru a fi prezentate utilizatorului ca răspuns la selectarea meniului principal. Obiectul apare pe ecran și proiectantul poate să indice poziția, mărimea sau alte atrbute pe care obiectul trebuie să le aibă atunci când aplicația este într-adevăr executată. Proiectantul continuă să execute câteva operații asupra obiectului vizualizat și apoi arată care obiect urmează, sau cum răspunde obiectul vizualizat la operatie; proiectantul repetă acest proces până când toate acțiunile asupra tuturor obiectelor sunt definite. Această tehnică funcționează pentru secvențializări prin item-uri (elemente) care au fost deja definite de proiectant.

DANA PETCU • LUCIAN CUCU

PRINCIPII ALE GRAFICII PE CALCULATOR

Coperta: Lucian Cucu

Consilier editor: Corina Bădulescu  
Tehnoredactare computerizată: Dana Petcu  
Bun de tipar: 20.09.1995  
Coli de tipar:  
Tiparul a fost executat la S.C. „HELICON” BANAT S.A.  
Comanda nr.  
ISBN 973 - 9015 - 51 - 4

D A N A   P E T C U        L U C I A N   C U C U

P   R   I N   C   I P   I I    A   L   E      G   R   A   F   I C   I I  
P   E      C   A   L   C   U   L   A   T   O   R

E D I T U R A   E X C E L S I O R

T i m iș o a r a ,   1 9 9 5

## P r e f a tă

Evoluția omenirii, începând cu a doua jumătate a acestui secol, este profund marcată de impactul informaticii asupra cvasi-totalității domeniilor de activitate umană. Acest fenomen are o caracteristică foarte interesantă: se autoîntreține. Într-adevăr, utilizarea calculatoarelor generează informație — din ce în ce mai multă și mai diversă — care conduce la presiuni în scopul dezvoltării calitative a calculatoarelor, dar și la înmulțirea numărului de utilizatori și beneficiari ai acestora, care generează ... informație, și ciclul se reia pe un nivel superior. În acest context, ultimii 10-15 ani au marcat o dinamică deosebită a aplicațiilor informaticice care fac uz (cel puțin sub forma interfețelor utilizator) de grafică pe calculator. De la jocuri la programe de desenat, de la proiectarea asistată de calculator la vizualizarea datelor științifice, de la tehnoredactarea computerizată la animația pe calculator (și lista ar putea continua...) grafica pe calculator este din ce în ce mai des utilizată.

Apare ca absolut firească și necesară însușirea (temeinică) a principiilor de proiectare și realizare a aplicațiilor grafice de către cei chemați să realizeze astfel de aplicații precum și inițierea (măcar și sumară) în domeniu a potențialilor utilizatori ai aplicațiilor grafice.

Această carte își propune să umple un gol existent în literatura în limba română, gol populat în anii scurși de la apariția ultimei lucrări (relativ) similare (D. Dogaru, Elemente de grafică 3D, Ed. Științifică și Enciclopedică, București, 1988) de lucrări dedicate, mai ales, prezentării unor aplicații (editoare, programe pentru tehnoredactare, pachete de programe pentru proiectarea asistată de calculator) și mai puțin prezentării principiilor generale.

Lucrarea se bazează în mare măsură pe rezultate recente (1990-1995) prezentate atât în cărți de referință în domeniu (Foley și alții, Computer Graphics. Principles and Practice, 1992) cât și în diverse rapoarte tehnice și grupuri de discuție din rețeaua Internet.

Cartea este structurată astfel:

Capitolul 1, intitulat sugestiv Concepte generale, prezintă pe scurt noțiunile de bază în grafica pe calculator, componentele hardware ale sistemelor grafice și o clasificare a aplicațiilor grafice.

Capitolul 2, Transformări geometrice, introduce noțiunile geometrice fundamentale pentru grafica pe calculator, precum transformările în spațiu bidimensional sau tridimensional, sistemele carteziene de referință, proiecțiile paralele și perspective.

Capitolul 3, sub titlul Reprezentări simple ale imaginii, tratează probleme elementare ale graficii pe calculator, precum trasarea primitivelor grafice (linii, cercuri, poligoane, etc), atributelor primitivelor și reprezentarea corpurilor tridimensionale pe suprafețe bidimensionale.

Capitolul 4, Prelucrarea reprezentărilor simple, prezintă probleme complexe în construirea imaginilor: realism vizual, determinarea liniilor și suprafețelor ascunse, culoare, texturi, iluminare, umbre, fractali, animație.

Capitolul 5, se ocupă de una din metodele cele mai des utilizate în sintetizarea unor imagini de calitate deosebită, Metoda drumului optic, de la principiile de bază la detalii privind algoritmul.

Capitolul 6, Interfețe utilizator, se ocupă de o problemă mai puțin tratată în literatura în limba română: principii de proiectare și realizare a interfețelor utilizator grafice.

Lucrarea de față se adresează în primul rând studenților de la facultățile cu profil de informatică, dar și tuturor utilizatorilor și proiectanților de aplicații grafice.

Timișoara, 28.06.95

AUTORII

D om nului prof. dr. řtefan M ărușteru

## B i b l i o g r a f i e

- [1] E. Angel, Computer Graphics, Addison-Wesley Publishing Company, New York, 1990.
- [2] V. Baltac, D. Roman, N. Zegheru, D. Costăchescu, Calculatoare electronice, grafică interactivă și prelucrarea imaginilor, Editura tehnică, București, 1985.
- [3] D. Dogaru, Metode noi în proiectare. Elemente de grafică 3-D., Editura Științifică și Pedagogică, București 1988.
- [4] J.D. Foley, A. van Dam, S.K. Feiner, J.F. Hughes, Computer Graphics, Addison-Wesley Publishing Company, New York, 1992.
- [5] A.S. Glassner (ed.), An Introduction to Ray Tracing, Academic Press, London, 1989.
- [6] D. Hearn, M. Pauline Baker, Computer Graphics, Addison-Wesley Publishing Company, New York 1986.
- [7] R.T. Stevens, C.D. Watkins, Advanced Graphics Programming in C and C++, M&T Books, New York, 1991.
- [8] A. Tănăsescu, R. Constantinescu, I.D. Marinescu, L. Busuioc, Grafică asistată. Programe FORTRAN pentru reprezentări geometrice, Editura Tehnică, București, 1989.
- [9] M. Vlada, A. Posea, I. Nistor, C. Constantinescu, Grafică pe calculator în limbajele Pascal și C, Editura Tehnică, București, 1992.



## C u p r i n s

1	Concepțe generale	1
1.1	Domenii de aplicație ale graficii pe calculator . . . . .	1
1.2	Componentele unui sistem grafic . . . . .	2
1.3	Procesorul de terminal . . . . .	2
1.4	Principiul tubului catodic . . . . .	3
1.5	Grafica rasteru. Zona tampon cadru . . . . .	4
1.6	Pixel. Rezoluție. Raport aspectual. Spațiu adresabil . . . . .	6
1.7	Cupluri grafic . . . . .	7
1.8	Clasificarea terminalelor grafice . . . . .	8
1.9	Echipamente grafice interactive . . . . .	9
1.10	Echipamente grafice pasive . . . . .	11
1.11	Clasificarea aplicațiilor grafice . . . . .	12
2	Transformări geometrice	15
2.1	Transformări bidimensionale . . . . .	15
2.1.1	Translație . . . . .	15
2.1.2	Scalare . . . . .	15
2.1.3	Rotație . . . . .	16
2.1.4	Coordonate omogene . . . . .	16
2.1.5	Transformări affine . . . . .	17
2.2	Sisteme carteziene de referință . . . . .	18
2.3	Fereștre și zone de lucru . . . . .	18
2.4	Transformări tridimensionale . . . . .	20
2.5	Proiecții . . . . .	22
2.5.1	Clasificare . . . . .	22
2.5.2	Proiecția perspectivă . . . . .	24
2.5.3	Proiecția paralelă . . . . .	25
2.5.4	Transformări proiective . . . . .	29
2.5.5	Exemple . . . . .	32
2.6	Volumul de vedere . . . . .	35

<b>3</b>	<b>Reprezentări simple ale imaginii</b>	<b>38</b>
3.1	Primitive grafice . . . . .	38
3.2	Punctul . . . . .	38
3.3	Trasarea incrementală . . . . .	39
3.4	Trasarea liniilor . . . . .	40
3.4.1	Algoritmul incremental de bază . . . . .	40
3.4.2	Algoritmul punctului de mijloc . . . . .	42
3.4.3	Intersecția segmentelor de linii în rastru . . . . .	43
3.4.4	Atenuarea efectelor datorate discretizării imaginii . . . . .	44
3.5	Trasarea poligoanelor . . . . .	45
3.6	Trasarea cercurilor și a elipselor . . . . .	46
3.7	Trasarea curbelor de grad doi . . . . .	50
3.8	Trasarea curbelor plane . . . . .	52
3.9	Trasarea curbelor spațiale . . . . .	54
3.9.1	Descrierea curbelor spațiale . . . . .	54
3.9.2	Curbe parametrice cubice . . . . .	54
3.9.3	Trasarea curbelor parametrice cubice . . . . .	59
3.10	Trasarea suprafețelor curbe . . . . .	61
3.10.1	Descrierea suprafețelor curbe . . . . .	61
3.10.2	Suprafețe parametrice bicubice . . . . .	62
3.10.3	Trasarea suprafețelor parametrice bicubice . . . . .	64
3.11	Atributele primitivelor . . . . .	65
3.12	Decuparea . . . . .	66
3.12.1	Decuparea unui punct . . . . .	67
3.12.2	Decuparea segmentelor de linii . . . . .	67
3.12.3	Decuparea poligoanelor . . . . .	73
3.12.4	Decuparea curbelor plane . . . . .	75
3.12.5	Decuparea 3D . . . . .	76
3.13	Reprezentarea corpurilor tridimensionale . . . . .	77
3.13.1	Scheme de reprezentare ale solidelor rigide . . . . .	77
3.13.2	Metode de construcție a reprezentărilor . . . . .	78
3.13.3	Reprezentarea corpurilor prin frontiere . . . . .	79
<b>4</b>	<b>Prelucrarea reprezentărilor simple</b>	<b>84</b>
4.1	Realism vizual . . . . .	84
4.2	Determinarea liniilor și suprafețelor vizibile . . . . .	86
4.2.1	Simplificarea calculelor . . . . .	86
4.2.2	Vizualizarea suprafețelor descrise explicit . . . . .	90
4.2.3	Algoritmi spațiu-obiect pentru determinarea liniilor vizibile . . . . .	92
4.2.4	Algoritmi spațiu-imagine . . . . .	95
4.2.5	Algoritmi hibrizi: algoritmi cu listă de prioritate . . . . .	103
4.3	Iluminare și umbre . . . . .	104
4.3.1	Surse de lumină . . . . .	105
4.3.2	Modele de iluminare . . . . .	105
4.3.3	Iluminarea reprezentărilor poliedrale . . . . .	108

4.3.4	Umbre . . . . .	110
4.4	Umplerea poligoanelor . . . . .	111
4.4.1	Conversia scan a poligoanelor pline . . . . .	113
4.4.2	Algoritmi recursivi și pe bază de stivă . . . . .	114
4.5	Culoare . . . . .	115
4.5.1	Modele de culoare . . . . .	116
4.5.2	Metoda tabelului de culori . . . . .	117
4.6	Texturi . . . . .	119
4.6.1	Clasificare . . . . .	119
4.6.2	Simularea intensității pe monitoarele monocrome . . . . .	120
4.7	Modele fractale . . . . .	122
4.8	Animație . . . . .	126
4.8.1	Animație convențională . . . . .	126
4.8.2	Interpolare . . . . .	126
4.8.3	Efecte simple de animație . . . . .	128
4.8.4	Limbaje de animație . . . . .	128
4.8.5	Atenuarea efectelor datorate discretizării temporale . . . . .	130
4.8.6	Metode de control a animației . . . . .	130
5	Metoda drumului optic	132
5.1	Definiții . . . . .	132
5.2	Principiul de bază . . . . .	132
5.2.1	Modelul camerei obscure cu orificiu punctual . . . . .	132
5.2.2	Modelul modificat al camerei obscure . . . . .	133
5.2.3	Pixeli și raze . . . . .	133
5.3	Trasarea razelor . . . . .	134
5.3.1	Trasare directă . . . . .	134
5.3.2	Trasare inversă . . . . .	134
5.3.3	Combinarea razelor . . . . .	135
5.4	Recursivitatea vizibilității . . . . .	136
5.5	Atenuarea efectelor datorate discretizării imaginii . . . . .	137
5.5.1	Efecte ale eșantionării spațiale . . . . .	138
5.5.2	Efecte ale eșantionării temporale . . . . .	139
5.5.3	Supra-eșantionarea . . . . .	140
5.5.4	Supra-eșantionarea adaptivă . . . . .	141
5.6	Algoritmi de intersecție . . . . .	142
5.6.1	Intersecția cu o sferă . . . . .	143
5.6.2	Intersecția cu un plan . . . . .	149
5.6.3	Intersecția cu un poligon . . . . .	151
5.6.4	Intersecția cu un paralelipiped . . . . .	151
6	Interfețe utilizator	153
6.1	Elemente de bază ale interfețelor utilizator . . . . .	153
6.2	Dispozitive de intrare . . . . .	153
6.2.1	Locatorul . . . . .	154
6.2.2	Tastatura . . . . .	155

6.2.3	Valuatorul . . . . .	155
6.2.4	Selectorul . . . . .	155
6.3	Sarcini de interacțiune . . . . .	155
6.4	Sarcini de interacțiune de bază . . . . .	156
6.4.1	Pozitionarea . . . . .	156
6.4.2	Selectia . . . . .	158
6.4.3	Interacțiunea de tip text . . . . .	161
6.4.4	Cuantificarea . . . . .	162
6.4.5	Sarcini de interacțiune compuse . . . . .	162
6.5	Principii în proiectarea interfețelor utilizator . . . . .	163
6.5.1	Consistența . . . . .	164
6.5.2	Asigurarea feedbackului . . . . .	164
6.5.3	Minimizarea posibilităților de eroare . . . . .	165
6.5.4	Asigurarea posibilității de revenire din eroare . . . . .	165
6.5.5	Posibilitatea operării pe mai multe nivele . . . . .	165
6.5.6	Minimizarea memorizării . . . . .	166
6.6	Software pentru interfețe utilizator . . . . .	166
6.6.1	Sisteme de gestiune a ferestrelor . . . . .	167
6.6.2	Tratarea ieșirilor în sistemele de ferestre . . . . .	169
6.6.3	Tratarea intrărilor în sistemele de ferestre . . . . .	172
6.7	Utilitară pentru tehnici de interacțiune . . . . .	172
6.7.1	Sisteme de gestiune a interfețelor utilizator . . . . .	174

## INDEX

- Algoritmul subdivizării recursive 60,65
  - Sutherland-Hodgman 73
  - tamponului de adâncime 95
  - Warnock 98
  - Weiler-Atherton 100
  - Wright 91
  - z-buffer 95
- Antialiasing 44, 138
- Asemănare 21
- Atribut 65
- Bibliotecă grafică 12
- Bitmap 5
- CAD 1, 13, 85
- Cadru de sârmă 80
- CAE 1
- CAM 1, 85
- Canvas 5
- Centru de proiecție 22
- CGA 8
- CIT 162
- Click - and -drag 163
- Clipire 3, 4
- Clipping 66
- CMY 116
- Color look-up table 117
- Concatenare 17
- Consistență 164
- Controlor grafic 3
- Conversie de baleiere 5
- Coordonate omogene 16, 20
- Coprocesor de terminal 3
- CRT 3
- Cuadratică 62
- Cuplare 62
- Cupluri grafic 7
- Curba Koch 123
- Curbă Bézier 57
  - Hermite 55
  - parametrică cubică 54
  - spline 57
- DCS 18
- DDA 40
- Decupare 66

Desktop publishing 14  
Digitizor 10  
Dimensiune fractală 122  
Display 8  
Dpi 11  
Drepte de proiecție 22  
Driver 10, 18  
DVST 3, 8  
Editor grafic 12  
EGA 8  
Elevație 26  
Eșantionare spațială 137  
    temporală 139  
Extindere plană 88  
    spațială 89  
    unidimensională 89  
Feedback 157  
Fereastră 18  
Fisier ecran 2  
Fps 126  
Fractal 122  
Frame buffer 5  
Gestionar de ferestre 168  
GKS 14  
Half-toning 120  
HLS 116  
HSB 116  
Imagine digitizată 4  
Imprimantă 11  
Interfață utilizator 153  
Înclinare 17, 22  
Joystick 9  
LCD 9  
LED 9  
Light pen 10  
Linie de baleaj 4  
Locator 9, 154  
Look-up table 117  
LUT 117  
Mapare inversă pe sferă 148  
MDA 7  
Memorie ecran 2  
    video 2  
Meniu 160

Metoda drumului optic 101, 132  
    iluminării constante 108  
    interpolării intensității  
        luminoase 109  
    interpolării normalei  
        la suprafață 109  
Model de culoare 116  
Mouse 9  
Multiplexare 172  
Multimea Julia-Fatou 123  
    Mandelbrot 123  
NDCS 18  
Normalizare 36  
OCR 161  
Omogenizare 20  
Pattern 65  
Persistență 3  
Perspectivă ascendentă 25  
    descendentă 25  
PHIGS 14  
Pixel 6  
Pixmap 5  
Plan 26  
Plan de proiecție 22  
Plasma panel 9  
Ploter 11  
Polinom blending 55  
Primitivă grafică 38  
Procesor de terminal 3  
Produs de bitotică 12  
Program grafic specializat 12  
Profil 26  
Projectori 22  
Proiecție 22  
    axonometrică 27  
    cabinet 28  
    cavalieră 28  
    izometrică 27  
    oblică 28  
    ortografică 26  
    paralelă 23  
    perspectivă 23  
    plană 23

Punct de fugă 24  
vedere 22

Raport aspectual 7

Rasterizare 5

Raster Scan Display 8

Rastru 4

Rata de scanare 5

Rază de proiecție 22

Ray-tracing 101, 132

Realitate virtuală 154

Recursivitate a vizibilității 136

Reflexie 135

- difuză 106
- lambertiană 106
- selectivă 107
- speculară 107

Refractie 136

Refresh buffer 5

Regula par-impar 87, 112

Reguli de conexiune discretă 40

Retezare 66

Rețea poligonală 81

Rezoluție 7

RGB 116

RIP 3

Rotație 16, 20

Sampling 137

Sarcină de interacțiune 155

Scalare 15, 21

Scanner 10

Selector 9, 155

Simetrie 22

Similaritate în sine 122

Sistem de ferestre 168

- de gestiune a fișierelor 167
- grafic 2

Spaceball 9

Spațiu adresabil 7

- vizibil 7

Sprite 128

Spot 6

Supersampling 140

Supra-eșantionare 140

- adaptivă 141

Suprafață Bézier 64

Hermite 63

parametrică bicubică 62

SVGA 8

Şablon 65

Tabel de celule-culori 117

- de culoare 117

Tastatură 9, 155

Tăiere 66

Tehnică de interacțiune 155

Temporal aliasing 130

Terminal grafic 8

- vectorial 8
- holografic 9

Test de acceptare/  
/respingere 68, 73

- de adâncime 87
- de interioritate 87
- minimax 87
- par-impar 87, 112

Touch panel 10

Trackball 9

Transformare afină 17

Translație 15, 20

Transparemță 108, 135

Tub catodic 3

UIMS 174

Valuator 9, 155

VGA 8

Viewport 19

Volum de vedere 35

Voxel 78

Widget 173

WCS 18

Window 18

Wire-frame 80

Worksheet graphics 14

Zona tampon cadru 4

- de împrospătare 5

Zonă de lucru 19